

"Este exemplar corresponde à relação final da Tese defendida por Mary Ann Foglio Lette e aprovada pelo Comitê Julgador.

Campinas, 23, 06/87

Mary Ann Foglio Lette

UNIVERSIDADE ESTADUAL DE CAMPINAS

Instituto de Química

Utilização de substratos quirais na determinação da configuração absoluta de produtos naturais e determinação da configuração absoluta do (5R, 8R, 10R)-9(11)-Drimen-8-ol.

MARY ANN FOGLIO LETTE

Tese de Mestrado

Orientadora: Profª Drª Anita Jocelyne Marsaioli

Campinas - 1986

UNICAMP
BIBLIOTECA CENTRAL

Ao Paulo e toda família

pela paciência.

"Mais do que Máquinas
Precisamos de Humanidade,
Mais do que inteligência,
Precisamos de Afeição e Doçura".

Charles Chaplin

ÍNDICE DE ESQUEMAS E TABELAS

pág.

CAPÍTULO I

Esquema I	15
Esquema II	23
Esquema III	26
Esquema IV	33
Esquema V	37

CAPÍTULO III

Esquema I	45
Esquema II	47
Esquema III	51
Esquema IV	52
Esquema V	58
Esquema VI	66
Tabela I	49
Tabela II	62
Tabela III	65

ÍNDICE GERAL

	pág.
Abstract	01
Resumo	02
Abreviaturas e Símbolos	04
Objetivos	06

CAPÍTULO I

I.1. Introdução	09
I.2. Execução da Síntese	15

CAPÍTULO II

2.I. Introdução	43
2.II. Execução da Síntese	47
Conclusão	68

PARTE EXPERIMENTAL

3.I. Materiais e Métodos	70
3.II. Caminhos de Obtenção do 9(11)-drimen-8-ol	75
3.III. Caminhos de Obtenção dos Sintons Aromáticos	89
3.IV. Caminhos de Obtenção dos Sintons Terpênicos	98
3.V. Reações de Acoplamento	99
3.IV. Reações de Oxidação	104
Referências Bibliográficas	107

ÍNDICE DE ESPECTROS

pág.

/E-1/ - Espectro IV do 14(15)-dinorlabd-8(17)-en-13-ona	
<u>14</u>	110
/E-2/ - Espectro RMN ¹ H do 14(15)-dinorlabd-8(17)-en-13-	
ona <u>14</u>	111
/E-3/ - Espectro IV do 8(17)-epóxi-14(15)-dinorlabdan-13-	
ona <u>15</u>	112
/E-4/ - Espectro RMN ¹ H do 8(17)-epóxi-14(15)-dinorlabdan-13-	
ona <u>15</u>	111
/E-5/ - Espectro Massa do 8(17)-epóxi-14(15)-dinorlabdan-13-	
ona <u>15</u>	113
/E-7/ - Espectro RMN ¹ H do cetal <u>23</u>	113
/E-8/ - Espectro IV do cetal <u>22</u>	114
/E-9/ - Espectro RMN ¹ H do cetal <u>22</u>	115
/E-10/ - Espectro RMN ¹ H cetal <u>16</u>	115
/E-11/ - Espectro IV do 8(17)-epóxi-14-labden-13-ol <u>29</u> ..	116
/E-12/ - Espectro RMN ¹ H do 8(17)-epóxi-14-labden-13-	
ol <u>29b</u>	117
/E-13/ - Espectro RMN ¹ H do 8(17)-epóxi-14-labden-13-	
ol <u>29a</u>	117
/E-14/ - Espectro IV do 14-labden-8,13-diol <u>30</u>	118
/E-15/ - Espectro RMN ¹ H do 14-labden-8,13-diol <u>30a</u>	119
/E-15'/ - Espectro RMN ¹ H do 14-labden-8,13-diol <u>30b</u>	120
/E-16/ - Espectro Massa do 14-labden-8,13-diol <u>30</u>	121
/E-17/ - Espectro RMN ¹³ C do 14-labden-8-ol <u>30a</u>	122

/E-17/- Espectro RMN ¹³ C do 14-labden-8-ol <u>30a</u>	123
/E-18/- Espectro IV do 8-hidróxi-14-dinorlabdan-8-ol-13- ona <u>28</u>	124
/E-19/- Espectro RMN ¹ H do 14(15)-dinorlabdan-8-ol-13-ona <u>28</u>	125
/E-20/- Espectro RMN ¹ H do cetal <u>31</u>	125
/E-21/- Espectro IV do (5S, 8S, 10S)-9(11)-drimen-8-ol <u>2</u> ..	126
/E-22/- Espectro RMN ¹ H do (5S, 8S, 10S)-9(11)-drimen-8- ol <u>2</u>	127
/E-23/- Espectro Massa do (5S, 8S, 10S)-9(11)-drimen-8- ol <u>2</u>	128
/E-24/- Espectro IV do (5S, 8R, 10S)-9(11)-drimen-8- ol <u>1</u>	129
/E-25/- Espectro RMN ¹ H do (5S, 8R, 10S)-9(11)-drimen-8- ol <u>1</u>	130
/E-26/- Espectro de Massa do (5S, 8R, 10S)-9(11)-drimen- ol <u>1</u>	128
/E-27/- Espectro IV do <u>ent</u> -14(15)-dinorlabdan-8-ol-13-ona <u>35</u>	131
/E-28/- Espectro RMN ¹ H do <u>ent</u> -14(15)-dinorlabdan-8-ol-13-ona <u>35</u>	132
/E-29/- Espectro IV do (5R, 8R, 10R)-9(11)-drimen-8-ol <u>33</u>	133
/E-30/- Espectro RMN ¹ H do (5R, 8R, 10R)-9(11)-drimen-8- ol <u>33</u>	134
/E-31/- Espectro Massa do (5R, 8R, 10R)-9(11)-drimen-8- ol <u>33</u>	132
/E-32/- Espectro IV do <u>ent</u> -7, 13(14)-labdadien-15-oato	

de metila <u>38</u>	135
/E-33/ - Espectro RMN ¹ H do <u>ent</u> -7, 13(14)-labdadien-15-oato de metila <u>38</u>	136
/E-34/ - Espectro Massa do <u>ent</u> -7, 13(14)-labdadien-15-oato de metila <u>38</u>	136
/E-35/ - Espectro IV do <u>ent</u> -7(8)-epóxi-13(14)-labden, 15-oato de metila <u>39</u>	137
/E-36/ - Espectro RMN ¹ H do <u>ent</u> -7(8)-epóxi-13(14)-labden, 15-oato de metila <u>39</u>	138
/E-37/ - Espectro Massa do <u>ent</u> -7(8)-epóxi-13(14)-labden, 15-oato de metila <u>39</u>	138
/E-38/ - Espectro IV do <u>ent</u> -7(8)-epóxi - 14(15)-dinorlabdan-13-ona <u>40</u>	139
/E-39/ - Espectro RMN ¹ H do <u>ent</u> -7(8)-epóxi - 14(15)-dinorlabdan-13-ona <u>40</u>	141
/E-40/ - Espectro IV do (5R, 10R) - 7(8)-epóxi-9(11) drimen <u>41</u>	140
/E-41/ - Espectro RMN ¹ H do (5R, 10R) - 7(8)-epóxi-9(11) drimen <u>41</u>	141
/E-42/ - Espectro Massa do (5R, 10R) - 7(8)-epóxi- 9(11) drimen <u>41</u>	142
/E-43/ - Espectro RMN ¹ H do 4-hidroxi-5-metoxitolueno <u>69</u>	142
/E-44/ - Espectro IV do 3-hidroxi-4-metoxi-6-metilenaldeído <u>70</u>	143
/E-45/ - Espectro RMN ¹ H do 3-hidroxi-4-metoxi-6-metilenaldeído <u>70</u>	144
/E-46/ - Espectro IV do 2,4-dihidroxi-5-metoxitolueno <u>66</u> ...	145

/E-47/ - Espectro RMN ¹ H do 2,4-dihidroxí-5-metoxitolueno	<u>66</u>	. 144
/E-48/ - Espectro Massa do 2,4-dihidroxí-5-metoxitolueno	<u>66</u>	. 146
/E-49/ - Espectro RMN ¹ H do 4,5-dimetoxibenzoídeo	<u>71</u> 146
/E-50/ - Espectro RMN ¹ H 4,5-dimetoxitolueno	<u>72</u> 147
/E-51/ - Espectro IV 4,5-dimetoxi-2-nitrotolueno	<u>73</u> 148
/E-52/ - Espectro RMN ¹ H 4,5-dimetoxi-2-nitrotolueno	<u>73</u> 147
/E-53/ - Espectro RMN ¹ H 4,5-dimetoxi-2-aminotolueno	<u>74</u> 149
/E-54/ - Espectro Massa 4,5-dimetoxi-2-aminotolueno	<u>74</u> 150
/E-55/ - Espectro IV do 2-hidroxí-4,5-dimetoxitolueno	<u>67</u> 151
/E-56/ - Espectro RMN ¹ H do 2-hidroxí-4,5-dimetoxitolueno	<u>67</u>	. 152
/E-57/ - Espectro IV 3,4-dióxido de metileno-tolueno	<u>108</u>
/E-58/ - Espectro RMN ¹ H 3,4-dióxido de metileno-tolueno	<u>108</u>	. 152
/E-59/ - Espectro IV 2-nitro-4,5-dióxido de metileno-tolueno	<u>108</u> 153
/E-60/ - Espectro RMN ¹ H do 2-nitro-4,5-dióxido de metileno-		
tolueno	<u>110</u> 155
/E-61/ - Espectro IV 2-hidroxí-4,5-dióxido de metileno-tolueno	<u>107</u> 154
/E-62/ - Espectro RMN ¹ H do 2-hidroxí-4,5-dióxido de metileno-		
tolueno	<u>107</u> 155
/E-63/ - Espectro IV do 2-bromo-1,4-dihidroxibenzeno	<u>113</u>	... 156
/E-64/ - Espectro RMN ¹ H do 2-bromo-1,4-dihidroxibenzeno	<u>113</u>	.. 157
/E-65/ - Espectro IV do 2-bromo-1,4-dimetoxibenzeno	<u>112</u> 159
/E-66/ - Espectro RMN ¹ H do 2-bromo-1,4-dimetoxibenzeno	<u>112</u>	... 160
/E-67/ - Espectro Massa do 2-bromo-1,4-dimetoxibenzeno	<u>112</u>	... 160
/E-68/ - Espectro IV do 8(17),13(14)-labdadien-15-al	<u>87a</u> 161
/E-69/ - Espectro RMN ¹ H do 8(17),13(14)-labdadien-15-al	<u>87a</u>	.. 163

/E-70/ - Espectro IV do 8(17),13(14)-labdadien-15-al	<u>87b</u>	162
/E-71/ - Espectro RMN ¹ H do 8(17),13(14)-labdadien-15-al	<u>87b</u>	163
/E-72/ - Espectro RMN ¹ H do Produto Acetilado	<u>72</u>	164
/E-73/ - Espectro RMN ¹ H do Produto de Ciclização	<u>78</u>	164
/E-74/ - Espectro RMN ¹³ C do Produto de Ciclização	<u>78</u>	165
/E-75/ - Espectro RMN ¹ H do Produto	<u>115</u>	165
/E-76/ - Espectro IV do Produto	<u>102</u>	166
/E-77/ - Espectro RMN ¹ H do Produto	<u>102</u>	167
/E-78/ - Espectro Massa do Produto	<u>102</u>	167
/E-79/ - Espectro IV do Produto	<u>101</u>	168
/E-80/ - Espectro RMN ¹ H do Produto	<u>101</u>	169
/E-81/ - Espectro IV do Produto	<u>89</u>	170
/E-82/ - Espectro RMN ¹ H do Produto	<u>89</u>	169

ABSTRACT

The determination of the absolute configuration of many natural products has turned out to be essential in the past years, because of the known fact that in certain compounds only one of the optical isomers has the desired activity. This knowledge has enabled industries, such as the pharmaceutical ones, to prepare synthetic drugs that will guarantee the expected effects caused by the similar natural products.

With these ideas in mind we proposed the determination of the absolute configuration of some known natural products that had not been determined as yet. Taking into account the variety of possible methods to accomplish this, we chose to confirm the absolute configuration using a synthetic pathway utilizing natural products whose absolute configuration were known, as templates.

In this work we described the synthesis of three drimanes, (5S, 8S, 10S)-9(11)-drienen-8-ol 2; (5R, 8R, 10R)-9(11)-drienen-8-ol 33 and (5S, 8R, 10S)-9(11)-drienen-8-ol 1, enabling us to determine the absolute configuration of the compounds isolated, from the fungus Aspergillus oryzae, by Wada and co-workers/²/ as being (5R, 8R, 10R)-9(11)-drienen-8-ol 33 and (5R, 8S, 10R)-9(11)-drienen-8-ol 36. This fungus is widely used in the food industry, in Japan, as a fermenting agent.

We also detail, in this work, the many approaches undertaken in the tentatives to synthetize the ichtiotoxic compounds, stypodiol 3 and epistypodiol 4, isolated from the brown seaweed Styropodium zonale by Fenical and Gonzalez /³/.

RESUMO

A determinação da configuração absoluta de muitos produtos naturais tem se mostrado essencial nos últimos anos, isto decorre de que para certos compostos apenas um dos isômeros óticos apresentam a atividade desejada. Este fato tem possibilitado várias indústrias, tais como as farmacêuticas, a sintetizar drogas que produzem os mesmos efeitos que o produto natural.

Com estas idéias em mente propusemos a determinação da configuração absoluta de alguns produtos naturais conhecidos, os quais tinham apenas suas configurações relativas determinadas. Levando em consideração as várias maneiras disponíveis para efetuar esta determinação, optou-se por confirmar a configuração absoluta utilizando-se um caminho sintético que permitisse usar como substratos produtos naturais de configurações absolutas determinadas.

Neste trabalho descrevemos a síntese de três drimanos; (5S, 8S, 10S)-9(11)-drimen-8-ol 2, (5R, 8R, 10R)-9(11)-drimen-8-ol 33 e (5S, 8R, 10S) - 9(11)-drimen-8-ol 1, possibilitando determinar a configuração dos compostos isolados do fungo Aspergillus oryzae por Wada e colaboradores /2/ como sendo (5R, 8R, 10R)-9(11)-drimen-8-ol 33 e (5R, 8S, 10R)-9(11)-drimen-8-ol 36. Este fungo é vastamente utilizado nas indústrias de alimentos, no Japão, como agente de fermentação.

Também detalhamos, neste trabalho, os vários modelos tentados na expectativa de sintetizar os compostos ictiotóxicos,

stipodiol 3 e epistipodiol 4, isolados da alga marrom Stipopodium zonale por Fenical e Gonzalez /3/.

ABREVIATURAS E SÍMBOLOS

Ac - Acetato

c - Concentração (g/100 ml)

CCD - Cromatografia de camada delgada

d - Dubletos

dd - Duplo dubletos

DFL - Desacoplamento em faixa larga

EM - Espectro de massa

ent - Enantiomero

EtOH - Etanol

FDFF - Frequência de desacoplamento fora de faixa

IV - Espectro de absorção na região do infra-vermelho

J - Constante de acoplamento

M - Ion molecular

m - Multipletos

Me - Metil

m/z - Relação massa/carga

MeOH - Metanol

mmol - Millimol

p.f. - Ponto de fusão

RMN¹H - Ressonância magnética nuclear de hidrogênio

RMN¹³C - Ressonância magnética nuclear de carbono-13

s - Singletos

sl - Singletos largo

t - Tripleto

u.m.a. - Unidade de massa atômica

ϕ - Fenil

py - Piridina

Bz - Benzil

éter- éter etílico

DFF - Espectro parcialmente acoplado

PCC - Clorocromato : de piridina

AMCP- Ácido meta-cloroperbenzóico

I. OBJETIVO

Desde os primórdios da química houve interesse no isolamento e identificação estrutural de produtos naturais de plantas e animais. No Brasil, tais trabalhos, têm sido incentivados devido à vasta flora nacional existente, que corresponde a um terço de toda flora mundial.

As ferramentas utilizadas na elucidação estrutural de um composto novo envolve interpretação de dados espectrais, transformações químicas e utilização de raios X, para poder se chegar a estrutura e configuração absoluta do composto isolado.

Uma "síntese assimétrica" forneceria um meio alternativo para a determinação da configuração absoluta.

A "síntese assimétrica" atualmente tem-se desenvolvido além da curiosidade acadêmica sendo um método sintético intensamente estudado /1/. Temos vários casos, como nas indústrias farmacêuticas, em que é muito importante a obtenção de compostos quirais enantiometricamente puros. Esta exigência está relacionada ao fato da atividade de vários fármacos estar frequentemente atribuída a somente um dos enantiômeros.

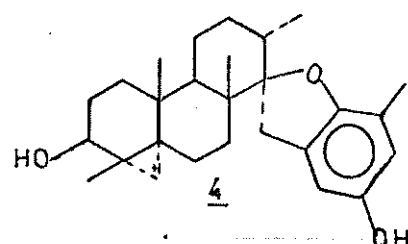
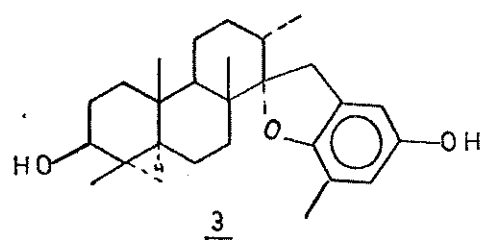
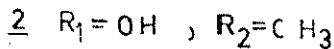
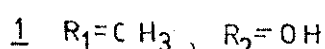
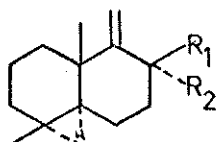
Entre as opções que permitem a "síntese assimétrica" de um composto /1/ (utilizamos o termo "síntese assimétrica" de um composto no seu contexto mais amplo possível, ou seja, obter o composto enantiometricamente puro, e com a configuração absoluta de seus centros quirais determinada), podemos citar:

- 1) Partir de substratos e reagentes quirais atingindo-se a pureza ótica desejada, através da resolução dos enantiômeros de

um intermediário chave, cuja configuração absoluta é conhecida, o qual, através de reações estereosseletivas e estereoespecíficas fornece o composto desejado.

- 2) Utilizar substratos quirais induzindo a quiralidade desejada com o uso de reagentes quirais e escolhendo reações que fornecam um excesso enantiomérico da configuração desejada (síntese assimétrica, propriamente dita).
- 3) Usar substratos quirais de fontes naturais, os quais já sofreram uma síntese assimétrica "in vivo" e cuja configuração absoluta já foi determinada.

Entre as alternativas expostas a última nos pareceu mais atraente e nos propusemos determinar a configuração absoluta, de dois álcoois sesquiterpênicos 1 e 2 /2/ isolados do fungo *Aspergillus oryzae*, e também dos diterpenos stipodiol 3 e epistipodiol 4 /3/, isolados da alga *Stipopodium zonale*, utilizando substratos quirais de fácil acesso.



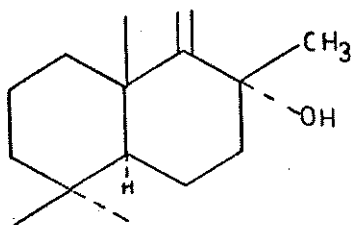
CAPÍTULO I

1.1. - INTRODUÇÃO

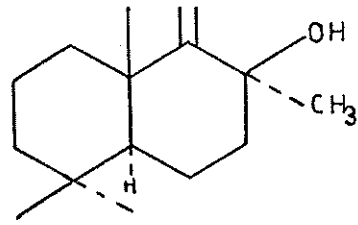
1.2. - EXECUÇÃO DA SÍNTSESE

I.1. - INTRODUÇÃO

O uso do fungo *Aspergillus oryzae* nas indústrias japonesas de alimentos tem sido muito citado /4/. Este fungo tem grande utilidade nos processos de fermentação de produtos, tais como: sakê, shoyu, tamari e outros similares. Tem-se, também, verificado o uso do *Aspergillus oryzae* na produção de muitas enzimas. A extensão da esporulação, assim como, as propriedades dos esporos produzidos pelo fungo, tendem a afetar a qualidade e rendimento dos produtos de fermentação /5/. Este fato tem incentivado trabalhos sobre as substâncias esporogênicas deste fungo. Durante estes estudos Wada e colaboradores /2/ isolaram dois álicos sesquiterpênicos e propuseram as estruturas 1 e 2 com base nos dados espectroscópicos destes compostos e na síntese racêmica de 1.



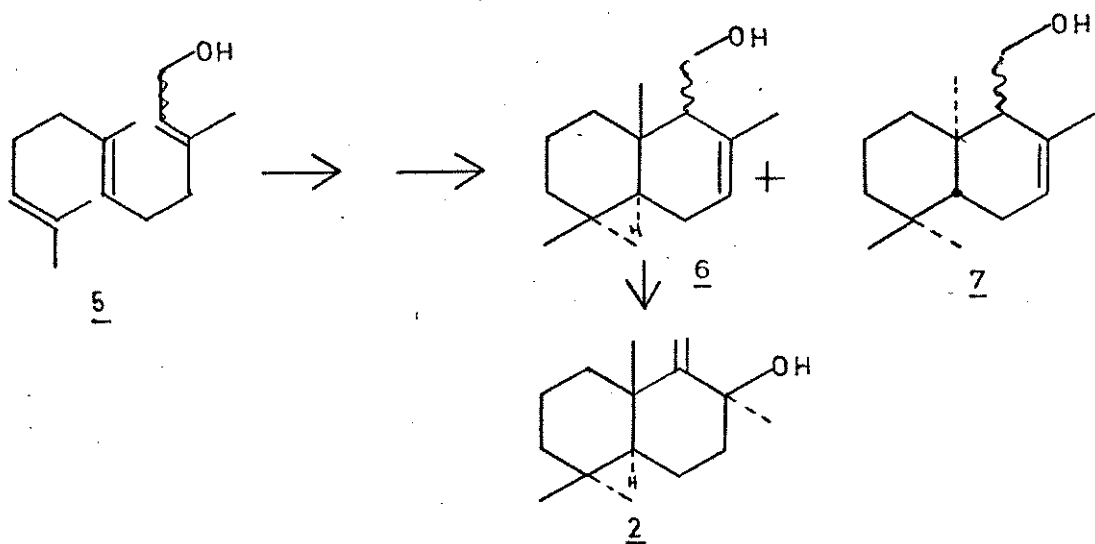
1



2

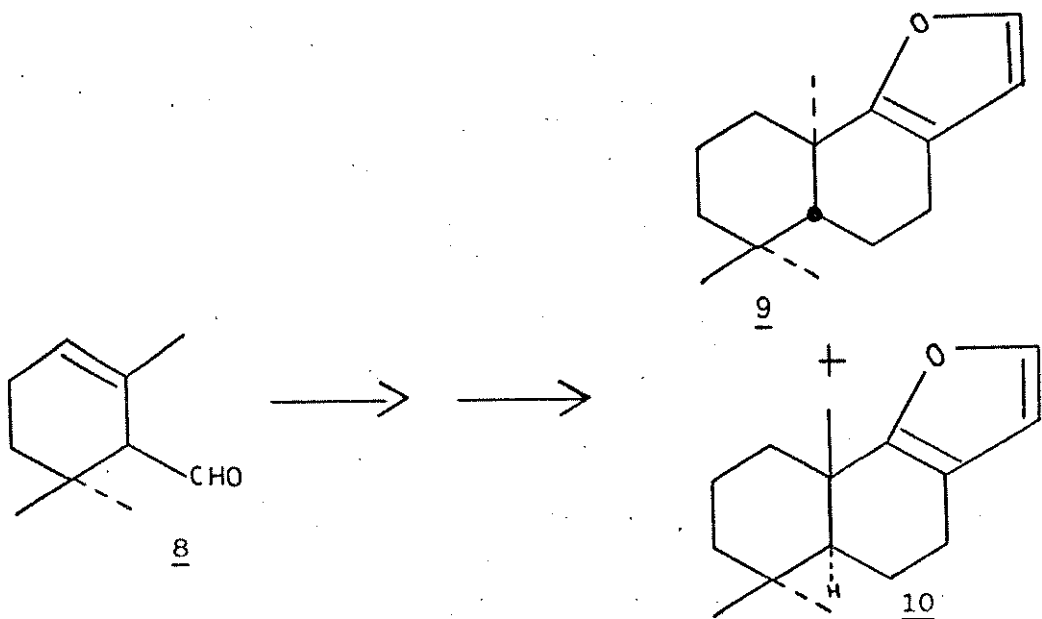
Com o objetivo de determinar a configuração absoluta dos compostos 1 e 2 procurou-se um caminho de síntese, que permitisse alcançar a meta proposta. Entre as várias opções encontradas poder-se-ia citar:

- 1) Utilizar reações de ciclização de polienos /6/, fazendo-se a resolução do racemato numa etapa apropriada, determinando a configuração absoluta dos enantiômeros, e, então, prosseguindo a síntese com um dos enantiômeros. Podemos citar como exemplo a síntese do 9(11)-drimen-8 -ol 2, utilizando 6, obtido a partir da ciclização de uma mistura de 2-trans, 6-trans e 2-cis, 6-trans-farnesol 5 /2/ .
- Neste caso a resolução não foi feita porém poderia ser tentada com os intermediários 6 e 7, utilizando derivados apropriados.

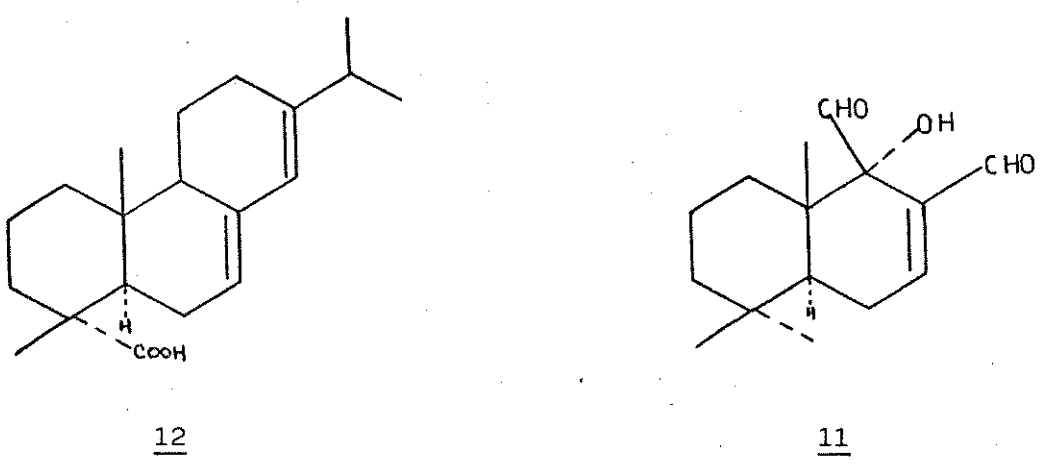


- 2) Usar como substrato um monoterpeno (C-10) oticamente puro, de configuração absoluta conhecida, e construindo o resto da molécula através da adição de mais cinco átomos de carbono. Deve-se lembrar que tais reações devem ser sempre que possível, estereosseletivas permitindo obter o produto final enantiometricamente puro como produto majoritário, nos casos, de baixa estereosseletividade a mistura de diastereoisômeros deveria

ser normalmente de fácil separação. Como exemplo ilustrativo, citamos a síntese do pallescencin 9 /7/ a partir de 8.



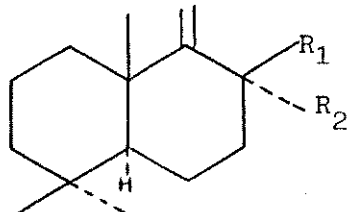
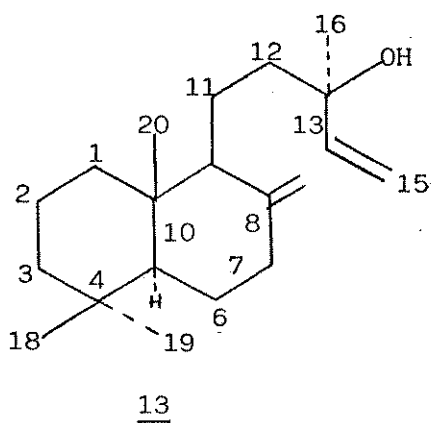
3) Utilizar como substrato quiral um composto diterpênico (C-20) o qual no decorrer da síntese poderia perder cinco átomos de carbono até chegar ao sesquiterpeno desejado (C-15). Podemos citar como exemplo a síntese do warburganal 11 a partir do ácido abiético 12 /8/.



Considerando as três alternativas possíveis, pelas quais poder-se-ia chegar ao sesquiterpeno desejado, optou-se pela última alternativa devido a existência de várias fontes naturais de diterpenos de fácil acesso. Procurou-se então, um substrato que tivesse as seguintes características:

- 1) Possuisse configuração absoluta determinada.
- 2) Fosse de fácil acesso.
- 3) Que tivesse maior número de centros quirais com a mesma configuração relativa da molécula alvo, diminuindo desta forma, o número de centros quirais a serem criados.

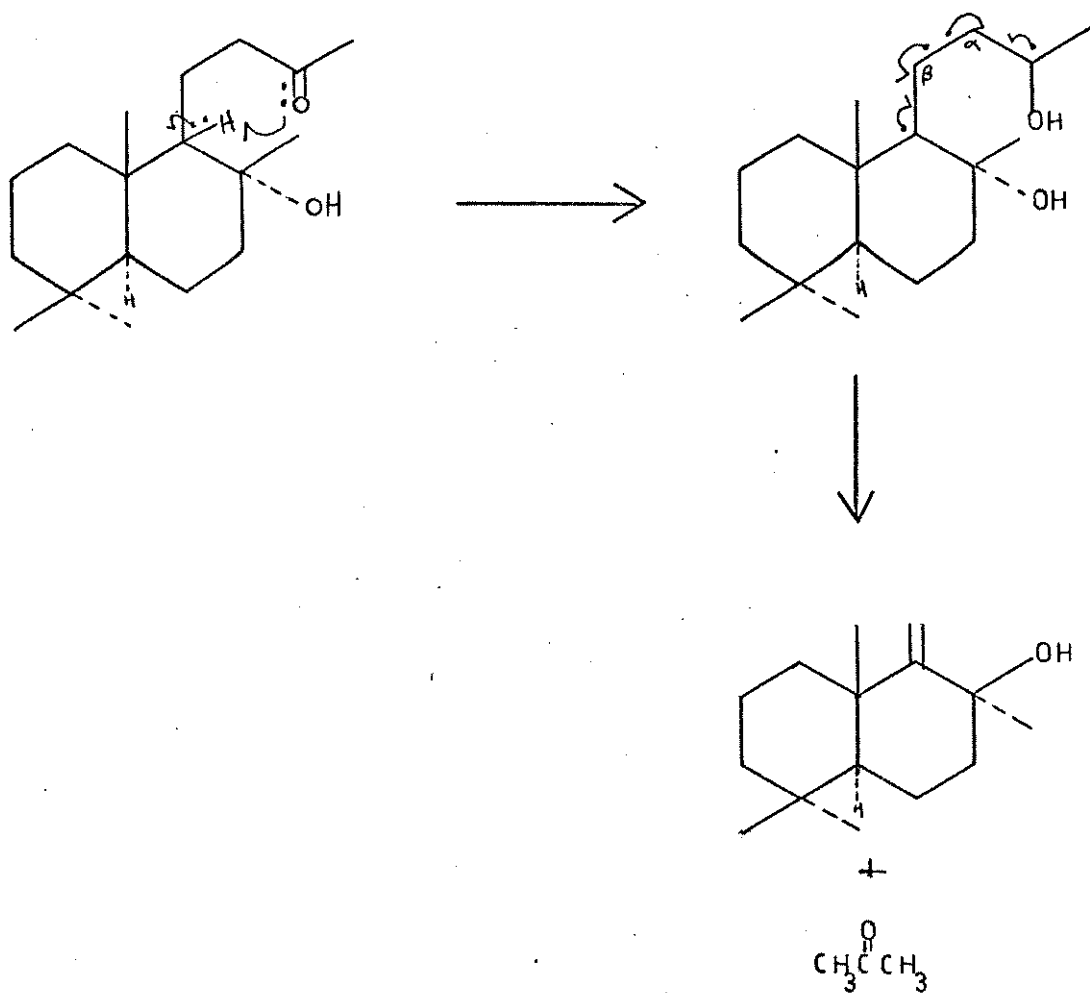
Com tais fatos em mente, optamos por utilizar como substrato quiral o diterpeno 8(17), 14-1abdadien-13-ol (manool) 13, o qual apresentava os centros C-5 e C-10 com a mesma configuração relativa dos compostos 1 e 2 isolados por Wada e colaboradores /2/.



- | | |
|--------------|------------|
| 1 $R_1=CH_3$ | $R_2=OH$ |
| 2 $R_1=OH$ | $R_2=CH_3$ |

Analisando-se a molécula do manool 13, observou-se que seria necessário introduzir um centro quiral no carbono-8 da molécula, o qual poderia ser alcançado através de duas reações na dupla ligação exocíclica C-8 (17) do composto 13 (epoxidação e abertura do epóxido). Um sesquiterpeno poderia ser obtido poste-

riamente fazendo-se uma reação de fotoeliminação Norrish do tipo II /9/. Esta última reação é característica de cetonas alifáticas, as quais ao serem irradiadas sofrem ruptura na ligação $C_{\alpha}-C_{\beta}$.



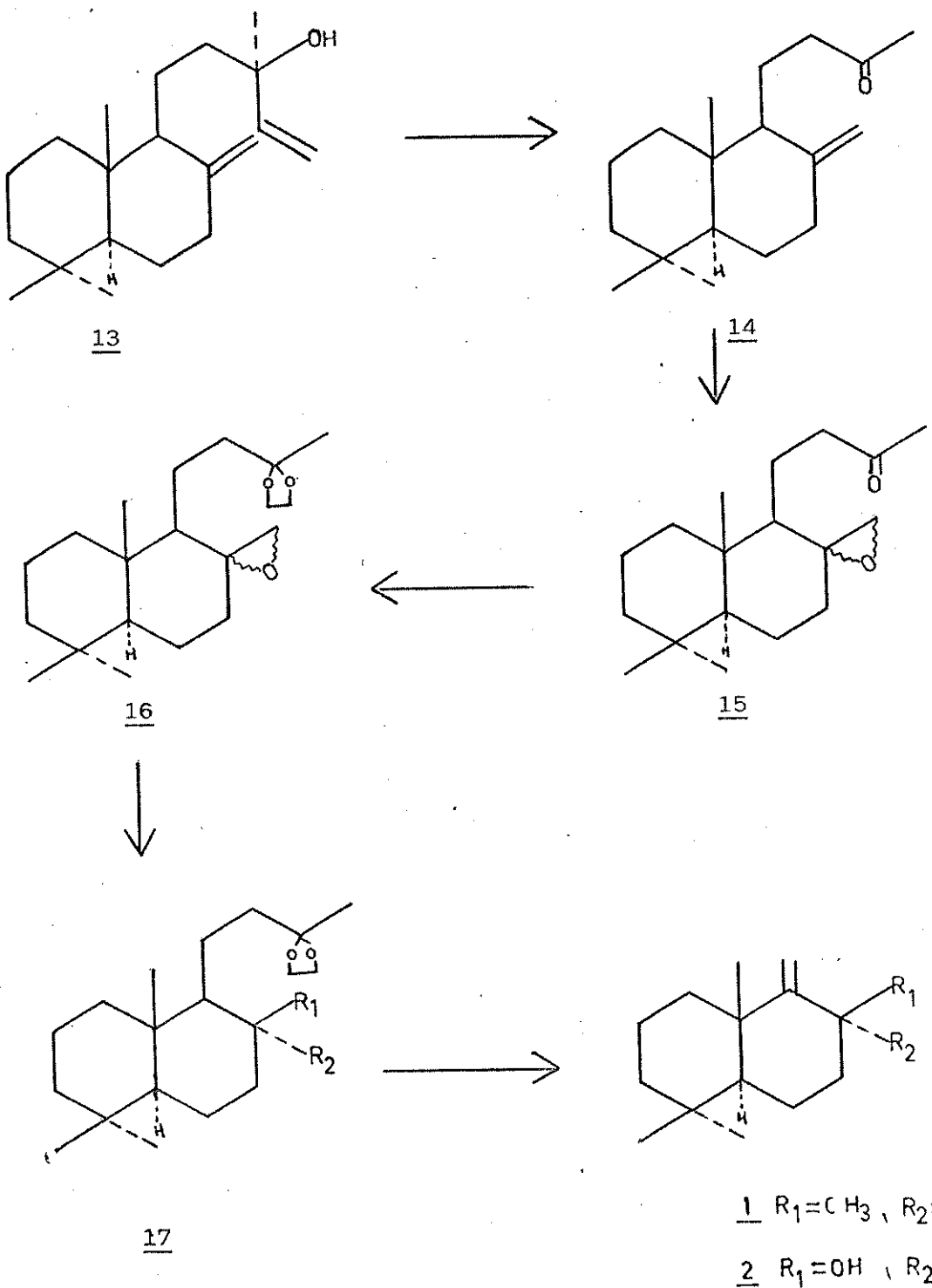
A condição necessária para que a reação fotoquímica ocorra, é que a molécula absorva luz emitida pela fonte irradiada e consequentemente, a molécula precisa ter transições eletrônicas entre os orbitais que correspondem a energia que é emitida pela fonte. Existem várias fontes de luz que podem ser utilizadas em reações fotoquímicas. As mais comuns são as lâmpadas à vapor de mercúrio que emitem a 254nm, 315nm e 366nm. A radiação que atin-

ge a amostra pode ser controlada pelo uso de filtros. Por exemplo, o vidro de borossilicato deixa passar, apenas comprimentos de onda maiores de 300-310nm, e as radiações de mais alta energia são absorvidas pelo vidro. O quartzo puro, que transmite até 2000 Å, é usado quando se deseja utilizar radiação à 254nm. Soluções filtrantes que absorbem comprimentos de onda específicos, podem ser usadas para controlar a luz que incide sobre a amostra /9/.

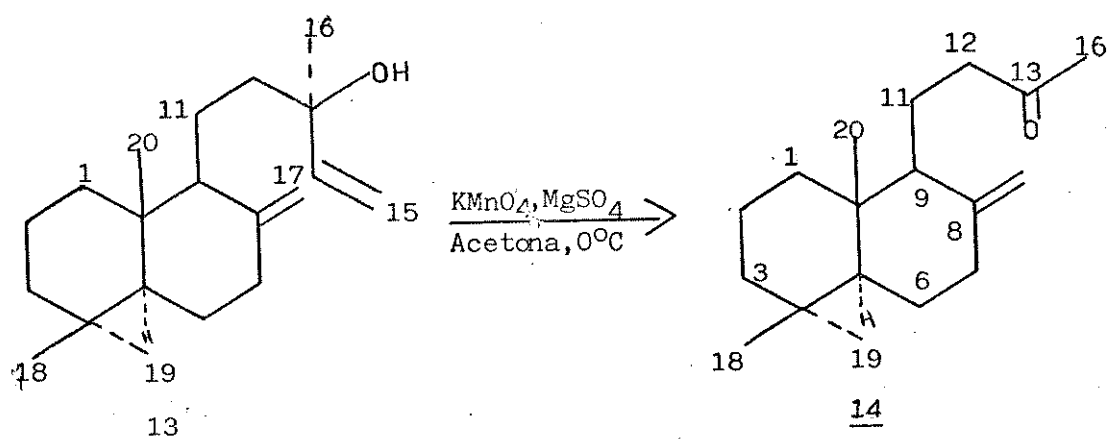
1.2. - EXECUÇÃO DA SÍNTSESE

O esquema I de síntese foi elaborado levando em consideração as idéias expostas anteriormente.

ESQUEMA_I:

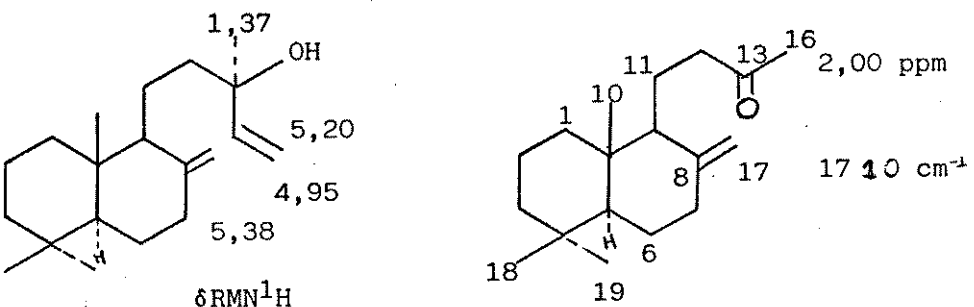


Assim a primeira etapa seria oxidar o manool 13, uma revisão de literatura mostrou que existem vários métodos pelos quais, é possível oxidar um álcool alílico a cetona. Reagentes de crômio (VI) são usados em rearranjos oxidativos levando a obtenção de aldeídos e cetonas α, β - insaturados /10/ por um meio brando. Outros oxidantes normalmente utilizados são o tetróxido de ósmio /11/ ou $KMnO_4/MgSO_4/Acetona\ 0^{\circ}C/12/$. Este último método foi escolhido pela conveniência dos reagentes.



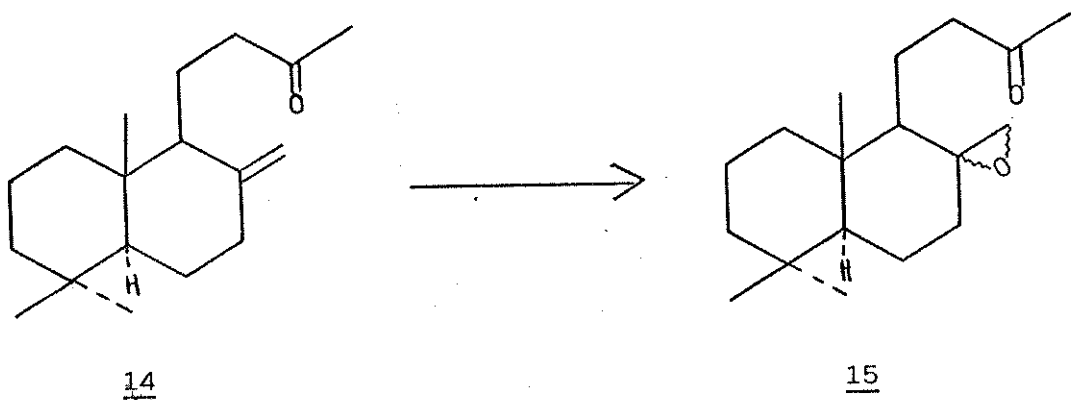
A utilização do $MgSO_4$ foi feita para manter a neutralidade da mistura de reação formando hidróxido de magnésio que é relativamente insolúvel no meio de reação /13/.

A formação do composto 14 foi constatada pela comparação de seus dados com os da literatura /14/. No espectro de RMN¹H observou-se que havia desaparecido o sistema ABX em 4,93-5,17ppm [E-2] correspondente à protons da dupla ligação terminal C-14,15, como também constatou-se, no espectro de infra-vermelho o aparecimento de banda, característica de cetona em $1710\ cm^{-1}$.



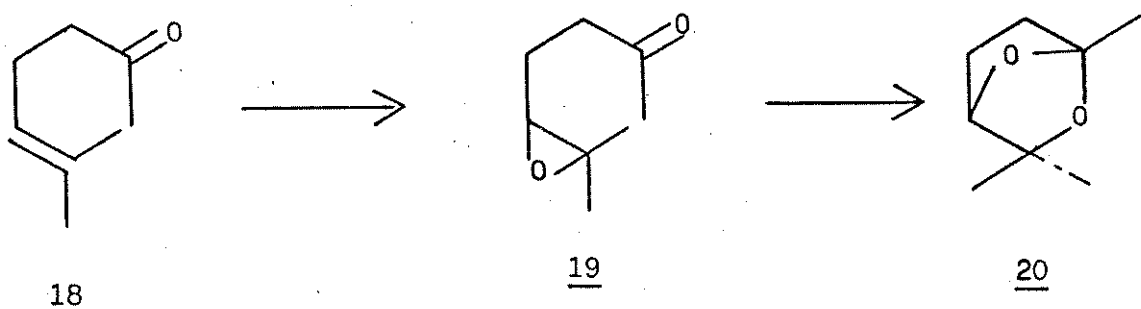
A metila-16 sofreu uma desproteção no espectro de RMN¹H, aparecendo em 2,00 ppm, deslocamento característico de grupos metílicos ligados a grupos cetônicos./14/

Fazendo-se a reação de epoxidação de 14 num meio monofásico com ácido m-cloroperbenzólico em CH₂Cl₂, observou-se no espectro de infra-vermelho que ocorria desaparecimento da banda correspondente ao grupo cetônico em 1710 cm⁻¹. Este comportamento não era esperado uma vez que Grant e colaboradores /14/ já haviam feito esta epoxidação sem maiores complicações.



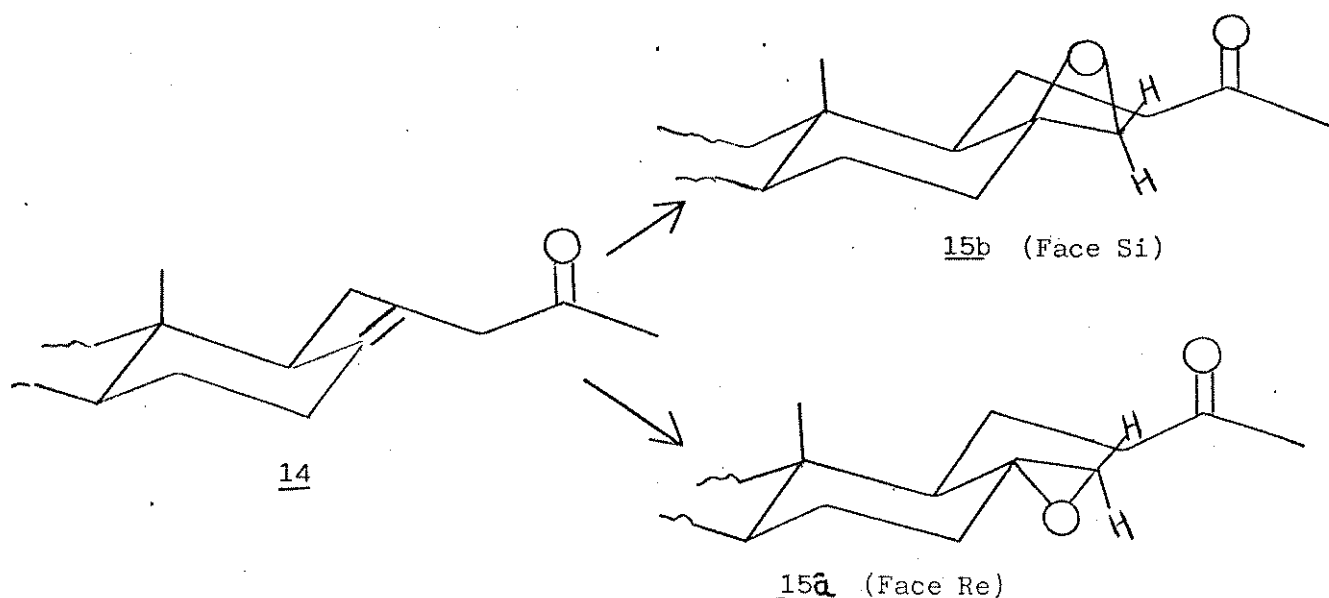
Por outro lado encontra-se na literatura /15/ que, reações de epoxidação de duplas em compostos contendo grupos cetônicos, tais como 18, utilizando ácido m-cloroperbenzólico em diclorometano

no, levam a formação de cetais, 20. No nosso caso o espectro de RMN¹H apresentou-se como uma mistura não podendo concluir se havia formação de um cetal análogo ao composto 20.

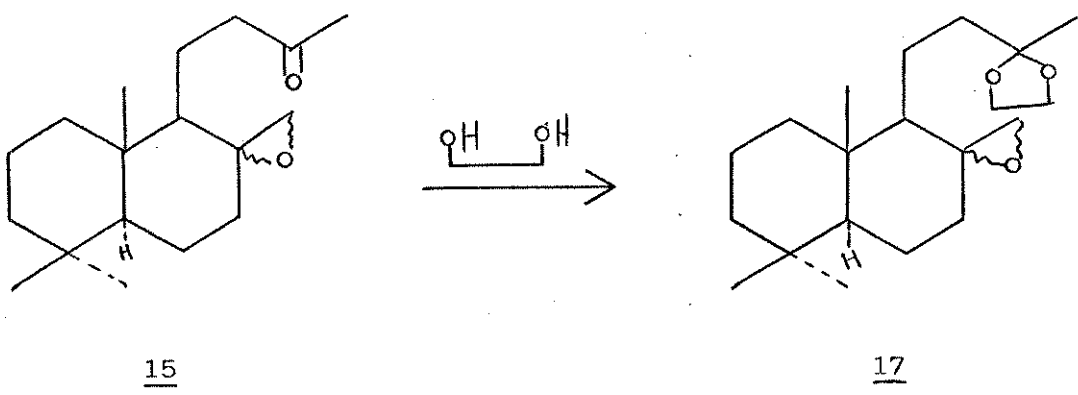


Consequentemente optou-se pela utilização de um meio brando bifásico de CH_2Cl_2 /ácido m-clorobenzólico/ NaHCO_3 0,5N /15/ para contornar tal problema.

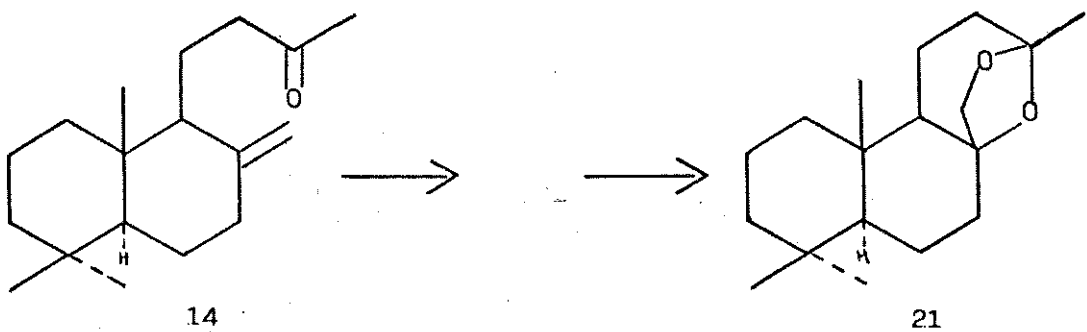
A epoxidação do composto 14 deu-se com 98% de rendimento e foi constatado por cromatografia de camada delgada, que apresentava duas manchas sobrepostas com Rfs muito próximos (0,46 e 0,43; suporte silíca/eluente-hexano/éter etílico 30%). Este fato pode ser explicado levando em consideração de que a epoxidação deve ocorrer pela face Ré e Si da dupla ligação C-8,17 /14/.



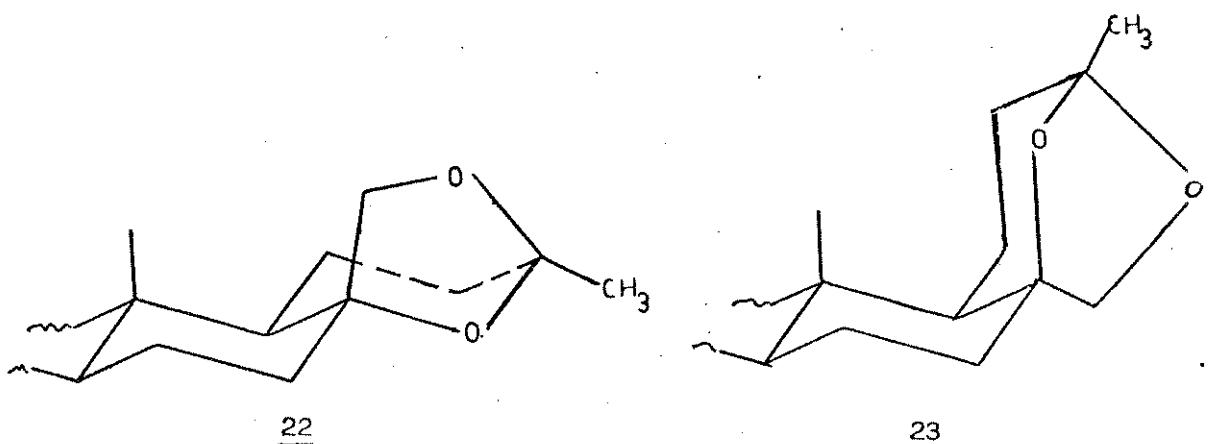
Verificou-se pela análise de RMN¹H que ocorreu a reação de epoxidação devido ao desaparecimento das absorções dos prótons H-17 da dupla ligação exocíclica, em 4,40 e 4,46 ppm e pela presença de dois multipletos em 2,70 e 2,40 ppm atribuídos aos prótons metilênicos dos epóxidos (^{8R}) 15a e (^{8S}) 15b. Grant e colaboradores /14/ isolaram estes epóxidos na proporção 1:18,3 (^{8S}: ^{8R}). No presente caso os multipletos em 2,70 e 2,40 ppm no espectro de próton [E-4] estão de acordo com uma proporção bem superior do epímero 15b (2,52 e 2,31 ppm /14/), mas a proporção exata não foi possível devido à superposição dos sinais. A etapa seguinte seria a separação dos dois epímeros, porém achou-se mais interessante continuar testando o caminho de síntese com a mistura. Proteção subsequente da cetona 15 com etilenoglicol e tosilato de piridina forneceu um produto o qual pela análise do espectro de RMN¹H não apresentou o sinal correspondente aos hidrogênios metilênicos do cetal em 3,80 ppm [E-7].



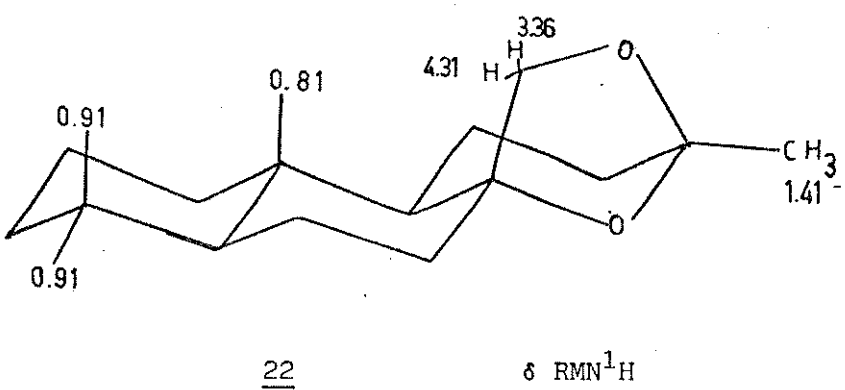
Consultando-se a literatura /14/ viu-se que sob certas condições a epoxidação leva à formação de um cetal intramolecular do tipo 21.

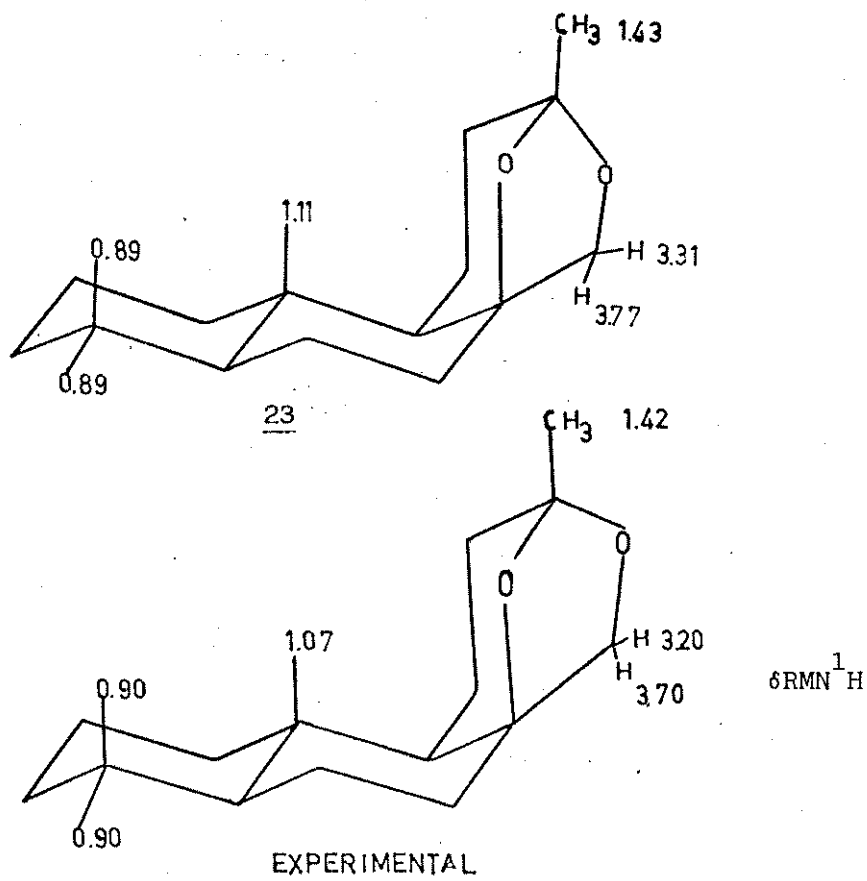


Entretanto a cetalização interna pode levar à formação de um produto com fusão de anéis de 6 carbonos trans, anti, trans como 22 ou trans, anti, cis como 23.

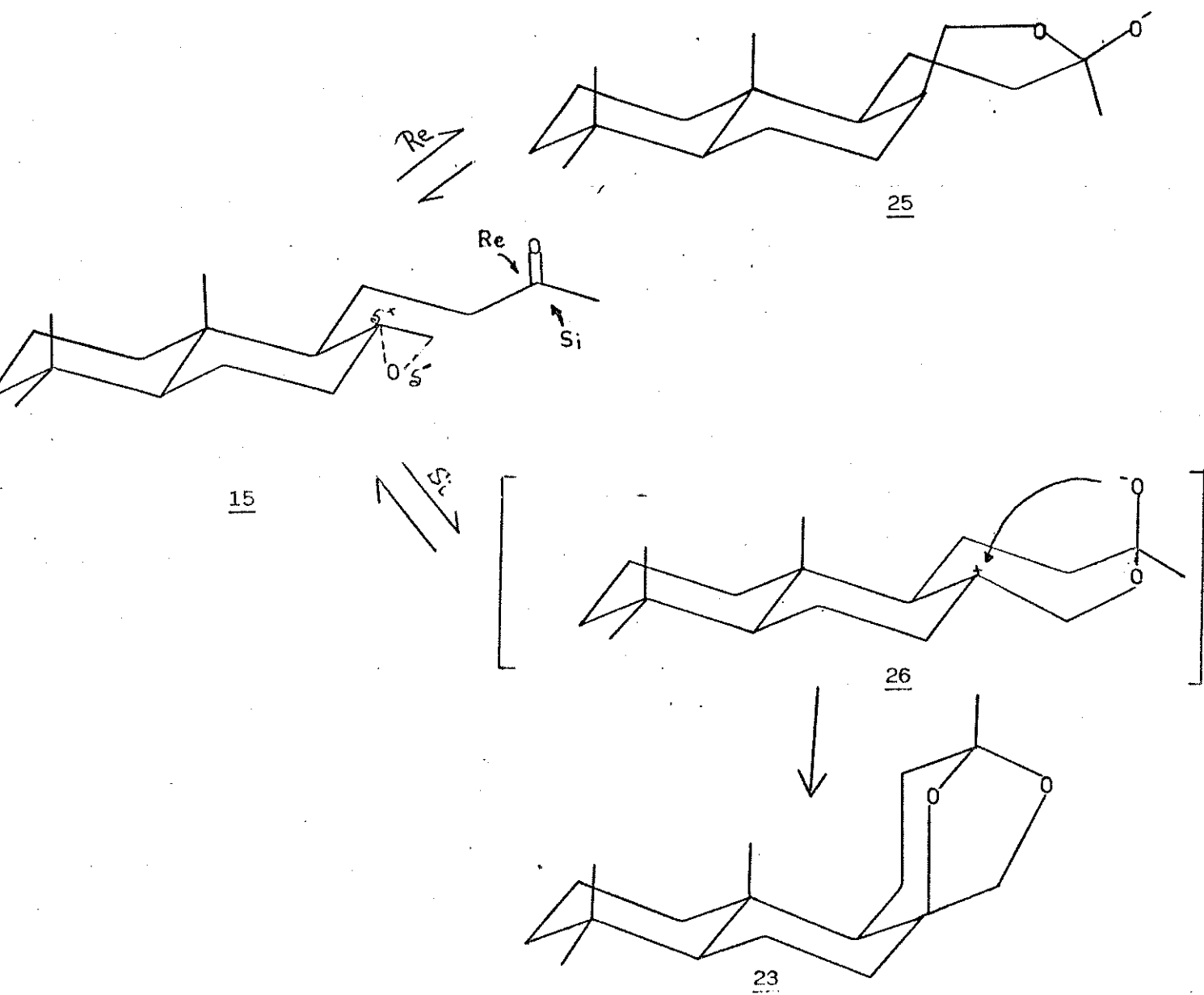


Comparando os dados de RMN¹H da literatura /11/ com os do produto obtido [E-7], com base nos deslocamentos análogos dos prótons assinalados nas estruturas abaixo verificou-se que tinha ocorrido formação do cetal 23.



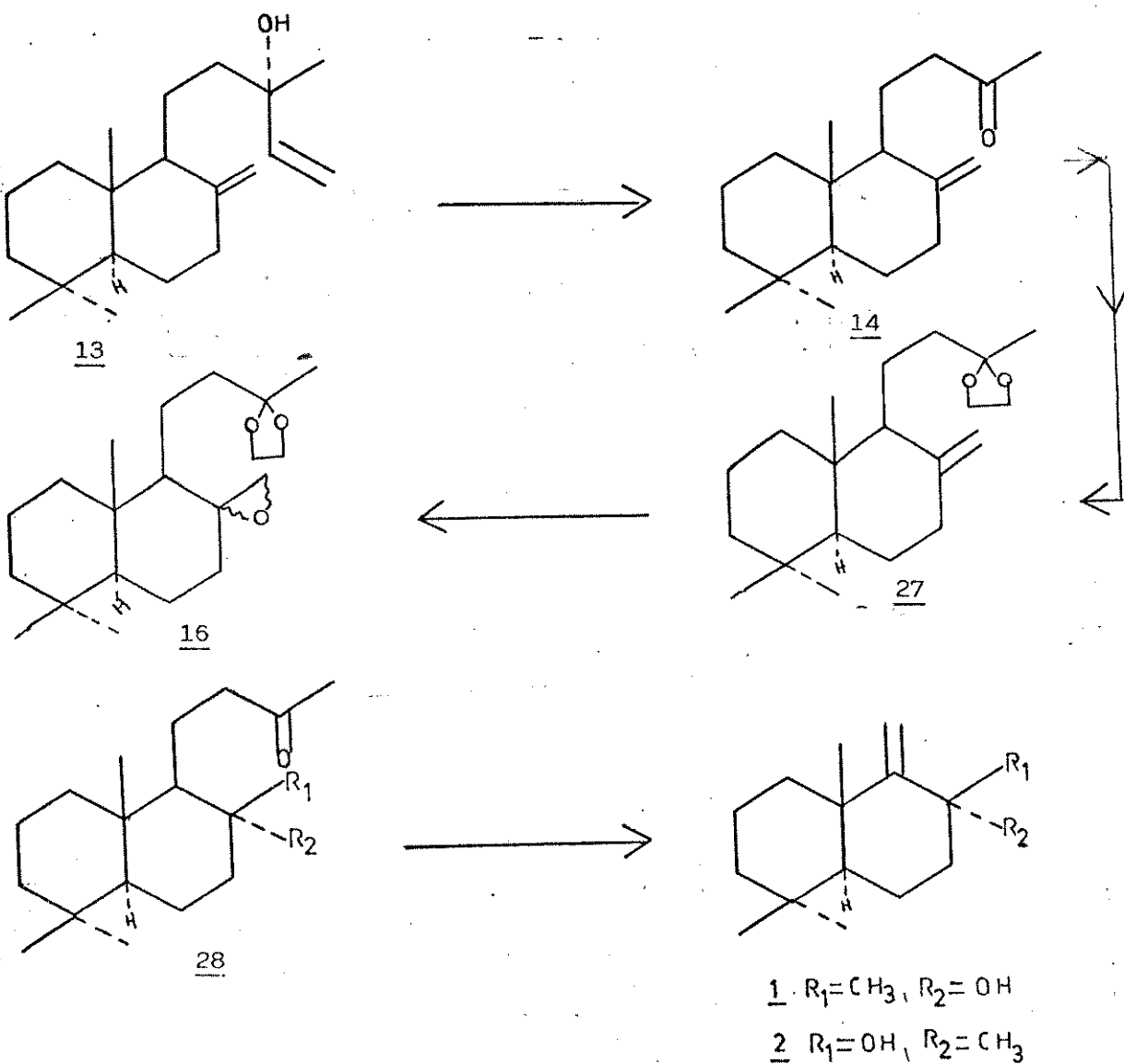


A única sugestão que se encontrou na literatura /16/ para a formação destes cetais, foi de que a abertura do anel epóxido e a reação de substituição não deveriam ocorrer simultaneamente. No nosso caso, como partimos de uma mistura de epóxidos e obtivemos quase que exclusivamente o cetal 23 podemos sugerir, que provavelmente, a abertura do anel epóxi ocorre primeiramente. Assim, a estereoquímica do intermediário formado, independe da proporção dos epóxidos na mistura. Por outro lado, o ataque nucleofílico à carbonila, pelo oxigênio do epóxido, poderá ocorrer tanto pela face Ré ou Sí da molécula, fornecendo 25 e 26.

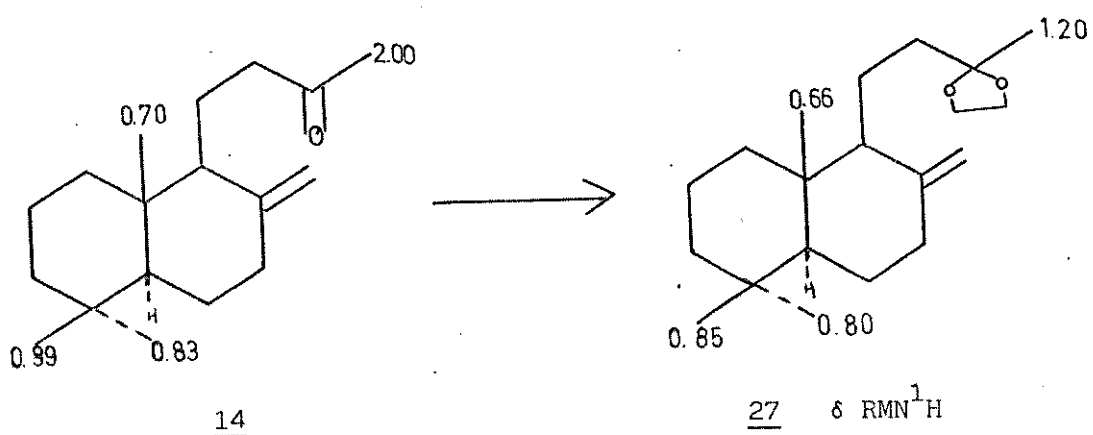
Esquema proposto

A conformação inicial 26 favoreceria a ciclização levando ao composto 23. Este fato, aliado à maior dificuldade de ciclização de 25 levaria o equilíbrio cetona 15 hemicetal 25 a deslocar-se, levando à formação de 23 em maior proporção.

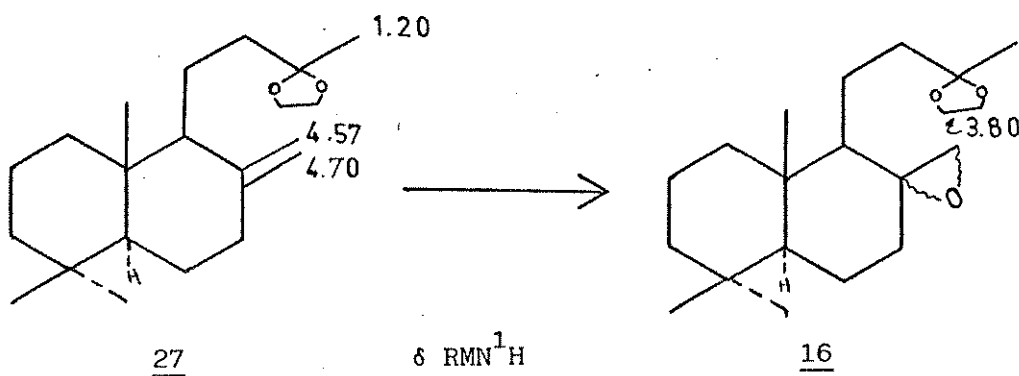
Tal impedimento na síntese nos levou a imaginar um outro caminho de síntese que permitisse proteger a cetona, sem levar à formação de um cetal. Elaborou-se então o esquema II.

Esquema II

A primeira etapa do esquema II, consistiu na proteção do composto 14, a qual foi constatada pela análise do espectro de RMN¹H [E-9].

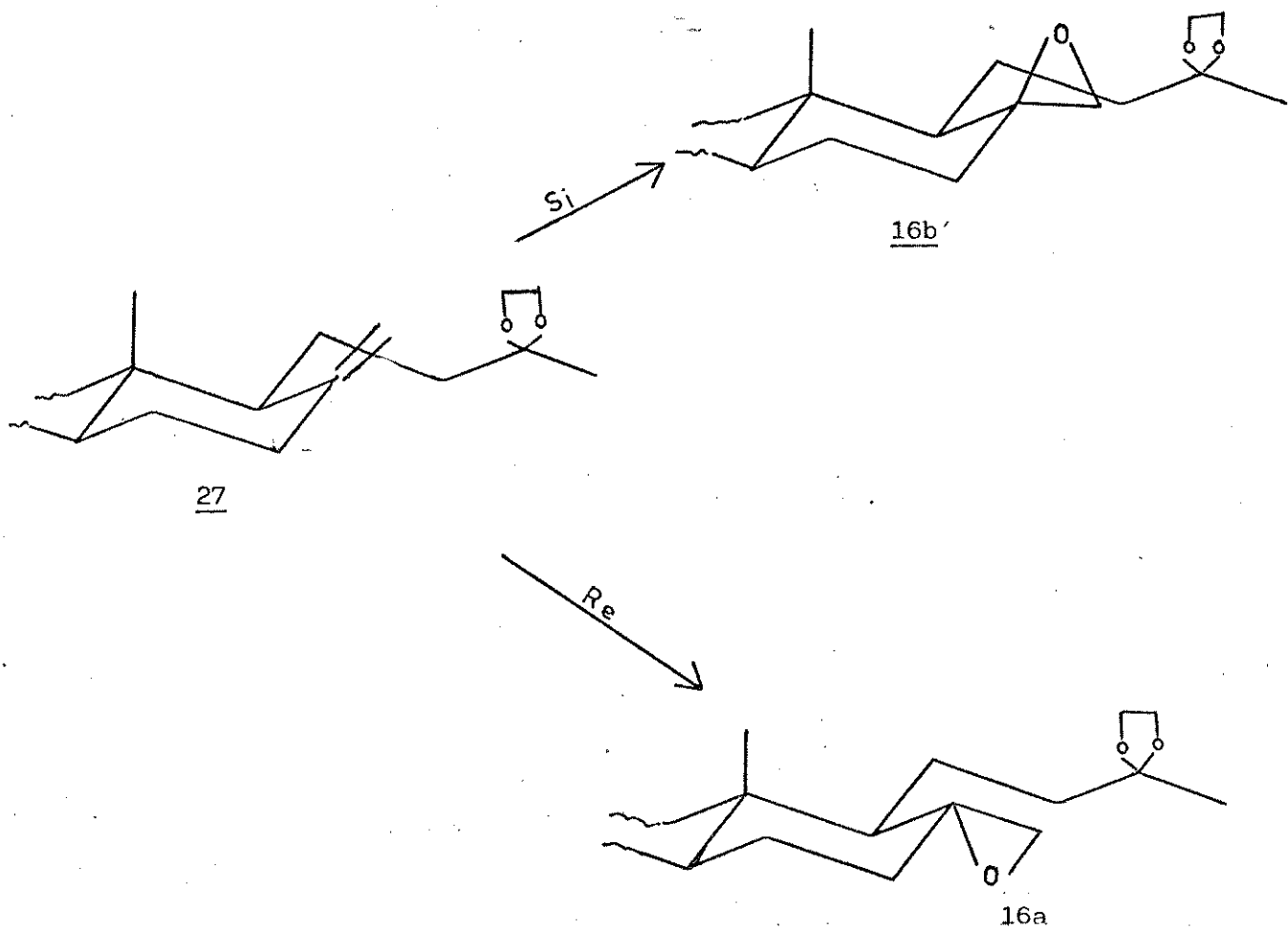


A metila-16, do produto de reação 27, foi deslocado para campo alto 1.20 ppm, como também em 3.80 ppm observou-se a absorção correspondente aos prótons metilênicos do grupo cetal, evidenciando a cetalização da cetona em C-12. No espectro de infravermelho também verificou-se que tinha ocorrido a proteção devido ao desaparecimento da banda em 1710 cm^{-1} (frequência de estiramento de grupos cetônicos) [E-8]. Lembrando, conforme já foi citado, que reações de epoxidação de compostos, tais como, 18, em meio monofásico de CH_2Cl_2 /ácido *m*-cloroperbenzólico, podem levar a acetals 20 /15/, optamos pela epoxidação do produto 27, num sistema bifásico, brando, de CH_2Cl_2 /ácido *m*-cloroperbenzólico/ NaHCO_3 0,5N /15/.

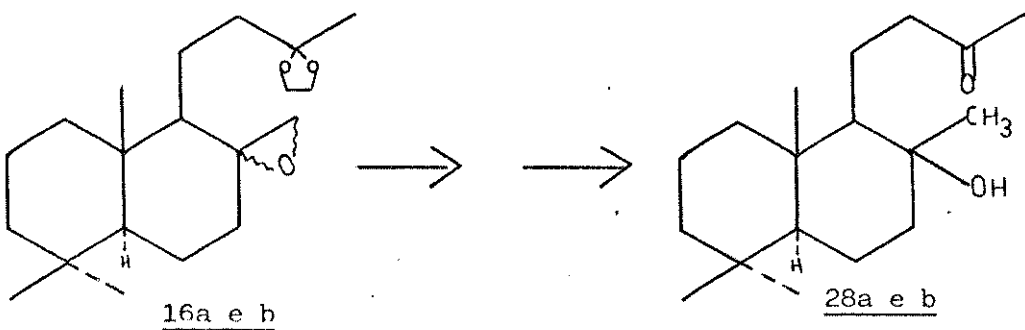


Verificou-se no espectro de RMN^1H [E-10] que os sinais correspondentes à dupla ligação exocíclica sobre C-8(17) em 4,57-4,70 ppm desapareceram. Por outro lado a presença de dois multipletos em 2,30 e 2,80 ppm atribuídos aos prótons metilênicos sobre C-17, do epóxido, confirmou a formação de 16. A epoxidação parece ter ocorrido pela face Ré e Si da molécula (hidrogênios

sobre C-17 absorvem como dois multipletos e normalmente quando os epóxidos são puros absorvem como dois doubletos definidos /14/. Observou-se também por CCD a formação de duas manchas com Rfs muito próximos (0,49 e 0,47).

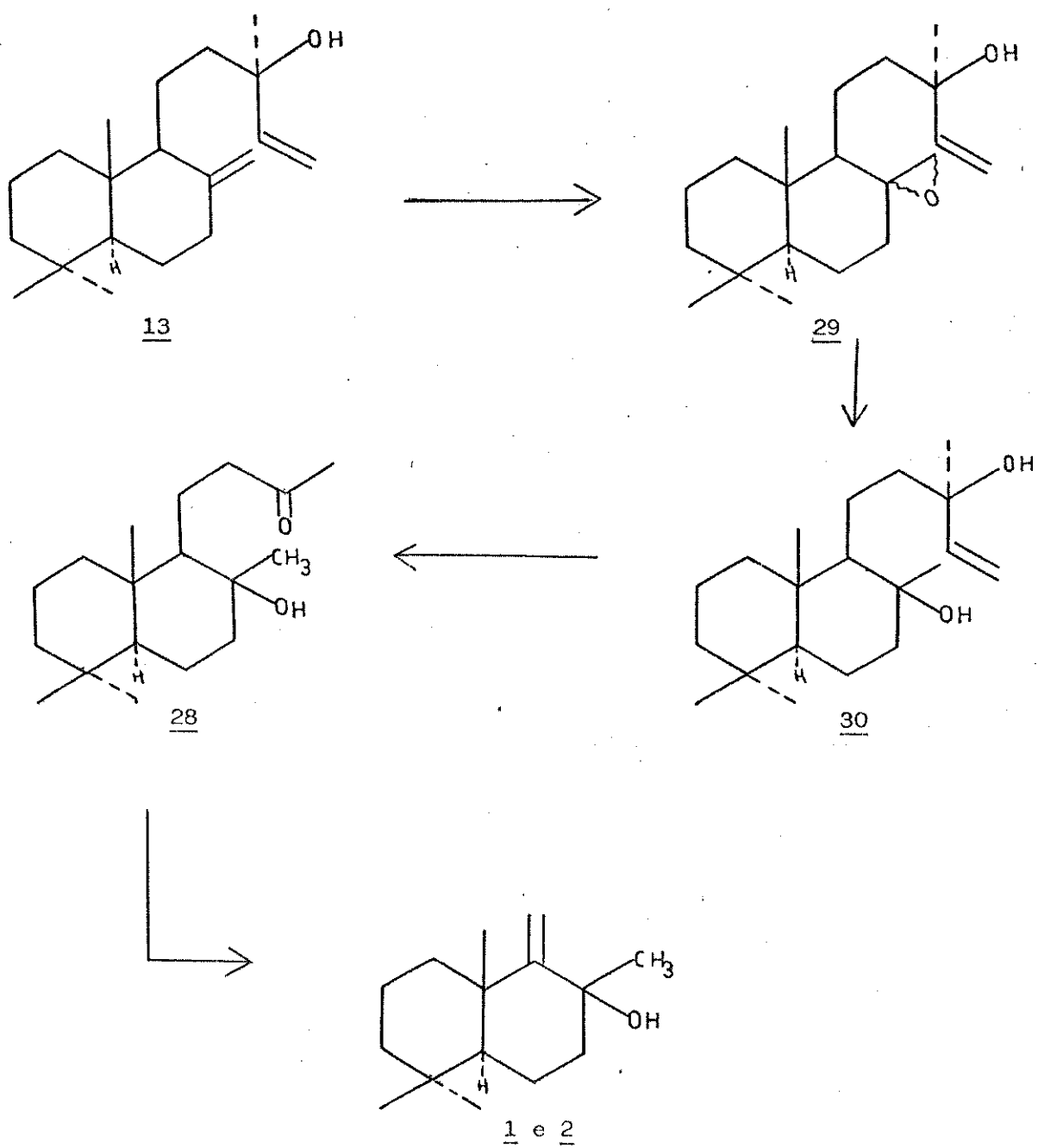


Para se fazer a abertura dos epóxidos, colocou-se a mistura de 16a e 16b para reagirem com LiAlH₄ em THF. A seguir, tratou-se a reação com uma mistura de HCl 1N/éter etílico.



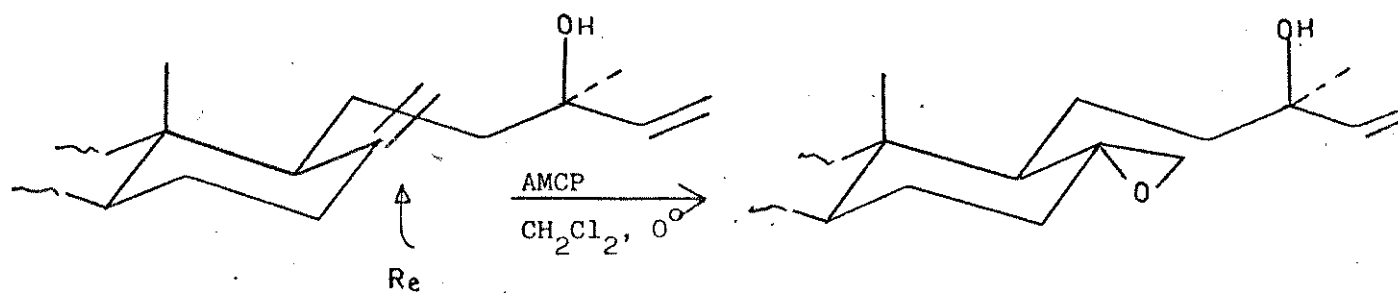
O produto da reação não apresentou no espectro de infravermelho as características esperadas para o 28a e b. Verificou-se também, por CCD de que o produto da reação era uma mistura complexa. A partir dos resultados obtidos nos esquemas I e II tomou-se as devidas precauções para evitar os problemas anteriores, sugerindo-se o esquema de síntese III.

Esquema_III



Neste terceiro esquema de síntese imaginou-se criar o centro quiral em C-8, antes de formar a cetona em C-13, a qual seria posteriormente submetida a reação de fotoeliminação.

A epoxidação regiosseletiva da ligação C-8,(17') já havia sido reportada por vários autores /11,14/. Além da regiosseletividade, Grant conseguiu uma alta estereosseletividade utilizando condições brandas ($T = 0^{\circ}\text{C}$) observando então, a formação do epóxido pelo lado menos impedido desta molécula, face Ré. Nos outros casos sempre foi constatado o ataque pela face Ré e Si da dupla ligação.



13

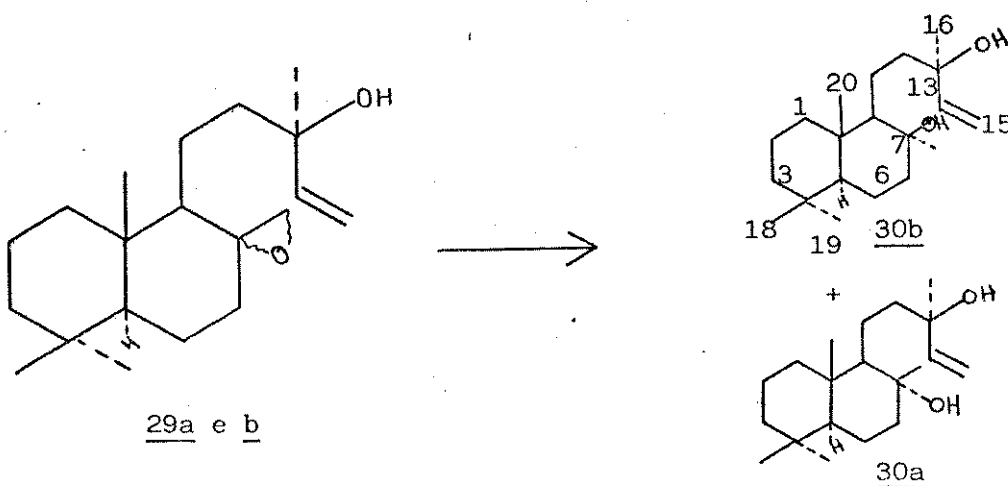
29a

Como nosso objetivo era a obtenção de ambos diastereoisômeros 29a e 29b optou-se por condições que levassem a uma epoxidação regiosseletiva porém de baixa estereoseletividade ($T = 30^\circ C$).

Comparando os dados de RMN¹H do produto de reação com o da literatura /11,14/ constatou-se que tinha ocorrido a reação de epoxidação na dupla ligação exocíclica C-8(17) pelo desaparecimento dos sinais correspondentes aos prótons olefiníco C-17 em 4,40 e 4,80 ppm [E-12]. A proporção entre os compostos 29a e 29b não foi possível de ser determinada, pois as diferenças entre os deslocamentos dos epóxidos, nos espectros de RMN¹H e RMN¹³C são muito sutis.

A reação de abertura dos epóxidos 29a e 29b foi feita com hidreto de litio alumínio e controlada por CCD revelando a formação de dois produtos mais polares numa proporção 1:3. Uma pequena alíquota foi separada por cromatografia de média pressão fornecendo os dois dióis 30a e 30b separados. O composto 30b, o menos polar que 30a, é o produto minoritário e apresentou características idênticas às do 8-*epi*-sclareol, no que diz respeito à rotação ótica e RMN¹H /11/ [E-15]. O composto 30a, mais polar que 30b, produto majoritário, apresentou características idênticas às do sclareol /11/ [E-15a].

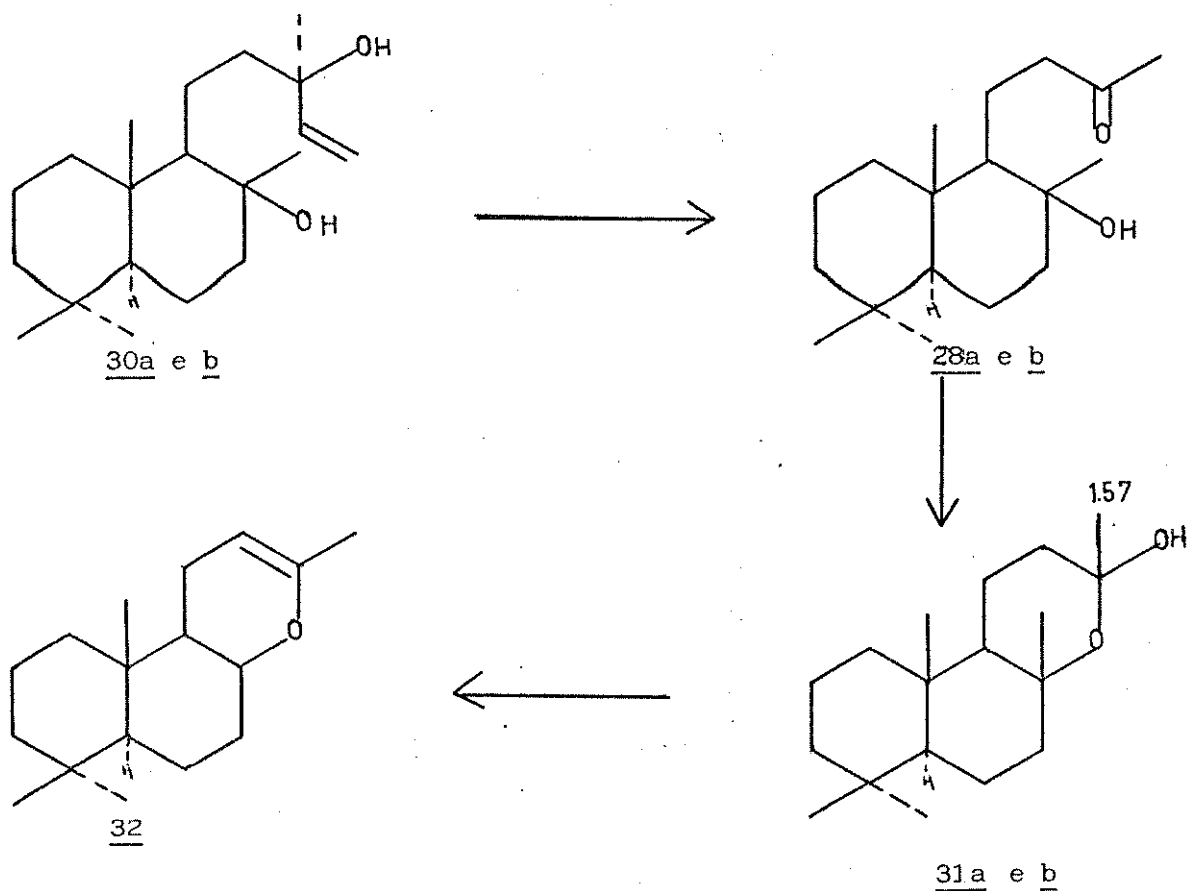
A proporção entre 30a e 30b avaliada por CCD foi confirmada com isolamento dos dois dióis. Vale aqui comentar que foi feita a abertura do epóxido obtido pelo método de Grant /14/ obtendo-se como único produto do sclareol 30a.



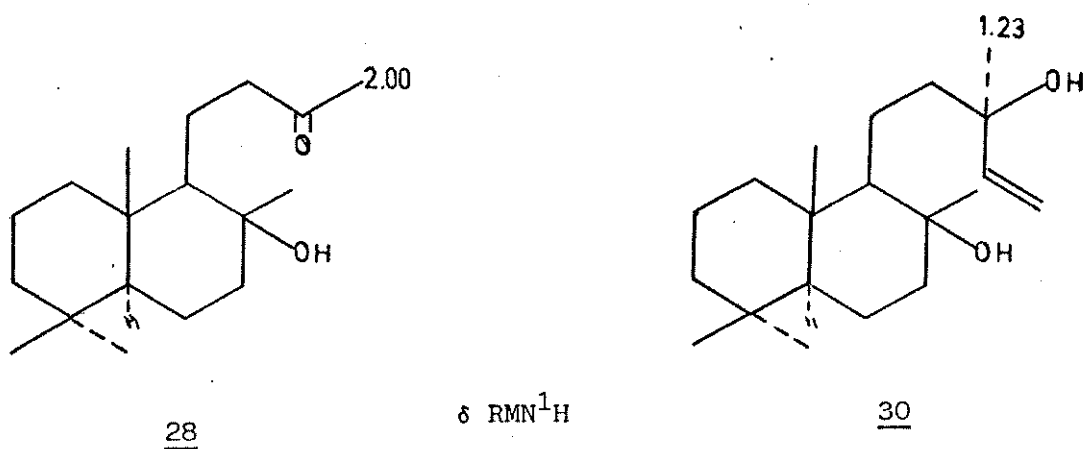
Optou-se por continuar a reação com a mistura de 30a e 30b e fazer a separação dos produtos finais.

A reação de oxidação que precede a reação de fotoeliminação mostrou-se muito delicada, pois ao oxidar os compostos 30a e 30b obtém-se as cetonas 28(a e b) que facilmente se transformam

em hemicetais. Os hemicetais são instáveis, podendo chegar aos enois 31(a e b) correspondentes, por desidratação, quando a reação é aquecida, ou simplesmente na presença de traços ácidos.

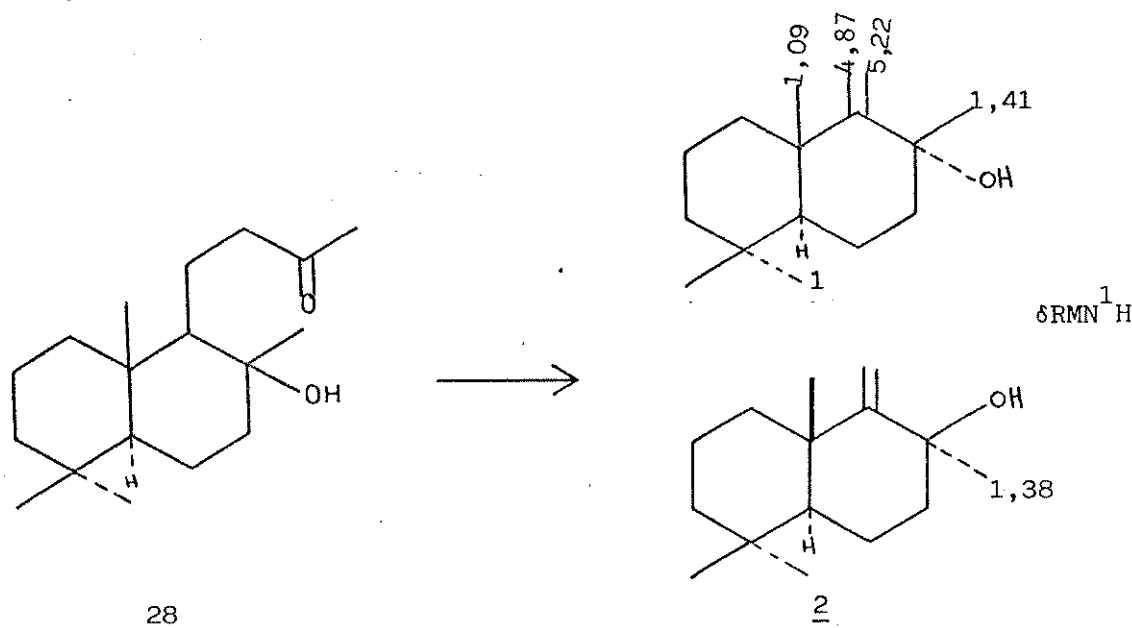


A formação do enol 32 já havia sido observada por Ohloff e colaboradores /16/, durante a oxidação do sclareol 30b. Constatou-se logo após o processamento da reação a formação do composto 28, através do espectro de RMN¹H [E-19] onde a metila-16 absorvia em 2,00 ppm apresentando-se desprotegida, quando comparada a do composto 30 (1,23 ppm).



Com o passar do tempo observou-se no espectro de RMN^{1H} [E-20] que o sinal em 2,00 ppm diminuia de intensidade, enquanto que o sinal em 1,57 ppm aumentava proporcionalmente indicando que a acetona 28 se transformava espontaneamente em hemicetal 31 e enol 32.

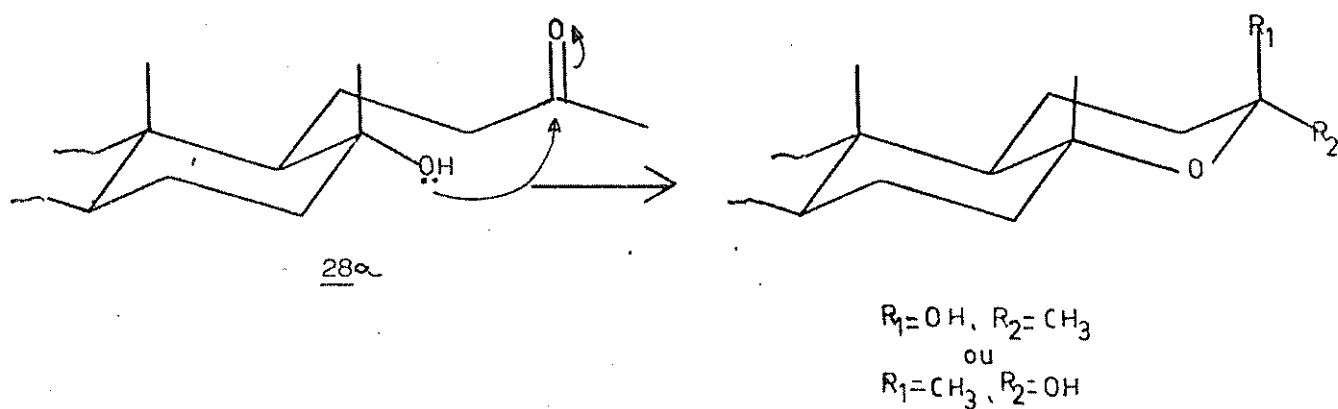
Os epímeros 1 e 2 foram obtidos após a reação de fotoelminacão.



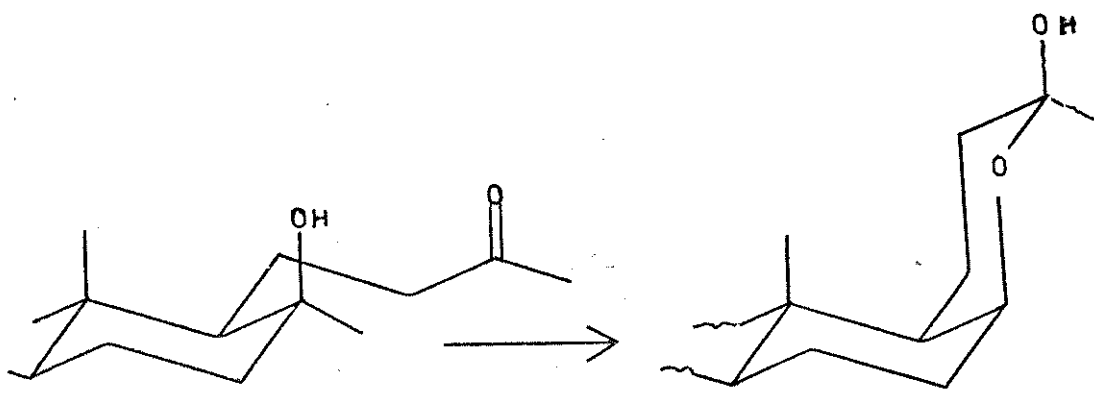
Foi constatada a formação destes pela comparação dos dados do espectro de RMN¹H da literatura /2/ com aqueles obtidos experimentalmente [E-22, E-25]. O epímero 2 foi isolado com 13% de rendimento facilmente identificado pela absorção dos prótons da dupla ligação exocíclica (9,11) em 4,87 e 5,04 ppm. O epímero 1 foi isolado com traços de impurezas (10%), este foi também facilmente caracterizado pela absorção dos prótons da dupla exocíclica em 4,84 - 5,22 ppm.

Como a proporção de 30a na mistura de álcoois era superior; esperar-se-ia uma maior proporção de 1 em relação a 2 no final da síntese. Entretanto foi verificado exatamente o contrário.

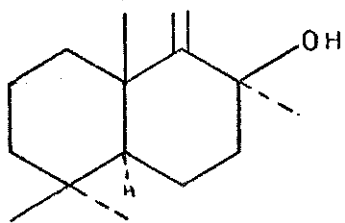
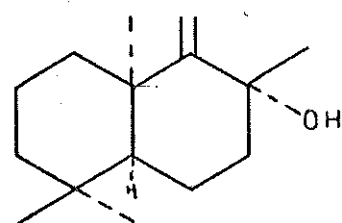
Este fato poderia ser atribuído à maior facilidade do 28a, formar hemiacetal e enol, uma vez que esta reação intra-molecular levaria à formação de um composto trans, anti, trans.



Por outro lado, a ciclização do epímero 28b levaria a uma fusão de anéis, trans, anti, cis implicando num maior número de interações butano-gauche tornando esse sistema menos favorável à ciclização.

28b

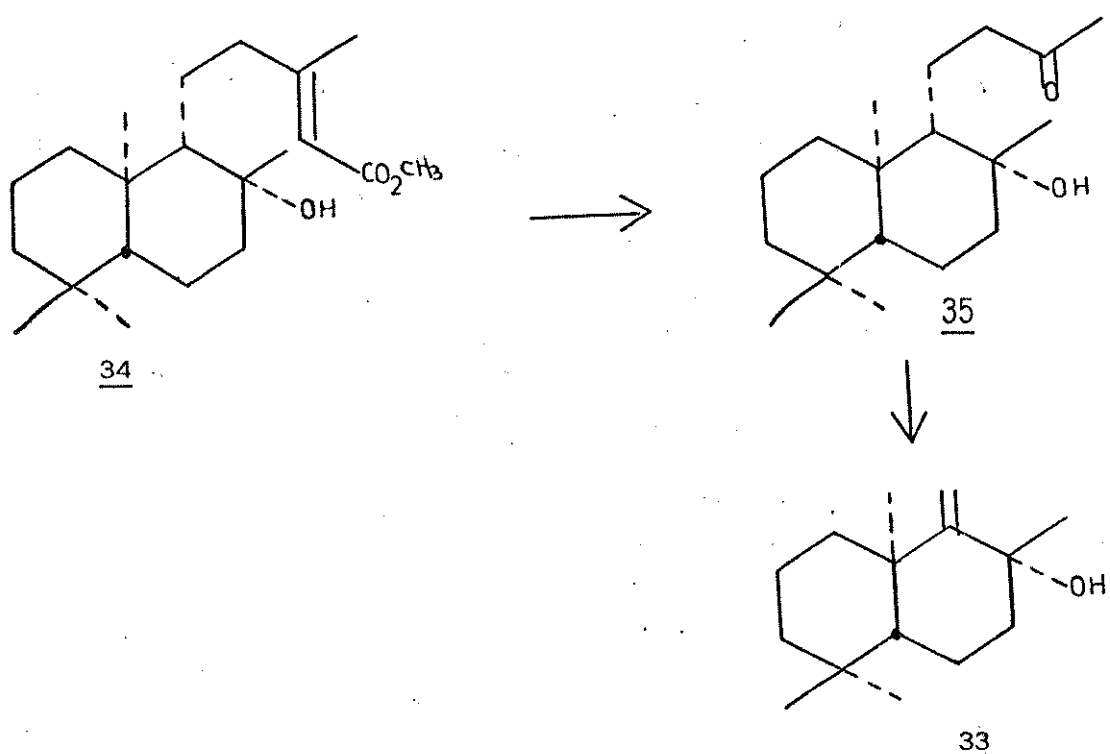
O composto 2 apresentou concordância total nos seus dados físicos com os de Wada /2/ a não ser pela rotação ótica, a qual dava um desvio de $-9,7^\circ$ (c.i., CHCl_2), o composto isolado por Wada /2/ forneceu uma rotação ótica de $+4,4^\circ$. Com base neste fato sugeriu-se que o composto sintetizado 2 era o antíspoda do produto natural ou seja 33.

233

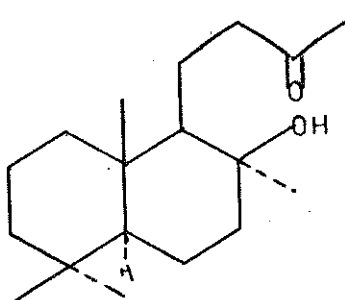
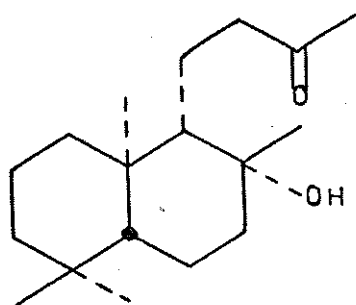
Com o objetivo de sintetizar o produto natural 33 escolheu-se como substrato quiral um composto que tivesse a quiralidade desejada nos carbonos C-5, C-8 e C-10, ou seja, (5R, 8R, 10R). O composto que se enquadrava nessas condições e ao qual se tinha acesso, foi o (5R, 8R, 9S, 10R)-labd-13-en-8-ol-15-oato de metila 34. Este composto foi isolado e metilado por Marsaioli e colaboradores /17/, os quais nos forneceram uma pequena quantidade de possibilitando a obtenção do composto 33 em duas etapas como

esta ilustrado no Esquema IV.

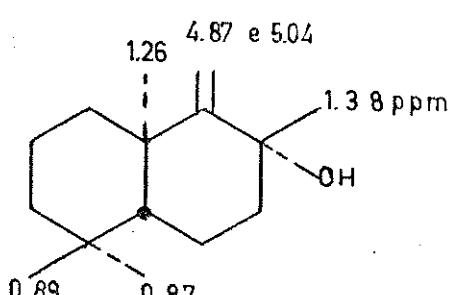
Esquema IV



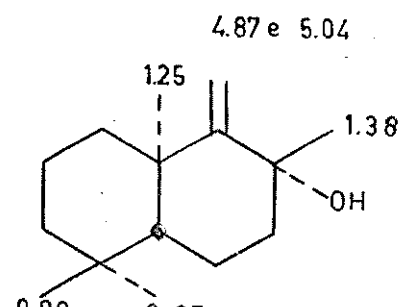
Constatou-se a formação da cetona 35 comparando seus dados espectrais com os do composto 28. O espetro no infravermelho [E-27] apresentou uma banda de cetona em 1780 cm^{-1} evidenciando a reação de oxidação. A metila-16 de 35 foi observada em 2,00 ppm no espetro de RMN¹H [E-28].

2835

A reação de fotoeliminação forneceu o composto 33 com rendimento de 25%, o qual apresentou constantes físicas idênticas às do produto natural.

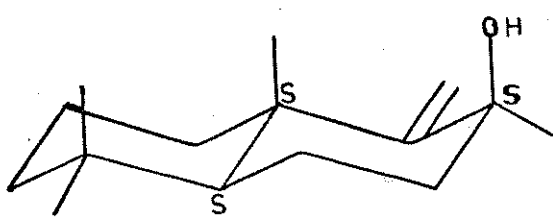
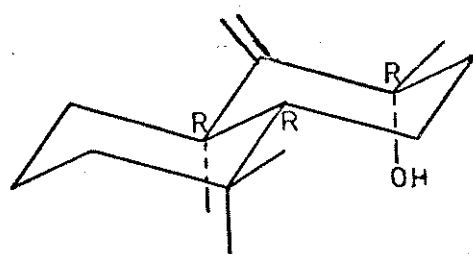


33 $[\alpha]_D^{25} +9,9^\circ$

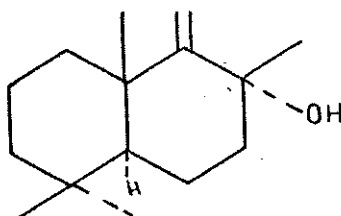


Wada /2/ $[\alpha]_D^{25} +4,4^\circ$

O valor da rotação ótica observada para 33, $+9,9^\circ$, tem, aproximadamente, o mesmo valor absoluto que 2, $-9,7^\circ$, enquanto o de Wada /2/ tem uma pequena diferença, $+4,4^\circ$. Poder-se-ia atribuir isto às pequenas quantidades com que Wada trabalhou, estando o valor da medida da rotação ótica sujeita a um maior erro. Esses dados corroboram a sugestão de que o composto isolado por Wada e colaboradores /2/ é o (5R, 8R, 10R) - 9(11)-drimen-8-ol.

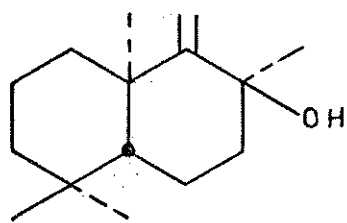
233

A obtenção do epímero 1 foi constatado por RMN¹H como já mencionamos anteriormente.

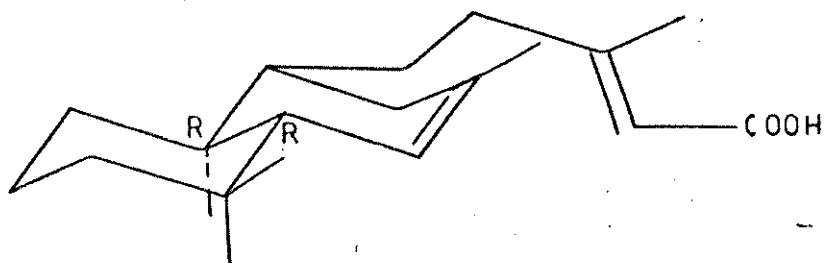
1

Por CCD verificou-se que havia uma impureza que apresentava Rf muito próximo ao composto 1, em vários sistemas eluotrópicos testados. Assim, não foi possível isolar este diastereoisômero completamente puro. Constatou-se ao fazer sua medida de rotação ótica que este apresentava um valor de +22° enquanto que o composto 36 isolado por Wada /2/ apresentava um desvio de -132° permitindo-nos apenas constatar que ambos os compostos pertenciam a séries antípodas.

Passou-se então a síntese do enantiômero de 1, ou seja, 36, o qual deve ser o próprio produto natural.

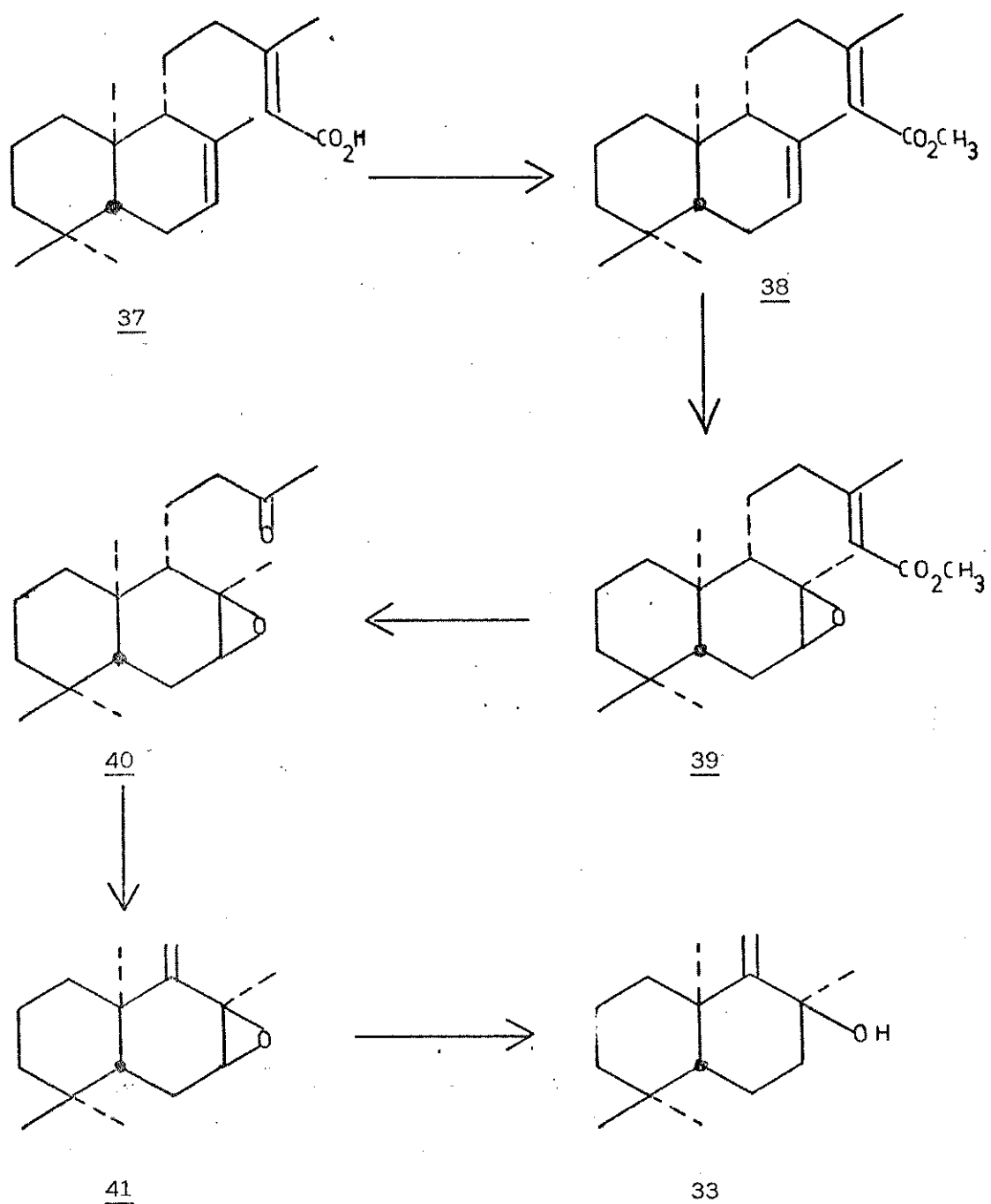
33

Procurou-se um substrato que tivesse o maior número de centros quirais iguais ao produto que se queria chegar escolhendo-se o ácido ent-7(β), 13(14)-abdadien-15-oico 37.

37

O esquema de síntese envolveria cinco etapas como descrito a seguir:

ESQUEMA V:

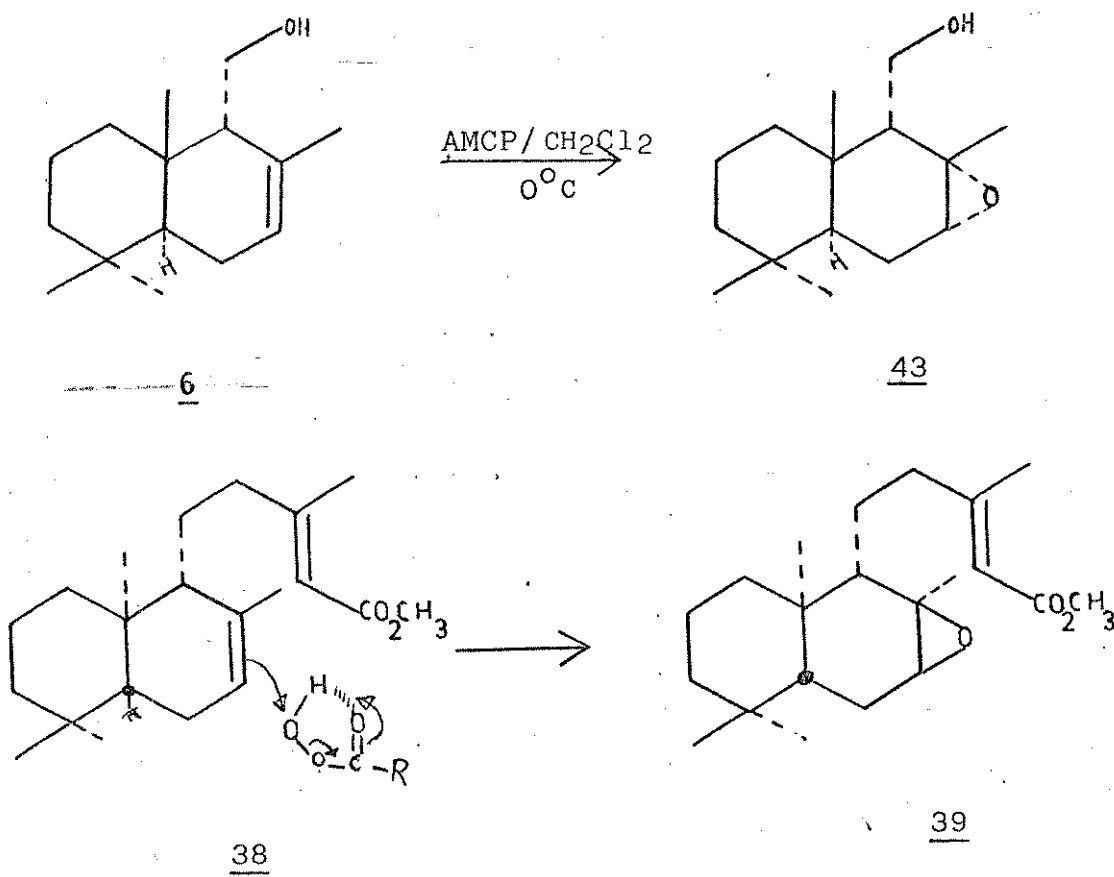


A reação de esterificação do composto 37 foi constatada pelo espectro no infra-vermelho, devido ao desaparecimento da banda larga de OH de ácido carboxílico em $3300\text{-}2500\text{ cm}^{-1}$ [E-32]. No espectro de RMN¹H observou-se o aparecimento de um sinal cor-

respondente a um grupo metila ligado a um oxigênio em 3,60 ppm [E-33].

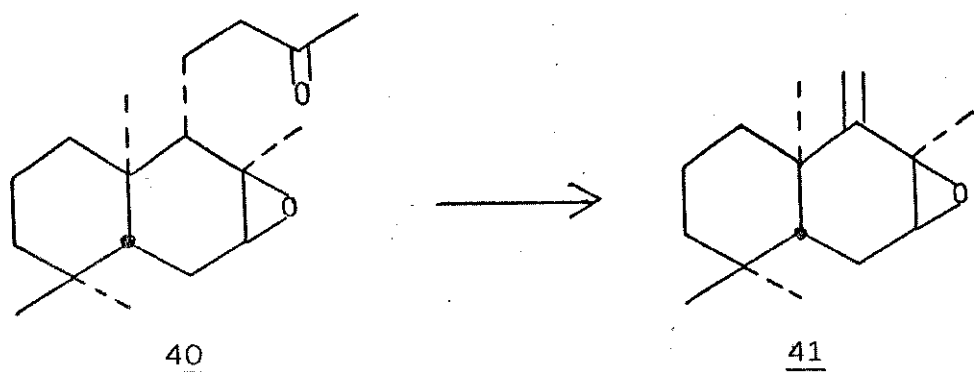
Epoxidou-se 38 constantando-se por RMN¹H que a reação ocorreria regiosseletivamente, através do desaparecimento do sinal em 5,40 ppm (H-7 de 38) e pela absorção em 2,80 ppm (H-7 de 39) [E-36]. Por espectroscopia de massa confirmou-se a obtenção do epóxido 39 pela presença do íon molecular em m/z 334 [E-37].

Baseando-se no fato de que a epoxidação de 6 forneceu 43 estereosseletivamente /2/ supõe-se que a epoxidação de 38 ocorrerá de forma análoga fornecendo 39.

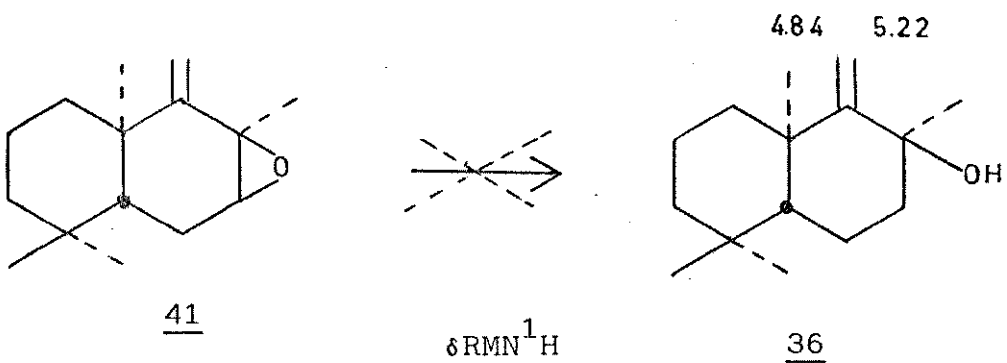


Oxidação de 39 com KMnO₄/MgSO₄ forneceu o composto 40 evidenciado pela análise do espetro no infra-vermelho, através da

banda característica para cetonas em 1730 cm^{-1} [E-38]. A unidade sesquiterpénica foi formada pela fotoeliminação, com perda de três unidades de carbono. A análise do espectro de RMN¹H mostrou que ocorreu a ruptura da ligação 11-12, com formação da dupla exocíclica, devido à absorção em 5,08 e 5,20 ppm [E-41], como também pelo desaparecimento da absorção correspondente ao estiramento C=O em 1730 cm^{-1} no infra-vermelho [E-40].

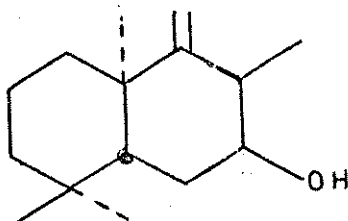


Abertura do epóxido 41 (10mg) com hidreto de lítio e alumínio, forneceu um produto de difícil purificação, o qual por RMN¹H não apresentava absorções com os deslocamentos químicos esperados.



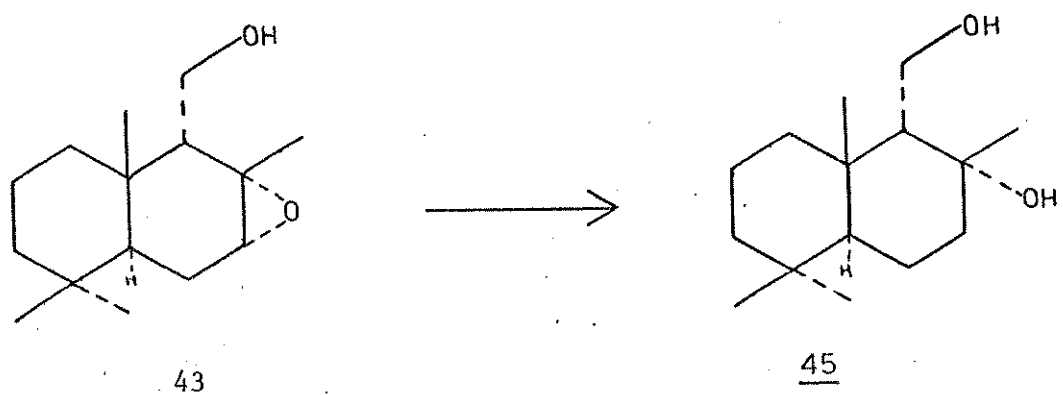
Os deslocamentos químicos dos prótons da dupla ligação foram observados em campo mais alto no RMN¹H (4,60 e 4,87 ppm) do que deveriam ser observados para 36 (4,84 e 5,22 ppm), acreditan-

do-se que poderia ter ocorrido a formação do composto 44.

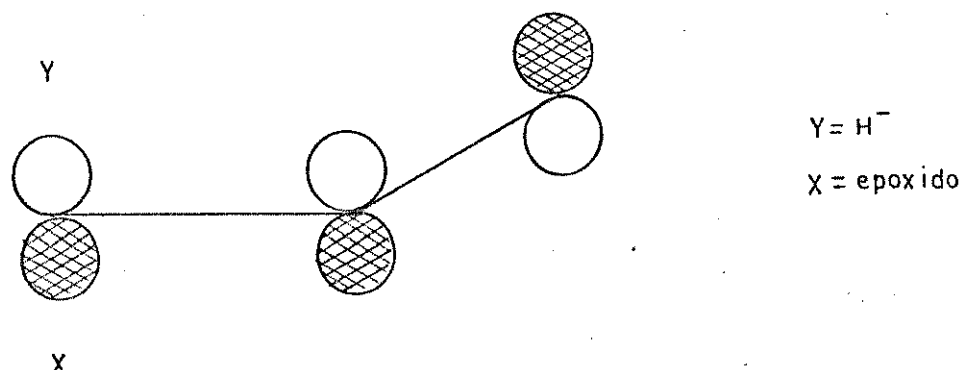


44

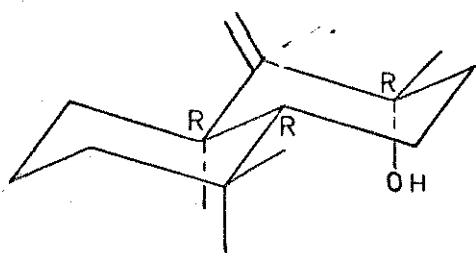
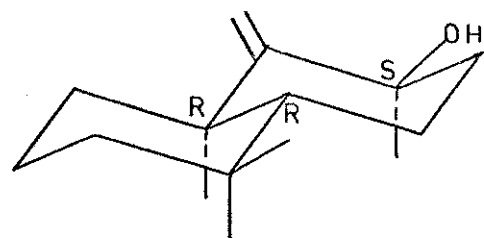
Wada e colaboradores /2/ ao fazerem abertura do epóxido 43 obtiveram o produto cinético ou seja o álcool terciário 45



No caso do composto 41, a posição alifática-8 pode sofrer um ataque nucleofílico com maior facilidade, levando à abertura do epóxido com formação do álcool secundário 44 /18/. A abertura transdialixial do epóxido, onde o estado de transição envolve uma conformação cadeira, também favoreceria a formação de 44.



Outras tentativas de abertura do epóxido 41, sob condições diversas, para alcançar o álcool 36 não foram possíveis devido o esgotamento de nosso substrato de partida. Este fator impossibilitou a síntese do composto (5R, 8S, 10R)-(9,11)-drimen-8-ol 36. Neste capítulo descrevemos a síntese dos compostos (5S, 8S, 10S)-9(11)-drimen-8-ol 2 (5S, 8R, 10 S)-9(11)-drimen-8-ol 1 e (5R, 8R, 10R)-9(11)-drimen-8-ol 33, o que nos possibilitou concluir que os compostos isolados por Wada e colaboradores /2/ são (5R, 8R, 10R)-9(11)-drimen-8-ol 33 e (5R, 8S, 10R)-9(11)-drimen-8-ol 36.

3336

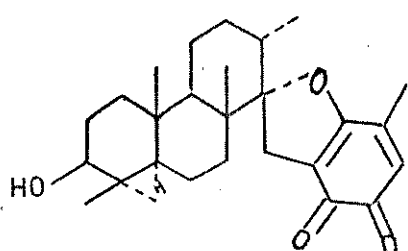
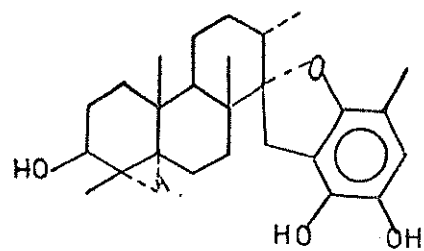
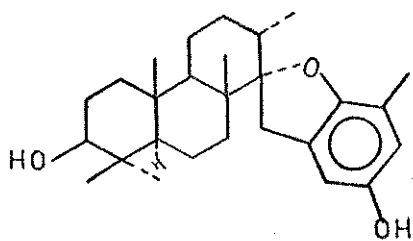
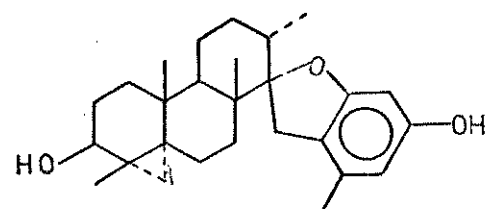
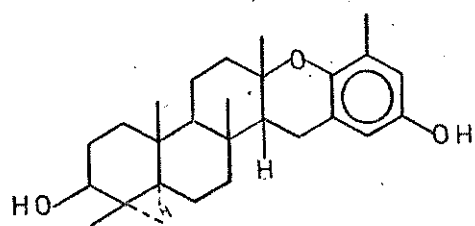
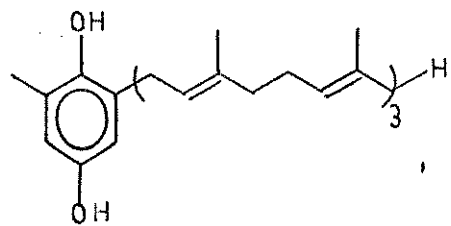
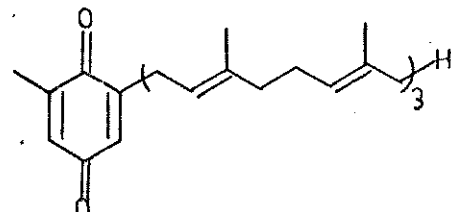
CAPÍTULO_11

2.1 - Introdução

2.11 - Execução da Síntese

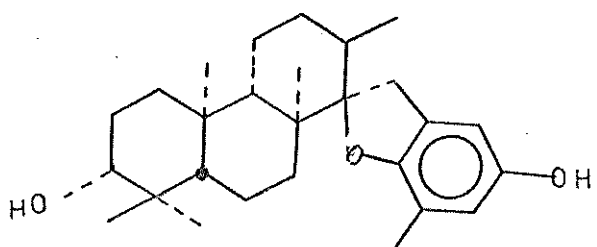
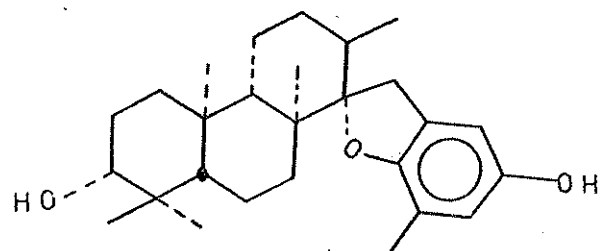
2.I. INTRODUÇÃO

Ao estudar a alga marron *Stipopodium zonale*, Fenical e colaboradores /3/ isolaram sete produtos naturais: stipoldiona 46, stipotriol 47, stipodiol 3, epistipodiol 4, epitandiol 48, (2-geranil-geranil)-6-metil-1,4-benzodihydroquinona 49, 2-(geranio-geranil), 6-metil-1,4-benzoquinona 50.

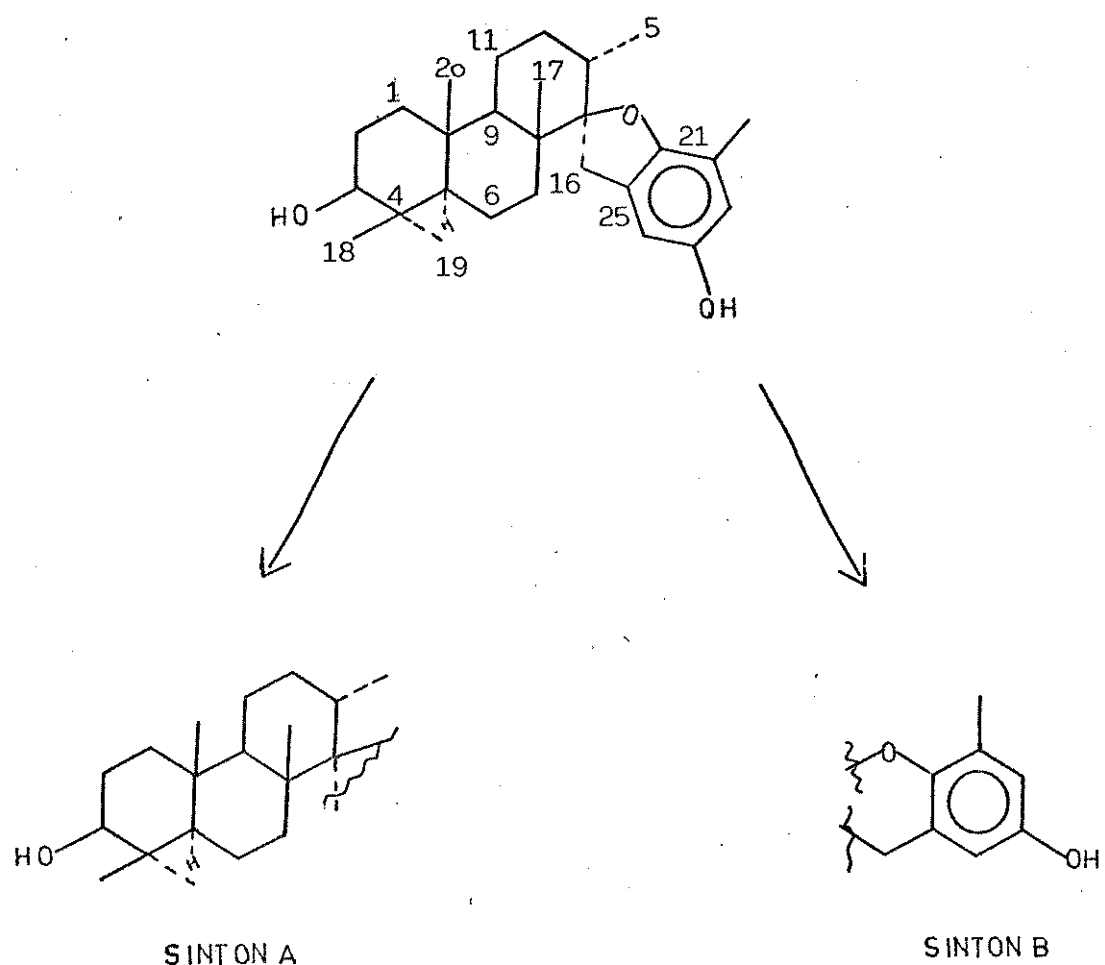
464734484950

Esta alga mostrou produzir fortes efeitos ictiotóxicos sobre os peixes herbívoros *Eupomacentrus leucostictus* /20/, esta toxicidade é atribuída aos compostos que foram isolados desta alga. A stipoldiona 46, também produto de oxidação do stipotriol 47, foi estudada com mais detalhes, por ser a mais estável entre os compostos isolados. Embora tóxica aos peixes, 46 mostrou-se não tóxico aos ratos como também mostrou prolongar o tempo de vida dos ratos injetados com células de leucemia linfocítica P388 ou com células do tumor Erlich ascites /21/.

A atividade das substâncias isoladas da alga por Fenical e colaboradores /3/, aliado ao fato da configuração absoluta dos mesmos ser desconhecida motivou-nos a procurar um caminho de síntese para as duas moléculas 51 e 52. Estes compostos poderiam ser enantiômeros do stipodiol 3 e epistipodiol 4, ou ainda idênticos aos isolados por Fenical e colaboradores /3/.

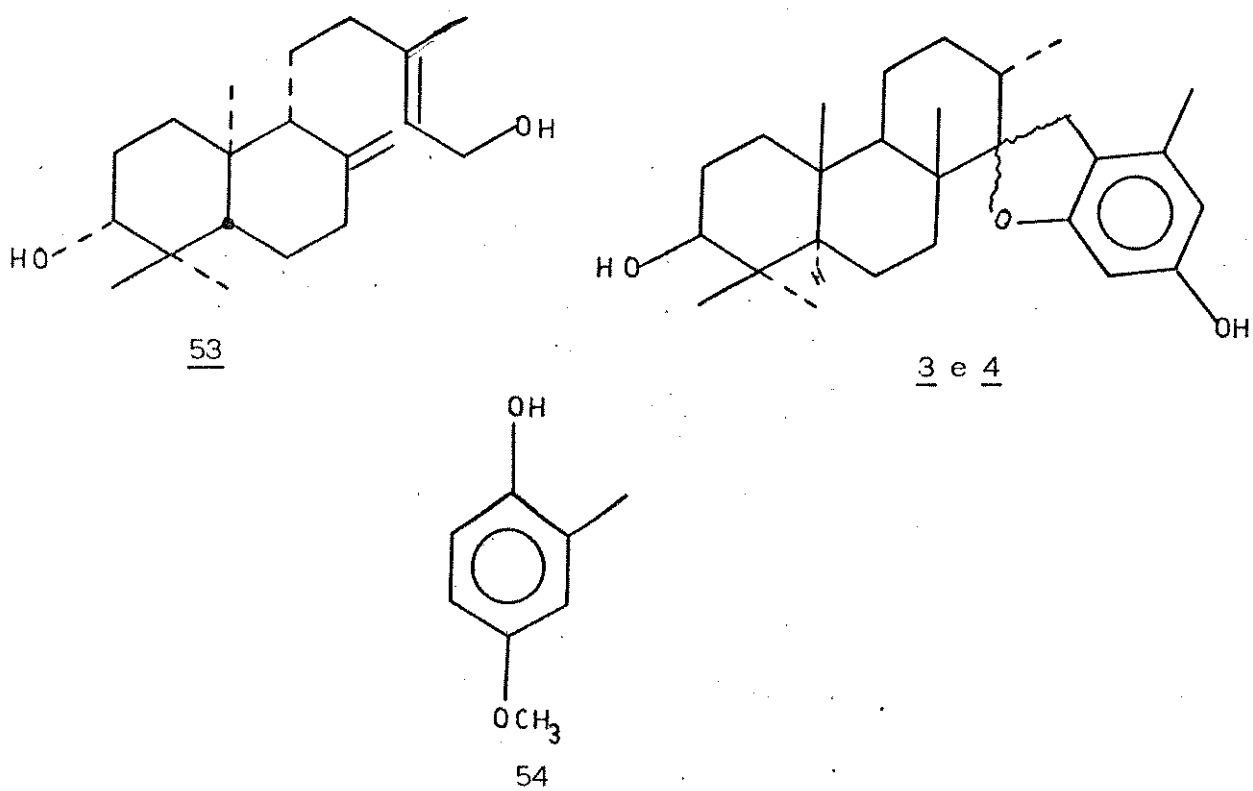
5152

Levando em consideração que a molécula alvo pode ser desconectada em dois sintons, um retendo os centros quirais da molécula, o quiron A, e outro aromático o sinton B, conforme observado no esquema I, escolheu-se um substrato quiral tal que levaria a molécula alvo.

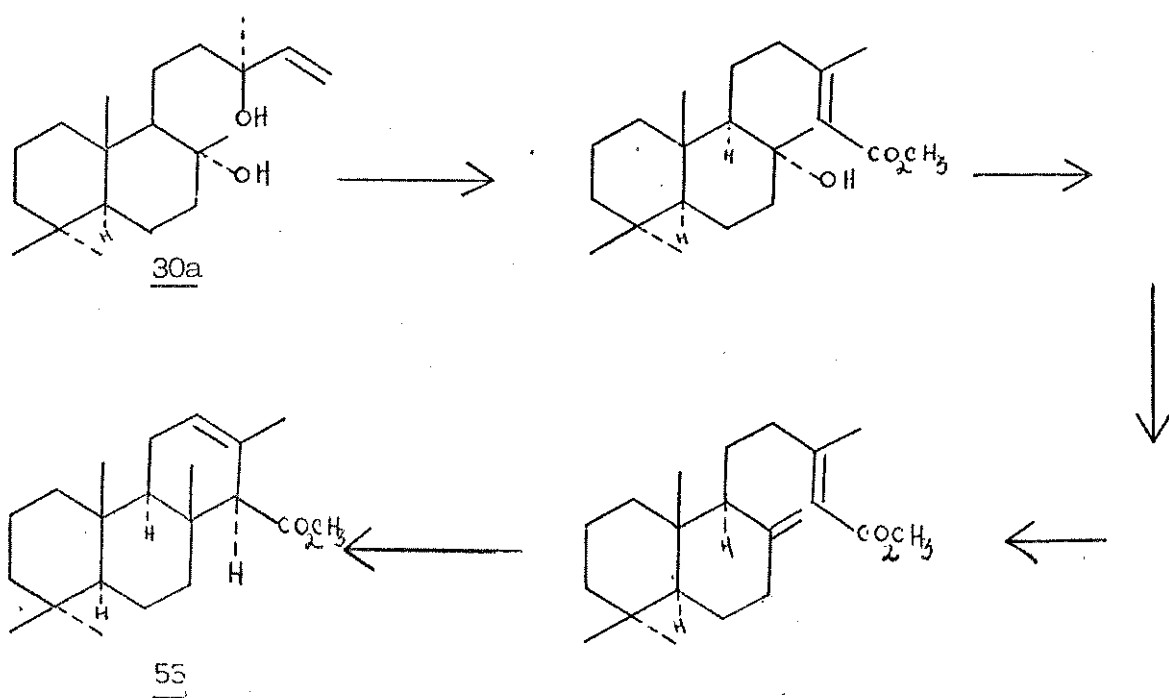
ESQUEMA I:

O esquema II elaborado para a síntese dos compostos 51 e 52 seria aquele que utilizaria como sinton terpênico o ent-8(17), 13(14)-labdadien-3, 15-diol 53 e como sinton aromático 2-metil-4-metoxifeno l 54. A escolha do composto 53 decorre do fato deste composto possuir os centros C-5, C-9, C-10, com a mesma configuração relativa dos compostos alvo 3 e 4.

* Sinton ou quiron é um fragmento generalizado, usualmente um sion ou um intermediário de síntese /22/.

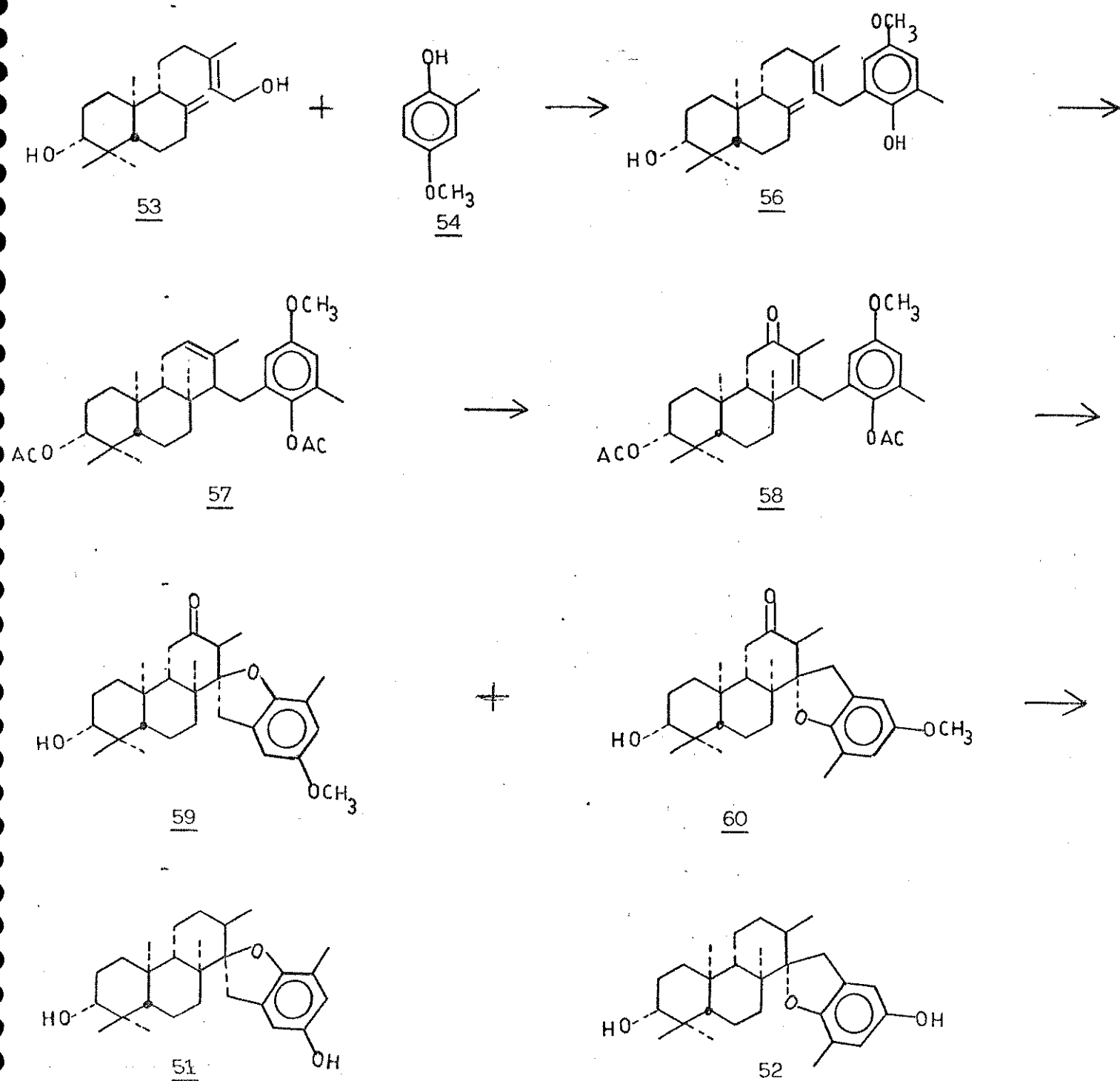


Imaginou-se que após algumas reações obter-se-ia 56 o qual sofreria uma ciclização estereosseletiva na dupla ligação exocíclica C-8(17) como no caso do ent-isocopalato de metila 55 /23/ a partir do sclareol 30a.

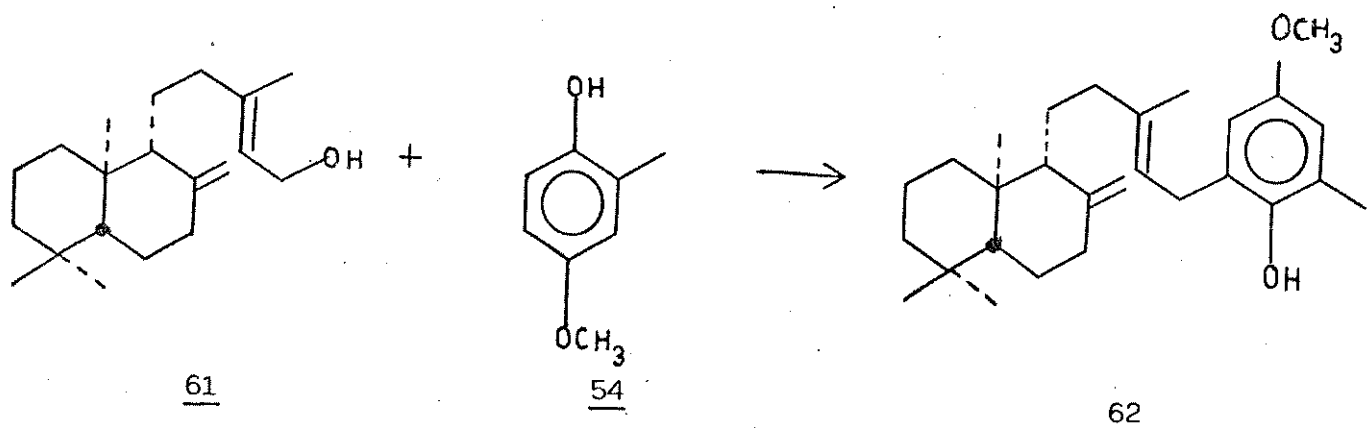


O esquema III está exposto a seguir:

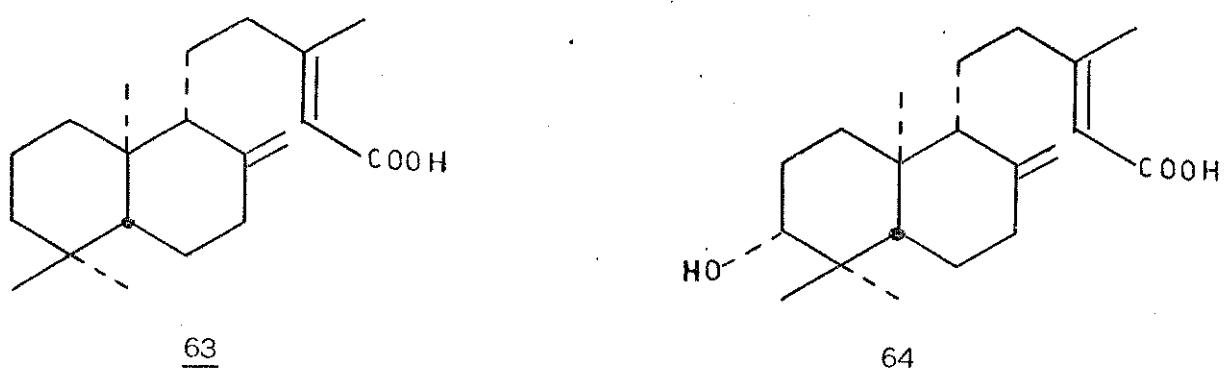
ESQUEMA III:



Em trabalho anteriormente realizado /24/, verificou-se que a reação entre o álcool alílico 61 e o toluquinol 54 forneceu o produto de acoplamento 62 desejado, muito embora os rendimentos fossem baixos, necessitando serem otimizados.

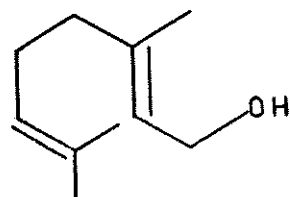
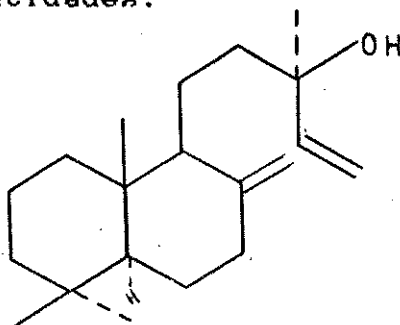


Para otimizar o esquema II, de síntese, usou-se o ent-8(17),13(14)-labdadien-15-ol 61 por este ser de fácil preparação, a partir do ácido ent-8(17), 13(14)-labdadien-15-oico 63 que tinha sido isolado em maior quantidade do óleo comercial de copaíba /34/ do que o ácido ent-3-hidroxi-8(17), 13(14)-labdadien-15-oico 64.



Outros sintons terpênicos, tais como, compostos 13 e 65, foram utilizados na otimização do modelo, por serem álcoois alí-

licos com características necessárias e disponíveis em grande quantidades.



¹³ Nas várias tentativas de otimização realizadas (Tabela 1), utilizou-se diferentes sintons aromáticos, os quais poderiam levar ao padrão de substituição do sinton aromático da molécula alvo, após a reação de acoplamento com o sinton terpênico.

TABELA 1

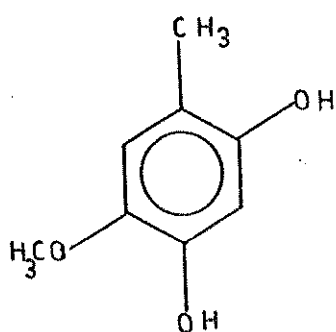
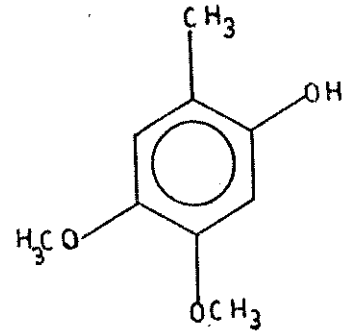
Tent	Sinton Terpênico	S.Aromático	Condições	Produto
1			$\text{BF}_3/\text{dioxano}/\text{N}_2$	
2			$\text{BF}_3/\text{dioxano}/\text{N}_2$	—
3			$\text{BF}_3/\text{dioxano}/\text{N}_2$	—
4			$\text{BF}_3/\text{dioxano}/\text{Ar}$	
5			$\text{BF}_3/\text{dioxano}/\text{Ar}$	
6			$\text{BF}_3/\text{dioxano}/\text{Ar}$	

Pela análise do espectro de RMN¹H, verificou-se em 3,55 ppm e 3,10 ppm a absorção de prótons benzílicos, que indicaram o acoplamento entre os sintons terpenicos e aromático, na tentativa 1.

Foram feitas as outras tentativas de acoplamento almejando aumentar o rendimento desta etapa que no caso foi de 13%.

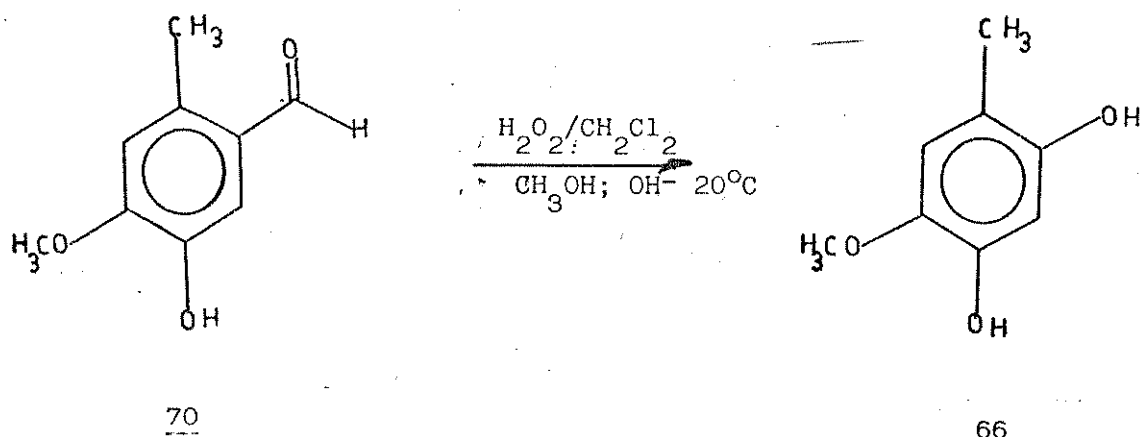
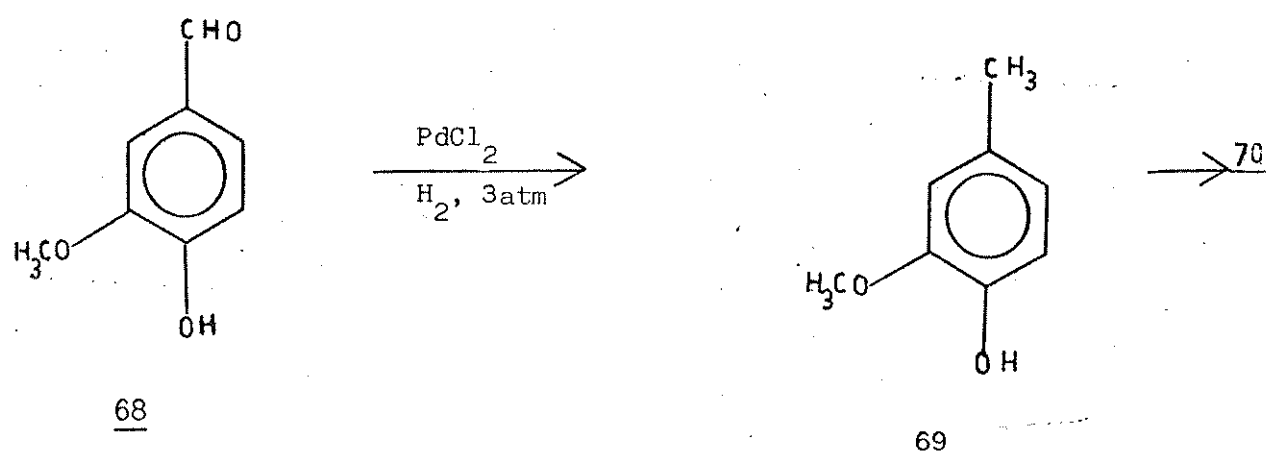
Não foram observadas as reações de acoplamento para as tentativas 2, 3 e 4.

Com a finalidade de obter sintons aromáticos mais reativos, frente a reação de acoplamento com os sintons terpênicos, elaborou-se os caminhos de síntese para 66 (Esquema III) e 67 (Esquema IV)

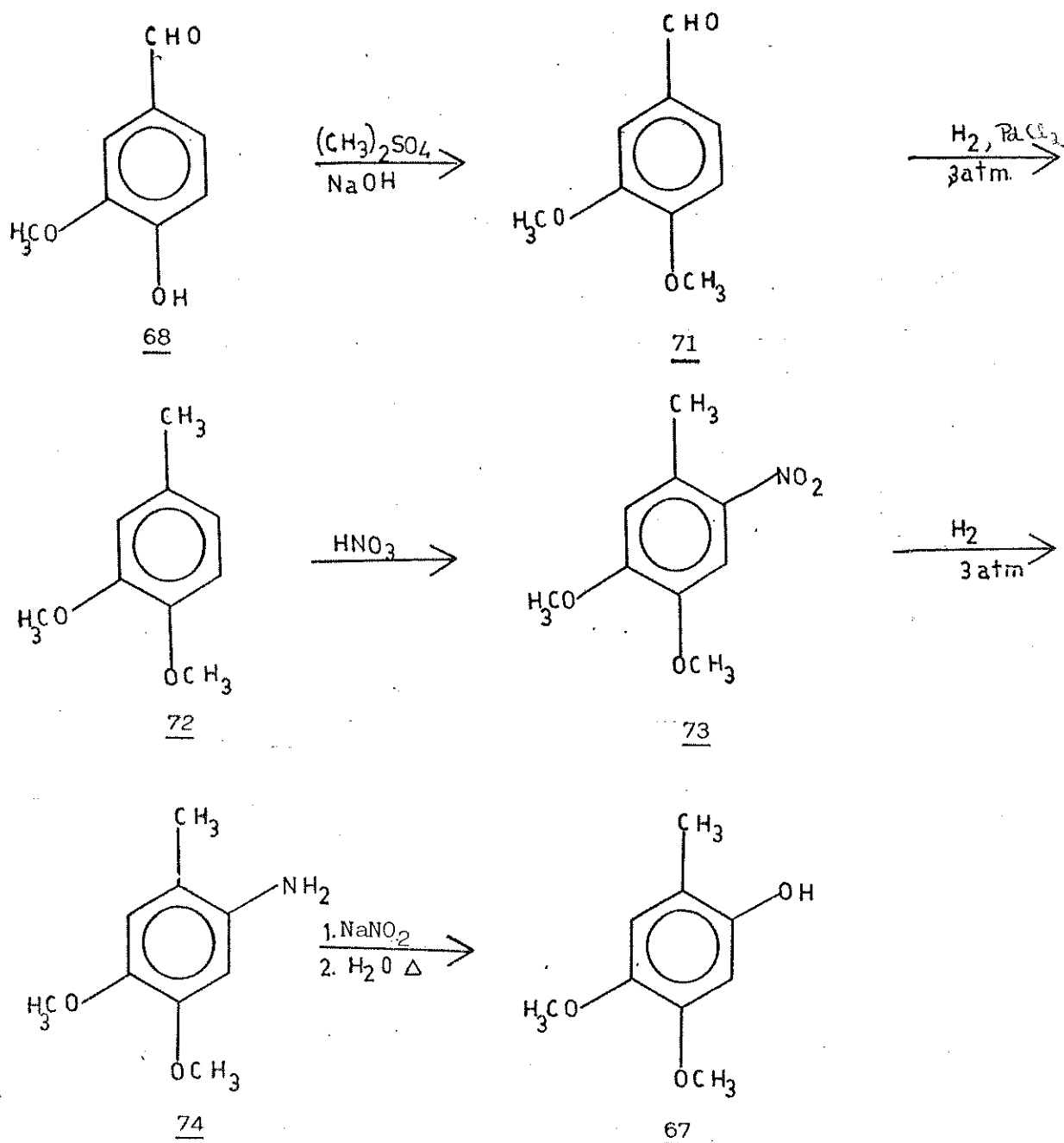
6667

O composto 66 foi preparado segundo esquema III, conforme citado na literatura /25/ em três etapas, partindo-se de 4-hidroxi-3-metoxibenzaldeído 68.

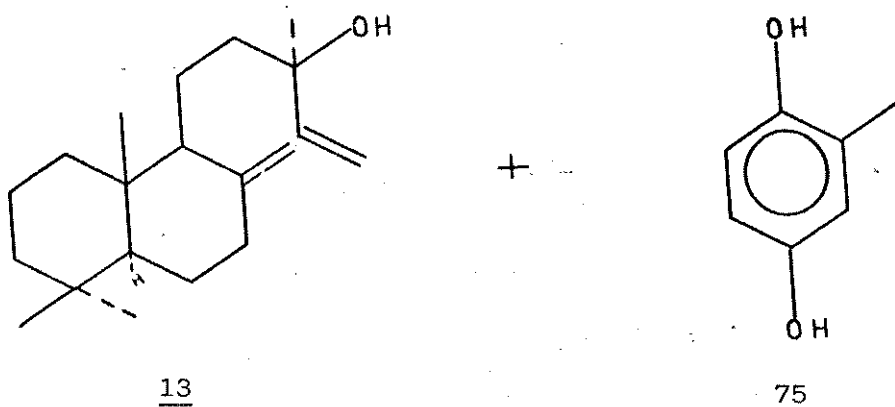
ESQUEMA III



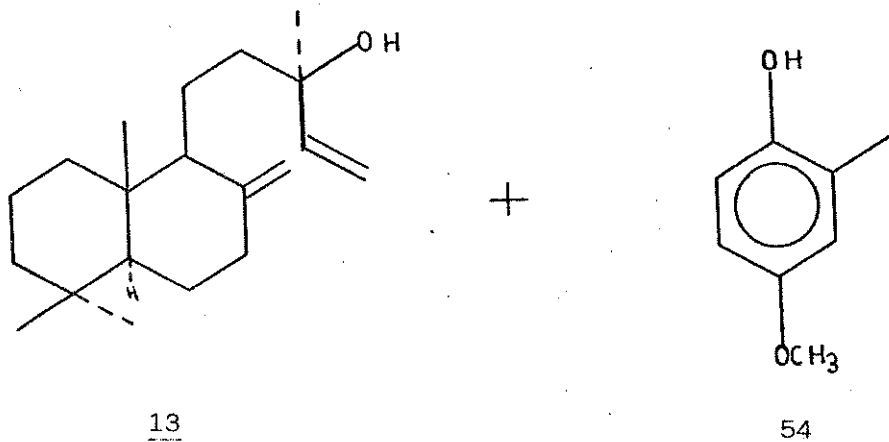
Para obter-se o composto 67 foi necessário cinco etapas de reação (esquema IV) utilizando-se vanilina 68 como substrato.

ESQUEMA IV

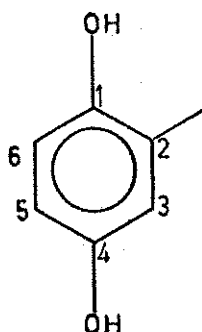
Os sintons 66 e 67 não foram utilizados nas reações de acoplamento devido a seu baixo rendimento e rápida decomposição ao serem preparados, não permitindo uma purificação. Com tais resultados, optou-se por realizar a tentativa 5.



Na literatura /26/ tem-se a descrição de acoplamento entre o manool 13 e o toluquinol 54.



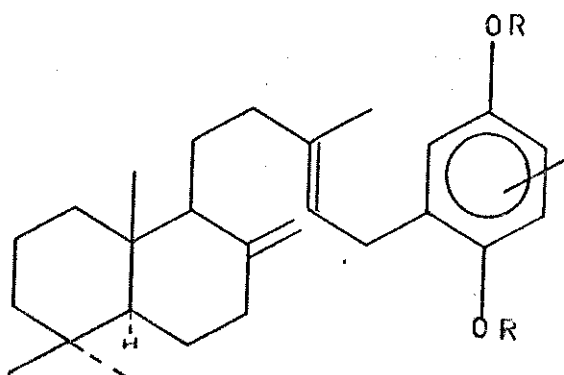
Optou-se utilizar como sinton aromático o 1,4-dihidroxi-2-metilbenzeno 75 por este ser disponível comercialmente, evitando sua preparação. Utilizando-se o composto 75 na reação de acoplamento poderia ter-se o acoplamento tanto na posição C-5 como C-6 do sinton aromático.



75

Não se levou este fator em mente desde que nesta tentativa o maior interesse estava no rendimento total da reação de acoplamento.

A ocorrência de reação de acoplamento foi melhor evidenciada pela análise do espectro de RMN¹H [E-72] do derivado diacetilado 72 observando-se em 3,10 - 3,20 ppm os prótons benzílicos, além sinais correspondentes as metilas angulares (0,65; 0,76; 0,86 ppm) e aromáticos (2,1; 2,2 ppm).

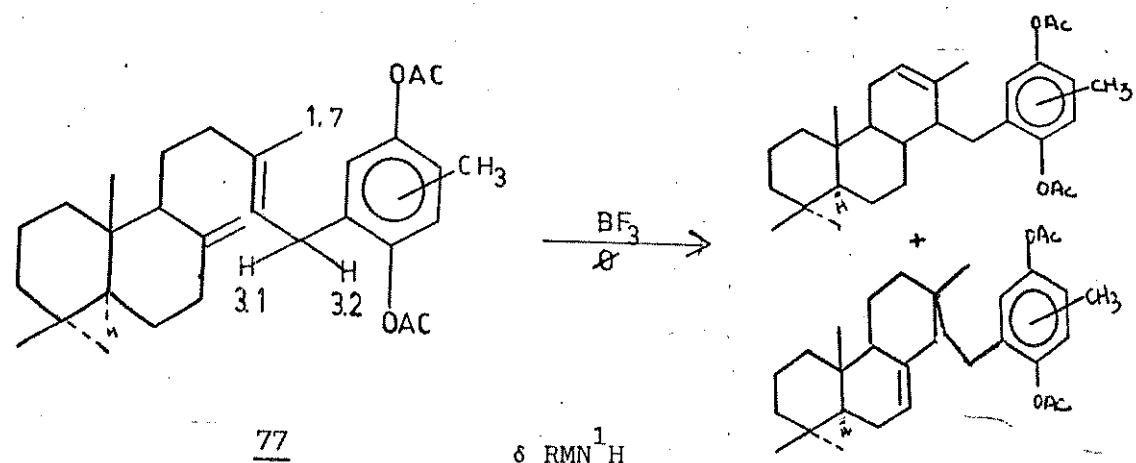


76 R=H

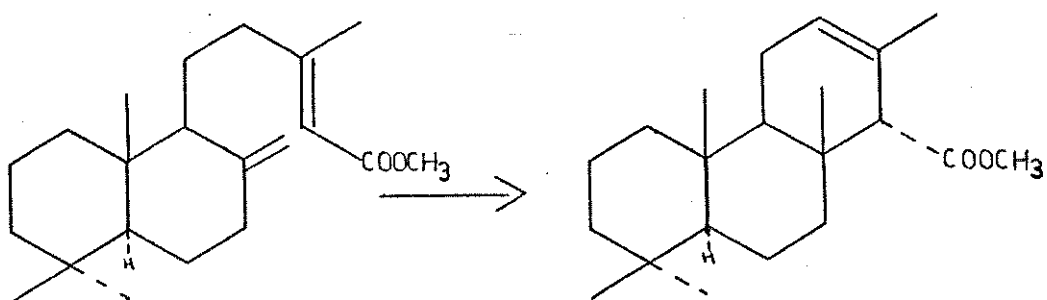
77 R=Ac

Purificou-se o produto de reação por CCD, isolando-se duas frações com Rfs diferentes (0,45 e 0,39), porém com os espectros de RMN¹H, muito semelhantes, atribuídos aos produtos da reação de acoplamento ora no C-5 do sinton aromático, ora no C-6.

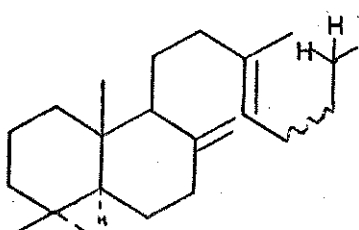
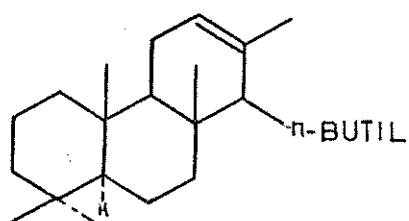
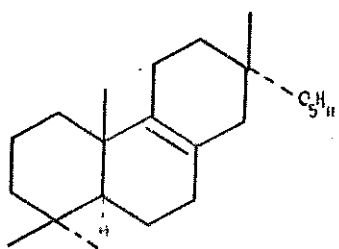
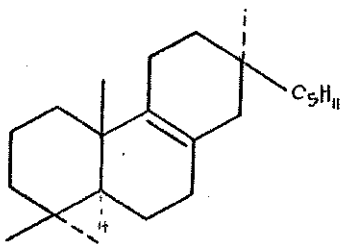
Ciclização de 77 resultou num composto que apresentou no espectro de RMN¹H [E-73] desaparecimento dos sinais em 4,53 - 4,78 ppm, correspondentes à dupla terminal C-8,17, observou-se também uma proteção dos protones benzílicos.



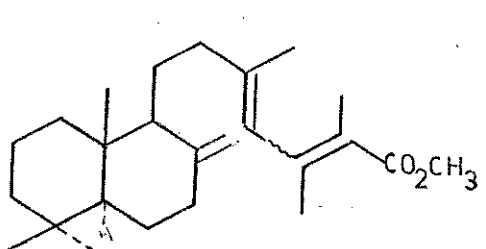
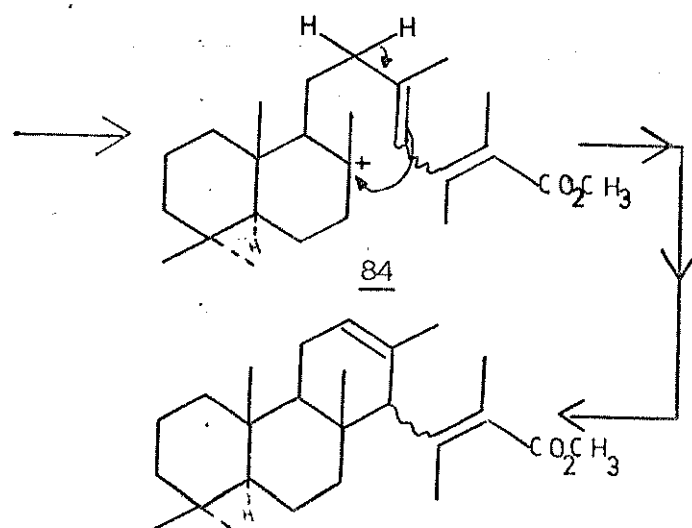
A região de absorção de prótons metílicos apresentou-se larga, evidenciando uma mistura a qual foi confirmada pelo espetro de RMN¹³C. Esta mistura não foi detetável ou separável pelos meios convencionais de cromatografia (placa preparativa e coluna). Este resultado apresentou-se contrário ao observado na ciclização do 8(17), 13(14)-labdadien-15-oato de metila 55 /23/ que o processa estereosseletivamente.



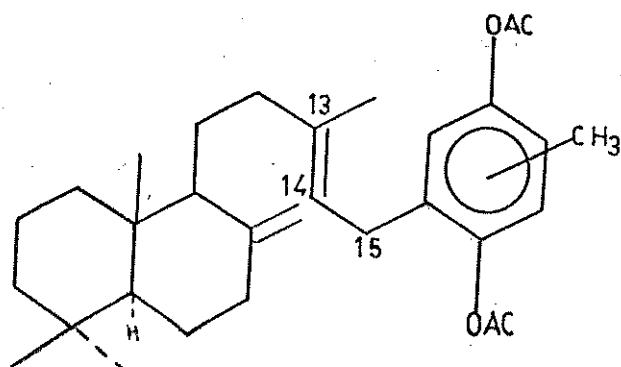
Fato análogo foi observado por Herz e colaboradores /27/ que ao tentar ciclização de 79 em meio ácido observaram a formação de vários produtos tais como 80, 81 e 82.

79808182

A falta de regio e estereosseletividade nesta reação de 79 foi atribuída ao fato das duas ligações C-8(17) e C-13(14) poderem iniciar a reação indistintamente. Entretanto, na ciclização do 83 a protonação inicial ocorre na dupla ligação C-8(17), como ilustrado a seguir.

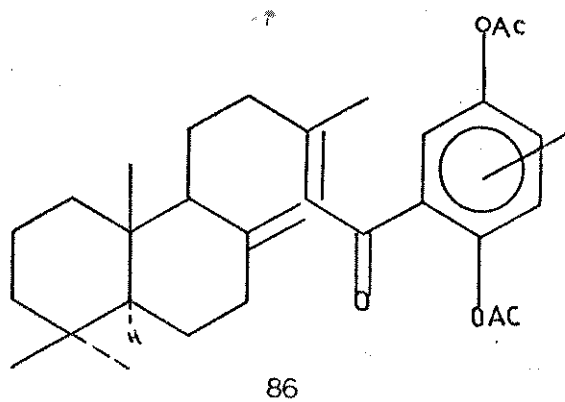
8385

Assim sendo, para que ocorresse uma ciclização régio e estereosseletiva seria necessário desativar a dupla ligação C-13(14) do composto 77, orientando a ciclização na direção desejada.



77

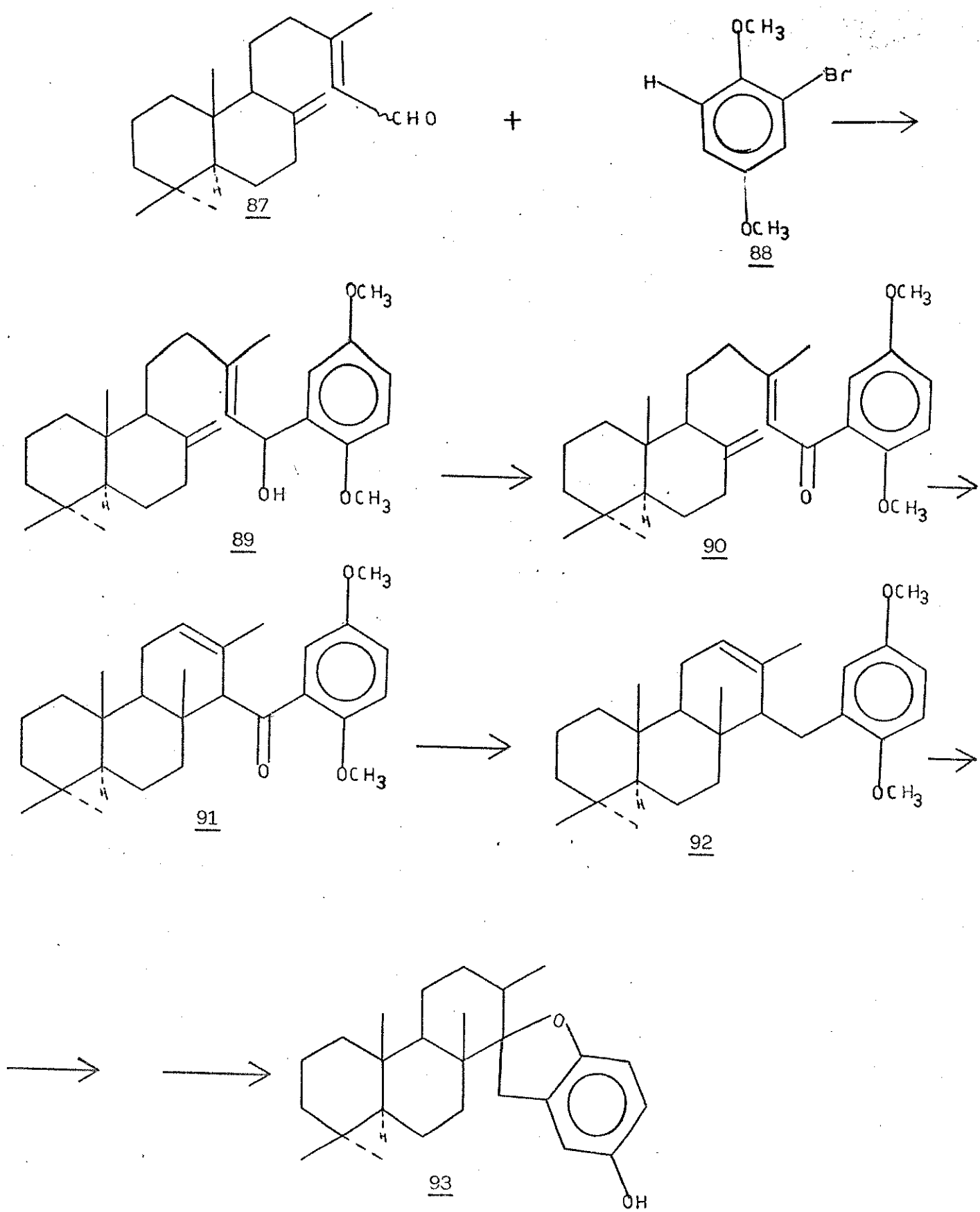
Uma maneira de desativar a dupla ligação C-13,14 seria pela introdução de um grupo cetônico na posição C-15 do composto 77 obtendo-se um composto como 86.



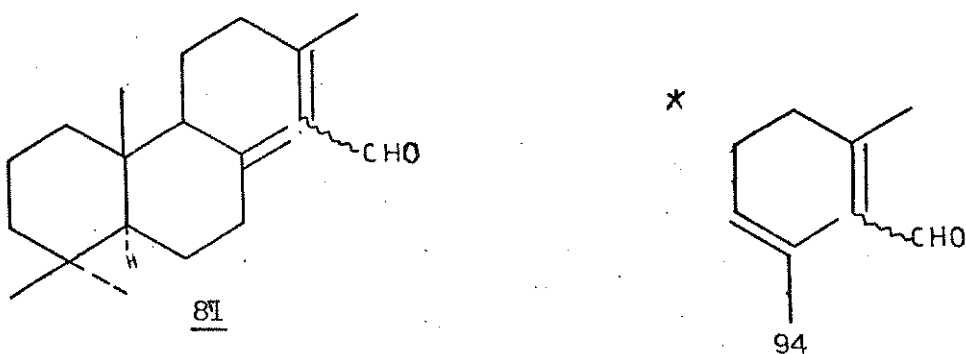
86

Com o objetivo de alcançar um composto tal como 86 elaborou-se o esquema V de síntese.

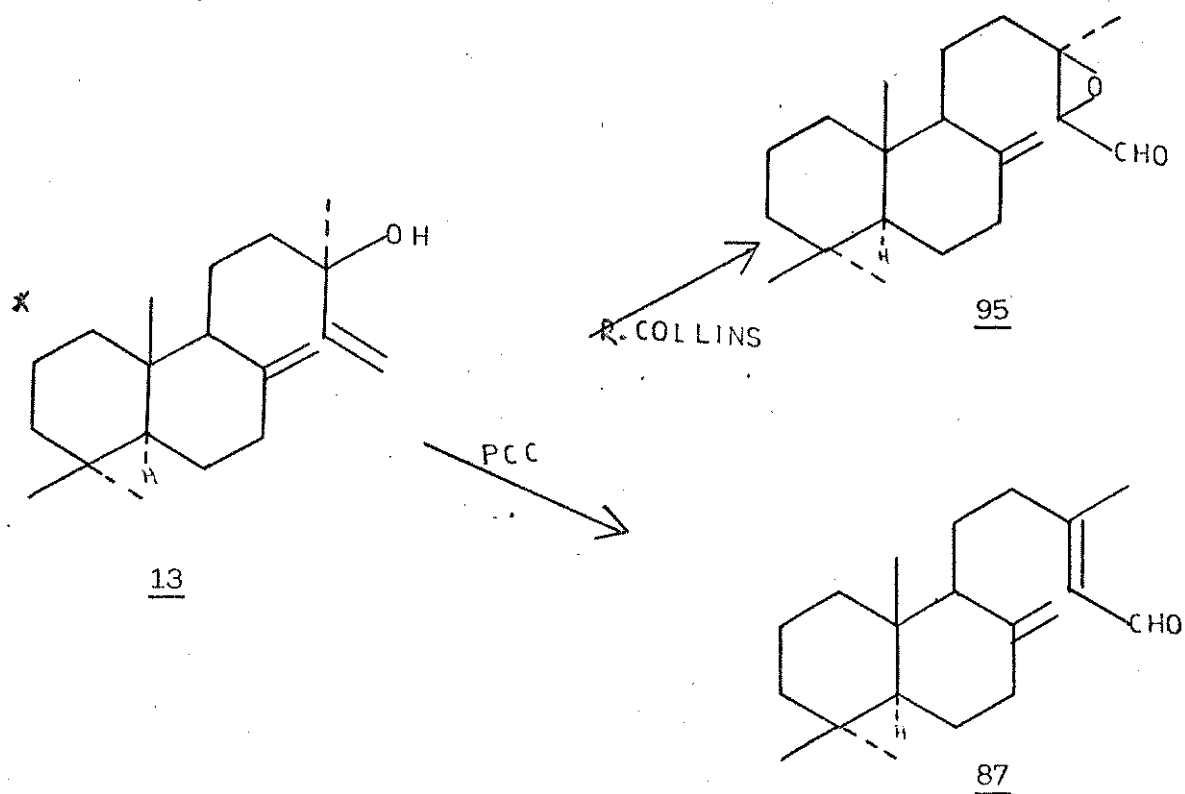
ESQUEMA V



Usou-se como sintons terpênicos 87 e 94.



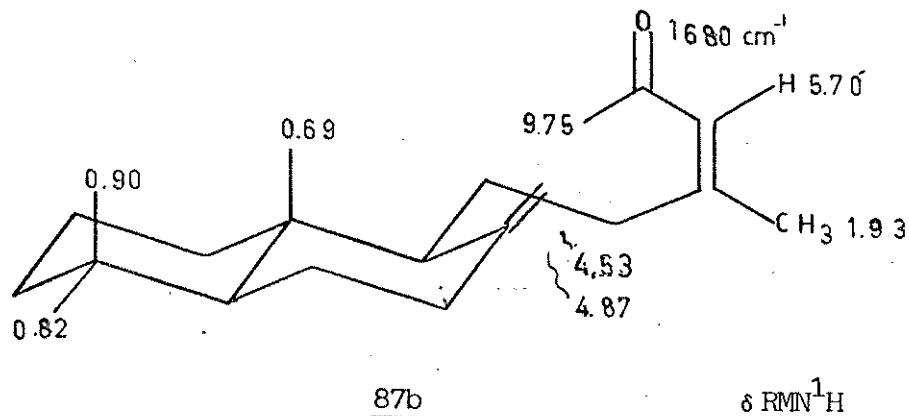
Para obtenção de 87, pensou-se partir da oxidação do manool 13. Consultando-se a literatura sobre reações de oxidação de álcoois alílicos, encontrou-se que a oxidação do manool 13 com reagente de Collins leva a um rearranjo, fornecendo aldeídos e cetonas com epóxidos nos Carbonos 13 e 14 enquanto que a oxidação dos mesmos com clorocromato de piridina (PCC) leva a aldeídos e cetonas, insaturados /10/.



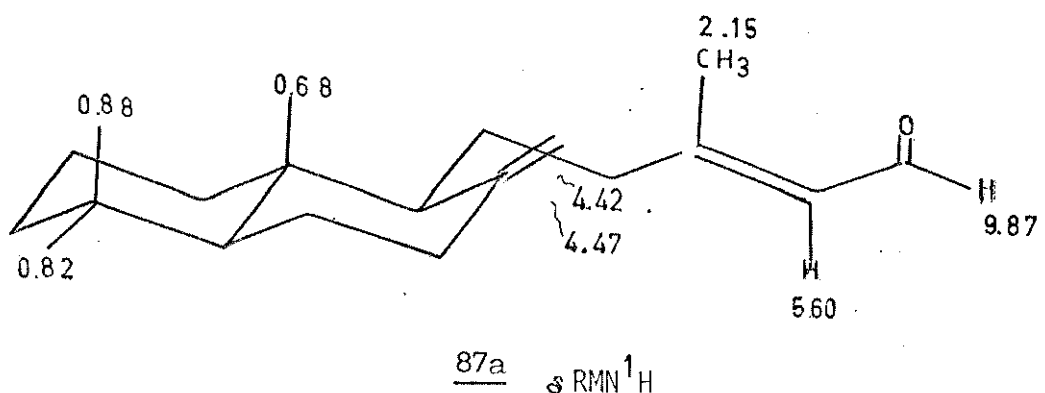
*Este composto foi gentilmente fornecido pela Firmenich.

Como resultado da reação de oxidação do manool com PCC, isolou-se o composto 87 na forma de seus isômeros E (58,4%) 87a e Z (7,0%) 87b além de uma mistura de ambos (15,7%).

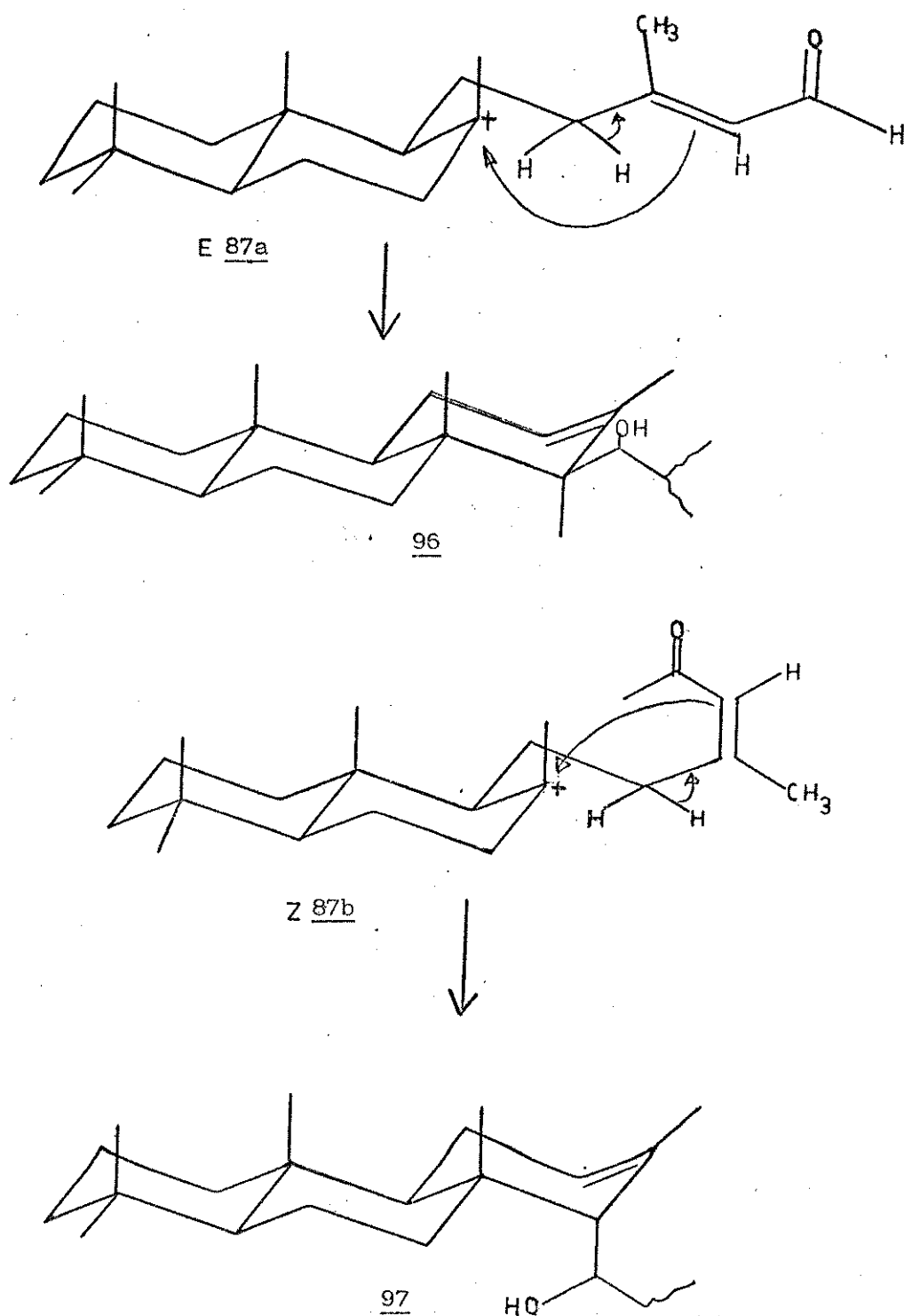
O isômero 87b foi caracterizado no infra-vermelho [E-70], pela banda correspondente à deformação axial de C=O de aldeído conjugado em 1680 cm^{-1} . No espectro de RMN¹H [E-71] foi facilmente constatado a presença deste grupo funcional pela absorção do próton de aldeído em 9,75ppm e pela metila-16 em 1,93ppm.



O isômero E 87a apresentou no espectro de RMN¹H [E-69] o próton do aldeído em 9,87ppm e a metila -16 em 2,15ppm, estando esta mais desprotegida do que a observada para o isômero Z 87b (1,93 ppm). Isto é consequência do efeito anisotrópico de carbonila de desproteção sobre a metila -16 no isômero E, a qual se encontra em relação Z à carbonila.



Constatou-se que com o tempo os isômeros E 87a e Z 87b se interconvertem um no outro, sendo assim, optou-se por otimizar o modelo do esquema V utilizando-se inicialmente a mistura deles. Uma vez as condições de reação determinadas esta seria repetida apenas com o isômero E 87a que levaria à ciclização estereoseletiva com a estereoquímica desejada.

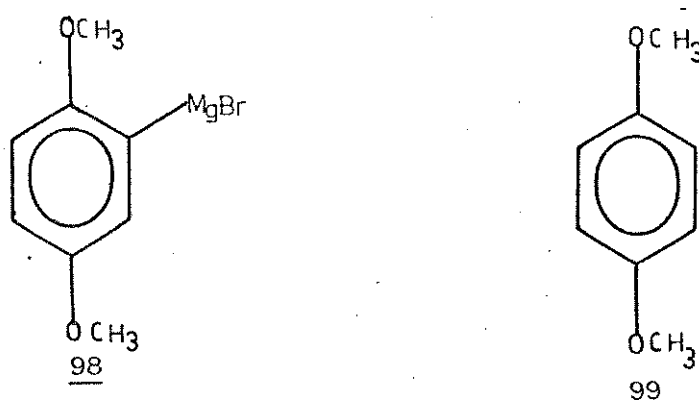


As primeiras tentativas de síntese (Tabela II) efetuadas com os sintons 87 e 94 foram feitas com solventes polares, tais como, THF e éter etílico não fornecendo os resultados desejados, recuperando-se os reagentes de partida. Logrou-se o acoplamento desejado ao utilizar-se hexano como solvente (o qual também é comumente utilizado neste tipo de reação /28/).

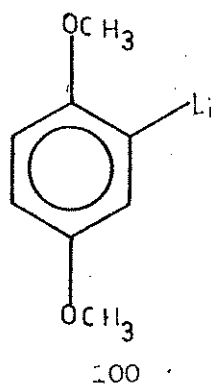
TABELA II

S.Terpênico	S.Aromático	Condições	Produto
1)		Mg Hexano Argônio	—
2)		"	—
3)		n-Butil-Li Argônio	 30%
4)		"	 30%

Ao realizar as tentativas 1 e 2 utilizando-se hexano como solvente, constatou-se que ocorria a formação do composto organo magnesiano 98 porém, não se observava a reação de acoplamento (isto se verifica após a manipulação da reação na qual recupera-se 1,4-dimetoxi-benzeno 99).



Optou-se assim, por trabalhar com o composto de lítio 100.



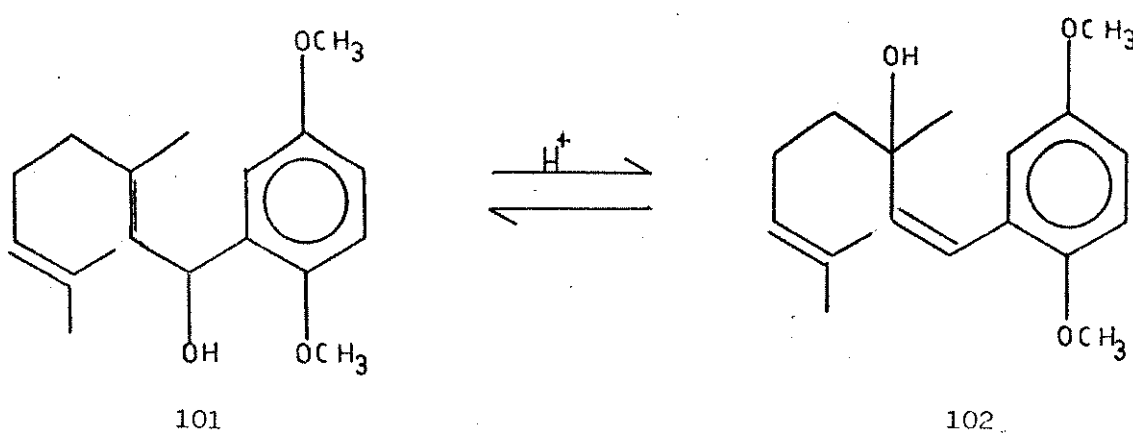
Este deveria ser mais reativo frente a reação de acoplamento, uma vez que o lítio é mais eletropositivo.

Evidenciou-se a reação de acoplamento na tentativa 4 pela análise de seus espectros no infra-vermelho e RMN¹H.

Constatou-se através do espectro no infra-vermelho [E-76] uma banda em 3400 cm^{-1} atribuída à frequência de estiramento de OH e no RMN¹H observou-se o desaparecimento do próton de aldeído em

9,80ppm [E-77].

Constatou-se que o produto isolado apresentava a metila -10 mais protegida (1,33ppm) do que o esperado que seria ao redor de 1,60ppm por tratar-se de um grupo metila sobre olefina. Na literatura /29/ encontrou-se citado que ocorre uma isomerização da hidroxila, para este tipo de composto 101, em meio ácido.



Realmente observou-se que ao repetir a reação e fazer sua manipulação num meio neutro isolava-se o composto 101 que apresentava uma metila em 1,66ppm no espectro de RMN¹H [E-80].

Posteriormente, partiu-se para a reação de oxidação do composto 101 que nos levaria ao composto 103.

O composto 101 foi submetido a várias condições de oxidação (Tabela III) sem que nenhuma tenha fornecido um resultado desejado, o que teria sido facilmente constatado pela banda correspondente ao grupo cetônico (1680 cm^{-1}) no espectro infra-vermelho.

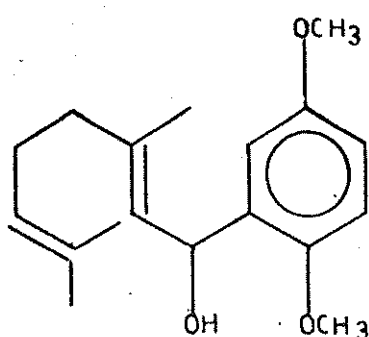
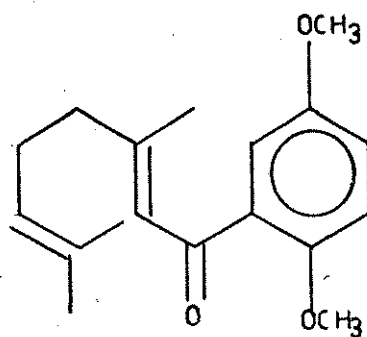
101103

TABELA III: Reações de Oxidação

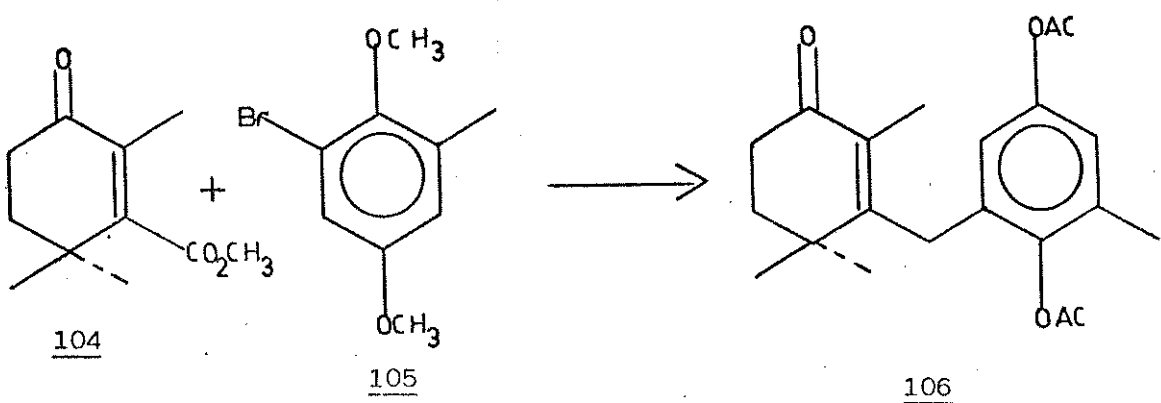
Condições/ Reagentes	Produto
MnO ₂ /Hexano/Tamb /30/	Mistura intratável
PCC/CH ₂ Cl ₂ /Tamb /10/	Mistura intratável
C _r O ₃ /PY /31/	Mistura intratável
Reagente Jones /32/	Mistura intratável
(C _r O ₃ /acetona, água ou H ₂ SO ₄)	Mistura intratável
DMSO/cloreto oxalila/CH ₂ Cl ₂ /33/	Mistura intratável

Procurou-se então, outras condições de oxidação que pudessem levar ao composto 103.

Nesse ínterim, nos foi enviado o manuscrito de um artigo de Rúveda e colaboradores /34/, os quais propõem um modelo de otimização para o tipo de composto com o qual estávamos trabalhando, ou seja, o stipodiol 3.

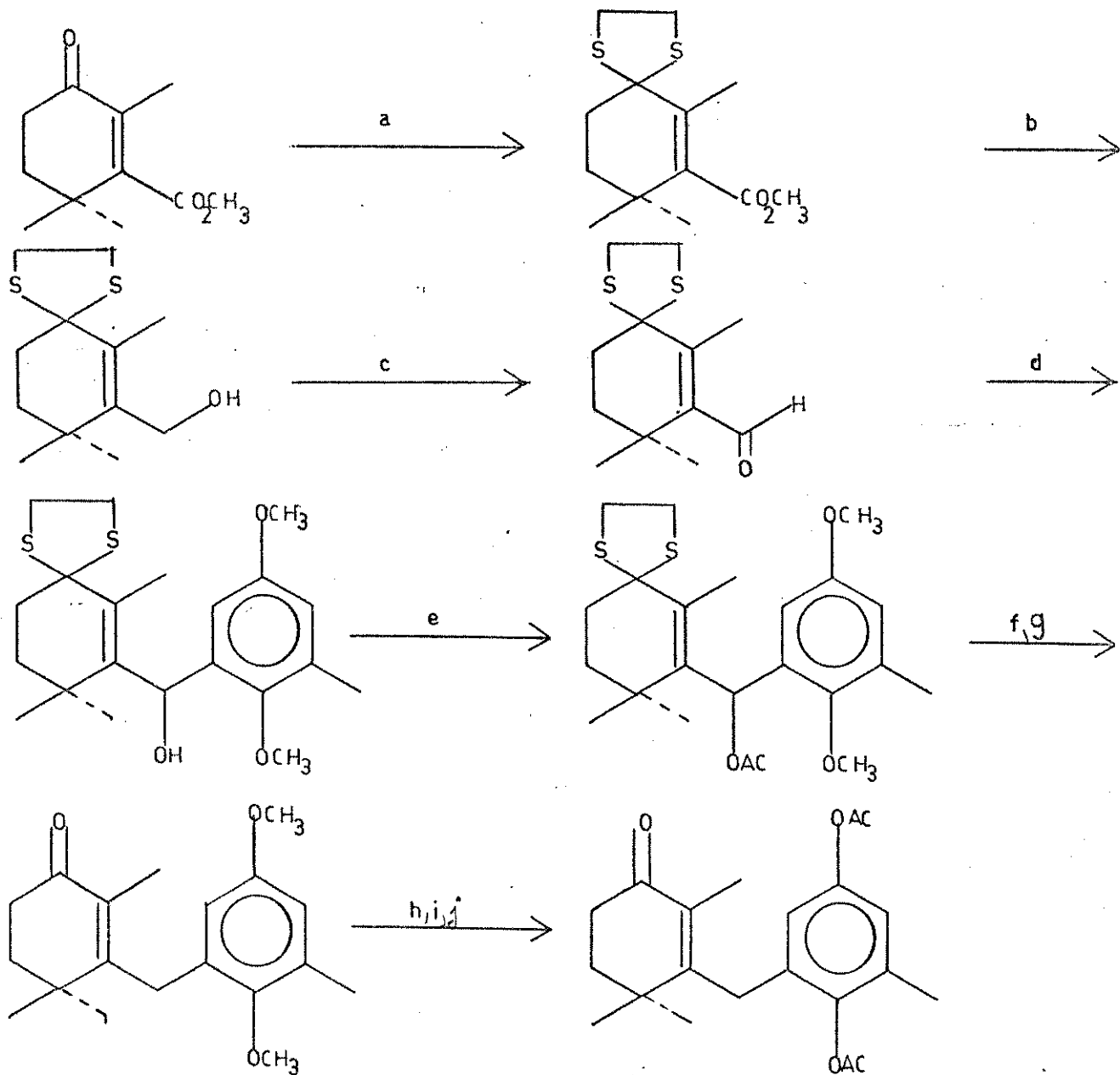
Neste trabalho foi proposto e realizado uma condensação do ceto éster 104 com a unidade aromática 105 levando ao composto

106.



O esquema proposto pelos autores está esquematizado a seguir:

ESQUEMA VI



- a) $\text{HSCH}_2\text{CH}_2\text{SH}/\text{BF}_3/\text{Et}_2\text{O}; \text{CH}_2\text{Cl}_2$
- b) $\text{LiAlH}_4/\text{Et}_2\text{O}/\text{refluxo}$
- c) MnO_2/\emptyset
- d) $\text{Mg}, \text{THF}-\text{Et}_2\text{O}/\text{refluxo}/\text{BrCH}_2\text{CH}_2\text{Br}$
- e) anidrido acético, Py, DMAP cat
- f) $\text{HIO}_4/\text{EtOH}/\text{H}_2\text{O}$
- g) Zn, AcOH, refluxo
- h) $\text{BBr}_3/\text{CH}_2\text{Cl}_2/0^\circ$
- i) HCl/THF
- j) $\text{Ac}_2\text{OP}_\gamma$

Como o modelo de síntese para 106 já foi aceito para publicação /34/ e a síntese do 3 por Ruveda e colaboradores está em fase adiantada, aliado ao fato do tempo de tese estar esgotado, optamos por encerrar nossa pesquisa nesta etapa.

CONCLUSÃO

No primeiro capítulo descrevemos o uso de substratos quirais com configurações absolutas conhecidas para sintetizar (5S, 8R, 10S)-9(11)-drimen-8-ol 1 e (5S, 8S, 10S) - 9(11)-drimen-8-ol 2 com a mesma configuração relativa dos compostos isolados por Wada e colaboradores /2/. Comparando os valores de rotação ótica dos produtos 1 e 2 com aqueles de Wada e Colaboradores /2/, conclui-se que estes últimos eram antípodas de 1 e 2. Tal observação possibilitou-nos concluir que os compostos obtidos por Wada /2/ eram (5R, 8R, 10R)-9(11)-drimen-8-ol 33 e (5R, 8S, 10R)-9(11)-drimen-8-ol 36. Adicionalmente pudemos sintetizar o (5R, 8R, 10R)-9(11)-drimen-8-ol 33 a partir do ácido (5R, 8R, 10R)-13(14)-labden-15-oico.

A segunda parte de nosso trabalho relata as explorações de caminhos sintéticos objetivando a obtenção dos compostos isolados por Fenical e colaboradores /3/, stipoldiol 3 ou epistipoldiol 4. Vários métodos explorados não forneceram condições de se chegar aos produtos almejados. Nesse interim Rúveda e colaboradores /34/, grupo com que tínhamos contato, chegaram a otimizar um modelo de síntese do produto natural. Diante deste fato achamos conveniente encerrar nosso projeto de maneira a não duplicarmos esforços.

III - PARTE EXPERIMENTAL

3.I - Materiais e Métodos

3.II - Caminhos de Obtenção do Drim-9(11)-en-8-ol

3.III - Obtenção dos Sintons Aromáticos

3.IV - Obtenção dos Sintons Terpênicos

3.V - Reações de Acoplamento

3.VI - Reações de Oxidação

III - PARTE EXPERIMENTAL

I. Materiais e Métodos

- a) Utilizou-se reagentes e solventes das marcas Aldrich, Carlo Erba, Fischer, Flucka e Merck, todos os reagentes para análise (PA). Outros reagentes com maior grau de pureza, foram obtidos através de métodos gerais de purificação tendo seus procedimentos citados na literatura /35/.
- b) As cromatografias em coluna foram desenvolvidas usando-se como adsorvente Sílica Gel Merck (0,05-0,20 nm), Silica Gel H e Sílica Gel S. Adotamos o uso de uma técnica nova de cromatografia em coluna, conhecida como TLC Mesh Column Cromatography /36/. As dimensões das colunas e as quantidades de adsorventes variam de acordo com a quantidade de material a ser cromatografado. As colunas foram eluídas usando-se solventes orgânicos em ordem crescente de polaridade. O controle das frações foi feito através de cromatografia de camada delgada (CCD).
- c) As cromatografias em camada delgada foram realizadas, usando-se como suporte, placas de vidro com as dimensões de 5 x 20 e 20 x 20 cm e como adsorvente uma mistura 1:1 de Sílica Gel G e Sílica GF₂₅₄, suspensa em água destilada e espalhada com um aparelho de Quickfit, em camada de 0,25 nm de espessura. Usou-se como revelador uma lâmpada ultravioleta (254 e 366 nm) e como revelador específico para terpenos, uma solução ácida de

anisaldeído.

A preparação do revelador específico para terpenos foi feita, tomndo-se inicialmente 50 ml de ácido acético glacial sobre o qual adicionamos 1 ml de ácido sulfúrico concentrado 99%, e sobre a mistura ácida adicionamos 0,5 ml de anisaldeído, em seguida agitamos a mistura. A solução foi preparada a temperatura ambiente.

Usamos também como revelador não específico uma mistura 1:1 de metanol, ácido sulfúrico.

As placas depois de borrifadas com estes reveladores, foram aquecidas em uma chapa de aquecimento até o aparecimento das manchas.

As placas cromatográficas foram ativadas em estufa a 120°C.

- d) Os compostos isolados foram purificados por: cristalização, sublimação ou cromatografia em coluna até que por CCD mostrasse uma única mancha.
- e) Os pontos de fusão foram determinados em um aparelho Mettler, modelo FP 52, com registrador automático FP 5, acoplado a um microscópio de luz polarizada da marca Carl Zeiss. Os pontos de fusão não foram corrigidos.
- f) As determinações de rotação óptica foram feitas a temperatura ambiente. Usou-se um polarímetro fotoelétrico de marca Carl Zeiss com precisão de 0,005°, empregando como fonte de luz, uma lâmpada de vapor de sódio. O comprimento de cela foi de

0,5 dm. Usamos como solvente clorofórmio.

- g) Os espectros de absorção na região do infra-vermelho foram obtidos em um instrumento da marca Varian Associates, modelo 399. Usou-se como referência, as absorções em 1603 e 1028 cm^{-1} de um filme de poliestireno. As absorções foram registradas em cm^{-1} .
- h) Os espectros de Ressonância Magnética Nuclear de Próton, em 60 e 100 MHz foram realizados a temperatura ambiente. Os instrumentos foram da marca Varian Associates, modelo T-60 e XL-100. Como padrão interno, usou-se o tetrametilsilano (TMS). Os deslocamentos químicos (δ), foram registrados em ppm e as constantes de acoplamento (J) em hertz (Hz).
- i) Os espectros de Ressonância Magnética Nuclear de Carbono-13, foram obtidos em um instrumento da marca Varian Associates, modelo XL-100 (25,2 MHz) acoplado a um computador Varian 620-L, que opera com transformada de Fourier. Como solvente usou-se clorofórmio (CHCl_3) e/ou tetracloreto de carbono (CCl_4). Como padrão interno usou-se tetrametilsilano (TMS). Os deslocamentos químicos (δ) foram atribuídos em ppm.
- j) Os espectros de massa foram obtidos em um espectrômetro da marca Varian Mat Bremen, modelo MAT 311A, à 70 eV.
- k) As reações sensíveis a umidade foram realizadas em atmosfera

de nitrogênio seco ou argônio seco. A secagem do nitrogênio foi realizada, passando o gás através de um sistema, constituído de um frasco lavador contendo ácido sulfúrico concentrado, outro contendo pastilhas de KOH e em seguida através de uma coluna metálica contendo em seu interior sílica ativada, seca a 100°C.

- 1) As reações fotoquímicas foram realizadas num reator apropriado como esquematizado na figura I. Manteve-se a reação sob atmosfera de argônio e uma temperatura de 0°C. Usou-se como fonte de luz uma lâmpada de vapor de mercúrio pura HPL N 125W Phillips, cujo espectro de emissão está esquematizado na figura II.
- m) As reações foram feitas na proporção de 1eq de substrato para 1 eq dos reagentes, a menos que seja especificado contrário.

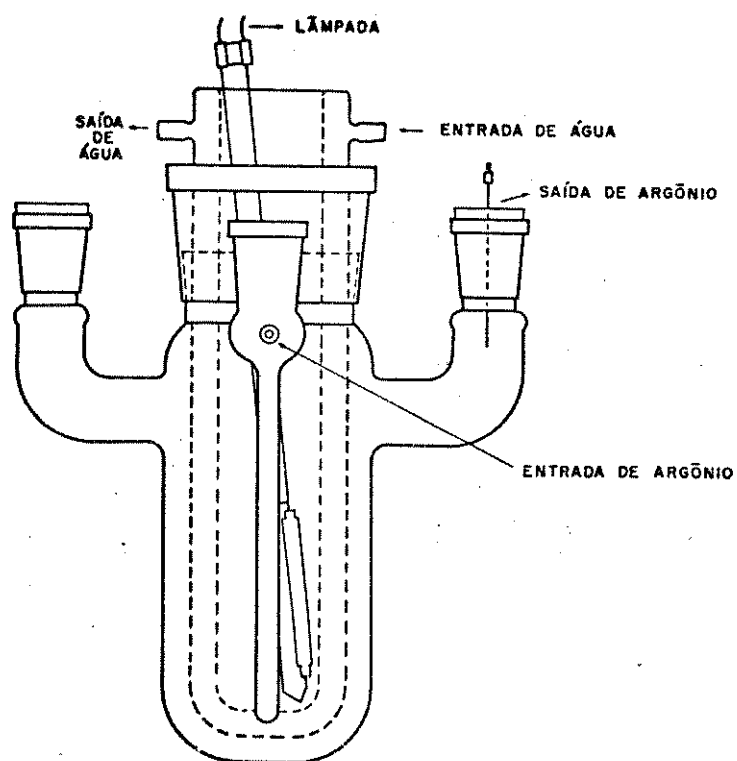


Fig. I - Reator utilizado nas reações fotoquímicas

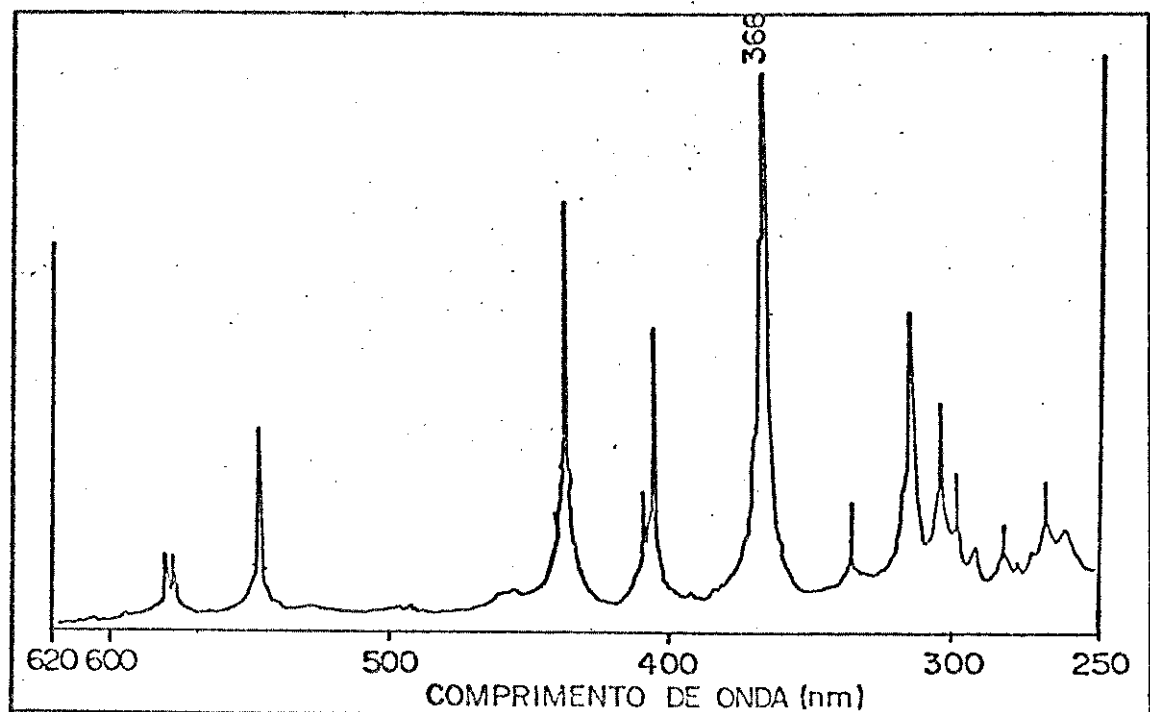


Fig. II - Espectro de emissão de lâmpada Phillips
HPL-N 125 W sem o bulbo externo.

II - Caminhos para Obtensão de Drim-9(11)-en-8-ol

Caminho 1:

a) Oxidação do 8(17), . 14-labdadien-13-ol 13 /12/

Colocou-se uma solução de 8(17), . 14-labdadien-13-ol 13 (10,0 g; 34,5 mmoles) em acetona (800 ml) num balão de fundo redondo (2 l). Abaixou-se a temperatura para aproximadamente 15°C usando-se um banho de água e gelo. Adicionou-se aos poucos (período de 5 horas) uma mistura de KMnO₄ (18,3 g; 115,8 mmoles) e MgSO₄ (15,9 g; 132,2 mmoles) previamente triturada e misturada. Após a adição deixou-se reagir por mais uma hora. Filtrou-se sobre celite e lavou-se com éter etílico. Evaporou-se o solvente e purificou-se a reação por coluna cromatográfica usando hexano como eluente. Obteve-se o 14(15)-dinorlabd-8(17)-en-13-ona 14 em 60% (5,4 g) de rendimento e recuperou-se 25% (2,5 g) de 8(17), 14-labdadien-13-ol 13 sem reagir: $[\alpha]_D^{25} +38,0^\circ$ (c.1,3; CHCl₃); [lit. /12/ $[\alpha]_D^{25} 38,0^\circ$ (c. 1,0 CHCl₃)]; IV: $\nu_{\text{max}}^{\text{filme}} (\text{cm}^{-1})$ 3080 (C=C); 1710 (C=O); 1645 (C=C) [E-1], [lit. /14/ $\nu_{\text{max}}^{\text{filme}} (\text{cm}^{-1})$ 3080, 1709, 1645, 850; RMN¹H (CCl₄) δ 0,70 (s, 3H, H-20)*; 0,83 (s, 3H, H-19); 0,89 (s, 3H, H-18); 2,00 (s, 3H, H-16); 4,40 (s1, 1H, H-17); 4,80 (s1, 1H, H-17) [E-2]** [lit. /12/: 0,69, 0,80, 0,86, 2,09, 4,44, 4,81 ppm].

*A representação correta dos prótons seria 0,70 (s, 3H, C₂₀H) uma vez que a numeração é feita nos carbonos e não nos hidrogênios. Entretanto para facilitar o trabalho datilográfico indicaremos H-20 como hidrogênio ligado ao C-20.

**A numeração dos carbonos dos produtos é igual à do composto de partida.

b) Epoxidação do 14(15)-dinorlabd-8(17)-en-13-ona 14

b.1.- Colocou-se 14(15)-dinorlabd-8(17)-en-13-ona 14 (535,9mg; 2,0 m moles) dissolvidos em CH_2Cl_2 (57,8 ml) num balão de fundo redondo (250 ml). Adicionou-se aos poucos ácido m -cloroperbenzóico (318,2 mg). Deixou-se reagir durante uma hora a temperatura ambiente. Lavou-se a reação com uma solução saturada de bicarbonato de sódio ($3 \times 50,0$ ml). Secou-se a fase orgânica sobre Na_2SO_4 anidro, filtrou-se e evaporou-se o solvente. Purificou-se por coluna cromatográfica usando hexano/éter etílico 20% como eluente. Obteve-se um produto oleoso 15 em 98% (557,3 mg) com rendimento de 98%.

b.2.- Epoxidação de 14(15)-dinorlabd-8(17)-en-13-ona 14.

A mistura bifásica de 14(15)-dinorlabd-8(17)-en-13-ona 14 (539,9 mg; 2,0 mmoles) em CH_2Cl_2 (57 ml) e NaHCO_3 0,5 M (17,4ml) adicionou-se ácido m -cloroperbenzóico (318,2 mg). Deixou-se reagindo, a temperatura ambiente, durante quatro horas. Separou-se a fase orgânica, lavou-se com uma solução de NaOH 1N (17 ml); H_2O (17 ml). Secou-se sobre Na_2SO_4 anidro, e evaporou-se o solvente. Purificou-se por coluna cromatográfica usando hexano/éter etílico 20% como eluente. Isolou-se a mistura de 8(17)-epóxi-14(15)-dinorlabdan-13-ona 15a e 15b como óleo, 557,3 mg com rendimento de 98%. IV: $\nu_{\max}^{\text{filme}} (\text{cm}^{-1})$ 1710 (C=O), 950 (C-O , epóxi); 860 (C-O , epóxi) [E-3] [lit. /14/ $\nu (\text{cm}^{-1})$ 1710; 975; 895 cm^{-1} ;

*RMN¹H (CCl₄) δ 0,87 (s, H-19, H-20); 0,93 (s, H-18); 2,03 (s, H-16); 2,40 (m, H-17); 2,70 (m, H-17) [E-4] [lit. /14/ δ 0,82; 0,89; 2,08; 2,47 e 2,70 (8R) e 0,86; 0,89; 0,90; 2,10; 2,31 e 2,52 (8S) ppm]. E.M. m/z (%) 278 (M⁺, 1); 156 (100); 139 (66) [E-5].

c) Reação de Proteção do 8(17)-epóxi-14(15)-dinorlabdan-13-ona 15.

Adicionou-se o 8(17)-epóxi-14(15)-dinorlabdan-13-ona 15 (384,6 mg, 1,4 mmoles) à uma mistura de tosilato de piridina (35,4 mg, 0,14 mmol), etileno-glicol (86,8 mg; 1,5 mmoles) e benzeno (30,0 ml). Deixou-se refluxando, num sistema Dean-Stark, durante três horas. Lavou-se a fase orgânica com H₂O, secou-se sobre Na₂SO₄ anidro e evaporou-se o solvente. Purificou-se o produto por coluna cromatográfica usando hexano/éter etílico 20% como eluente. Obteve-se um produto oleoso, 282,3 mg com rendimento de 63,4%. IV _{max}^{vfilme} (cm⁻¹) 2580, 1730; **RMN¹H (CCl₄), δ 0,90 (s, H-18, H-19); 1,07 (s, H-20); 1,40 (s, H-16); 3,20 (d, H-17, J= 7,0 Hz); 3,70 (d, H-17, J= 7,0 Hz) [E-7]. [lit./16/: 0,89; 1,11; 1,43; 3,20; 3,70].

*Sendo uma mistura a integração relativa está alterada devido à superposição de sinais e não será indicada.

**A numeração dos carbonos do produto é igual à do composto de partida.

Caminho 11

a) Reação de Proteção de 14(15)-dinorlabd-8(17)-en-13-ona 14.

Uma mistura de 14(15)-dinorlabd-8(17)-en-13-ona 14 (131,0 mg; 0,15 mmoles) em tosilato de piridina (12,4 mg; 0,05 mmoles), etileno-glicol (30,5 mg; 0,5 mmoles) e benzeno (10,55 ml) foi refluxado num sistema Dean Stark durante 4 horas. Lavou-se a fase orgânica com água, secou-se sobre Na_2SO_4 anidro, filtrou-se e evaporou-se o solvente. Purificou-se o produto em coluna cromatográfica usando hexano/éter etílico 10% como eluente. Isolou-se o cetal 2Z com 99% de rendimento. IV $v_{\max}^{\text{filme}} (\text{cm}^{-1})$ 2950 (C-H); 1050 (C-O) [E-8]; RMN¹H (CCl_4) δ 0,66 (s, 3H, H-20); 0,80 (s, 3H, H-19); 0,85 (s, 3H, H-18); 1,20 (s, 3H, H-16); 3,78 (s, 4H, H-21,22); 4,57 (s, 1H, H-17); 4,70 (s, 1H, H-17) [E-9].

b) Reação de epoxidação do cetal 2Z.

A uma mistura bifásica do cetal 2Z (612,0 mg; 2,0 mmoles) em CH_2Cl_2 (20,0 ml) e NaHCO_3 0,5 M (6,0 ml) adicionou-se ácido m-cloroperbenzóico (344,0 mg; 2,0 mmoles). Deixou-se reagir durante duas horas a temperatura ambiente. Separou-se duas fases. Lavou-se a fase orgânica com NaOH 1N (30,0 ml), água (30,0 ml). Secou-se sobre Na_2SO_4 anidro, filtrou-se e evaporou-se o solvente. Obteve-se um produto oleoso, 16, 611,8 mg com rendimento de

95%. RMN¹H (CCl₄)*: δ 0,83 (s, H-20, H-19); 0,90 (s, H-18); 1,20 (s, H-16); 2,30 (m, H-17); 2,80 (m, H-17); 3,80 (s, 4H, OCH₂CH₂O) [E-10].

c) Abertura do cetal 16.

Dissolveu-se o cetal 16 (30,0 mg; 0,1 mmoles) em THF anidro (5,0 ml), Adicionou-se LiAlH₄ (200,0 mg; 5,3 mmoles) em excesso. Deixou-se reagir durante quatro horas. Abaixou-se a temperatura de reação para 0° C e cautelosamente destruiu-se o hidreto de litio e alumínio, inicialmente com éter etílico comercial e após com água. Extraiu-se a reação com éter etílico (3 x 20 ml). Secou-se sobre Na₂SO₄ anidro, filtrou-se e evaporou-se o solvente. Colocou-se o produto de reação para reagir numa mistura de HCl 1N/éter etílico (1:5) (5 ml) durante quatro horas a temperatura ambiente. Lavou-se a fase orgânica com água (3 x 20 ml), secou-se sobre Na₂SO₄ anidro, filtrou-se e evaporou-se o solvente. Obteve-se um produto oleoso, 18,0 mg, com rendimento de 60%. Por CCD, usando-se hexano/éter etílico 40% como eluente, observou-se que tratava-se de uma mistura intratável.

*Como se trata de uma mistura de epímeros colocar-se-á somente a atribuição, sem integração relativa dos prótons.

Caminho III

a) Epoxidação regiosseletiva do 8(17),14-labdadien-13-ol 13.

Dissolveu-se 8(17), 14-labdadien-13-ol 13, (1,3 g, 4,5 mmoles) em CH_2Cl_2 (45 ml) e NaHCO_3 0,5 M (13 ml). Adicionou-se rapidamente ácido m -cloroperbenzóico (1,6 g, 8,3 mmoles). Deixou-se reagir durante quatro horas a temperatura ambiente. Separou-se a fase orgânica e lavou-se com NaOH 1 N (3×13 ml), água (3×13 ml). Secou-se sobre Na_2SO_4 , filtrou-se e evaporou-se o solvente. Purificou-se a reação por cromatografia em coluna usando hexano como solvente. Obteve-se 8(17)-epoxi-14-labdadien-13-ol-29a e 29b 1,1 g, com rendimento de 78%. ν_{max} cm^{-1} IV

3600-3200 (OH), 3095 (C=C), 1645 (C=C), 950 (C-O, epóxido) [E-11]; [lit. /14/: ν_{max} cm^{-1} filme 3450; 1640; 990]; $\delta^{1\text{H}}$ (CCl_4): 0,80 (s, H-20); 0,83 (s, H-19); 0,90 (s, H-18); 1,17 (s, H-16); 2,40-2,76 (d, 2H, $J = 4$ Hz, H-17); 4,87 (dd, 1H, $J = 10$ e 2 Hz); 5,10 (dd, 1H, $J = 16$ e 2 Hz); 5,77 (dd, 1H, $J = 16$ e 10 Hz) [E-12] [lit. /14/: (CCl_4) δ 0,80; 0,83; 0,89; 1,21; 2,46-2,76; 4,85; 5,10; 5,80].

b) Epoxidação do 8(17), 14-labdadien-13-ol 13 /14/.

A uma solução de 8(17), 14-labdadien-13-ol 13 (1,0 g); 3,4 mmoles) em CH_2Cl_2 (35 ml), à 5°C, adicionou-se, durante um período de 12 minutos, ácido m -cloroperbenzóico (1,2 g, 6,4 mmoles) em CH_2Cl_2 . Deixou-se agitando meia hora a 5°C. Adicionou-

se água (10 ml). Extraiu-se com CH_2Cl_2 (3×20 ml), lavou-se com NaOH 1N (3×20 ml). Secou-se sobre Na_2SO_4 anidro, filtrou-se e evaporou-se o solvente. Purificou-se por coluna cromatográfica usando hexano/éter etílico 30% como eluente. Obteve-se 8(17)-epóxi-14-labdadien-13-ol 29a em 79% (833,6 mg) de rendimento. RMN¹H (CCl_4): δ 0,80 (s, 3H, H-20); 0,83 (s, 3H, H-19), 0,89 (s, 3H, H-18); 1,17 (s, 3H, H-16); 4,87 (dd, 1H, J= 10 e 2 Hz); 5,10 (dd, 1H, J= 16 e 2 Hz); 5,77 (dd, 1H, J= 16 e J= 10 Hz); [E-13], [11t. /14] (CCl_4) 0,80; 0,83; 0,89; 1,21; 2,46-2,76; 4,85; 5,10; 5,80].

c) Abertura dos epóxidos 8(17)-epóxi-14-labden-13-ol 29a e 29b.

A uma solução de 8(17)-epóxi-14-labden-13-ol 29a e 29b (148,0 mg; 0,5 mmoles) em THF anidro (20,0 ml), adicionou-se um excesso de LiAlH_4 (200,0 mg; 5,3 mmoles). Deixou-se reagir durante 6 horas. Abaixou-se a temperatura de reação para 0 °C e cautelosamente destruiu-se o hidreto de lítio e alumínio. Inicialmente gotejou-se éter etílico comercial, depois água gota a gota. Extraiu-se a reação com éter etílico (3×3 ml), secou-se sobre Na_2SO_4 anidro, filtrou-se e evaporou-se o solvente. Purificou-se por coluna cromatográfica usando hexano/éter etílico 30% como eluente. Obteve-se um cristal branco em 75% (112,4 mg) de rendimento que consistia de uma mistura de 30a e 30b.

Purificação de uma pequena alíquota numa coluna Lobar de sílica (Merck) eluída com hexano e hexano: éter etílico forneceu

os díolos separados na razão 1:3 (30b:30a). O composto menos polar 30b: $[\alpha]_D^{25} -38^\circ$ (c.6, CHCl_3) [lit. /11/ $[\alpha]_D^{25} -5^\circ$]; RMN^1H (CDCl_3) δ 0,77 (s, 3H, H-19); 0,84 (s, 3H, H-18); 0,93 (s, 3H, H-20); 1,09 (s, 3H, H-17); 1,32 (s, 3H, H-16); 5,09 (dd, 1H, J= 11 e 1,5 Hz, H-15); 5,27 (dd, 1H, J= 18 e 1,5 Hz, H-15); 6,02 (dd, 1H, J= 18 e 11 Hz, H-14) ppm [E-15b]. O composto mais polar 30a, P.f. 94°C; $[\alpha]_D^{25} + 5,0^\circ$ (c.2, CHCl_3), [lit. /11/ $[\alpha]_D^{25} + 12^\circ$ IV ν^{KBr} (cm^{-1}) 3400 (OH); 2940 (C=C) [E-14]; RMN^1H (CDCl_3) δ 0,77 max (s, 6H, H-19 e H-20); 0,86 (s, 3H, H-18); 1,14 (s, 3H, H-17); 1,27 (s, 3H, H-16); 2,64 (s1, 2H, OH); 5,02 (dd, 1H, J= 11 e J= 1,5 Hz); 5,23 (dd, 1H, J= 18 e J= 1,5 Hz). 6,00 (dd, J= 18 e J= 11) [E-15a]; RMN^{13}C (CCl_4) δ 15,5 (q, C-20); 18,5 (t, C-11); 18,7 (t, C-2); 20,5 (t, C-6); 21,6 (q, C-19); 24,0 (q, C-17); 26,2 (q, C-16); 33,1 (s, C-4); 33,3 (q, C-18); 39,0 (s, C-10); 39,5 (t, C-1); 41,9 (t, C-3); 43,9 (t, C-7); 44,8 (t, C-12); 55,9 (d, C-5); 61,4 (d, C-9); 73,0 (s, C-13); 74,3 (s, C-8); 110,3 (t, C-15); 146,2 (d, C-14) [E-17].

d) Abertura do epóxido 8(17)-epóxi-14-labdaden-13-ol 29a

A uma solução do 8(17)-epóxi-14-labdaden-13-ol 29a (826,0 mg; 2,6 mmoles) em THF anidro (20,0 ml) adicionou-se um excesso de LiAlH_4 (1,1 g; 28,0 mmoles). Deixou-se reagir durante 6 horas. Abaixou-se a temperatura de reação para 0°C. Cautelosamente destruiu-se o hidreto de litio e alumínio. Inicialmente gotejou-se éter comercial, depois água gota a gota. Extraiu-se a reação com éter (3 x 70 ml). Lavou-se a fase orgânica com H_2O (3

x 30,0 ml), secou-se sobre Na_2SO_4 anidro, filtrou-se e evaporou-se o solvente. Purificou-se por coluna cromatográfica usando hexano/éter 30% como eluente. Obteve-se o composto 30a em 77% (636,0 mg) de rendimento.

e) Oxidação do 14-labden-8,13-diol 30a e 30b.

A uma solução de 14-labden-8,13-diol 30 (a e b) (2,0 g; 6,5 mmoles) em acetona P.A. (160,0 ml) a 20°C adicionou-se, aos poucos, uma mistura de KMnO_4 (3,4 g, 21,5 mmoles) e MgSO_4 (3,0 g; 25 mmoles). Deixou-se reagir por mais meia hora. Filtrou-se sobre celite com uma camada de carvão ativo, e lavou-se com éter etílico. Secou-se sobre Na_2SO_4 anidro, filtrou-se e evaporou-se o solvente com a bomba de vácuo. Por CCD usando hexano/éter etílico 30% como eluente, observou-se uma mistura dificilmente separável, de 28(a e b) e 31. IV $v_{\max}^{\text{filme}} (\text{cm}^{-1})$ 3400 (OH); 2920 (C-H); 1680 (C=O) [E-18]; RMN¹H (CCl_4) δ 0,80(s); 0,88 (s); 1,08 (s); 1,25 (s); 1,33 (s) [E-19] e [E-20].

f) Fotólise de 14(15)-dinorlabdan-8-ol-13-ona 28a e 28b.

Colocou-se 14(15)-dinorlabdan-8-ol-13-ona 28(a e b) (150,0 mg, 0,5 mmoles) dissolvido em éter de petróleo no reator de quartzo para fotólise. Mantendo o sistema sob atmosfera de argônio e uma temperatura de 0°C, ligou-se a lâmpada de vapor de mercúrio HPL N 125W Phillips. Ao final de seis horas, evaporou-se o solvente e purificou-se por cromatografia em coluna usando

hexano/éter etílico 1% como eluente. Isolou-se epímeros 1 (10%; 12,6 mg); 2 (13%, 15,6 mg). Para o epímero 2 observou-se $[\alpha]_D^{25} -9,7^\circ$ (c.1; CHCl_3) [lit. /3/ $[\alpha]_D^{25} + 4,4^\circ$]; P.f. 54-55°C; IV ν_{KBr} (cm^{-1}) 3400 (OH); 1630 (C=C); 900 (C=C) [E-21]; [lit. /2/ ν_{KBr} (cm^{-1}) 3400; 2920; 1630; 900]; RMN¹H (CDCl_3) δ 0,87 (s, 3H, H-19); 0,89 (s, 3H, H-18); 1,26 (s, 3H, H-20); 1,38 (s, 3H, H-17); 4,87 (s1, H, H-11); 5,04 (s1, H, H-11) [E-22], [lit. /2/ δ 0,87 (s); 0,89 (s); 1,25 (s); 1,38 (s); 4,87 (s); 5,04 (s)]; E.M. m/z (%) 222 (M^+ , 35); 204 (53); 129(53); 95(93); 69(79); 43 (100) [E-23]. Epímero 1 observou-se: $[\alpha]_D^{25} + 22,4^\circ$ (c.1; CHCl_3) [lit. /2/, $[\alpha]_D^{25} -132^\circ$] IV ν_{filme} (cm^{-1}): 3430 (OH); 1630 (C=C); 900 (C=C) [E-24] [lit. /2/ ν_{filme} (cm^{-1}) 3430; 2920; 1620; 1450; 1380; 900]; RMN¹H (CDCl_3): δ 0,85 (s, 3H, H-19); 0,87 (s, 3H, H-18); 1,09 (s, 3H, H-20); 1,41 (s, 3H, H-17); 4,87 (s1, H, H-11); 5,22 (s1, H, H-11) [E-25], [lit. /2/: 0,85 (s); 0,87 (s); 1,09 (s1); 4,81 (s1); 5,22 (s1)]; E.M. m/z (%) 222 (M^+ , 65); 207 (40); 189 (100); 89(90) [E-26].

Caminho IV

a) Oxidação do (5R, 8R, 9S, 10R)-1abd-13-en-8-ol-15-oato de metila 34.

Dissolveu-se o composto 34 (200,0 mg; 0,6 mmoles) em acetona P.A. (14,0 ml). Resfriou-se a mistura para aproximadamente 15-20°C. Adicionou-se uma mistura de KMnO_4 (313,5 mg; 2,0 mmoles) e MgSO_4 (271,0 mg, 2,2 mmoles), durante um período de uma

hora. Filtrou-se à vácuo. Isolou-se o composto 35 (99,0 mg) com 57% de rendimento. IV $\nu_{\text{max}}^{\text{filme}}$ (cm^{-1}): 3400 (OH); 3010-2940 (C-H); 1710 (C=O); 1220 (C-O) [E-27]; *RMN¹H (CCl_4) δ 0,83 (s, 6H, H-19 e H-20); 0,87 (s, 3H, H-18); 1,08 (s, 3H, H-17); 2,05 (s, 3H, H-16) [E-28].

b) Fotólise do 14,15-dinorlabdan-8-ol-13-ona 35

Colocou-se 14(15)-dinorlabdan-8-ol-13-ona 35 (24,0 mg, 0,9 mmoles) dissolvida em éter de petróleo P.A. no reator de fotólise. Manteve-se o sistema sob atmosfera de argônio e a temperatura em torno de 0°C. Ligou-se a lâmpada de vapor de mercúrio pura HPL N 125 W Phillips e deixou-se reagindo 6 horas. Evaporou-se o solvente e purificou-se por cromatografia em coluna até obter o produto, usando-se hexano/éter etílico 1% como eluente. Isolou-se o (5R, 8R, 10R)-9(11)-drimen-8-ol 33, com 25% de rendimento (4,0 mg de 21 mg que reagiu). $[\alpha]_D^{25} +9,9^\circ$ (c.2, CHCl_3), [lit. /2/ $[\alpha]_D^{25} +4,4^\circ$ (c.1, CHCl_3)]; IV: $\nu_{\text{max}}^{\text{KBr}}$ (cm^{-1}) 3400 (OH); 1630 (C=C); 900 (C=C); [E-29]; [lit. /2/ $\nu_{\text{max}}^{\text{KBr}}$ (cm^{-1}) 3400; 1630; 900]; RMN¹H (CDCl_3): 0,85 (s, 3H, H-20); 0,87 (s, 3H, H-19); 1,25 (s, 3H, H-18); 1,38 (s, 3H, H-17); 4,82 (s, 1H, H-11); 5,04 (s, 1H, H-11) [E-30] [lit. /2/: 0,85; 0,87; 1,25; 1,38; 4,87; 5,04] E.M. m/z (%) 222 (M^+ , 35); 204 (53); 185 (53); 95(93) [E-31]; [lit. /2/ E.M. m/z 222; 204; 185; 95].

A numeração dos carbonos segue a numeração do diterpeno de origem 34.

Caminho V

a) Esterificação do composto 37.

Adicionou-se uma solução de diazometano dissolvido em éter etílico (6,1 g) ao composto 37 (2,0 g; 6,6 mmoles) e deixou-se reagindo na capela até evaporar todo o excesso de diazometano.

Uma vez evaporado o excesso de diazometano purificou-se a reação por cromatografia em coluna usando-se hexano/éter etílico 20%. Obteve-se o produto 38 em 90,0% (1,9 g) de rendimento. IV ν filme (cm^{-1}) 2920 (C=C); 1720 (C=O); 1645 (C=C) [E-32]; RMN¹H max (CCl_4): δ 0,77 (s, 6H, H-19, H-20); 0,87 (s, 3H, H-18); 1,28 (s, 3H, H-17); 2,10 (t, 3H, H-16); 3,60 (s, 3H, OCH₃); 5,40 (s1, 1H, H-7); 5,60 (s1, 1H, H-14) [E-33]; E.M. m/z (%) 318 (M⁺, 3); 222 (25); 123; (31); 109 (16); 97 (100); 81 (31); 69 (50) [E-34].

b) Epoxidação do ent-7(8),13(14)-labdien-15-oato de metila 38.

A uma solução do composto 38 (400,0 mg; 1,2 mmoles) em CH_2Cl_2 (76,3 ml) a 0°C adicionou-se, durante um período de 15 minutos, ácido m-cloroperbenzóico (1,3 g). Deixou-se reagir durante meia hora. Lavou-se com uma solução de NaOH 1 N (3 × 30 ml), H₂O (3 × 30 ml). Secou-se sobre Na₂SO₄ anidro, filtrou-se e evaporou-se o solvente. Purificou-se por coluna cromatográfica usando hexano/éter etílico 30% como eluente. Isolou-se um óleo 39 em 80% (335,1 mg) de rendimento. $[\alpha]_D^{25} -32,2^\circ$ (c.4, CHCl_3) IV:

ν_{filme} (cm^{-1}) 2940 (C-H); 1730 (C=O); 1645 (C=C); 1055 (C-O)
 ν_{max} [E-35]; RMN¹H (CCl₄) δ 0,77 (s, 3H, H-19); 0,87 (s, 6H, H-18,
H-19, H-20); 1,25 (s, 3H, H-17); 2,15 (d, 3H, J = 2Hz, H-16);
2,98 (m, H, H-7); 3,60 (s, 3H, OCH); 5,60 (m, 1H, H-14) [E-36].
E.M. m/z (%) 334 (M⁺, 1); 222 (25); 126 (31); 109 (56); 97
(100); 81 (31); 69 (50) [E-37].

c) Oxidação do composto 39.

Dissolveu-se o ent-7(8)-epóxi-13(14)-labden-15 oato de metila 39 (1,0 g; 3,0 mmoles) em acetona P.A. (727 ml). Mantendo-se a temperatura de reação em torno de 0°C, adicionou-se aos poucos (período de 1,0 hora) uma mistura de KMnO₄ (1,6 g) e MgSO₄ (1,3 g). Deixou-se reagir a 0°C durante mais meia hora. Filtrou-se sobre celite e uma camada de carvão ativo, lavou-se com éter etílico. Isolou-se um óleo 40 (466,0 mg) com rendimento de 51%. $[\alpha]_D^{25}$ -9,9° (c.1; CHCl₃); I.V. ν_{filme} (cm^{-1}) 2980 (C-H); 1730 (C=O); 1480 (C=C) [E-38]; RMN¹H (CCl₄) δ 0,77 (s, 3H, H-19); 0,87 (s, 6H, H-18, H-20); 1,25 (s, 3H, H-17); 2,10 (s, 3H, H-16); 2,80 (s1, 1H, H-7) [E-39].

d) Fotólise do ent-7(8)-epóxi-14(15)-dinorlabdan-13-ona 40.

Dissolveu-se o ent-7(8)-epóxi-14(15)-dinorlabdan-13-ona 40 (466,0 mg; 1,7 mmoles) em éter de petróleo P.A. (250,0 ml) e colocou-se no reator de quartzo para fotólise. Mantendo-se o sistema sob atmosfera de argônio e uma temperatura de 0°C, ligou-se

a lâmpada de vapor de mercúrio HPL N 125 W Phillips. Ao final de um período de 6 horas evaporou-se o solvente e purificou-se por coluna cromatográfica usando hexano/éter etílico 20% como eluente. Isolou-se um óleo 41, 36,9 mg com rendimento de 10%.

$[\alpha]_D^{25} +44,9^\circ$ (c.2, CHCl_3); I.V. v^{filme} (cm^{-1}) 2980 (C-H); 1640 (C=C); 1480 (C=C); [E-40]; RMN¹H (CCl_4) δ 0,89; 0,96 (2s, 9H, H-18,19,20); 1,40 (s, 3H, H-16); 3,0 (s1, 1H, H-11); 5,0 (s, 1H, H-11); 5,20 (s, 1H, H-11) [E-41] E.M. m/z (%) 220 (M^+ , 40); 205 (25); 162(74); 147 (100); 109 (56); 81 (25) [E-42].

III - REAÇÕES VISANDO A SÍNTSE DOS SINTONS AROMÁTICOS

1) Síntese visando 2,4-dihidroxi-3-metoxitolueno 66.

a) Hidrogenação do 4-hidroxi-3-metoxibenzaldeído 68.

Colocou-se num hidrogenador Parr, 4-hidroxi-5-metoxibenzoaldeído 68 (5,0 g; 32,9 mmoles) em etanol tratado (50,0 ml) e PdCl_2 (30,0 mg; 0,2 mmoles) sob 3,4 atm de pressão de H_2 . Deixou-se reagir durante 12 horas. Retirou-se H_2 do sistema fazendo-se vácuo. Filtrou-se sobre celite, lavou-se com éter etílico. Secou-se sobre Na_2SO_4 anidro, filtrou-se e evaporou-se o solvente. Isolou-se um óleo em 97% (4,4 g) do 4-hidroxi, 3-metoxi, tolueno 69. $\text{RMN}^1\text{H} (\text{CCl}_4)$: δ 2,20 (s, 3H, CH_3); 3,70 (s, 3H, CH_3O); 6,30-6,80 (m, 3H, H aromático) [E-43] [lit /37/ : δ 3,66 (CH_3O); 5,92 (OH); 6,50-6,88 (H aromático)].

b) Preparação do 5-hidroxi-4-metoxi-2-metilbenzoaldeído 70

Dissolveu-se 4-hidroxi-3-metoxitolueno 69 (3,5 g; 28,7 mmoles) em CH_2Cl_2 anidro. Adicionou-se sob agitação constante, uma solução de TiCl_4 (5,6 ml) e éter dicloro-metil-metílico (3,7 ml) em CH_2Cl_2 (6,5 ml). Deixou-se reagindo, numa camara seca, até a completa liberação de HCl (aproximadamente 3 horas). Abai-xou-se a temperatura de reação para 0°C , gotejou-se HCl 5% (28,0 ml) e continuou-se agitando durante meia hora. Extraiu-se com éter etílico (3 x 100,0 ml). Lavou-se a fase orgânica com água

(3 x 100 ml), secou-se sobre Na_2SO_4 anidro, filtrou-se e evaprou-se o solvente. Purificou-se o produto por cromatografia em coluna, utilizando hexano/éter etílico 40% como eluente. Obteve-se um cristal ZQ em 30% (1,3 g) de rendimento. P.f. 160-163 $^{\circ}\text{C}$; [lit /25/ 161-162 $^{\circ}\text{C}$] IV: $\nu_{\text{max}}^{\text{KBr}}$ cm^{-1} ; 3220 (OH); 1680 (C=O) [E-44] [lit /25/: $\nu_{\text{max}}^{\text{KBr}}$ cm^{-1} 3220, 1680]; RMN¹H (CDCl_3): 2,70 (s, 3H, CH_3); 4,00 (s, 3H, CH_3O); 6,80 (s, 1H, H-5); 7,40 (s, 1H, H-2) [E-45] [lit /25/ (CDCl_3): 2,50 (s, CH_3); 3,90 (s, CH_3); 6,70 (s, H aromático); 7,10 (s, H aromático); 9,90 (s, HCO)].

c) Síntese do 2,4-dihidroxi-5-metoxitolueno 66 /25/.

Adicionou-se, durante uma hora, H_2O_2 6% (7 ml) a uma mistura de 5-hidroxi-4-metoxi-2-metilbenzaldeído ZQ (860,0 mg, 5,0 mmoles) em NaOH 2% (2,7 ml) em H_2O (21,7 ml). Deixou-se reagir durante 24 horas a 0 $^{\circ}\text{C}$. Acidificou-se a reação com H_2SO_4 2N. Extraiu-se com éter etílico (3 x 50 ml). Purificou-se em coluna cromatográfica usando uma mistura de benzeno/ CHCl_3 /metanol (4:4:1) como eluente. Obteve-se um óleo amarelo 66 em 10% (79,4 mg) de rendimento. IV: $\nu_{\text{max}}^{\text{filme}}$ cm^{-1} : 3380 (OH), 1510 (C=C); 1200 (C-O) [E-46]; [lit /25/: $\nu_{\text{max}}^{\text{filme}}$ cm^{-1} 3600-3580]; RMN¹H (CCl_4): δ 2,20 (s, 3H, CH_3); 3,70 (s, 3H, CH_3O); 6,50 (s, 1H, H-6); 6,60 (s, H, H-3) [E-47] [lit /25/ (CCl_4): 2,20 (s, CH_3); 3,80 (s, CH_3O); 6,40 (s, H aromático); 6,60 (s, H aromático)] E.M. m/z (%) 154 (M^{+} , 9); 139 (100); 111 (91); 94 (7); 82 (11); 69 (36) [E-48].

2) Síntese do 2-hidrox-4,5-dimetoxitolueno 6Z.

a) Preparação do 3,4-dimetoxibenzaldeído Z1.

Colocou-se num balão de 3 bocas (500 ml), adaptado com condensador de refluxo e funil de adição, uma mistura de 4-hidroxi-3-metoxibenzaldeído 6B (70,0 g, 0,5 moles) em NaOH (21,0 g) e H₂O (200 ml). Abaixou-se a temperatura para 0°C e gotejou-se (CH₃)₂SO₄ (63,0 g; 0,5 mmoles) durante uma hora. Refluxou-se durante duas horas. Deixou-se resfriar a mistura de reação e extraiu-se com éter etílico (3 x 300 ml). Lavou-se a fase orgânica com H₂O (1 x 50 ml), H₂SO₄ dil. (1 x 50 ml), H₂O (2 x 50 ml). Purificou-se por coluna cromatográfica usando hexano/éter etílico 20% como eluente. Obteve-se o produto 3,4-dimetoxibenzaldeído Z1 em 76% (68,8) de rendimento. RMN¹H (CCl₄): δ 4,10 (s, 3H, CH₃O); 7,20 (d, H, J = 10 Hz, H aromático); 7,70 (s1, 1H, H aromático); 7,73 (dd, J = 10; 2Hz, H aromático) [lit /38/: (CDCl₃) δ 3,93; 3,97 (CH₃O); 6,98 (H aromático); 7,40 (H aromático); 7,45 (H aromáticos); 9,98 (H de aldeído)].

b) Síntese do 4,5-dimetoxitolueno Z2.

Colocou-se num hidrogenador Parr, 3,4-dimetoxibenzaldeído Z1 (58,8 g, 0,4 mmoles) em etanol tratado (50,0 ml) e Pd/carvão (70,0 mg) sob 3,5 atm de pressão de H₂. Deixou-se reagir durante 4 horas. Retirou-se o H₂ do sistema fazendo-se vácuo. Filtrou-se sobre celite e lavou-se com éter etílico. Evaporou-se o sol-

vente, obtendo-se 3,4-dimetoxitolueno 72 em 97% (53,9 g) de rendimento. RMN¹H (CCl₄) 2,30 (s, 3H, CH₃); 3,90 (s, 6H, CH₃O); 6,90 (s, 3H, H aromático) [E-50] [lit /37/ (CDCl₃) : δ 3,64 (s, 6H, CH₃O); 6,60 (s, 3H, H aromático)].

c) Síntese do 2-nitro-4,5-dimetoxitolueno 73.

Adicionou-se ao 3,4-dimetoxitolueno 72 (400,0 mg; 2,6 mmoles) dissolvido em éter etílico P.A. (10,0 ml) um excesso de HNO₃ conc. (300,0 mg, 4,8 mmoles). Deixou-se reagindo durante duas horas a temperatura ambiente. Abaixou-se a temperatura de reação para 0°C e neutralizou-se com KOH. Extraiu-se com éter etílico (3 x 20,0 ml). Lavou-se a fase orgânica com H₂O (3 x 20,0 ml). Secou-se sobre Na₂SO₄ anidro, filtrou-se e evaporou-se solvente obtendo-se 98% (510,0 mg) do 2-nitro-4,5-dimetoxitolueno 73. Purificou-se por cromatografia em coluna usando hexano/éter etílico 20% como eluente p.f. 128-130°: IV. ν_{max}^{KBr} cm⁻¹ : 1570 (C=C_{ar}); 1480 (N=O); 1360 (C=C); 1280 (N=O) [E-51]; RMN¹H (CDCl₃) : δ 2,60 (s, -H, CH₃); 3,90 (s, 6H, CH₃O); 6,60 (s, 1H, H-6); 7,50 (s, H, H-3) [E-52].

d) Síntese do 2-amino-4,5-dimetoxitolueno 74

Colocou-se num hidrogenador Parr, 2-nitro-4,5-dimetoxitolueno 73 (518,5 mg; 3,1 mmoles) em etanol tratado (10,0 ml) e Pd/carvão (5,0 mg) sob 3,0 atm de pressão de H₂. Deixou-se reagindo durante 4 horas. Retirou-se o H₂ do sistema fazendo-se vácuo.

Filtrou-se sobre celite. Lavou-se com éter etílico, evaporou-se o solvente. Isolou-se 80% (346,0 mg) de rendimento do 2-amino-4,5-dimetoxitolueno 74. RMN¹H (CDCl₃): δ 2,10 (s, 3H, CH₃); 3,18 (s, 2H, NH₂); 3,80 (s, 6H, CH₃O); 6,30 (s, 1H, H-6); 6,40 (s, 1H, H ar) [E-53]. E.M.; m/z (%) 167 (M⁺, 100); 152 (89); 124 (29); 109 (18) [E-54].

e) Síntese do 2-hidroxi-4,5-dimetoxitolueno 67

Dissolveu-se o 2-amino-4,5-dimetoxitolueno 74 (100,0 mg; 0,6 mmoles) em CHCl₃ (0,1 ml). Adicionou-se uma solução de H₂SO₄ conc. (0,3.10⁻³ ml) em H₂O (0,2 ml). Ao término da adição evaporou-se o CHCl₃ e abaixou-se a temperatura para uma faixa entre 3-4°C. Sob agitação, adicionou-se uma solução de NaNO₂ (10,0 mg) em H₂O (36,0.10⁻³ ml). Deixou-se em repouso durante duas horas à uma temperatura entre 0-10°C. A solução fria do sal de diazono adicionou-se uma solução de Na₂SO₄ (360,0 mg) em H₂SO₄ (24,0.10⁻³ ml) e H₂O (24,0.10⁻³ ml). Fez-se refluxo durante duas horas. Resfriou-se a reação e extraiu-se com éter etílico (3 x 25,0 ml). Observou-se que ao purificar em coluna cromatográfica observava-se decomposição do produto. IV._v_{max}^{filme} cm⁻¹ 3400 (OH); RMN¹H (CDCl₃): δ 2,02 (s, 3H, CH₃); 3,84 (s, 3H, CH₃O); 3,92 (s, 3H, CH₃O); 6,68 (s, 1H, H-6); 6,84 (s, 1H, H-3) [E-56].

f) Síntese do 2-hidroxi-4,5-dimetoxytolueno 67

Colocou-se o 2-amino-4,5-metoxitolueno 74 (100,0 mg; 0,6

mmoles) em piridina (0,64 ml) e adicionou-se NaNO_2 (125,0 mg) em H_2SO_4 com (4,2 ml) em H_2O (0,3 ml) durante um período de uma hora, mantendo a temperatura de reação entre 5-10°C. Ao final deste tempo adicionou-se essa mistura a água fervendo e depois manteve-se a temperatura de reação entre 70-80°C durante uns dez minutos. Resfriou-se a reação e extraiu-se com CHCl_3 (3 x 20,0 ml). Lavou-se a fase orgânica com NaHCO_3 (20,0 ml), NaOH 1 N (20,0 ml) e H_2O (3x20 ml). Secou-se o solvente. Obteve-se o 2-hidroxi-4,5-dimetoxitolueno bruto 54 em 40% (45,4 mg) de rendimento. IV: $\nu_{\text{max}}^{\text{filme cm}^{-1}}$ 3400 (OH); [E-55]: $\text{RMN}^1\text{H} (\text{CCl}_4)$; δ 2,10 (s, 3H, CH_3); 3,84 (s, 3H, CH_3O); 3,92 (s, 3H, CH_3O); 6,68 (s, 1H, H-6); 6,84 (s, 1H, H-3) [E-56].

3) Obtenção de 2-hidroxi-4,5,-dióxido de metíleno tolueno 102.

a) Preparação do composto 108.

Colocou-se num hidrogenador Parr, 3,4-dióxido de metíleno-benzaldeído 109 (42,0 g, $0,3 \cdot 10^{-3}$ mmoles) em etanol tratado (50,0 ml) e PdCl_2 (30,0 mg; 0,2 mmoles) e 3,0 atm de pressão de H_2 . Deixou-se reagir durante 7 horas. Retirou-se o H_2 do sistema fazendo-se vácuo. Filtrou-se sobre celite e lavou-se com éter etílico. Evaporou-se o solvente obtendo-se 94% (38,8 g) do 3,4-dióxido de metíleno-tolueno 108. $\text{RMN}^1\text{H} (\text{CCl}_4)$: δ 2,23 (s, 3H, CH_3); 5,87 (s, 2H, CH_2); 6,53 (s, 3H, H aromático) [E-58].

b) Nitração do 3,4-dióxido de metileno-tolueno 108.

Dissolveu-se o 4,5-dióxido de metileno-tolueno 108 (250,0 mg; 1,8 mmoles) em éter de P.A. (1,5 ml) gota a gota. Deixou-se reagindo a temperatura ambiente durante duas horas. Levou-se a temperatura de reação para 0°C e neutralizou-se com NaOH. Extraiu-se com éter (3 x 25,0 ml). Secou-se sobre Na_2SO_4 anidro, filtrou-se e evaporou-se o solvente. Purificou-se em coluna chromatográfica usando hexano/éter etílico 30% como eluente. Isolou-se o 2-nitro-4,5-dióxido de metileno-tolueno 110 em 61% (350,0 mg) de rendimento. P.f. 88-90 °C; IV: $\nu_{\text{max}}^{\text{KBr}} \text{cm}^{-1}$ 1540 (N=O); 1400 (N=O); 1340 (N-O); 940 (C-N) [E-59]; RMN¹H (CCl_4): δ 2,57 (s, 3H, CH_3); 6,00 (s, 2H, CH_2); 6,65 (s, 1H, H aromático); 7,43 (s, 1H, H aromático) [E-60].

c) Redução do 2-nitro-4,5-dióxido de metileno tolueno 110 e obtenção do 2-hidroxi-4,5-dióxido de metileno tolueno 107.

Colocou-se num hidrogenador Parr, 2-nitro-4,5-dióxido de metileno-tolueno 110 (350,0 mg; 1,9 mmoles) em etanol tratado (5,0 ml) e Pd/carvão (7,0 mg) sob 3,0 atm de pressão de H_2 . Deixou-se reagir durante 5 horas. Retirou-se o H_2 do sistema sob vácuo. Filtrou-se sobre celite e lavou-se com éter etílico. Evaporou-se o solvente isolando o 2-amino-4,5-dióxido de metileno-tolueno 111. Devido a sua decomposição rápida, colocou-se este num balão de fundo redondo (25 ml) e adicionou-se piridina

(16,0 ml) e NaNO_2 (3,1 g) em H_2SO_4 conc. (10,5 ml) e H_2O (6,3 ml), mantendo a temperatura de reação entre 5-10°C. Colocou-se, cautelosamente, uma mistura de uréia (2,5 g) em H_2O (14,5 ml). Verteu-se sobre água fervendo (525,0 ml) e refluxou-se durante uns 15 minutos. Resfriou-se a reação e extraiu-se com CHCl_3 (3 x 30,0 ml). Secou-se sobre Na_2SO_4 anidro, filtrou-se e evaporou-se o solvente. Purificou-se por coluna cromatográfica usando hexano/éter etílico 40% como eluente. Obteve-se o 2-hidroxil-4,5-dióxido de metileno tolueno 102 em 40% (1,0 g) de rendimento. IV: $\nu_{\text{max}}^{\text{filme cm}^{-1}}$ 3400 (OH); 2960 (C-H); 1500 (C=C) [E-61]; RMN¹H (CCl_4): δ 2,05 (s, 3H, CH_2); 5,87 (s, 2H, CH_2); 6,40 (s, H, H aromático); 6,20 (s, H arom.) [62].

4) Caminho de síntese para obtenção do 2-bromo-1,4-dimetoxibenzeno 112.

a) Obtenção do 2-Bromo-1,4-dihidroxi-benzeno 113.

Dissolveu-se 1,4-di-hidroxi-benzeno (5,0 g; 45,5 mmoles) 114 em uma mistura de CHCl_3 /éter 2:1. Abaixou-se a temperatura para 0°C e gotejou-se Br_2 (1,2 ml). Ao término de uma hora evaporou-se o solvente. Purificou-se o resíduo por coluna cromatográfica usando CHCl_3 como eluente. Obteve-se 2-bromo-1,4-dihidroxi-benzeno 113 em 68% (5,8 g) de rendimento. IV $\nu_{\text{max}}^{\text{KBr cm}^{-1}}$ 3400 (OH); 1500 (C=C); 1220 (C-O); 1050 (C-O) [E-63]; RMN¹³C (CHCl_3): δ 109,3 (d, C-5); 115,6 (d, C-6); 117,1 (d, C-3); 119,1 (s, C-2); 146,7 (s, C-1); 150,6 (s, C-4) [E-64].

b) Metilação do 2-bromo-1,4-di-hidroxi-benzeno 113.

A uma mistura de 2-bromo-1,4-di-hidroxi-benzeno 113 (5,8 g; 30,8 mmoles) em NaOH (2,7 g) e água (15 ml) à 0°C, gotejou-se $(\text{CH}_3)_2\text{SO}_4$ (6,0 ml; 61,0 mmoles). Refluxou-se durante duas horas. Esfriou-se a reação e adicionou-se água gelada. Extraiu-se com éter etílico (3x 25 ml). Secou-se sobre Na_2SO_4 anidro, filtrou-se e evaporou-se o solvente. Purificou-se por cromatografia em coluna usando CHCl_3 como eluente. Isolou-se 2-bromo-1,4-dimetoxi-benzeno 112 em 77% (5,3 g) de rendimento. IV: $v_{\text{max}}^{\text{filme}} (\text{cm}^{-1})$ 2980 (C-H); 1500 (C=C); 1050 (C-C); 1050 (C-O); 680 (C-Br) [E-65]; RMN¹H (CCl_4): δ 3,70 (s, 3H, CH_3O); 3,80 (s, 3H, CH_3O) 6,70-7,03 (m, 3H, H-aromáticos) [E-66]. E.M. m/z (%) 217 (M^+ , 85); 215 (85); 203 (100); 201 (100); 175 (35); 173 (35); 107 (95); 92 (40); 79 (95); 77 (59) [E-67].

IV. OBTENÇÃO DOS SINTONS TERPÊNICOS

1) Oxidação do 8(17),14-labdadien-13-ol 13 /10/.

Dissolveu-se o 8(17), 14-labdadien-13-ol 13 (1,5 g; 5,2 mmoles) em CH_2Cl_2 (15,0 ml). Adicionou-se clorocromato de piridina (PCC; 3,0 g) em CH_2Cl_2 (60,0 ml). Deixou-se reagir até completar a reação controlando por CCD, usando como eluente uma mistura de hexano/éter etílico 20%. Filtrou-se sobre uma coluna filtrante de sílica, lavou-se com CH_2Cl_2 . Evaporou-se o solvente. Dissolveu-se em éter etílico e lavou-se com água (3 x 80 ml). Evaporou-se o solvente e purificou-se em coluna cromatográfica usando hexano/éter etílico como solvente. Isolou-se o isômero E 8Za em 58,4% (833,9 mg) de rendimento, o isômero Z 8Zb em 7,0% (100,6 mg) de rendimento, e uma mistura dos isômeros E e Z em 15,7% (225,7 mg). IV 8Za: $\nu_{\text{max}}^{\text{filme cm}^{-1}}$ 2980 (C-H); 1690 (C=O; 1470 (C-C) [E-68]. RMN¹H (CCl_4) 8Za: δ 0,68 (s, 3H, H-20); 0,82 (s, 3H, H-19); 0,88 (s, 3H, H-18); 2,15 (d, 3H, J = 1,5 Hz, H-16); 4,42 (s1, H, H-17); 4,77 (s1, H, H-17); 5,60 (d1, J = 8 Hz, H, H-14); 9,87 (d, J = 8,0 Hz, H, H-15); [E-69]; IV 8Zb: $\nu_{\text{max}}^{\text{filme cm}^{-1}}$ 2980 (C-H); 1680 (C=O); 1410 (C=C); [E-70]; RMN¹H (CCl_4) 8Zb: δ 0,69 (s, 3H, H-20); 0,82 (s, 3H, H-19); 0,90 (s, 3H, H-18); 1,93 (d, 3H, J = 10 Hz, H-16); 4,53 (s1, H, H-17); 4,87 (s1, H, H-17); 5,70 (d, J = 8,0 Hz, H, H-14); 9,75 (d, J = 8 Hz, H, H-15) [E-71] (lit/10/IV 87a e b: $\nu_{\text{max}}^{\text{filme cm}^{-1}}$ 1680; RMN¹H (CCl_4); 0,66; 0,80; 0,86; 1,90; 2,13).

V. REAÇÕES DE ACOPLAMENTO

- 1) Acoplamento entre 8(17), 14-labdadien-13-ol 13 e 2-hidroxi-4,5-dioxido de metileno-tolueno 10Z.

Dissolveu-se 2-hidroxi-4,5-dioxido de metileno-tolueno 10Z (160,0 mg; 1,1 mmoles) em dioxano (1,5 ml) e BF_3 (0,1 ml). Adicionou-se uma solução de 8(17), 14-labdadien-13-ol 13 (500,0 mg) em dioxano (1,5 ml). Deixou-se reagir sob atmosfera de argônio e na ausência de luz, durante 22 horas. Verteu-se sobre água e extraiu-se com éter etílico ($3 \times 25,0$ ml). Secou-se sobre Na_2SO_4 anidro, filtrou-se e evaporou-se o solvente. Purificou-se o produto de reação por coluna cromatografia utilizando hexano/éter 10% como eluente. Isolou-se um produto majoritário que mostrou-se tratar de um rearranjo do manool 13. E.M. (m/z) (%) 290 (M^+ , 3), 273 (70), 258 (80), 182 (70), 165 (100).

- 2) Acoplamento entre 8(17), 14-labdadien-13-ol 13 e 2-metil-1,4-dihidroxi-benzeno 25.

A uma solução de 8(17), 14-labdadien-13-ol 13 (3,0 g; 10,3 mmoles) em dioxano (15 ml) à uma temperatura de 0°C gotejou-se 2 metil-1,4-dihidroxi-benzeno (1,3 g) 25 em dioxano (14,0 ml) e BF_3 (1,0 ml). Deixou-se reagir, sob atmosfera de argônio e na ausência de luz, durante 15 horas. Verteu-se sobre água e extraiu-se com éter etílico (3×100 ml). Secou-se sobre Na_2SO_4 anidro, filtrou-se e evaporou-se o solvente isolando-se 63,0%

(2,6 g) do produto Z6 bruto. Adicionou-se ao produto de acoplamento uma solução de anidrido acético/piridina (1:1) (5,0 ml). Deixou-se reagindo, na ausência de luz, durante um período de 72 horas. Diluiu-se com água e extraiu-se com CH_2Cl_2 (3 x 100 ml). Lavou-se a fase orgânica com uma solução de HCl 2 N até eliminar traços de piridina. Secou-se o solvente sobre Na_2SO_4 anidro, filtrou-se e evaporou-se o solvente usando bomba de vácuo. Obteve-se 98,0% (3,5 g) de rendimento bruto. Purificou-se uma pequena quantidade do composto ZZ (120,0 mg) por cromatografia de placa preparativa usando hexano/éter etílico 20% como eluente. Isolou-se 34,0% (40,8 mg) do composto ZZ. $\text{RMN}^1\text{H} (\text{CCl}_4)$: δ 0,68; 0,80; 0,87 (s, H-18, H-19, H-20); 1,70 (s, H-16); 2,13 (s, 2H, H-21); 2,23 (s, H-22, H-23); 3,10 (s1, H-15); 3,20 (s1, H-15); 4,53 (s1, H); 4,87 (s1, H); 5,20 (t, 1H); 6,73 (s, 1H); 6,85 (s, 1H) [E-72].

3) Reação de ciclização de ZZ.

Dissolveu-se o composto ZZ (192,0 mg; 0,4 mmoles) em benzeno (50,0 ml). Gotejou-se BF_3 (0,4 ml) e deixou-se reagindo sob atmosfera de argônio e na ausência de luz durante 72 horas. Verteu-se a reação sobre gelo e extraiu-se com éter etílico (3 x 20 ml). Secou-se sobre Na_2SO_4 anidro, filtrou-se e evaporou-se o solvente. Purificou-se por cromatografia de placa preparativa usando uma mistura de hexano/éter etílico 20% como eluente. Obteve-se Z8 em 50% (96 mg) de rendimento. $\text{RMN}^1\text{H} (\text{CCl}_4)$: δ 0,68; 0,80; 0,87 (s, 9H, H-20, H-19, H-18); 2,10 (s, 3H, H-16) [E-73].

6) Reação entre 8(17), 14-labdadien-13-ol 13 e 1,4-dihidroxi-benzeno 114.

A uma solução de 1,4-dihidroxi-benzeno 114 (187,0 mg; 1,7 mmoles) em dioxano (2,5 ml) e BF_3 (0,2 ml) gotejou-se uma solução de 8(17), 14-labdadien-13-ol 13 (500,0 mg) em dioxano (2,5 ml). Deixou-se reagindo sob atmosfera de argônio, na ausência de luz e a temperatura ambiente durante uma noite. Verteu-se sobre gelo e extraiu-se com éter etílico ($3 \times 20,0$ ml). Lavou-se a fase orgânica com H_2O , NaHCO_3 5%, H_2O . Secou-se sobre Na_2SO_4 anidro e evaporou-se o solvente. Purificou-se por coluna cromatográfica usando hexano/éter etílico 20% como eluente. Obteve-se um óleo amarelo 115 em 12% (30,0 mg) de rendimento. $\text{RMN}^1\text{H} (\text{CCl}_4)$ δ 0,67 (s, 3H, H-20); 0,80 (s, 3H, H-19); 0,89 (s, 3H, H-18); 1,70 (s, 3H, H-16); 3,10-3,27 (d, 2H, $J = 9$ Hz, H-15); 4,50 (s1, 1H, H-17); 4,77 (s1, 1H, H-17), 5,26 (t, 1H, $J = 9$ Hz, H-14); 6,47 (s1, 3H, H aromático) [E-75].

4) Acoplamento entre composto 94 e 2-bromo-1,4-dimetoxi-benzeno 113.

A um balão de três bocas (50 ml), sob atmosfera de argônio, adicionou-se 2-bromo-1,4-dimetoxi-benzeno 113 (631,0 mg; 2,9 mmoles) em hexano tratado (10,0 ml). Abaixou-se a temperatura para -78 °C e gotejou-se n-butil-lítio (1,6 M; 0,9 ml). Observou-se a formação de um precipitado. Deixou-se reagindo durante duas horas, em seguida adicionou-se o aldeído 94 (442,0 mg) em hexano

tratado (10,0 ml). Após cinco horas de reação, verteu-se a mistura sobre uma solução aquosa ligeiramente acidificada com HCl. Extraiu-se com éter etílico (3 x 25,0 ml), lavou-se com H₂O (3 x 25,0 ml). Secou-se sobre Na₂SO₄ anidro, filtrou-se e evaporou-se o solvente. Isolou-se 73,2% (785,0 mg) do produto bruto 102. Purificou-se por coluna cromatográfica usando hexano/acetato de etila 10% como eluente. Obteve-se 29,0% (307,0 mg) de produto 102. IV: $\nu_{\text{max}}^{\text{filme}} (\text{cm}^{-1})$ 3400 (OH); 2980 (C-C); 1500 (C=C); 1220 (C-O); [E-76]. RMN¹H (CCl₄): δ 1,33 (s, 3H, H-10); 1,60; 1,67; (2s, 6H, H-8,9); 3,70-3,77 (s, 6H, CH₃O); 5,10 (m, H, OH); 6,63, 6,83 (m, 3H, H aromático); [E-77]. E.M.; m/z (%); 290 (M⁺; 60); 203 (13); 206 (100); 78 (87) [E-78].

5) Reação entre composto 94 e 1,4-dimetoxi-2-bromo-benzeno 113.

A um balão de três bocas, sob atmosfera de argônio, adicionou-se 1,4-dimetoxi-2-bromo-benzeno 113 (843,0 mg; 3,9 mmol) em hexano (10,0 ml). Abaixou-se a temperatura para -78°C e adicionou-se n-butil-litio (1,6 M; 2,9 ml). Formou-se um precipitado branco. Deixou-se reagir durante duas horas. Após este tempo adicionou-se o composto 94 (591,0 mg) e deixou-se reagir durante 5 horas. Verteu-se sobre H₂O, extraiu-se com éter etílico (3 x 50 ml). Secou-se sobre Na₂SO₄ anidro, filtrou-se e evaporou-se o solvente. Purificou-se a reação em coluna cromatográfica usando hexano/acetato de etila 10% como eluente. Obteve-se 30% (523,0 mg) de rendimento 101. IV: $\nu_{\text{max}}^{\text{filme}} (\text{cm}^{-1})$ 3400 (OH); 2980 (C-H); 1500 (C=C), 1220 (C-O); [E-79]; RMN¹H (CCl₄): δ 1,60-1,73 (s, 9H,

CH_3); 3,70-3,73 (s, 6H, CH_3O); 6,70 (m, 3H, H_{Ar}) [E-80].

6) Reação entre 8(17),13(14)-labdadien-13-ol 8Z e 1,4-dimetoxi-2-bromo-benzeno 113.

A um balão de três bocas, sob atmosfera de argônio, adicionou-se 1,4-dimetoxi-2-bromo-benzeno 113 (500,0 mg; 2,3 mmoles) em hexano. Abaixou-se a temperatura para -78 °C e adicionou-se n-butil-lítio (1,6 M; 2,9 ml). Deixou-se reagir durante duas horas. Após adicionou-se 8(17),13(14)-labdadien-15-ol 8Z (666,3 mg) e deixou-se sob agitação durante 5 horas. Verteu-se sobre água e extraiu-se com éter etílico (3 x 50,0 ml). Secou-se sobre Na_2SO_4 anidro, filtrou-se e evaporou-se o solvente. Purificou-se por coluna cromatográfica (hexano/acetato de etila 10%) obtendo-se 30% (348,5 mg) de rendimento. IV: $\nu_{\text{max}}^{\text{filme}} (\text{cm}^{-1})$ 3400 (OH); 2980 (C-C); 1510 (C=C) [E-81]; RMN¹H (CCl_4): δ 0,82; 0,90; 1,33 (s, 9H, H-18,19,20); 3,7 (s, 6H, OCH_3); 6,67 (s, 3H, H_{Ar}). [E-82].

VI. REAÇÕES DE OXIDAÇÃO DO COMPOSTO 101

1) Oxidação com PCC.

Dissolveu-se o produto de acoplamento 101 (10,0 mg; $0,3 \cdot 10^{-1}$ mmoles) em CH_2Cl_2 (0,1 ml) e adicionou-se de uma vez uma mistura de cloro-cromato de piridina (PCC; 20,0 mg) em CH_2Cl_2 (0,4 ml). Deixou-se reagir sob atmosfera de argônio, a temperatura ambiente. Após duas horas de reação filtrou-se sobre florítil. Purificação por cromatografia de placa preparativa forneceu um produto que mostrou-se não tratar-se da cetona desejada 103.

2) Oxidação com MnO_2

Dissolveu-se o produto de acoplamento 101 (10,0 mg; $0,3 \cdot 10^{-1}$ mmoles) em hexano (2,0 ml) e adicionou-se MnO_2 (100,0 mg; 1,1 mmoles). Deixou-se reagir na ausência de luz e a temperatura ambiente durante duas horas. Filtrou-se sobre celite e lavou-se com éter etílico. Evaporou-se o solvente. Purificação por placa preparativa não resultou em compostos que apresentassem as características desejadas.

3) Oxidação com CrO₃/Piridina

Adicionou-se ao produto de acoplamento 101 (10,0 mg; $0,3 \cdot 10^{-1}$ mmoles) uma mistura de CrO₃ (2,5 mg; $0,3 \cdot 10^{-1}$ mmoles) em piridina (2,0 ml). Deixou-se reagir durante quatro horas na ausência de luz e sob atmosfera de argônio. Filtrou-se sobre celite e lavou-se com éter etílico. Lavou-se a fase orgânica com uma solução de HCl 0,5 N. Por cromatografia de placa preparativa obteve-se um produto que não mostrou ter as características desejadas.

4) Oxidação com DMSO/anidrido acético.

Colocou-se o produto de acoplamento 101 (40,0 mg, $1,2 \cdot 10^{-1}$ mmoles) em uma mistura de dimetil-sufóxido (4,0 ml) e anidrido acético (2,8 ml). Deixou-se reagir sob atmosfera de argônio durante uma noite. Verteu-se sobre água e extraiu-se com éter etílico ($3 \times 10,0$ ml). Secou-se a fase orgânica sobre Na₂SO₄ anidrido, filtrou-se e evaporou-se o solvente. Purificação por cromatografia de placa preparativa não resultou no composto com as características desejadas.

5) Oxidação com transferência de fase.

Dissolveu-se o produto de acoplamento 101 (100,0 mg, 0,3 mmoles) em éter etílico (0,2 ml). Adicionou-se uma solução crómica (2,0 ml) que foi preparada dissolvendo dicromato de potássio

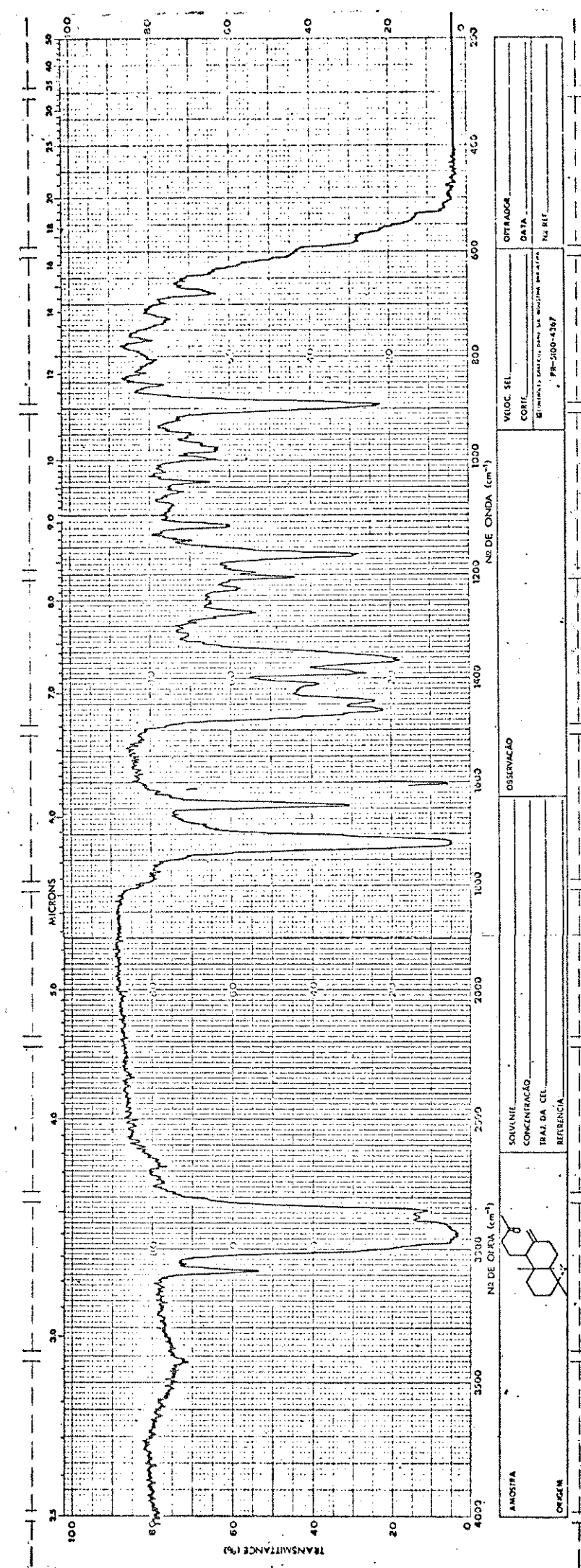
dihidratado (1,0 g) em água (30,0 ml), em seguida adicionou-se H₂SO₄ 97% (0,7 ml) e completou-se o volume (5,0 ml). Deixou-se reagindo a temperatura ambiente durante uma hora. Passou-se por uma coluna filtrante de silica e lavou-se com éter etílico. Evaporou-se o solvente. Após purificação por placa preparativa não se observou o isolamento de compostos com as características desejadas.

BIBLIOGRAFIA

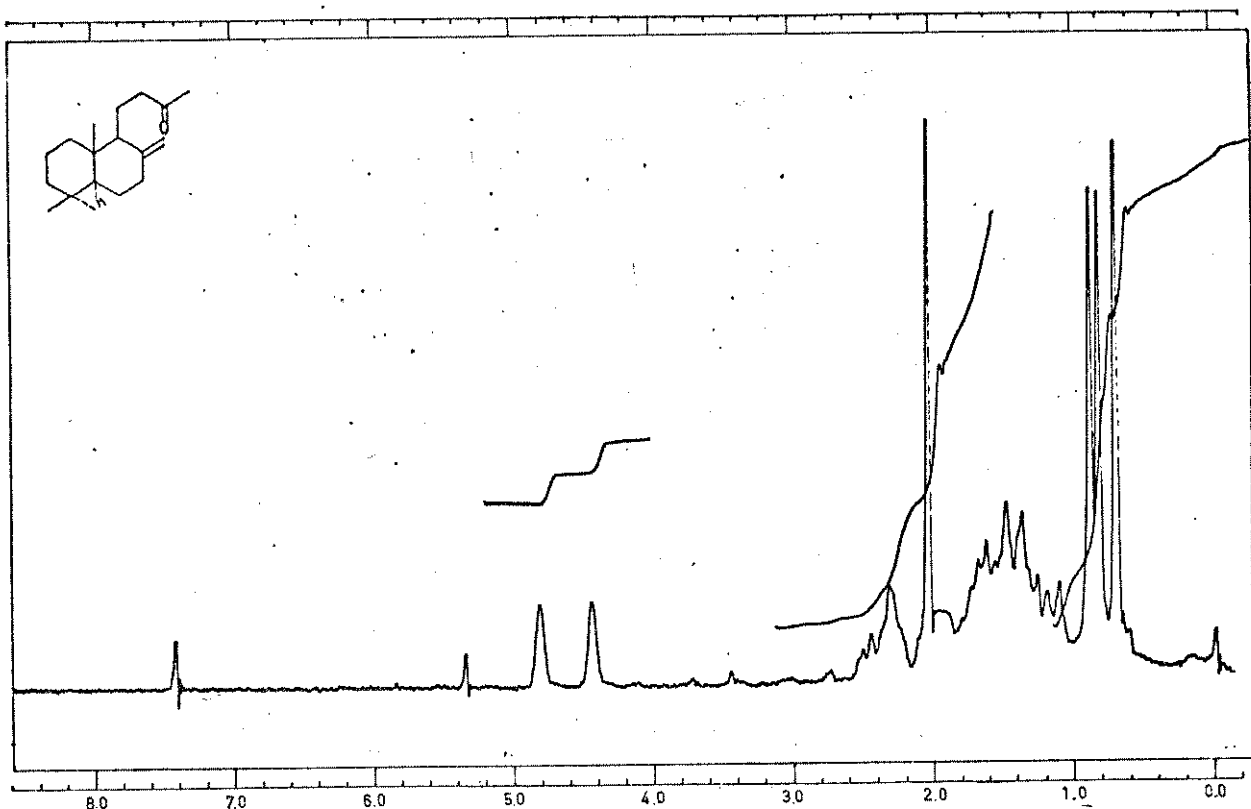
- /1/ Morrison, J.D.; "Assymmetric Synthesis"; Vol. 1, Academic Press New York, (1983), p 1-10.
- /2/ Wada, K.; Tanaka, S. e Marumo, S.; Agric.Biol.Chem.; (1983), 47, 1075.
- /3/ Gerwick, W.; e Fenical, W.; J.Org.Chem.; (1981), 46, 22.
- /4/ Takahas, T.; e Yamamoto, T.; J.Coll.Agric., Tokyo, (1913) 5, 133; Vedernikova, E.I.; Fermenty Nak. Khoz Med., (1971), 128; Tokavo, R.R.; Kozlavo, G.; Dudina, M.V.; e Bessonova, N.G.; Khebopok Konditer Prom., (1972) 7, 27.
- /5/ Tanaka, S.; Wada, K.; Katayama, M; e Marumo, S.; Agric.Biol.Chem., (1984), 48, 3189.
- /6/ Greene, A.; e Charbonnier F., Tetrahedron Letters., (1985). 26, 5525.
- /7/ ApSimon, J.; "The Total Synthesis of Natural Products", John Wiley & Son Inc (1983), p. 179.
- /8/ Okawava, H.; Nakai, H.; e Ohno, M.; Tetrahedron Letters, (1982), 23, 1087.
- /9/ Carey, F.; e Sunderberg, R.; "Advanced Organic Chemistry" 2^o ed., Plenum Press; New York, (1984), p. 597.
- /10/ Herz, W.; e Sundararaman, P.; J.Org.Chem., (1977), 42, 813.
- /11/ Scheidegger, U.; Schaffner, R; e Jegger, O.; Helv.Chim.Acta (1962), 45, 400.
- /12/ Khac Manh, D.; Fetizon, M.; e Flament, J.; Tetrahedron, (1975), 31, 1897.

- /13/ House, H.; "Modern Synthetic Reactions"; W.A. Benjamin Inc., New York, (1972), p. 269.
- /14/ Grant, P.; e Weavers, R.; Tetrahedron; (1974), 30, 2385.
- /15/ Anderson, W.; e Veyoglu, T.; J.Org.Chem.; (1973), 38, 2267.
- /16/ Ohloff, G; Helv.Chim.Acta; (1958), 41, 845; Soucek, M.; Chem.Ind.; (1962), 1946.
- /17/ Marsaioli, A.; Leitão Filho, H.; e Campello, J.; Phytochemistry; (1975), 14, 1882; Hugel, G.; Oehlschlager, A.; e Ourison, G.; Tetrahedron Suppl., (1967), 8, 203
- /18/ Carey, F.; e Sundberg, J.; "Advanced Organic Chemistry", 2a. ed., Plenum Press, New York, (1984), p. 277.
- /19/ Murphy, D.; Alumbaugh, R.; e Rickborn, B.; J.Am.Chem.Soc.; (1969), 91, 2649.
- /20/ Fenical, W.; e Gerwick, W.; Tetrahedron Letters; (1979), 2, 145.
- /21/ O'Brian, T.; White, S.; Jacob, R.; e Wilson, L.; Department of Biological Sciences and the Marine Science Institute, University f California, Santa Barbara, CA 9310 6, USA; Eli Lilly Research Lab. Indianapolis, In., 46285, USA: Manuscript.
- /22/ Warren, S.; "Designing Organic Synthesis"; John Wiley & Sons; Great Britain, (1978), p. 8.
- /23/ Bory, S.; Manh, K.; Fetizon, H.; e Kone, M.; Bull.Soc.Chim. Fr.; (1975), 2347.
- /24/ Carvalho Bezerra, A.; "Viabilização da Síntese Quiral do Stipoldiol"; Tese de Mestrado, Campinas, S.P., (1983).

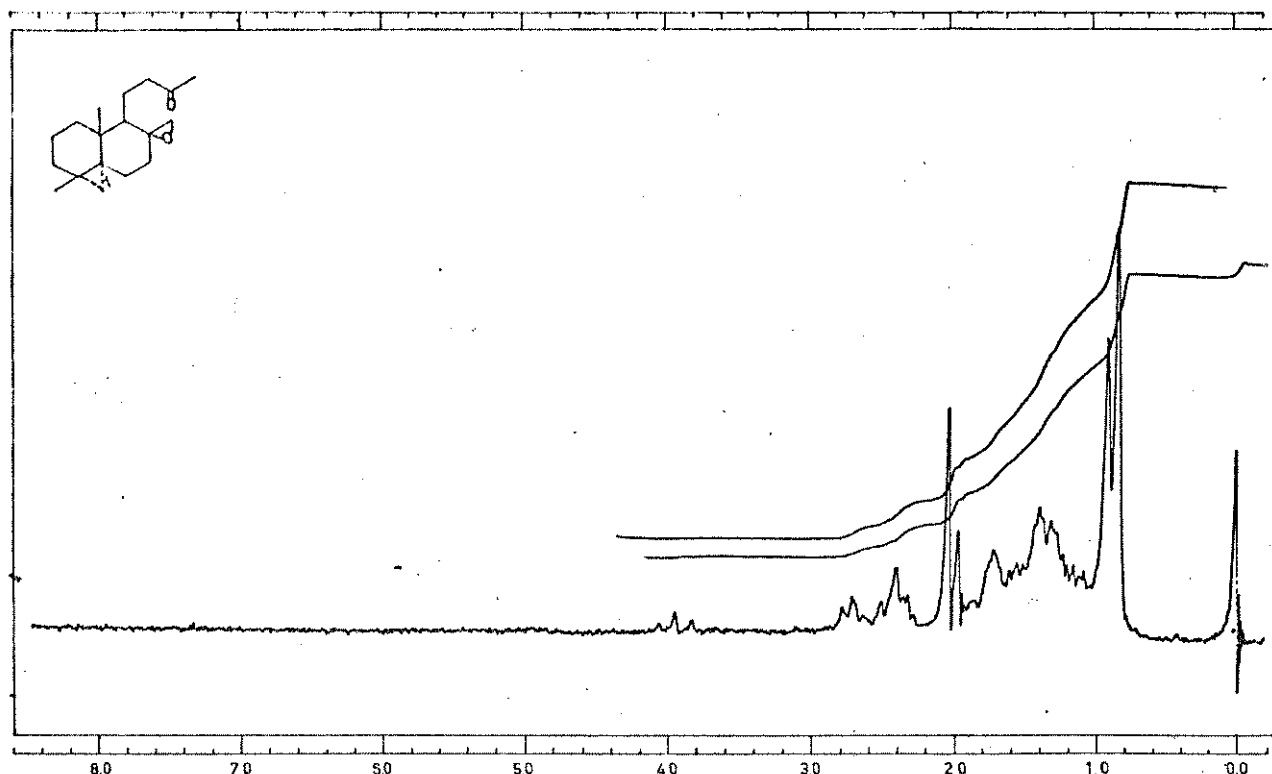
- /25/ Kozlova, I.; Obal'nikova, E.; Chupina, L.; Bekker, A.; e Samokhvalov, G.; J.Org.Chem.URSS; (1981), 17, 296.
- /26/ Gonzalez, A.; Alvarez, M.; e Martin, J.; Tetrahedron; (1982), 38, 719.
- /27/ Herz, W.; e Silva Prasad, I.; J.Org.Chem.; (1984), 49, 326.
- /28/ Ronald, R.; e Winkle, M.; J.Org.Chem.; (1982), 47, 2101.
- /29/ ApSimon, J.; "The Total Synthesis of Natural Products", vol.4, John Wiley & Sons Inc., New York, (1983), p. 201
- /30/ Korshunov, S.; e Vereschagun, L.; "Russ.Chem.Rev.", (1966), 35, 942.
- /31/ House, H.; "Modern Synthetic Reactions", 2a. ed., Benjamin Inc., (1972), p. 258.
- /32/ Brown, H.; Garg, P.; e Liu, K.; J.Org.Chem.; (1971), 36, 387.
- /33/ Swern, D.; Mauricuso, A.; e Hurang, S.; J.Org.Chem.; (1978), 43, 2480.
- /34/ Rúveda, A.; Sierra, M.; e Spanevello, R.; "Synth.Commun.", (1986), 749(1986); 935(1986).
- /35/ Vogel, A.; "Vogel's Practical Organic Chemistry"; 4a. ed., Longman Group Ltda, London, (1978), p. 264.
- /36/ Taber, D.; J.Org.Chem.; (1981), 46, 1351.
- /37/ Vickery, E.; e Pahlev, L.; J.Org.Chem.; (1979), 44, 4444.
- /38/ Varian High Resolution NMR Spectra Catalog Vol. 1 p. 236.



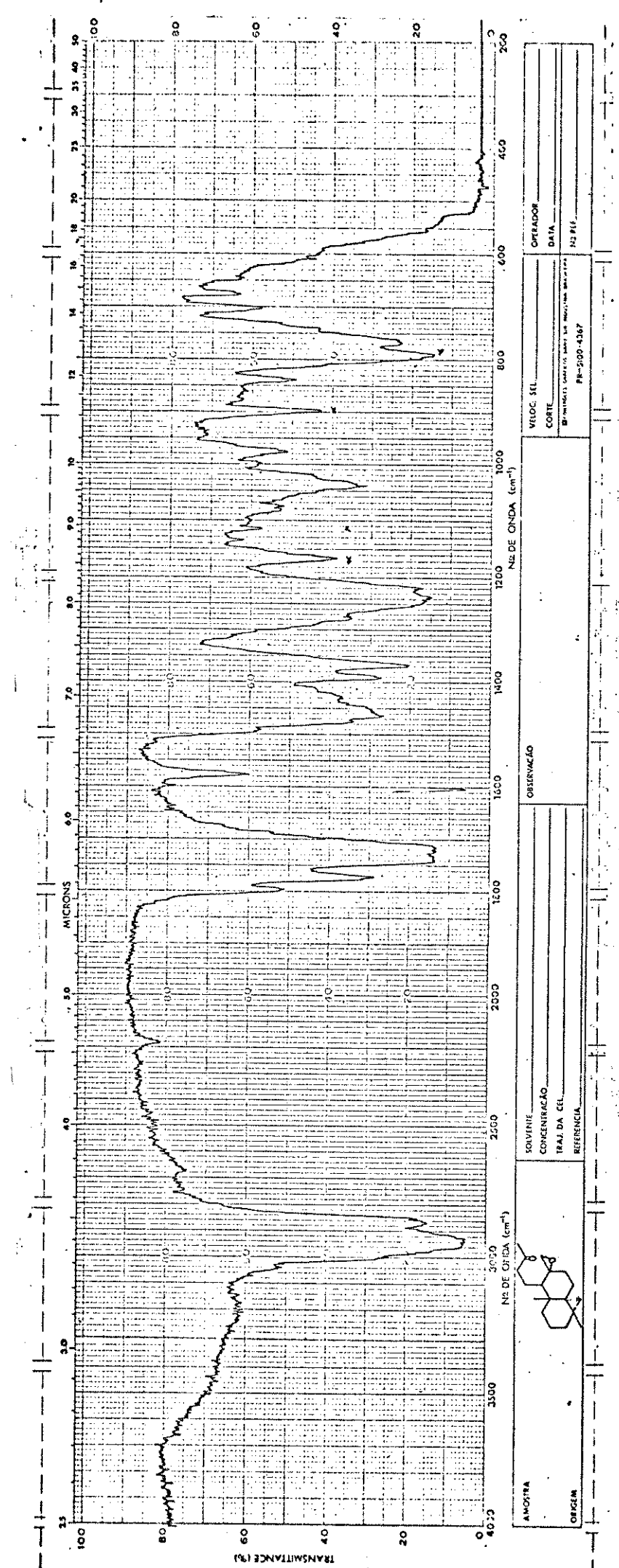
[E.1] - Espectro de IV do 14, (15)-dinorlabd-8(17)-en,13-ona 14

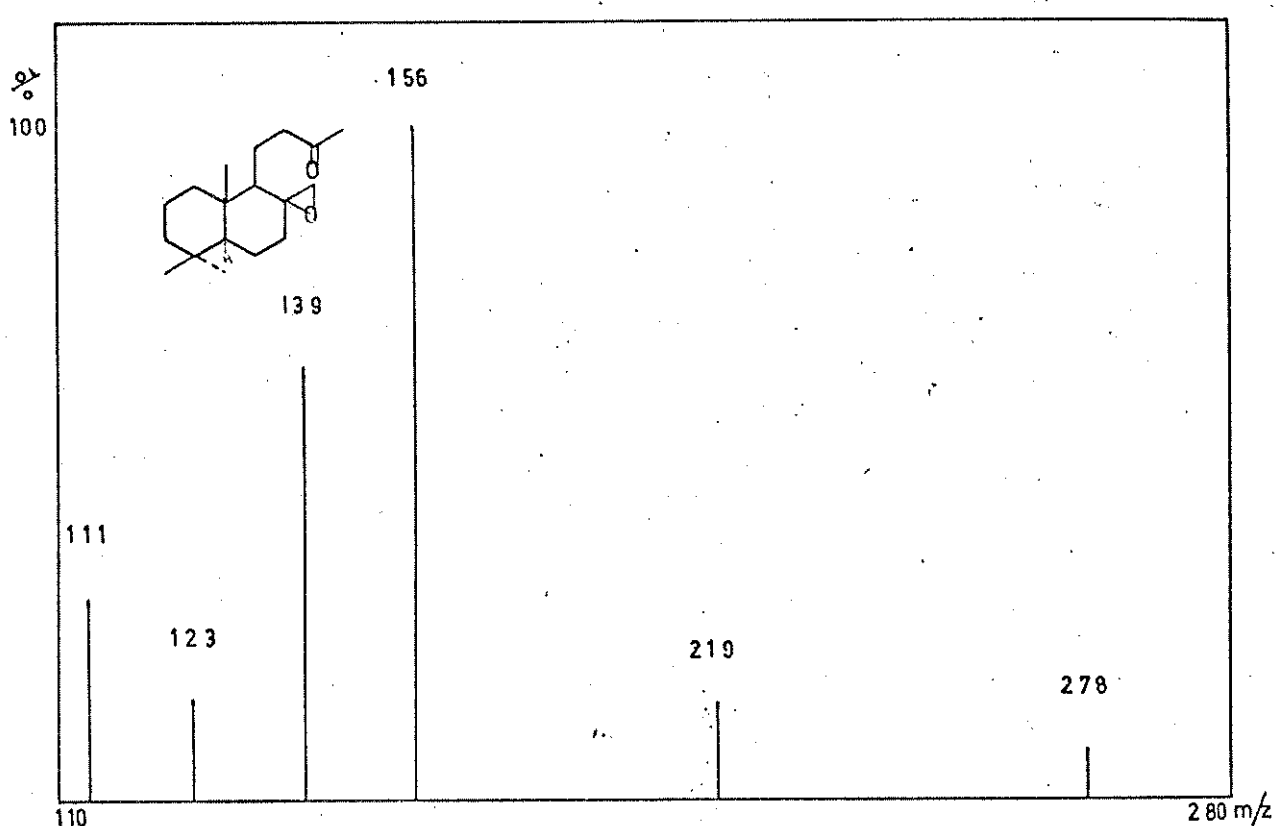


[E-2] - Espectro de RMN ^1H do 14-(15)-dinorlabd-8(17)-en-13-ona 14

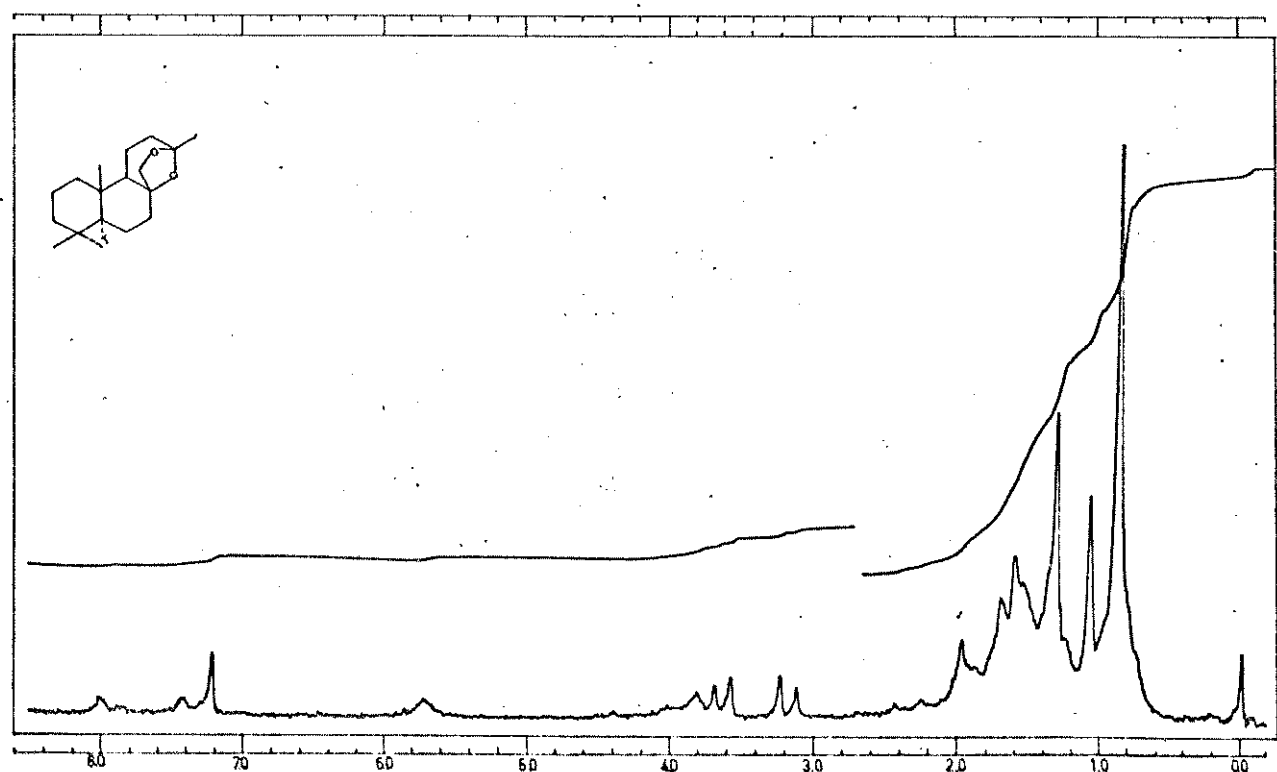


[E-4] - Espectro de RMN ^1H do 8(17)epoxi-14(15)-dinorlabd-13-ona 15

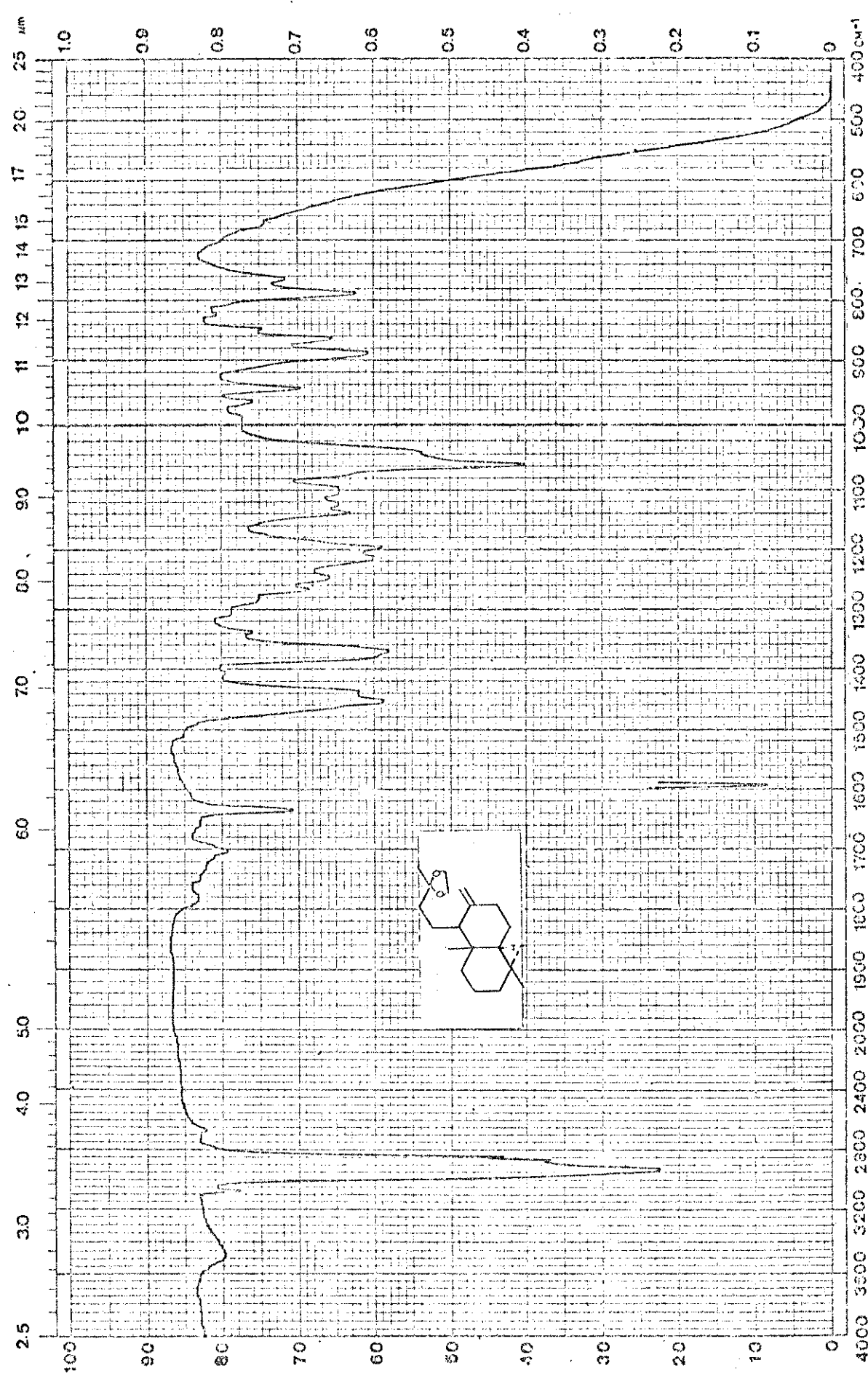




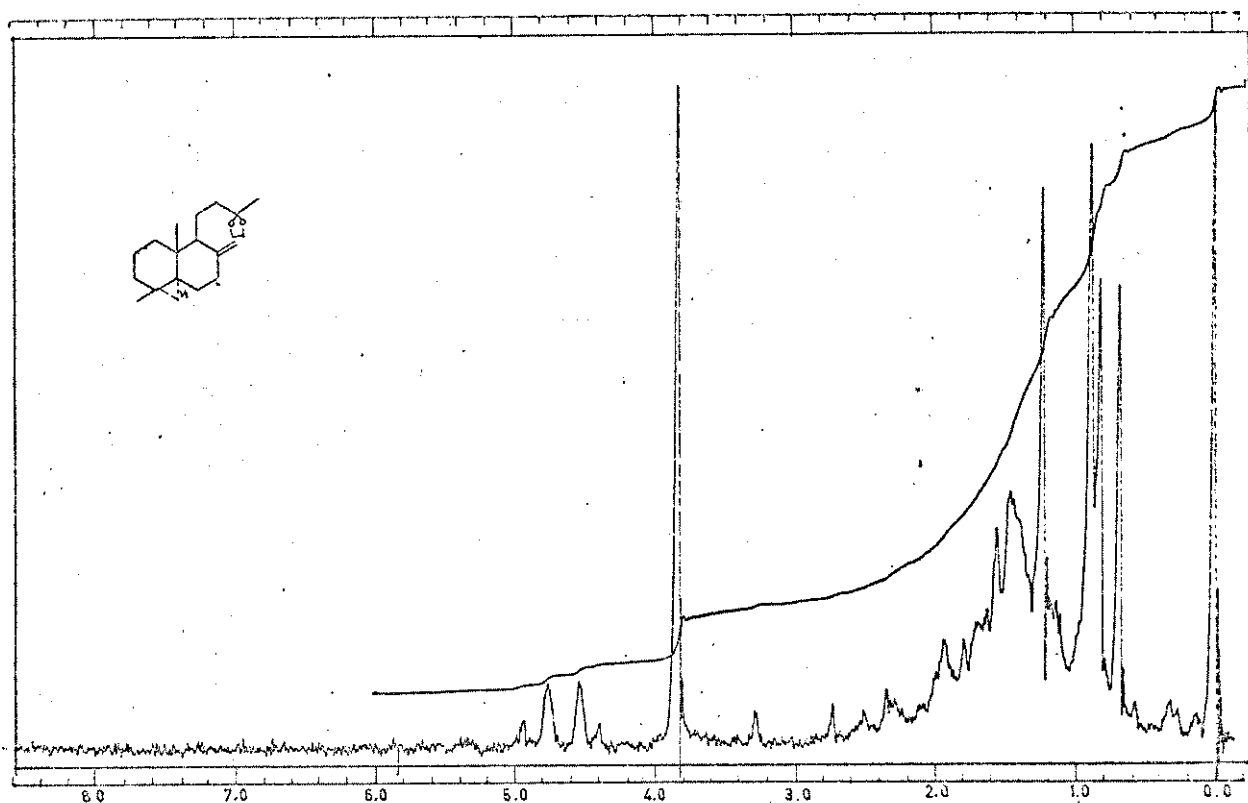
[E-5] - Espectro de massa do 8(17)-epoxi-14(15)-dinorlabd-13-ona 15



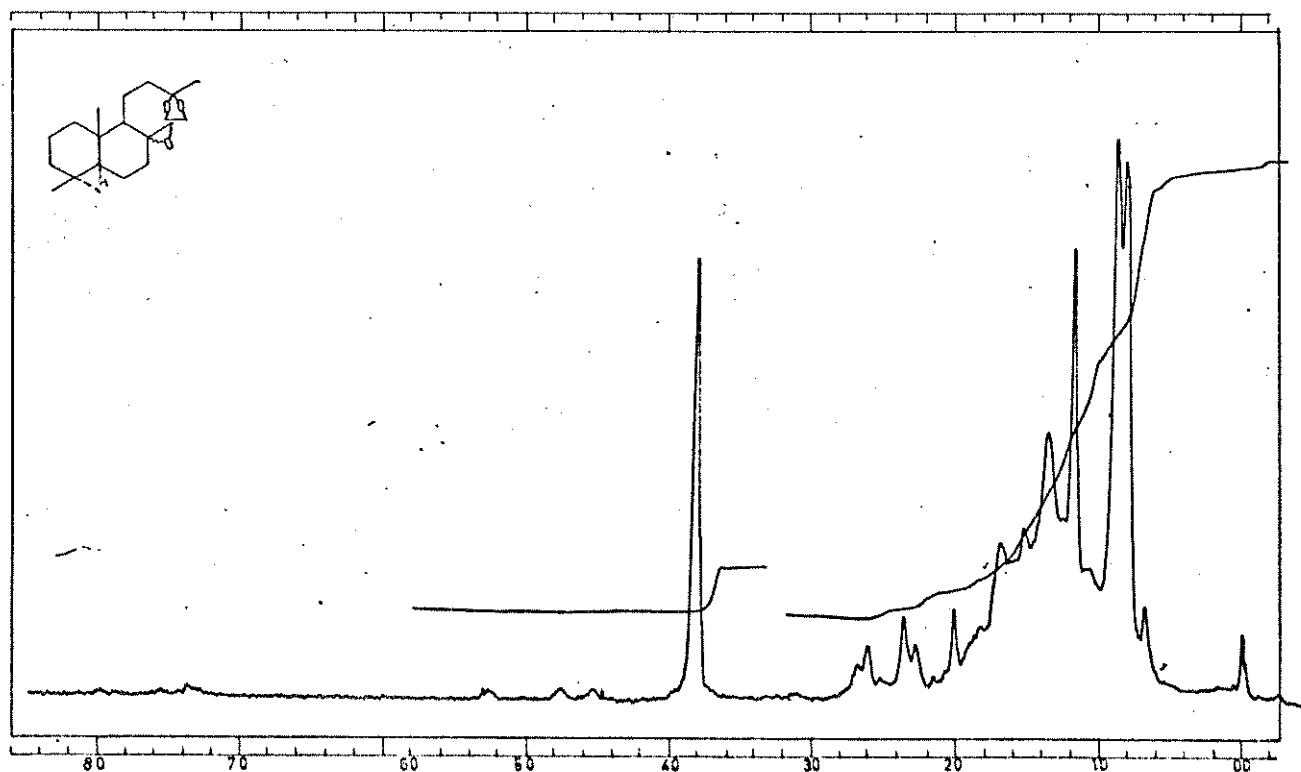
[E-7] - Espectro de RMN ^1H do cetal 23



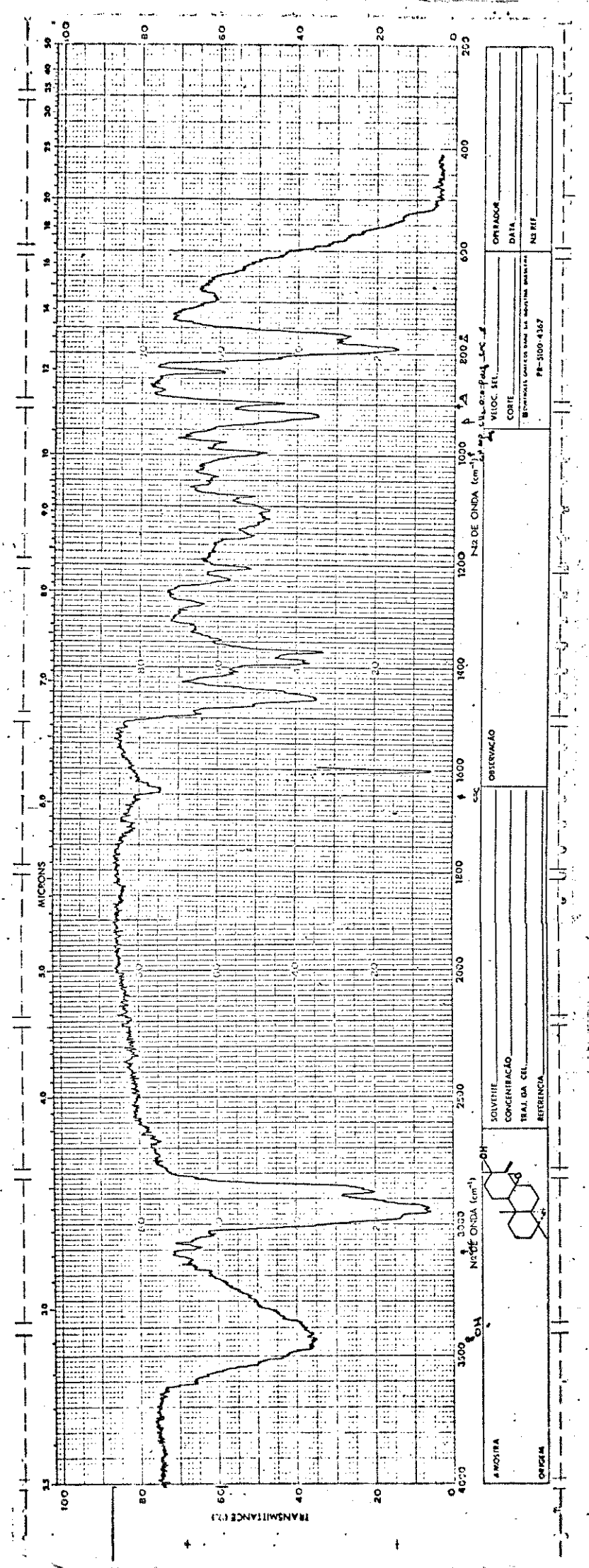
[E-8] - Espectro de IV do cetal 27



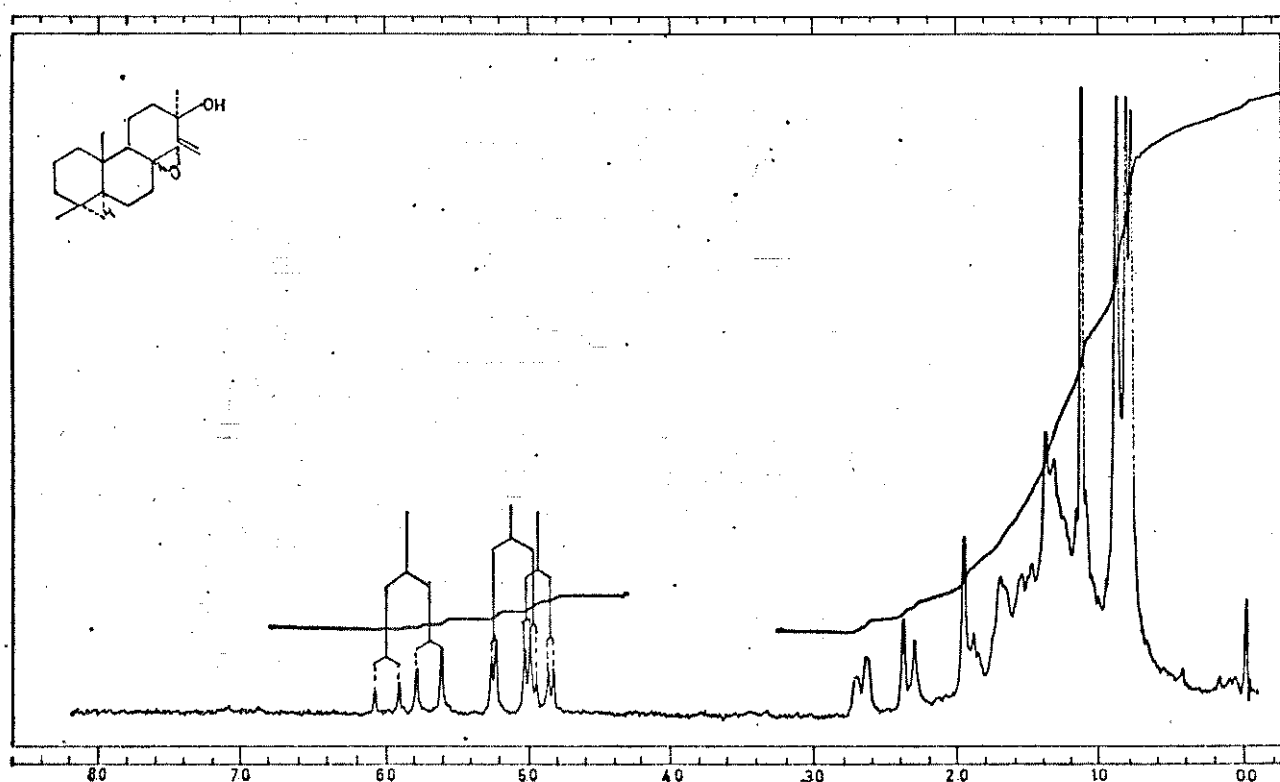
[E-9] - espectro de RMN ^1H do cetal 27



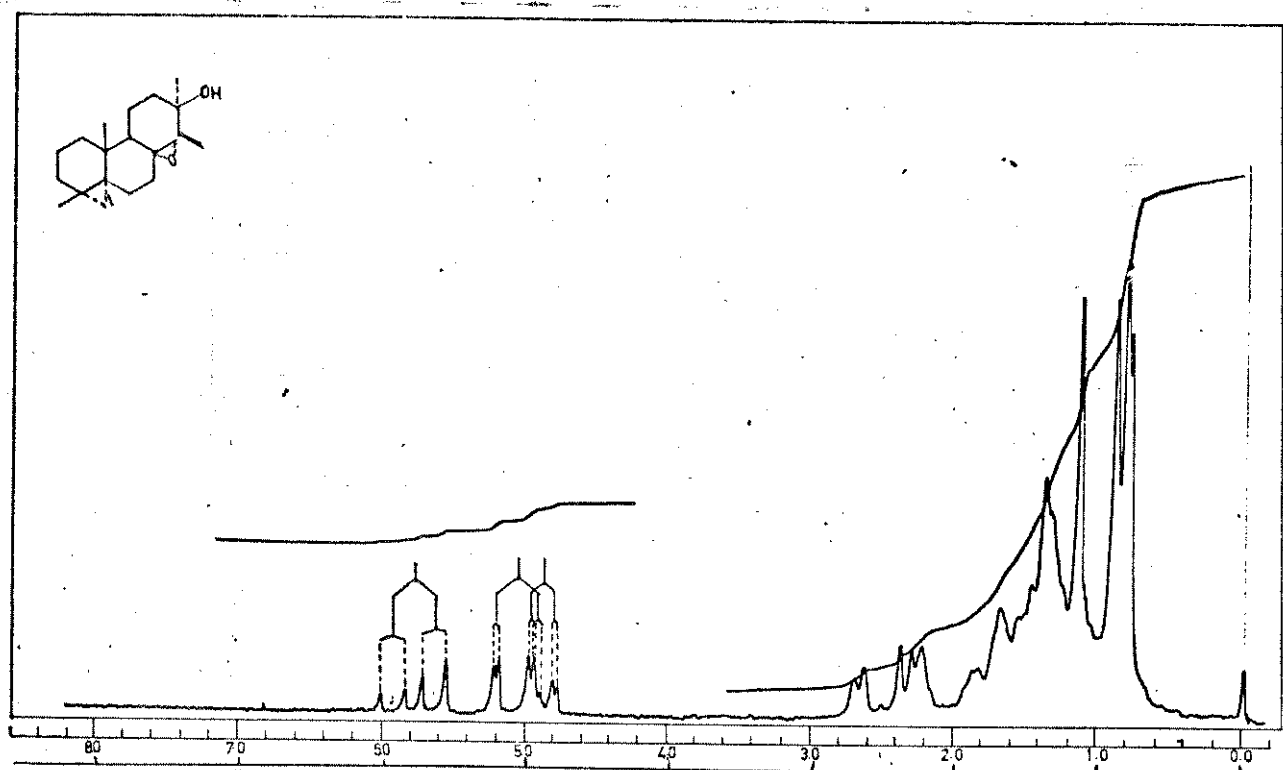
[E-10] - espectro de RMN ^1H do cetal 16



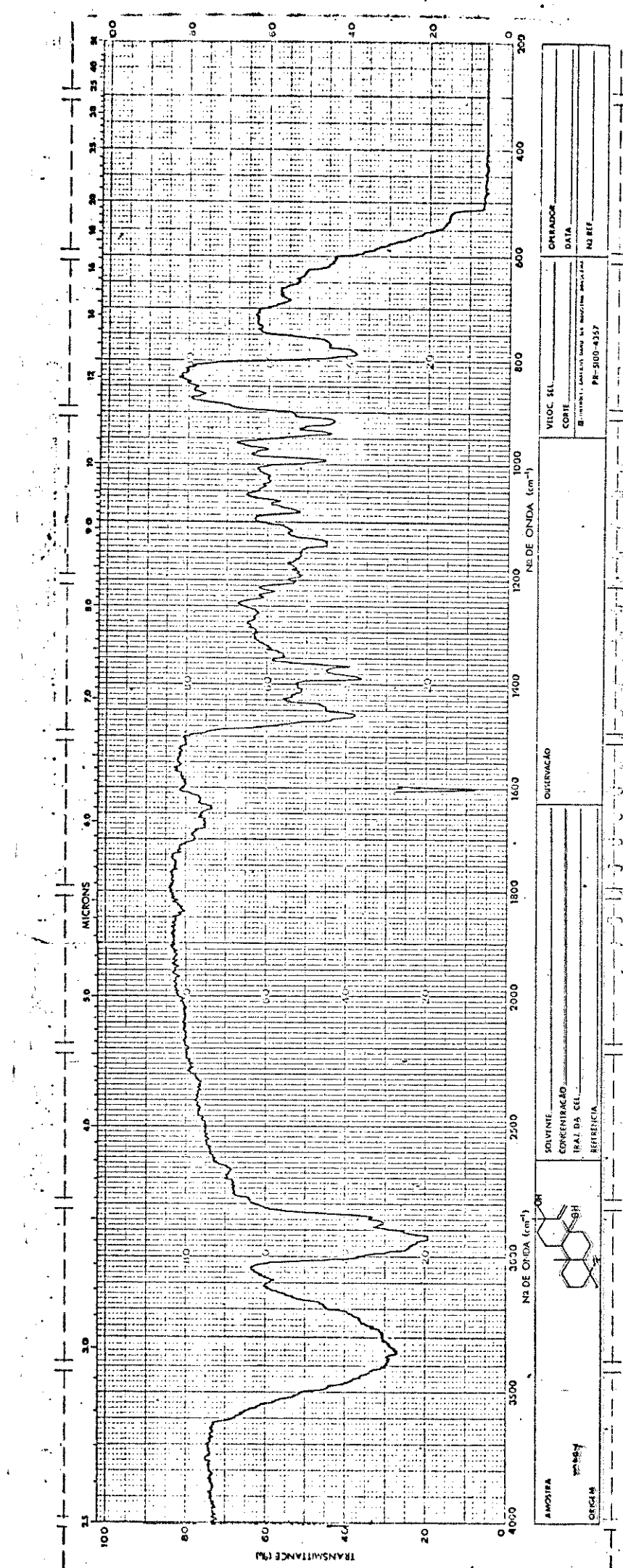
[E-11] - espectro de IV do 8(17)-epoxi-14-labden 29b.



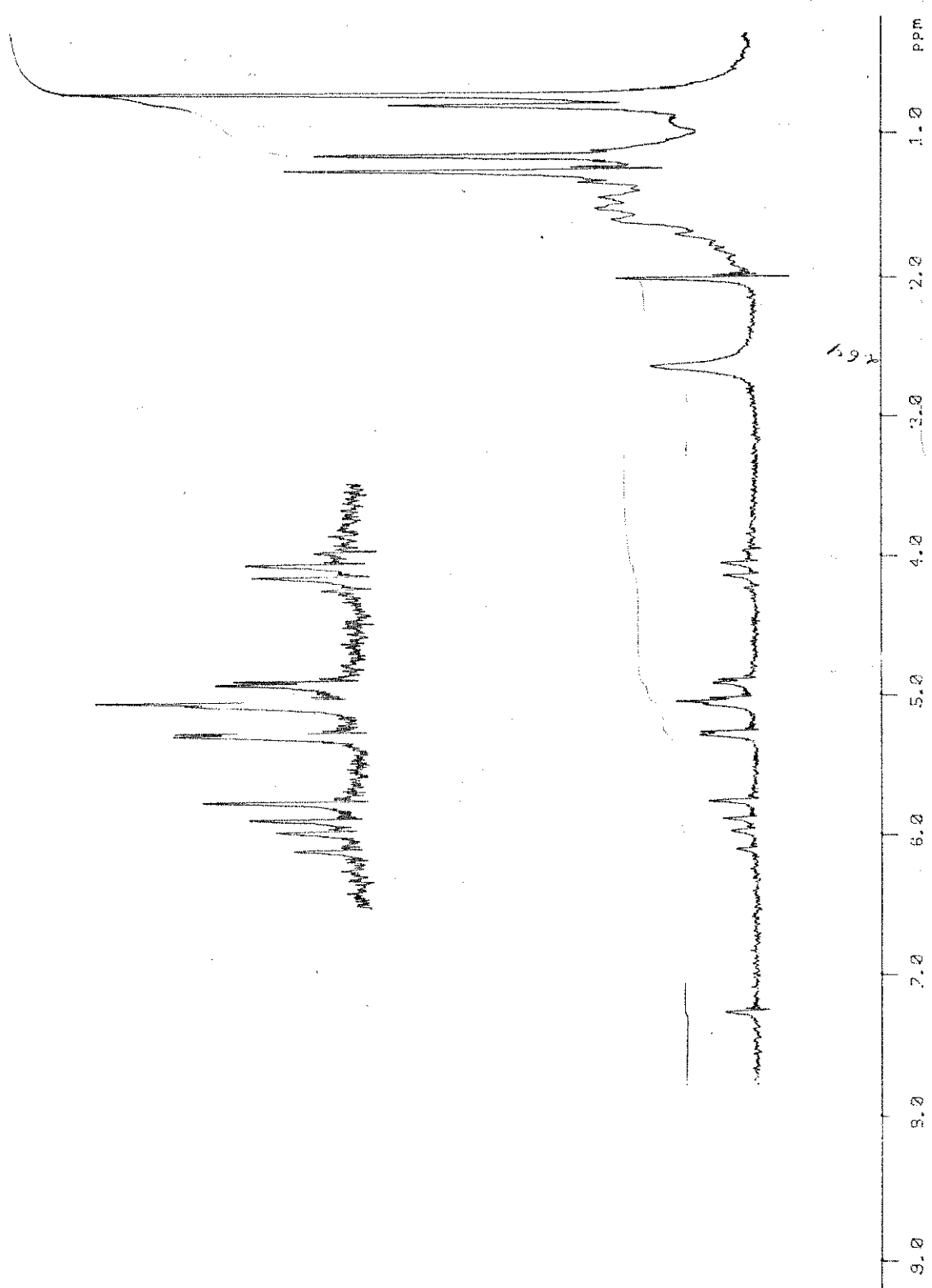
[E-13] - Espectro de RMN ^1H do 8(17)-epoxi-14-labden 29a



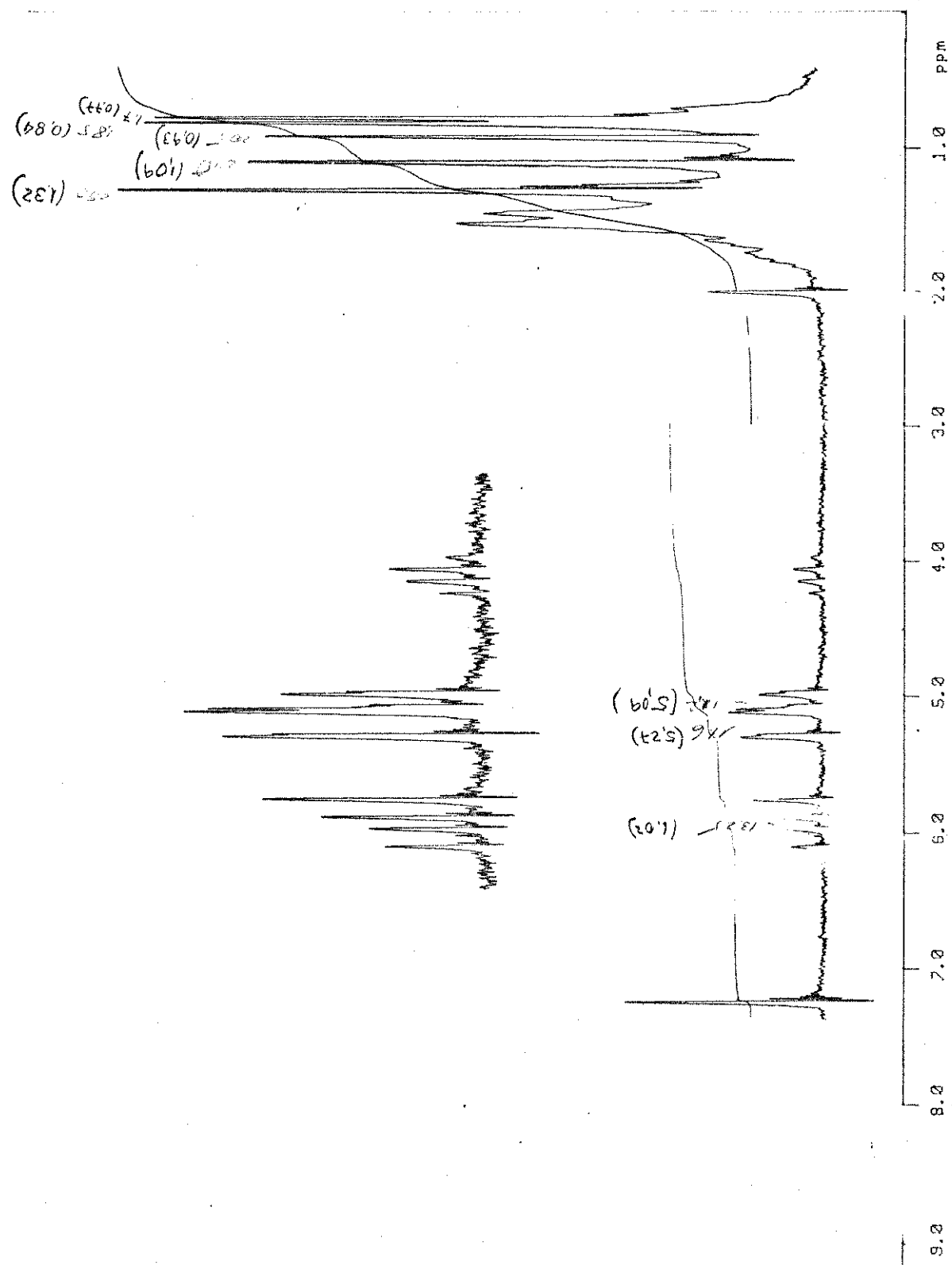
[E-12] - Espectro de RMN ^1H do 8(17)-epoxi-14-labden 29b

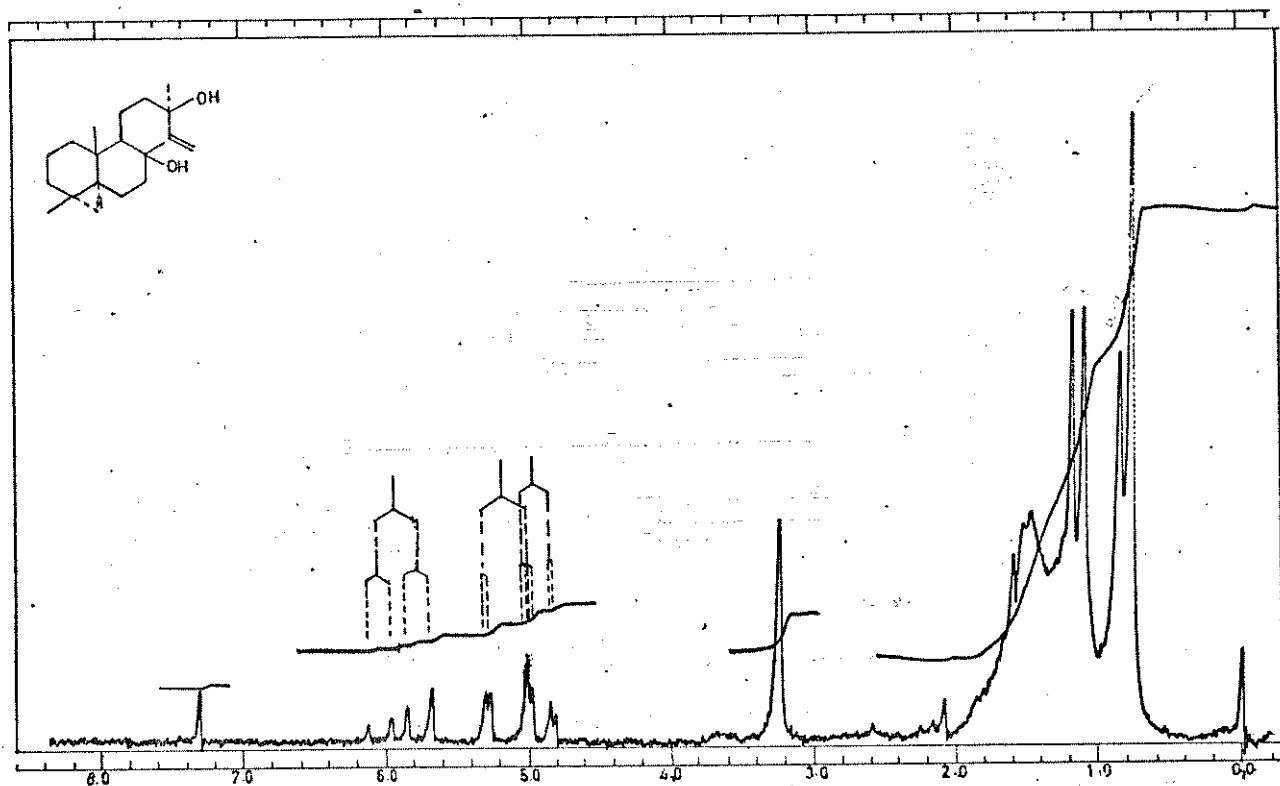


[E-14] - Espectro de IV do 14-labden-8,13-diol 30

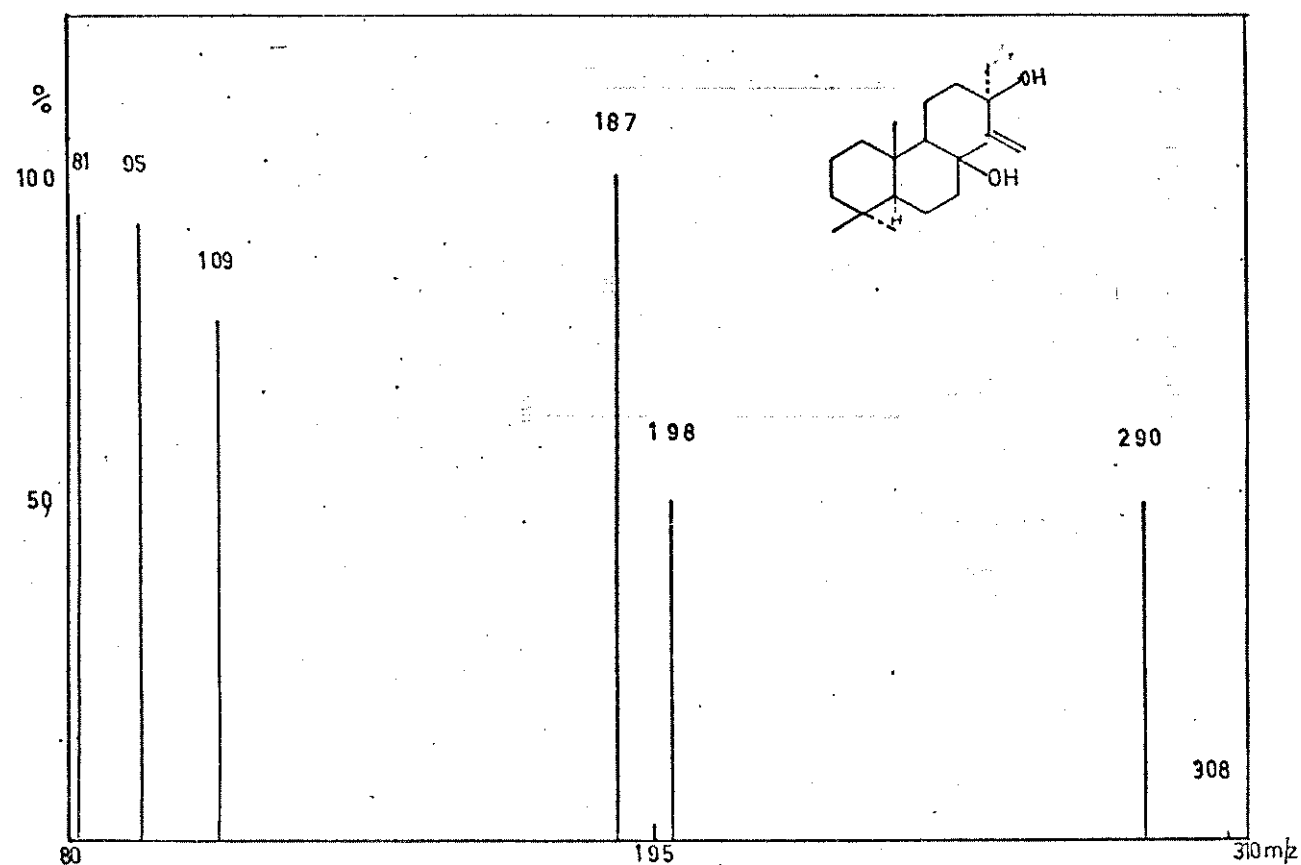


[E-15] - Espectro de RMN ^1H do composto 30a

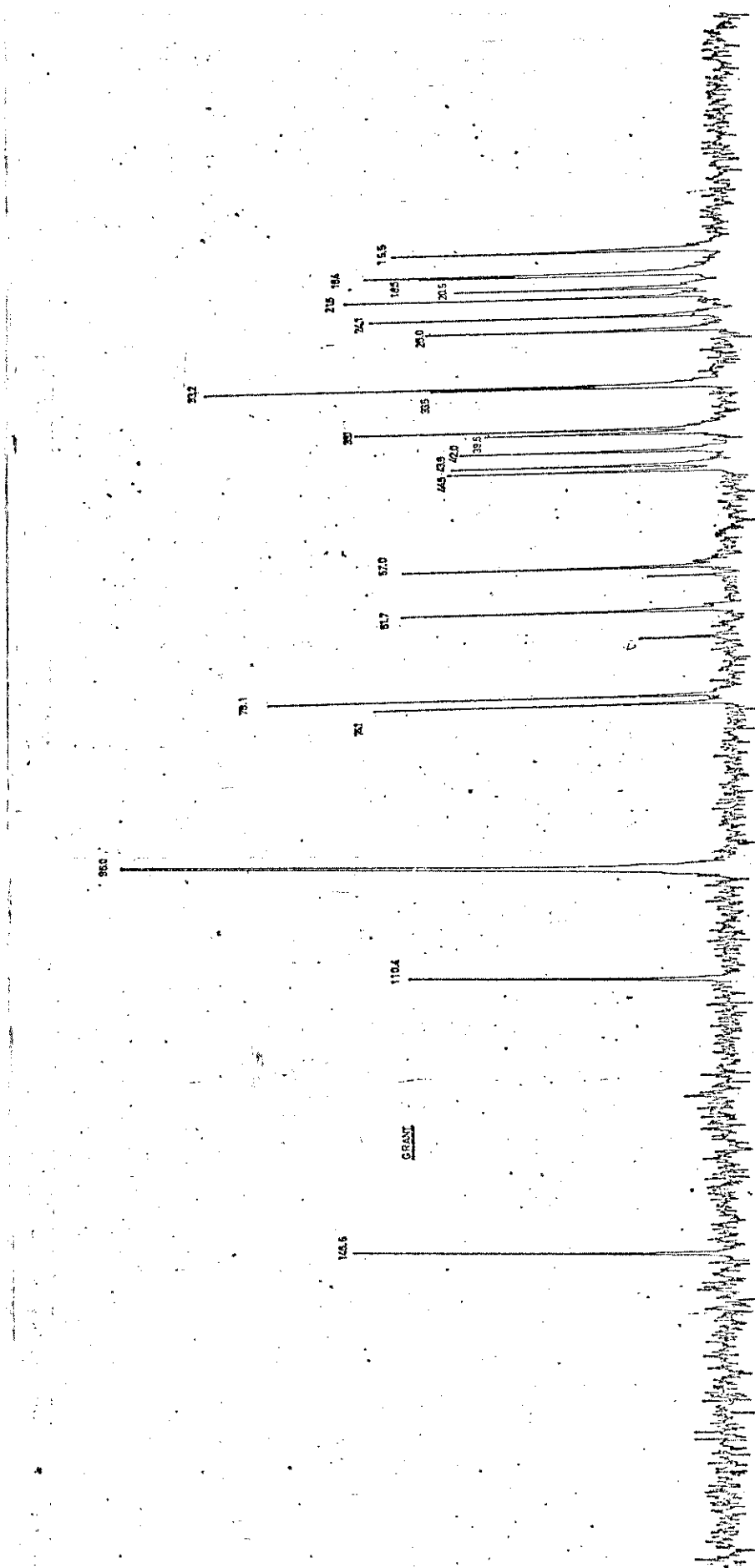




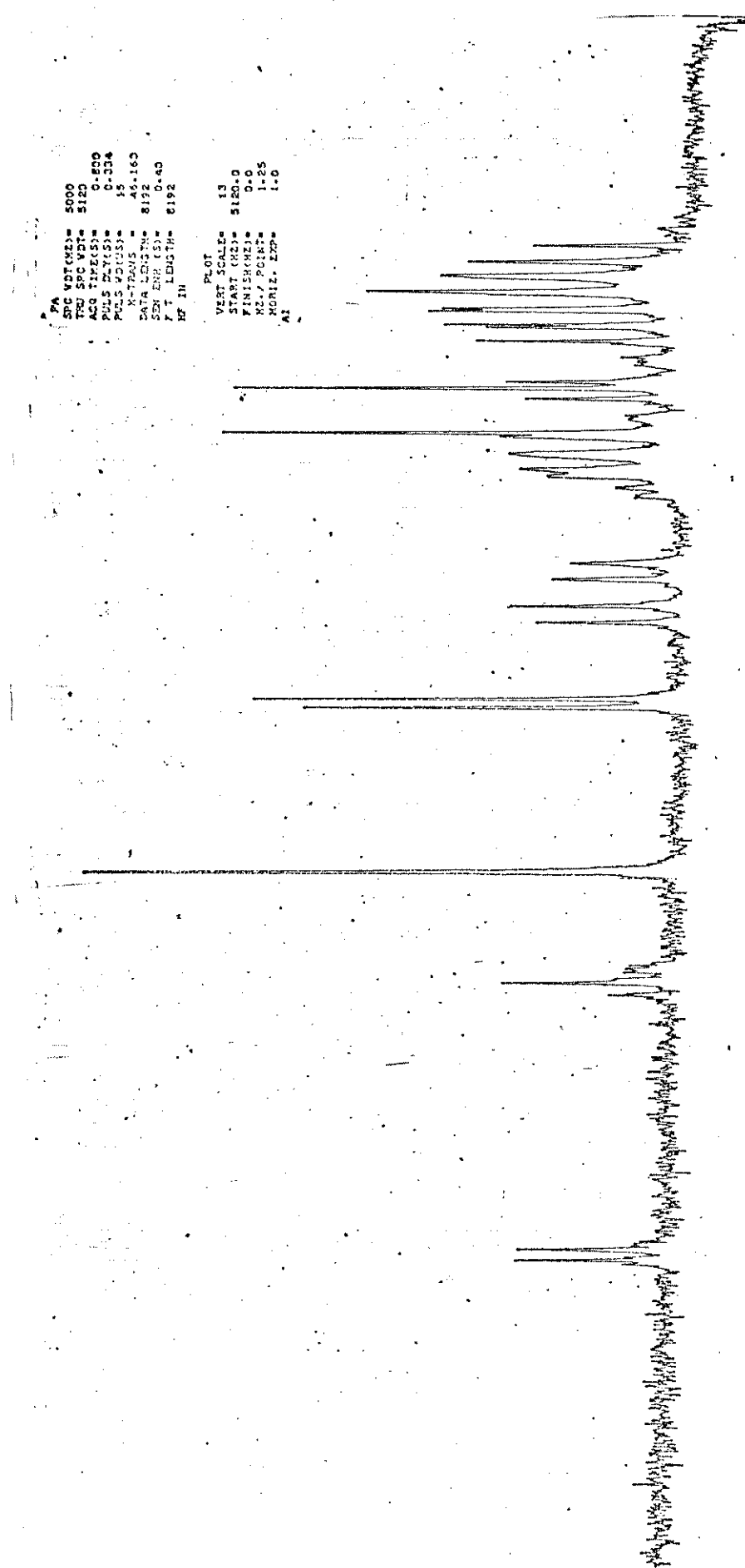
[E-15] - espectro de RMN ^1H do 14-labden-8,13-diol 30



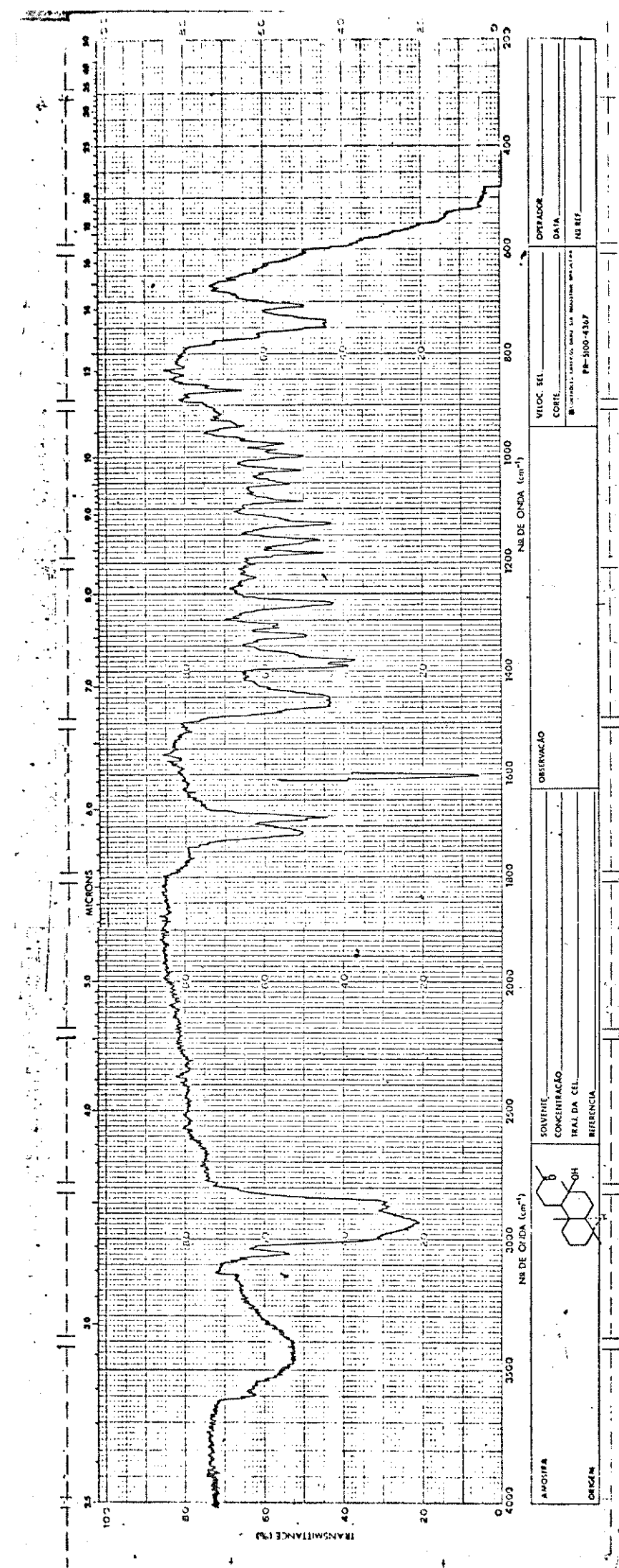
[E-16] - Espectro de massa do 14-labden-8,13-diol 30



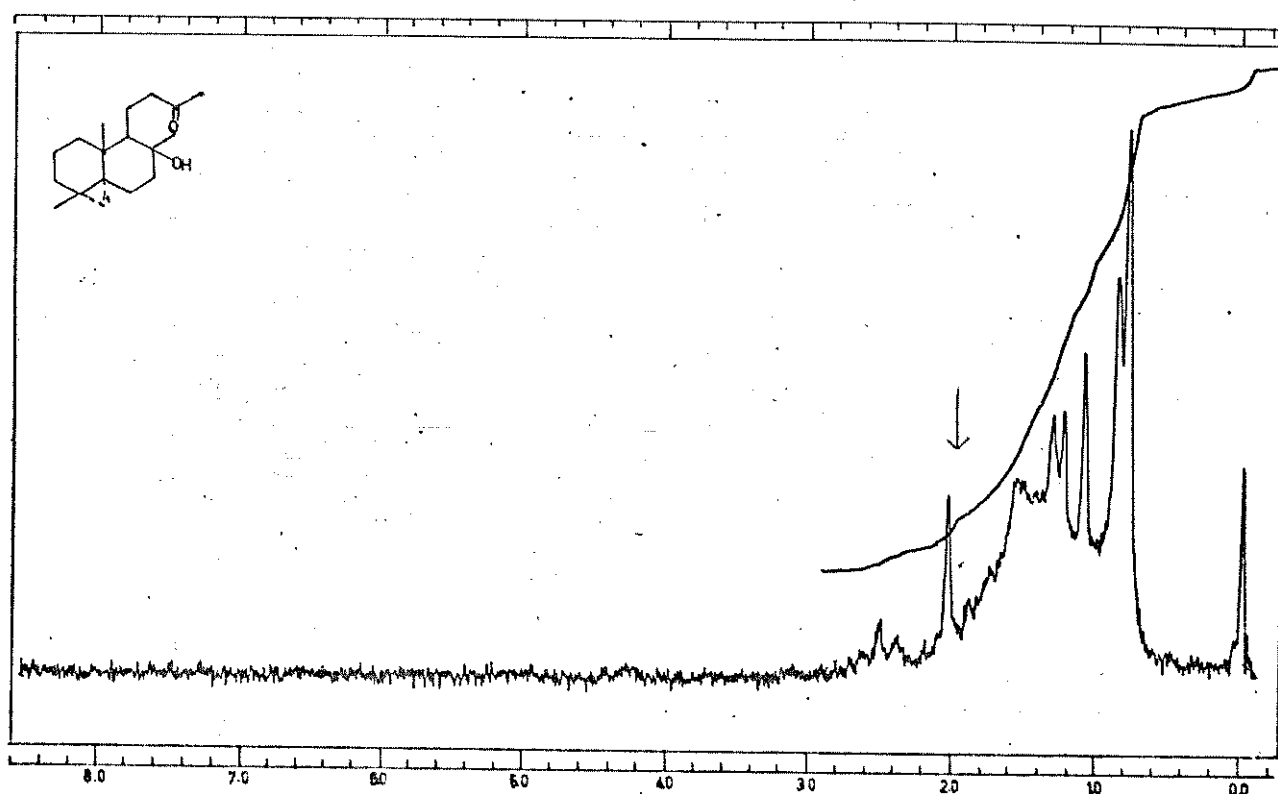
[E-17] -Espectro de RMN ^{13}C do T4-labden-8,13-diol 30a



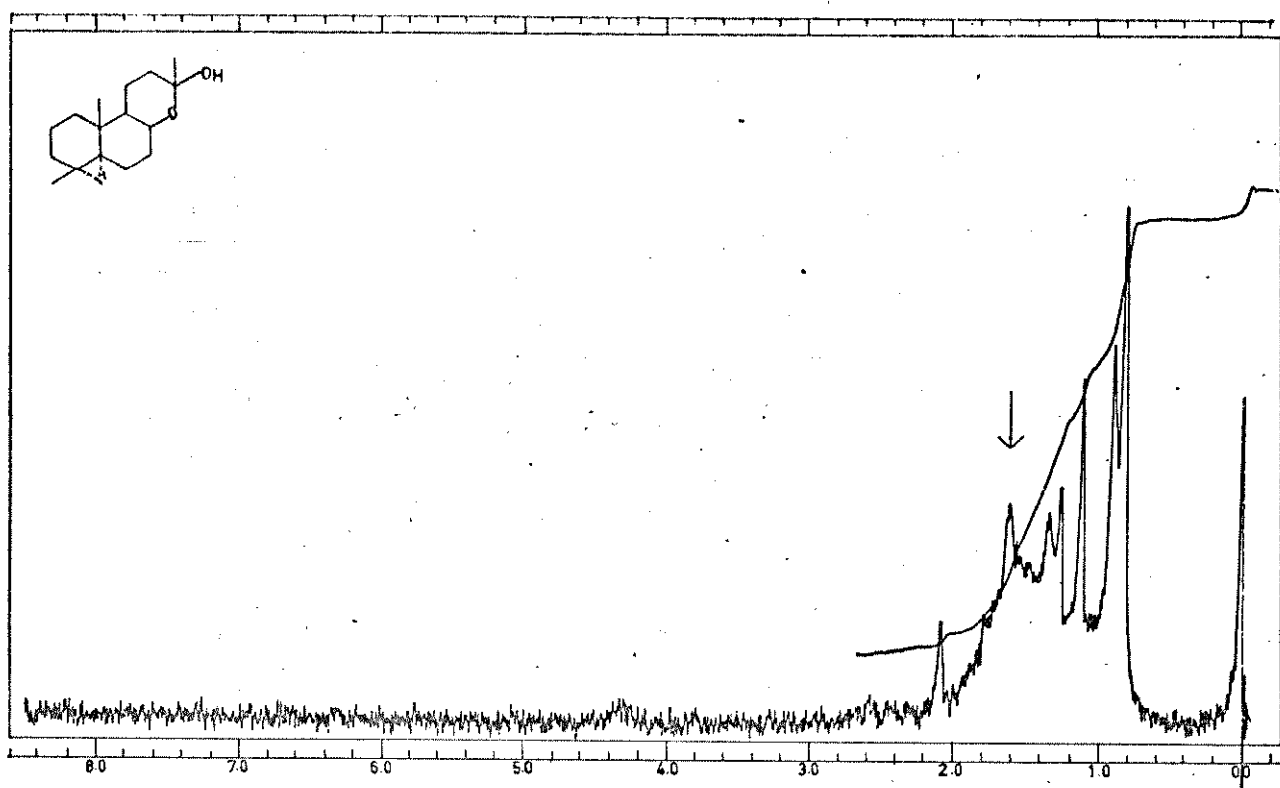
[E-17'] - Espectro de RMN¹³C do 14-labden-8,13-diol 30a



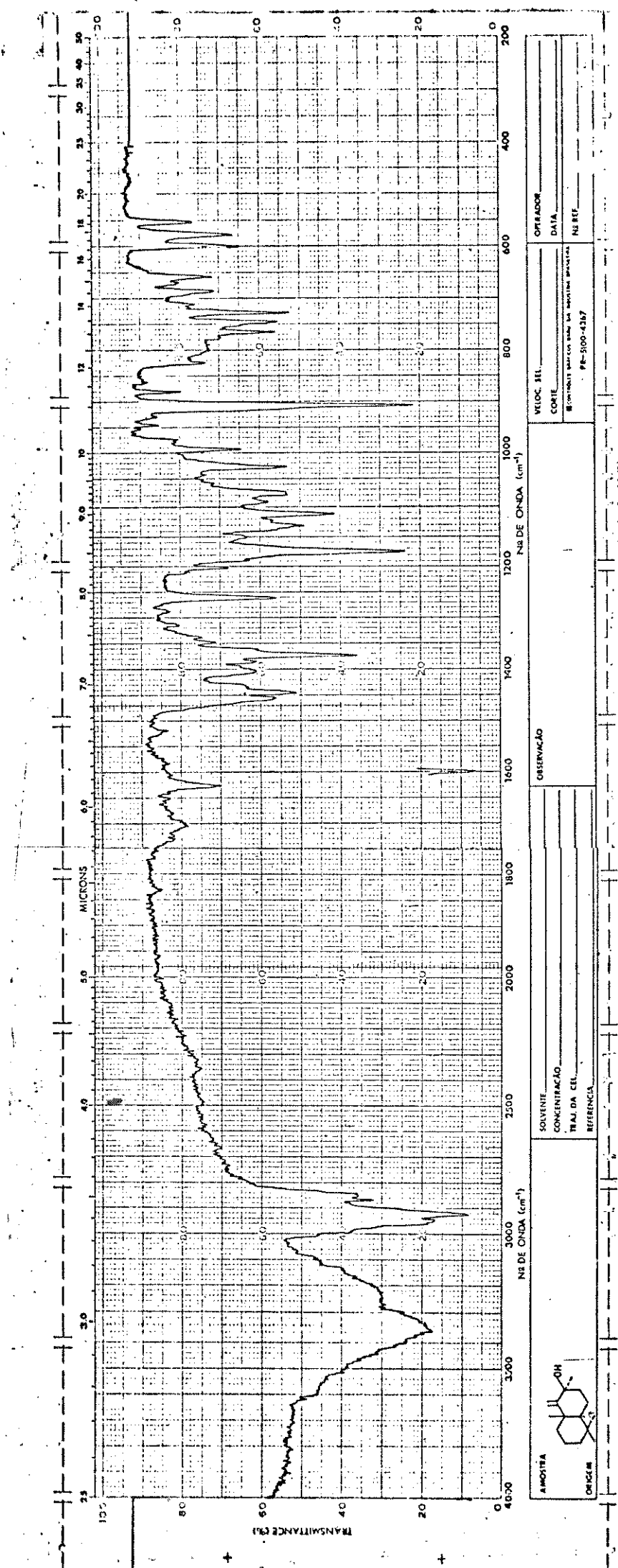
[E-18] - Espectro do IV(15)-dinorlabd-8-ol-13-ona 28



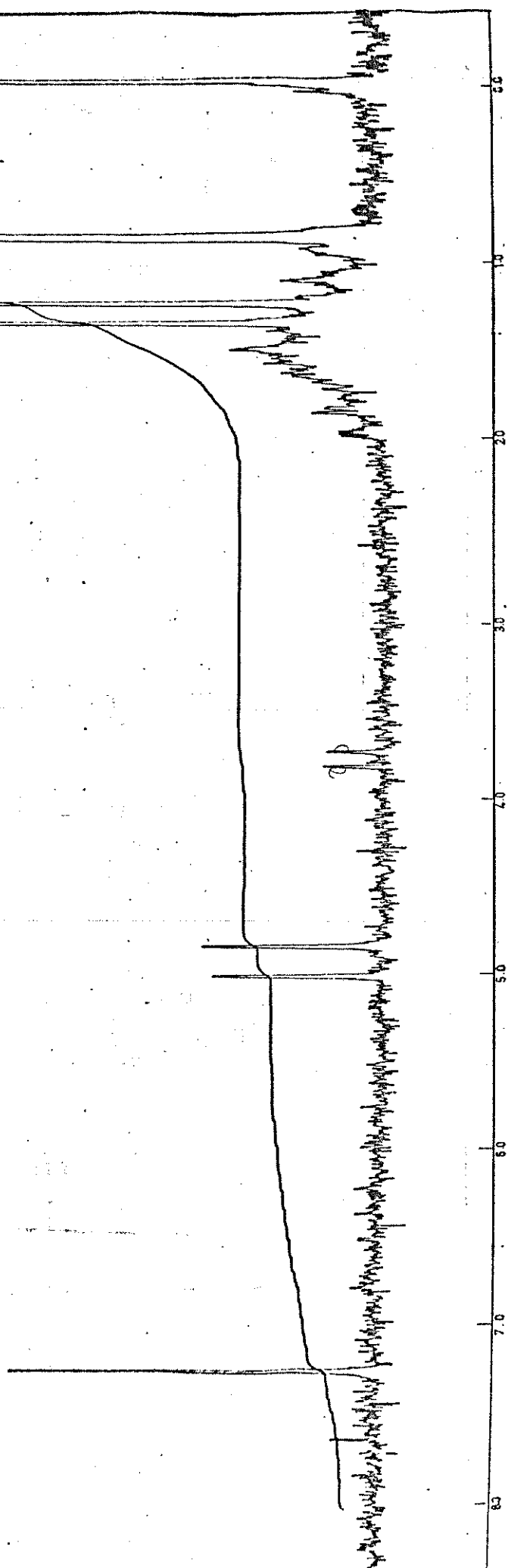
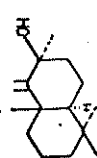
[E-19] - Espectro de RMN ^1H do 14(15)-dinorlabd-8-ol-13-ona 28



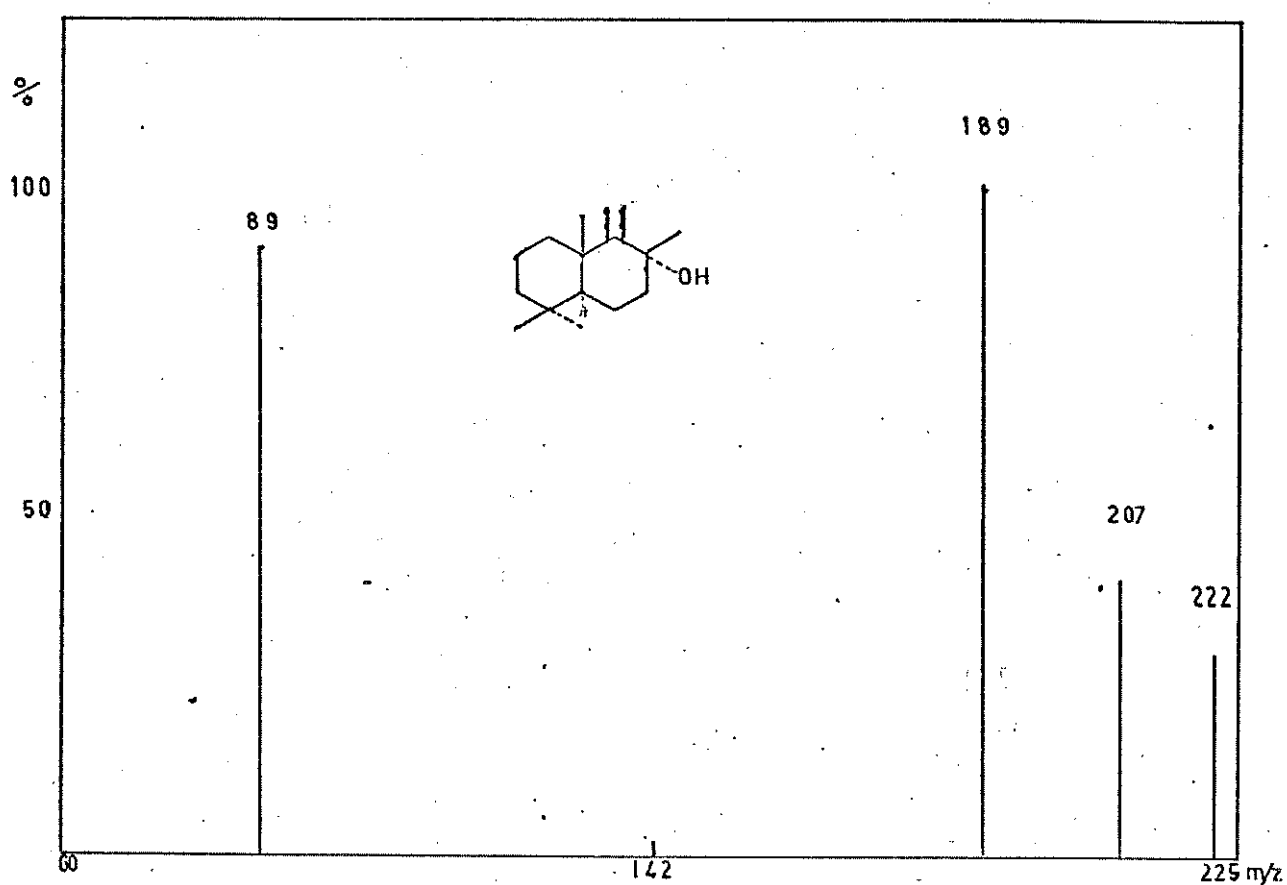
[E-20] - Espectro de RMN ^1H do cetal 31



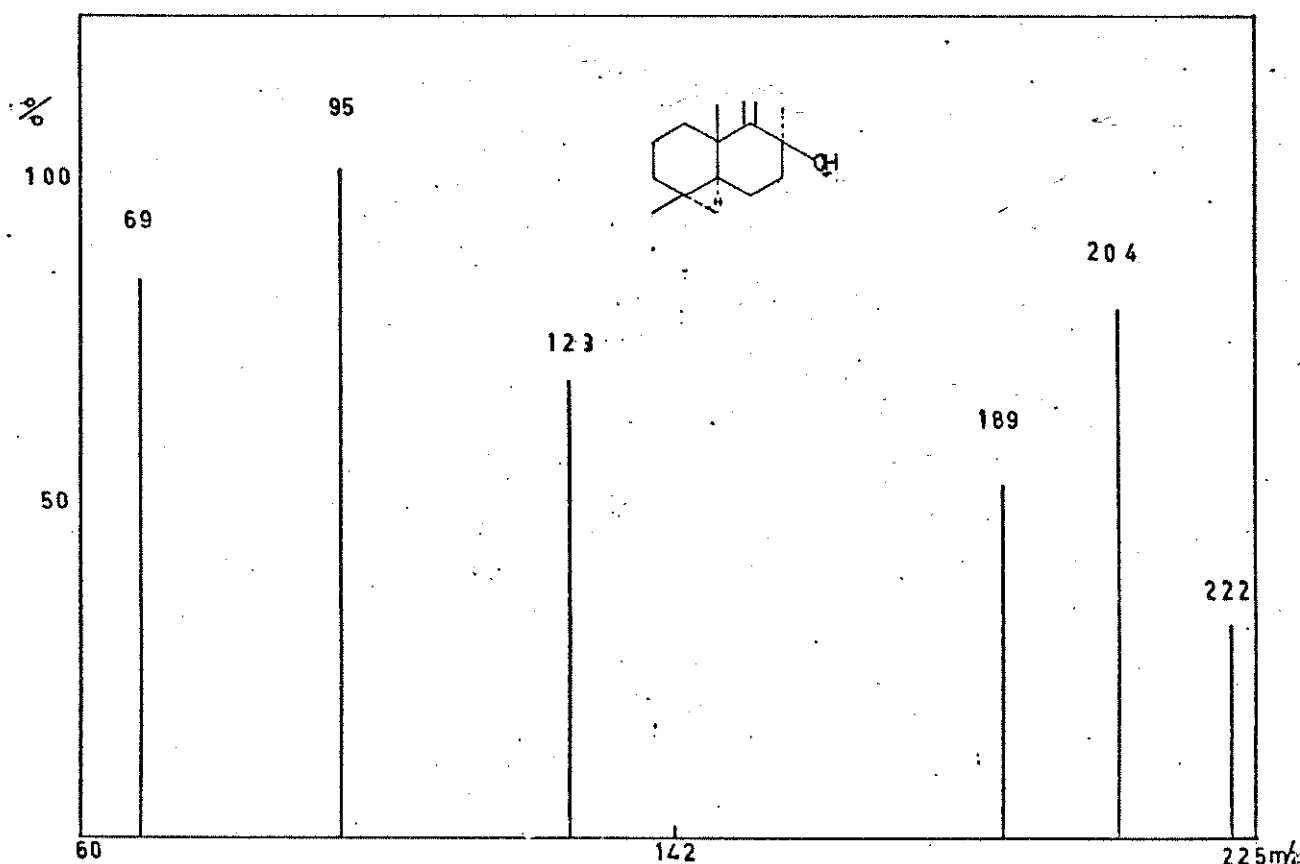
[E-21] — Espectro de IV (5S, 8S, 10S)-9(11)-dimen-8-ol 2



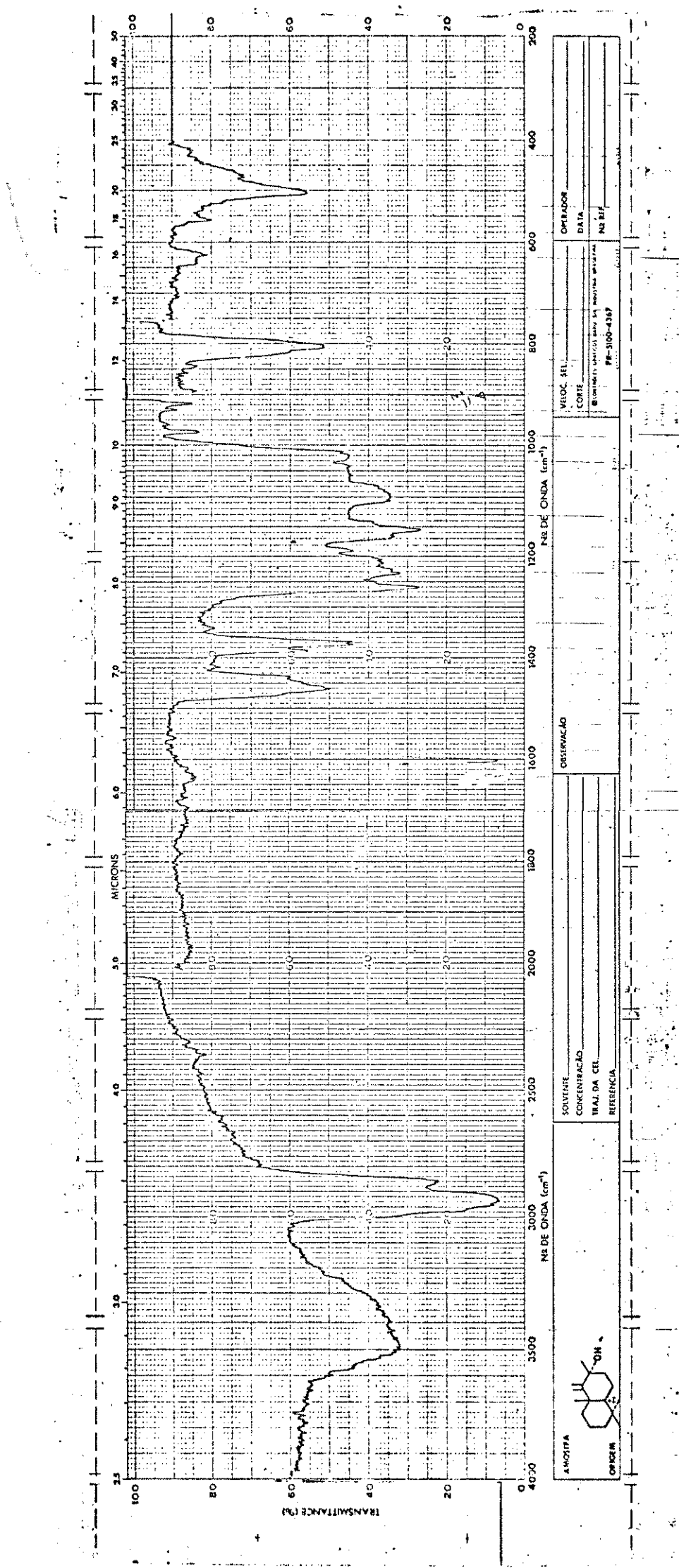
[E-22] - Espectro de RMN ^1H do (5S, 8S, 10S) - 9(11)-drimen-8-ol 2

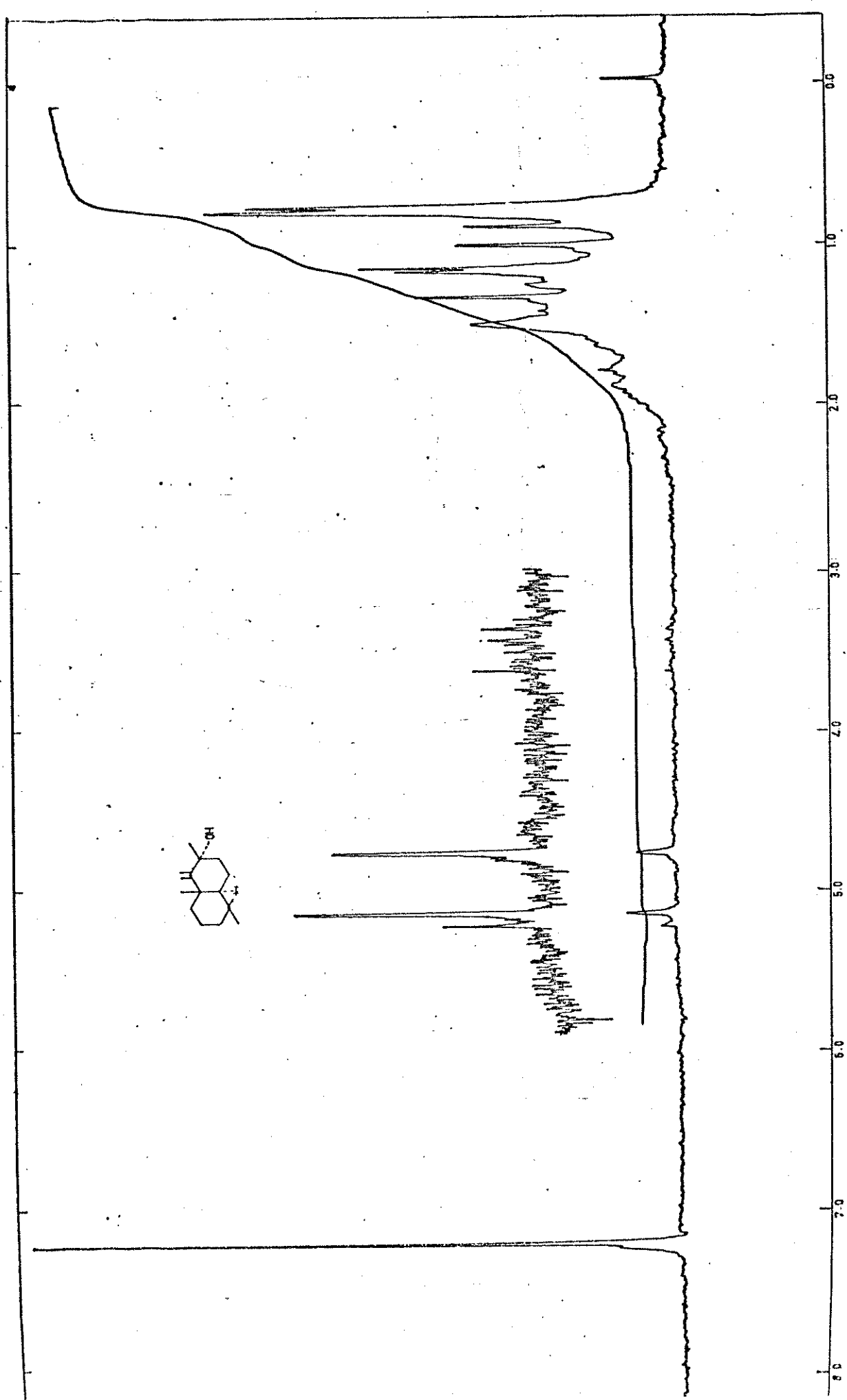


[E-23] - Espectro de massa do (5S, 8S, 10S)-9(11)-drimen-8-ol 2

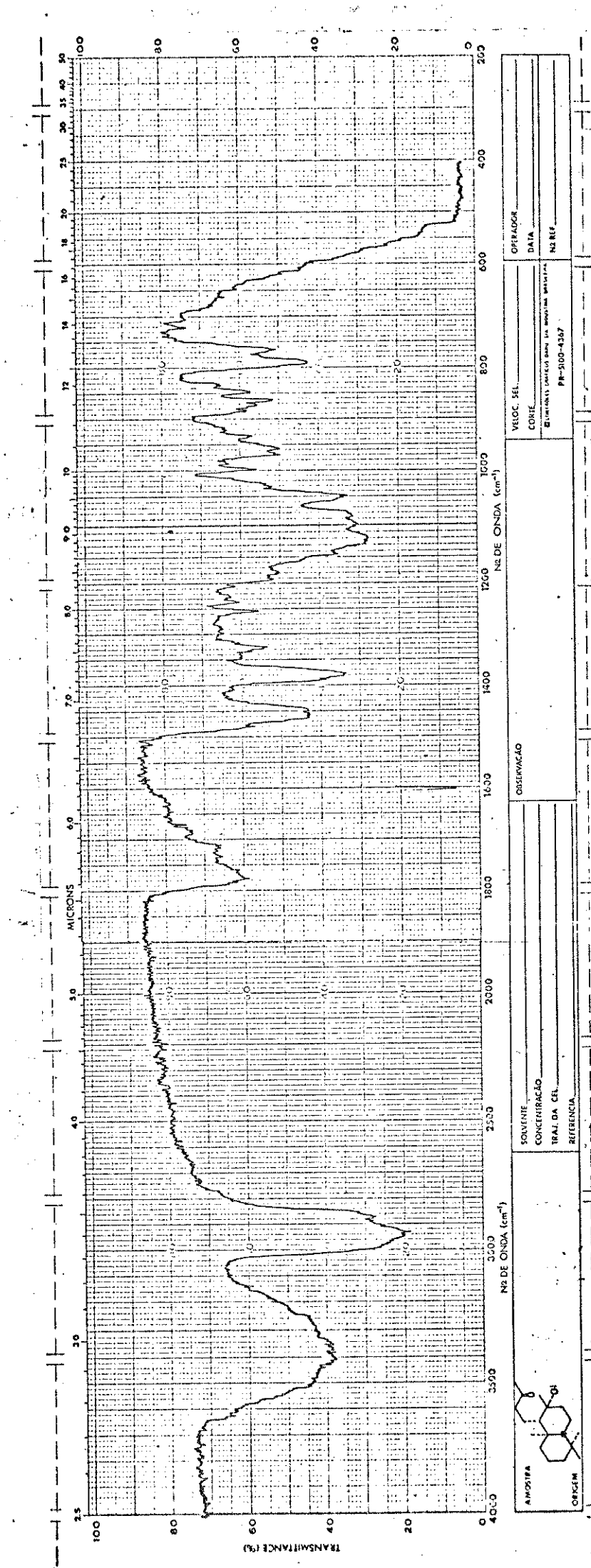


[E-26] - Espectro de massa do (5S, 8R, 10S)-9(11)-drimen-8-ol 1

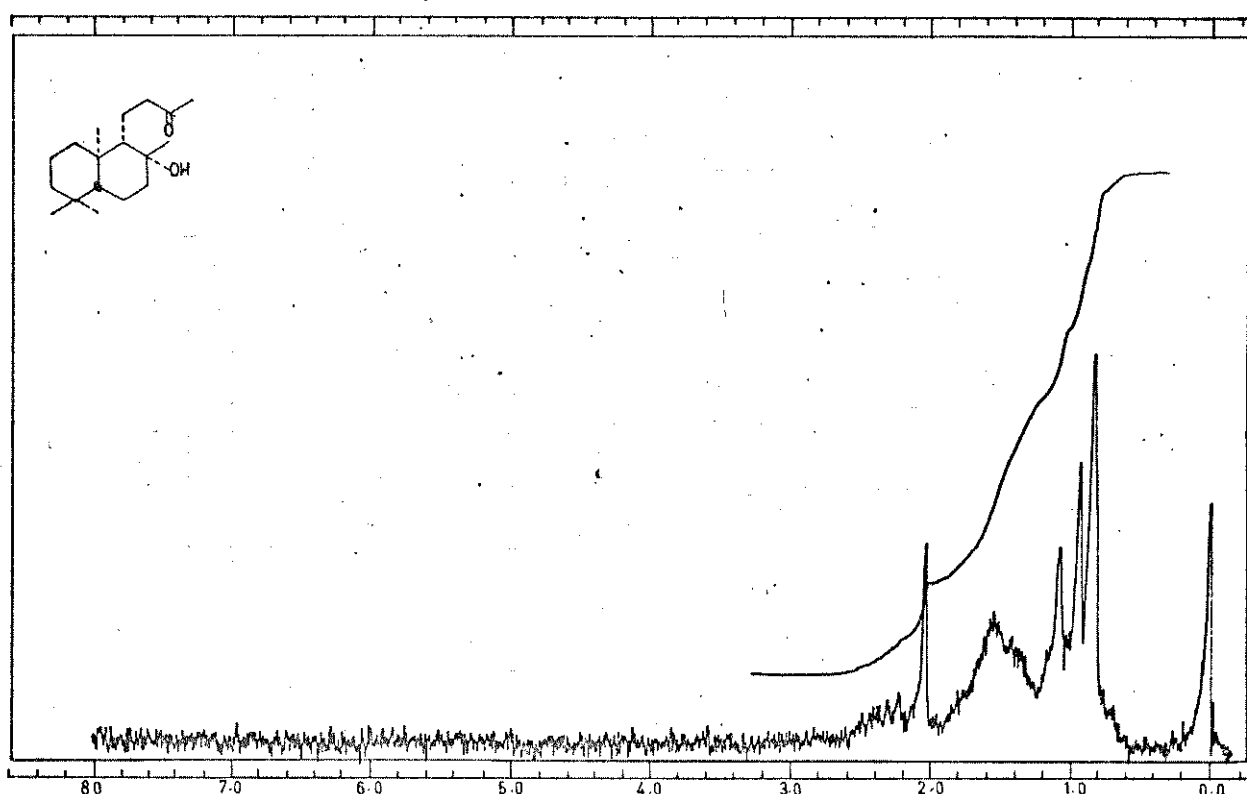




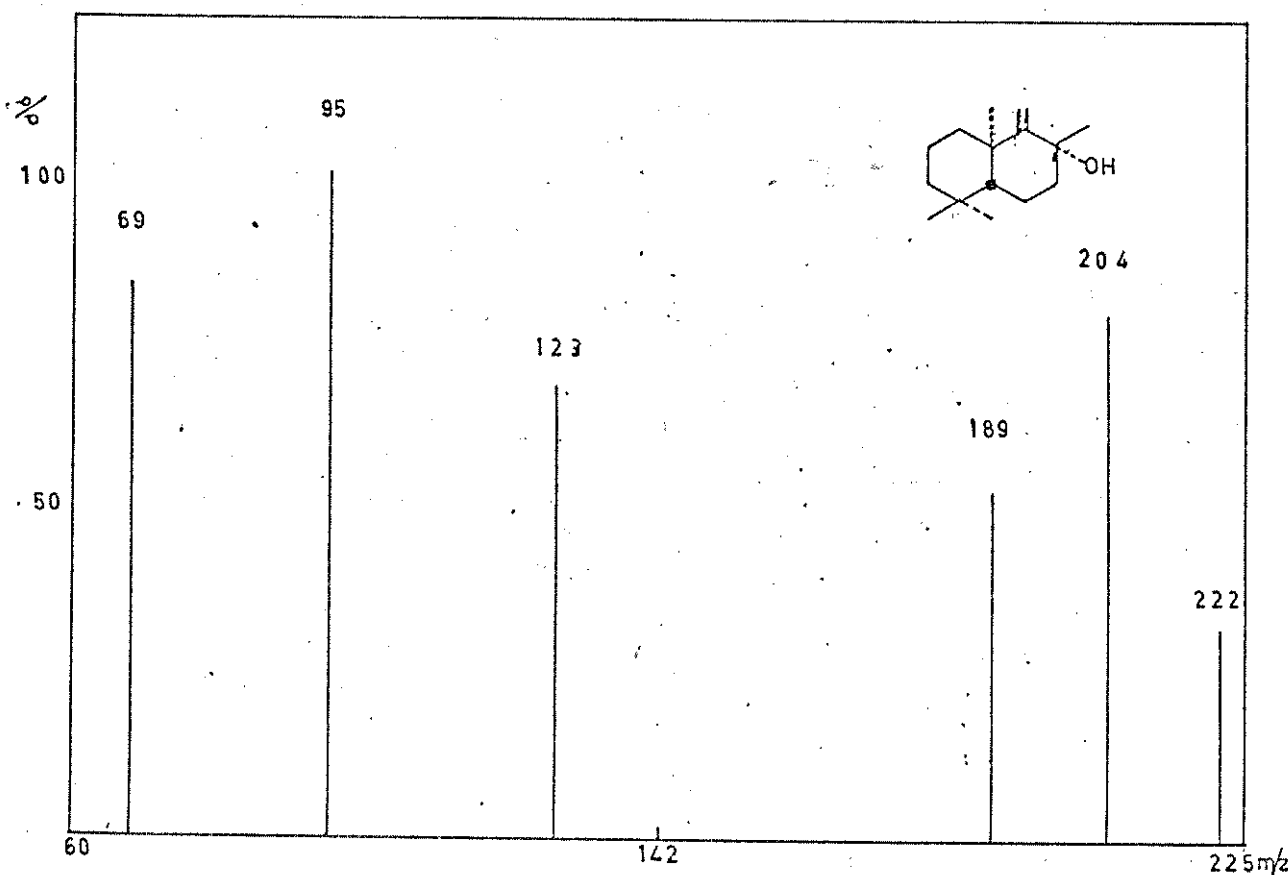
[E-25] - Espectro de RMN ${}^1\text{H}$ do (5S, 8R, 10S)-9(11)-drimen-8-ol 1



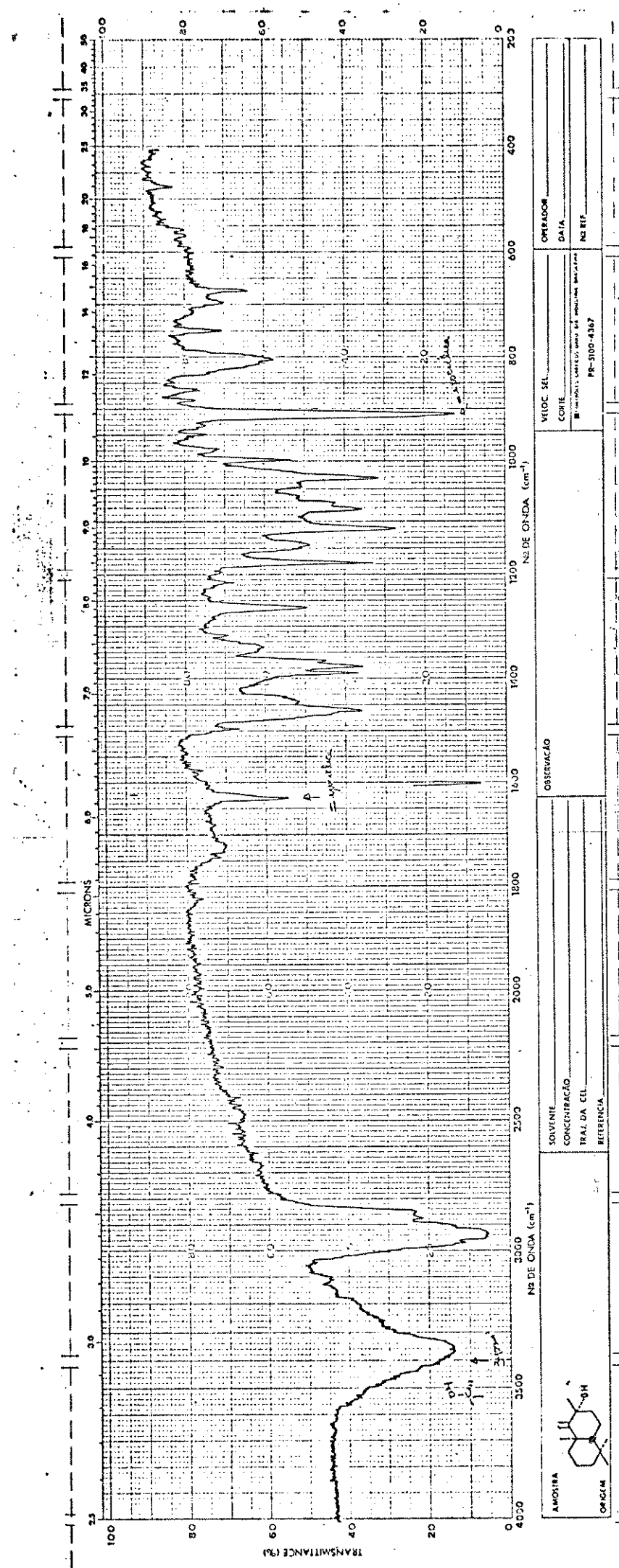
[E-27] - Espectro IV do ent-14(15)-dinorlabd-8-ol-13-ona 35



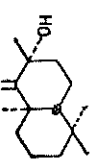
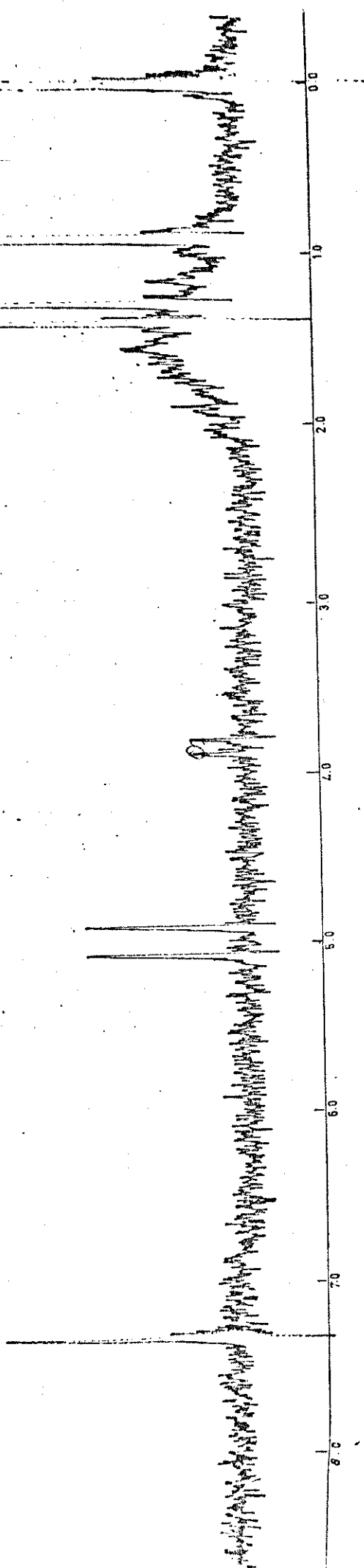
[E-28] - Espectro de RMN ^1H do ent-14(15)-dinorlabd-8-ol-13-ona 35



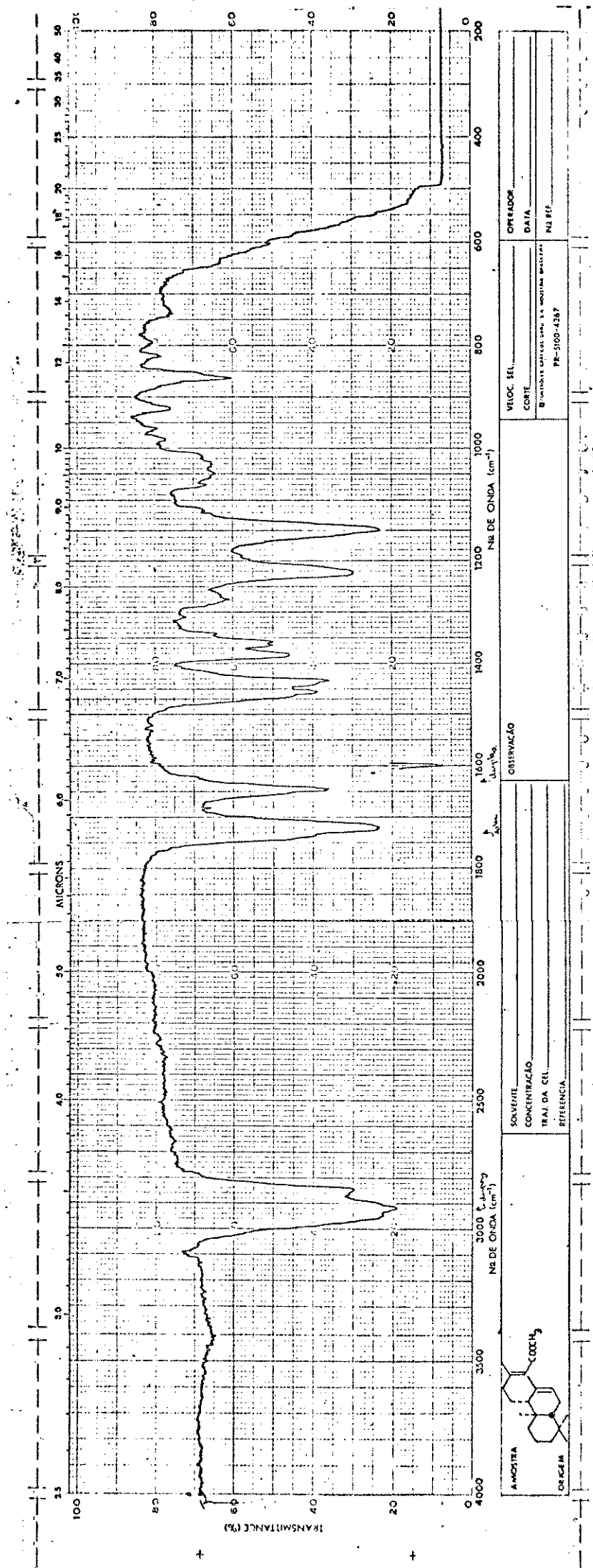
[E-31] - Espectro de massa do (5R, 8R, 10R)-9(11)-drimen-8-ol 33



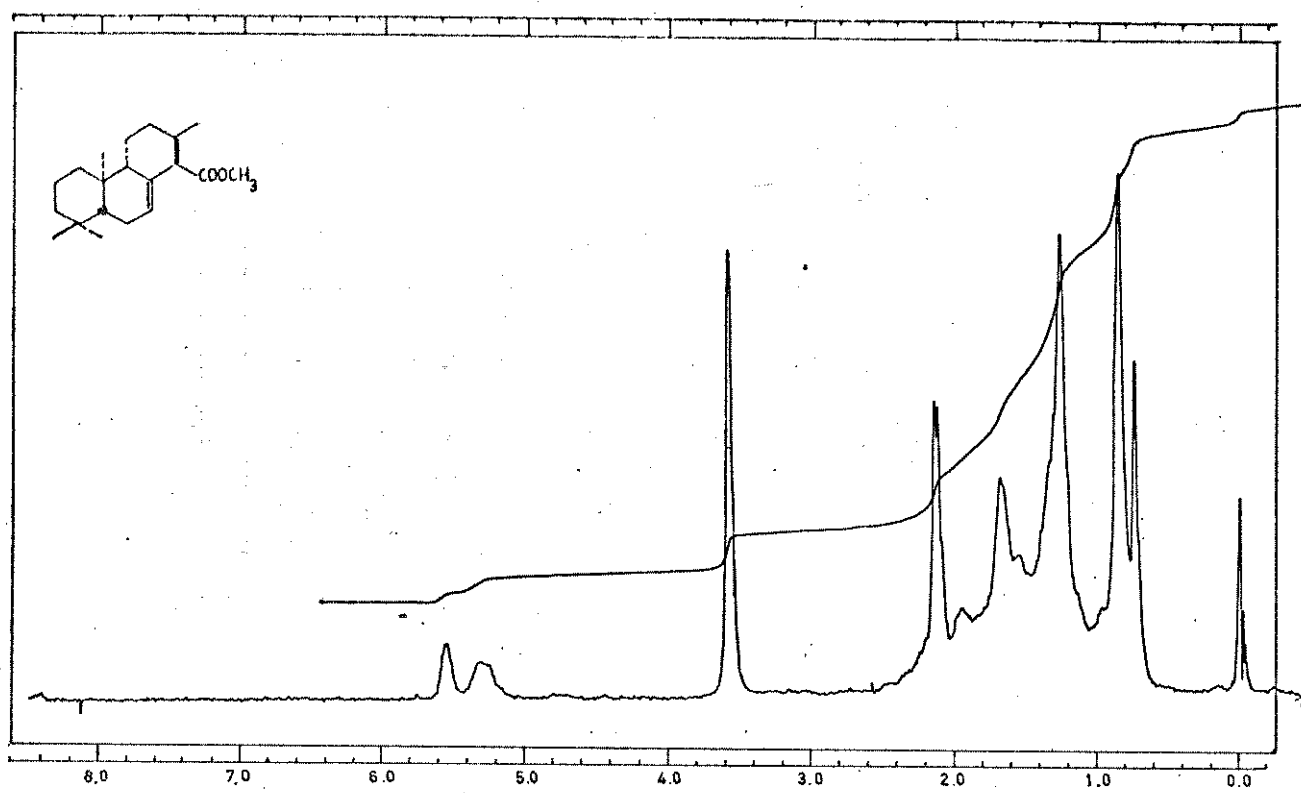
[E-29] - Espectro de IV do (5R, 8R, 10R)-9(11)-drimen-8-ol 33



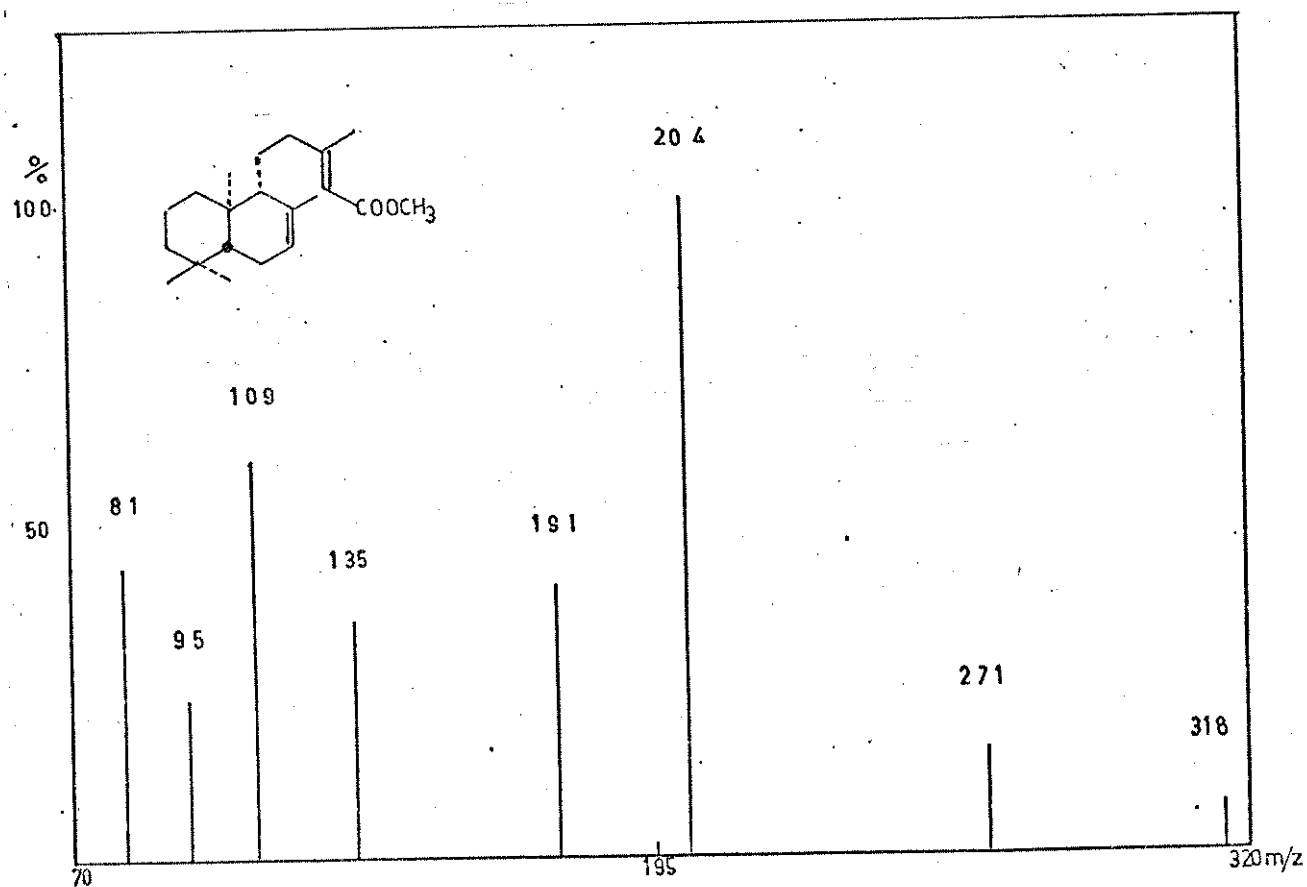
[E-30] - Espectro de RMN¹H do (5R, 8R, 10R)-9(11)-drimen-8-ol 33



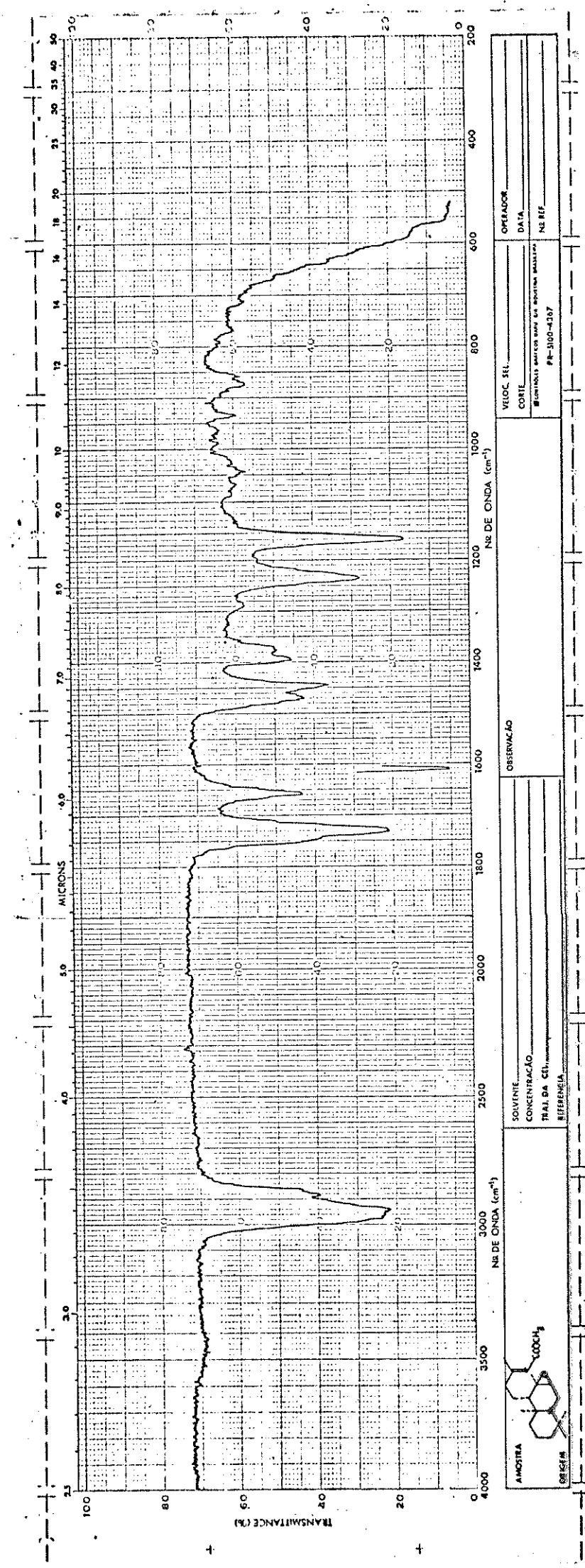
[E-32] - Espectro de IV do ent-7,13(14)-labdien-15-oato de metila 38



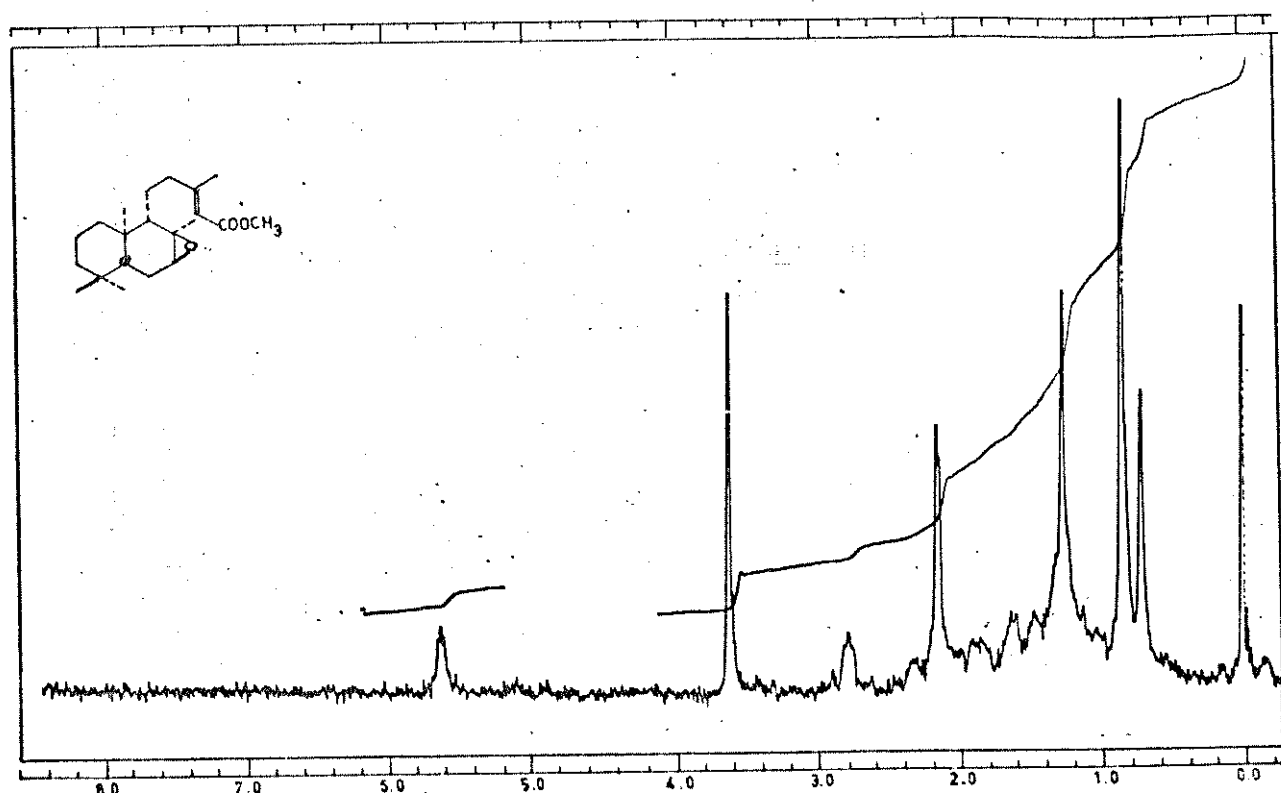
[E-33] - Espectro de RMN¹H do ent-7,13(14)-labdien-15-oato de metila 38



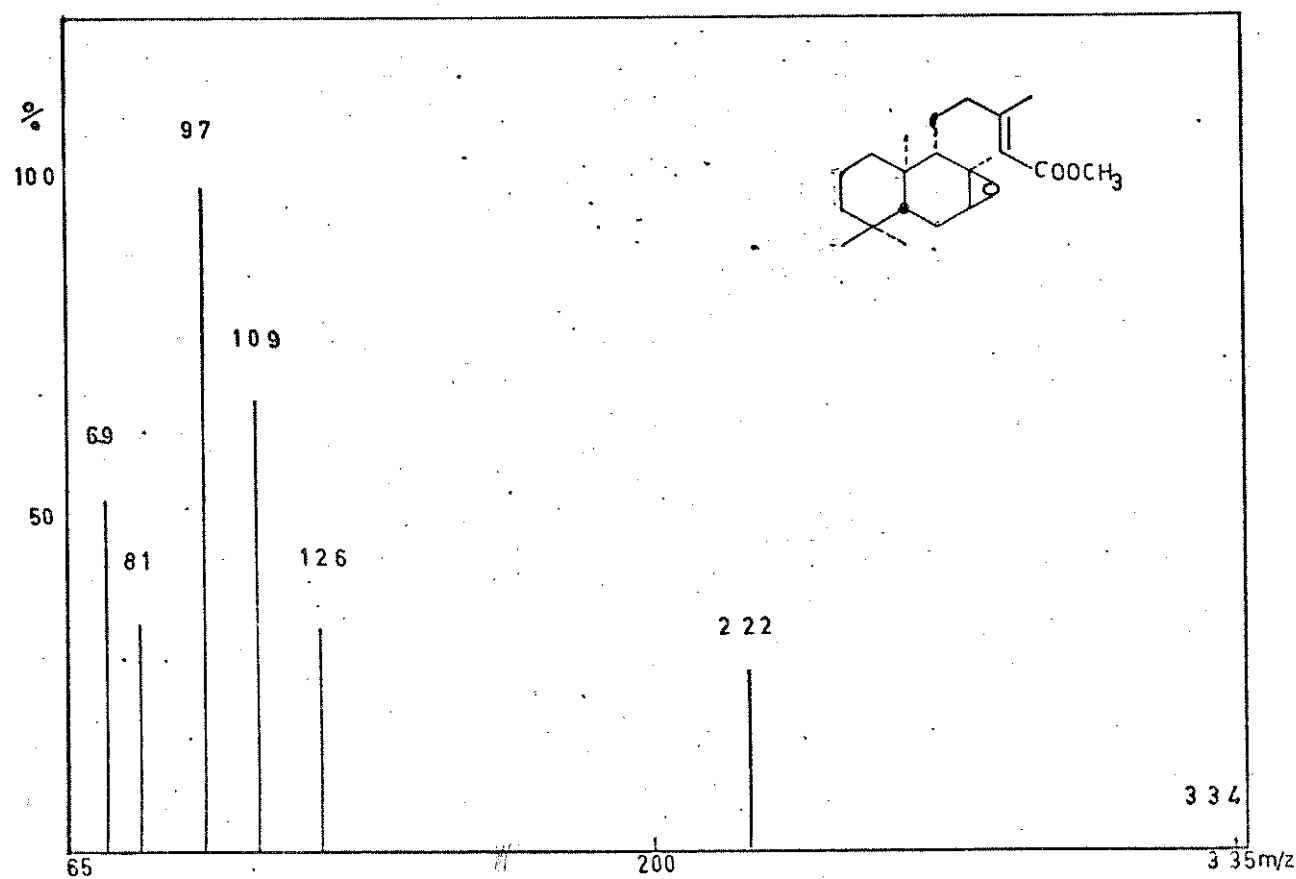
[E-34] - Espectro de massa do ent-7,13(14)-labdien-15-oato de metila 38



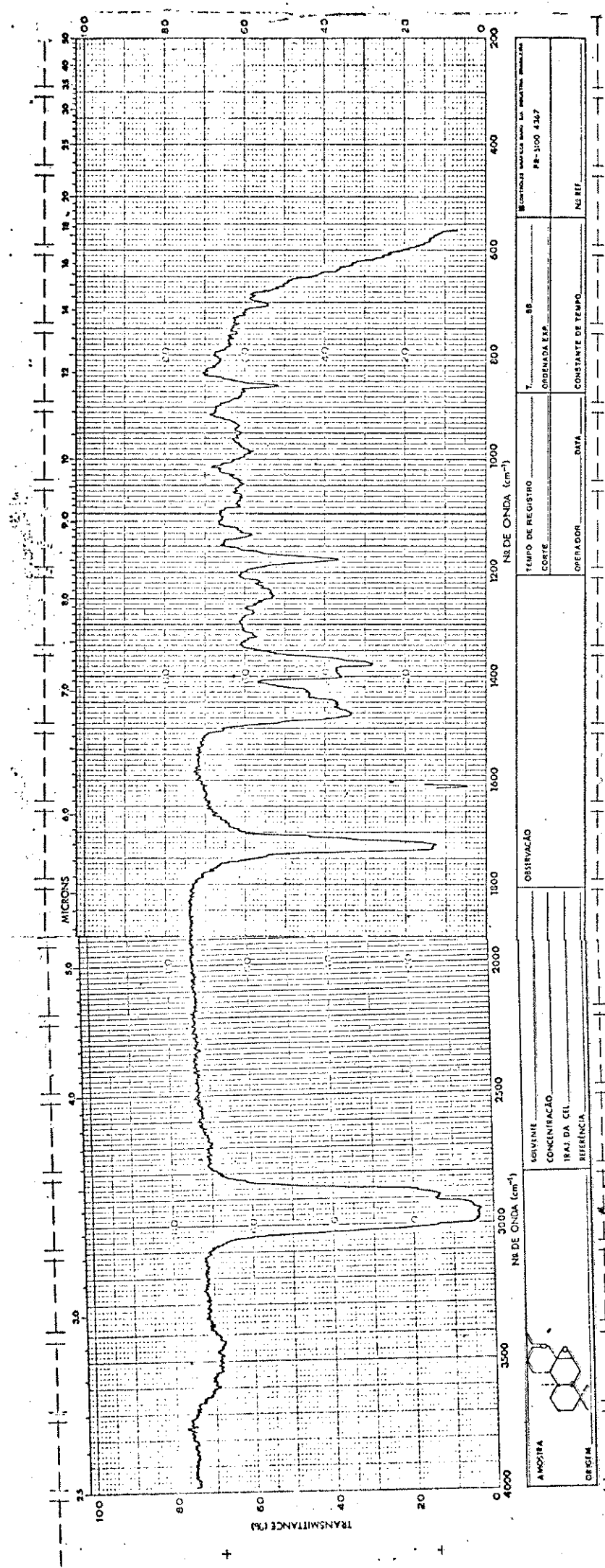
[E-35] - Espectro de IV do ent-7(8)-epoxi,13(14)-labden-15-oato de metila 39



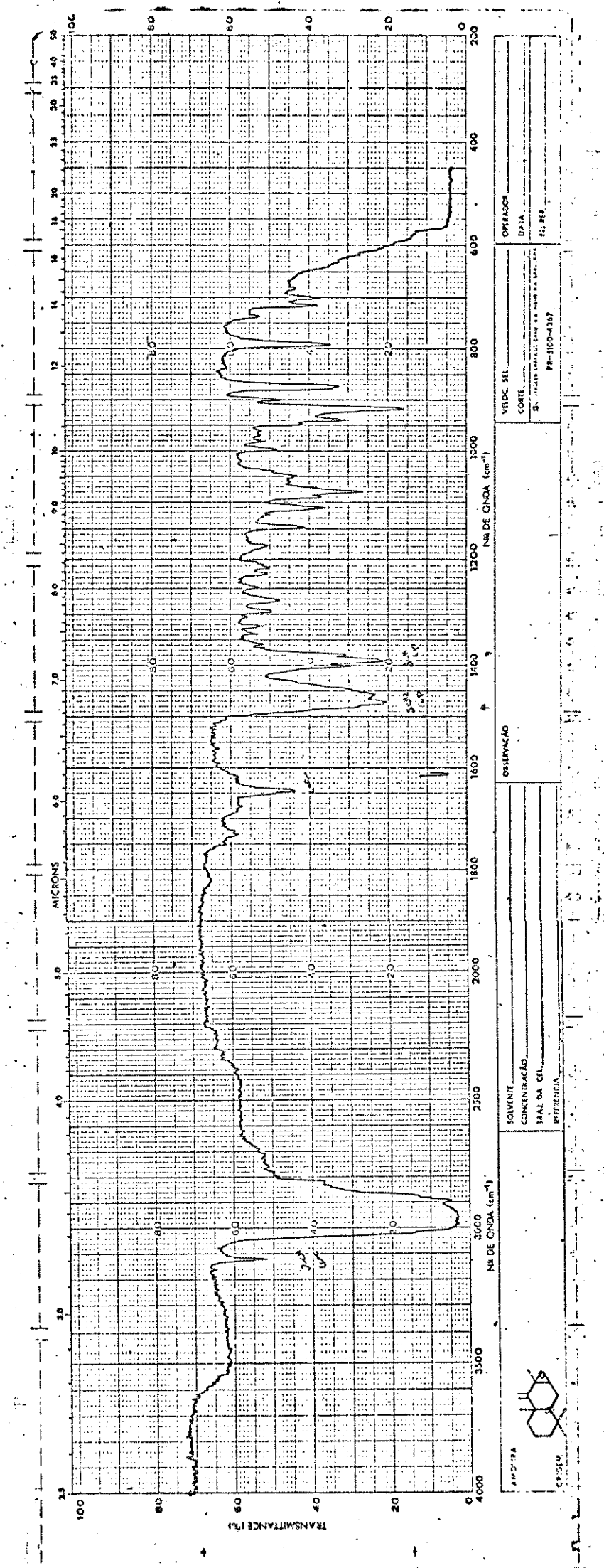
[E-36]—Espectro de RMN¹H do ent-7(8)-epoxi,13(14)-labden-15-oato de metila 39



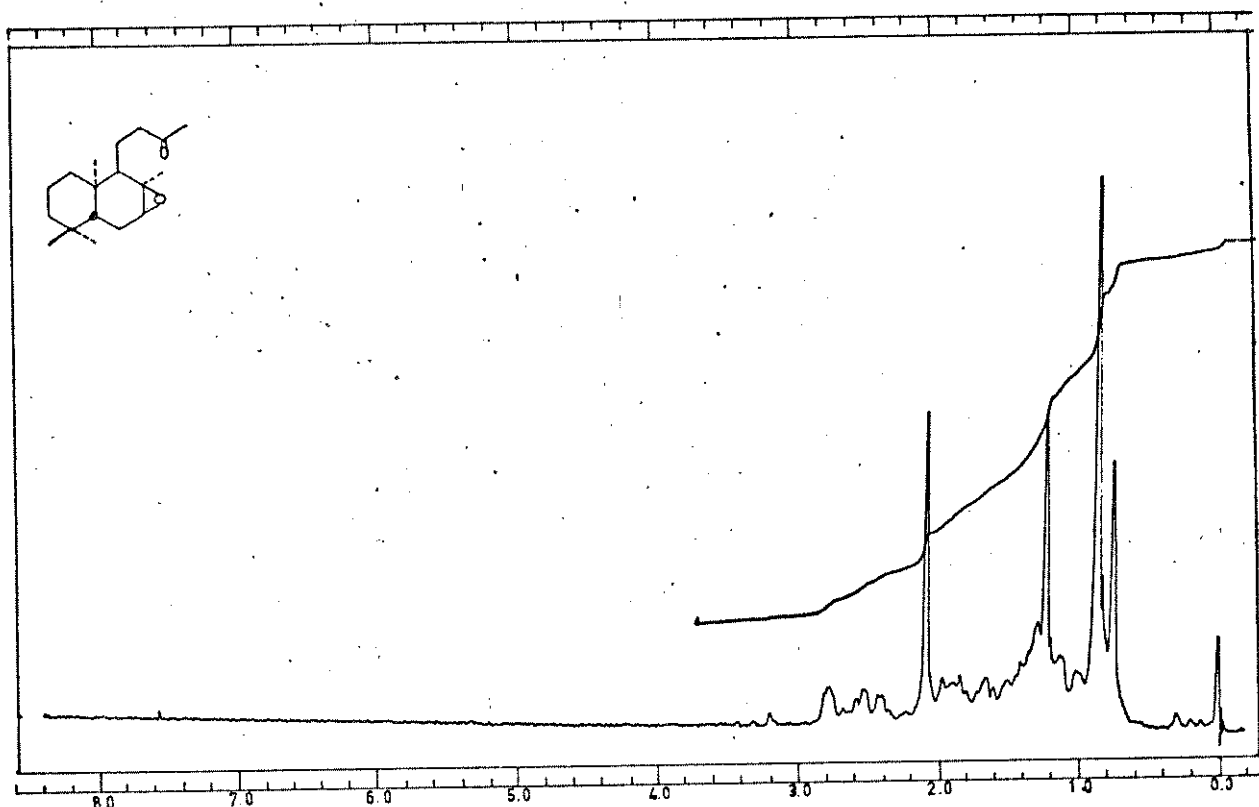
[E-37]—Espectro de massa do ent-7(8)-epoxi,13(14)-labden-15-oato de metila 39



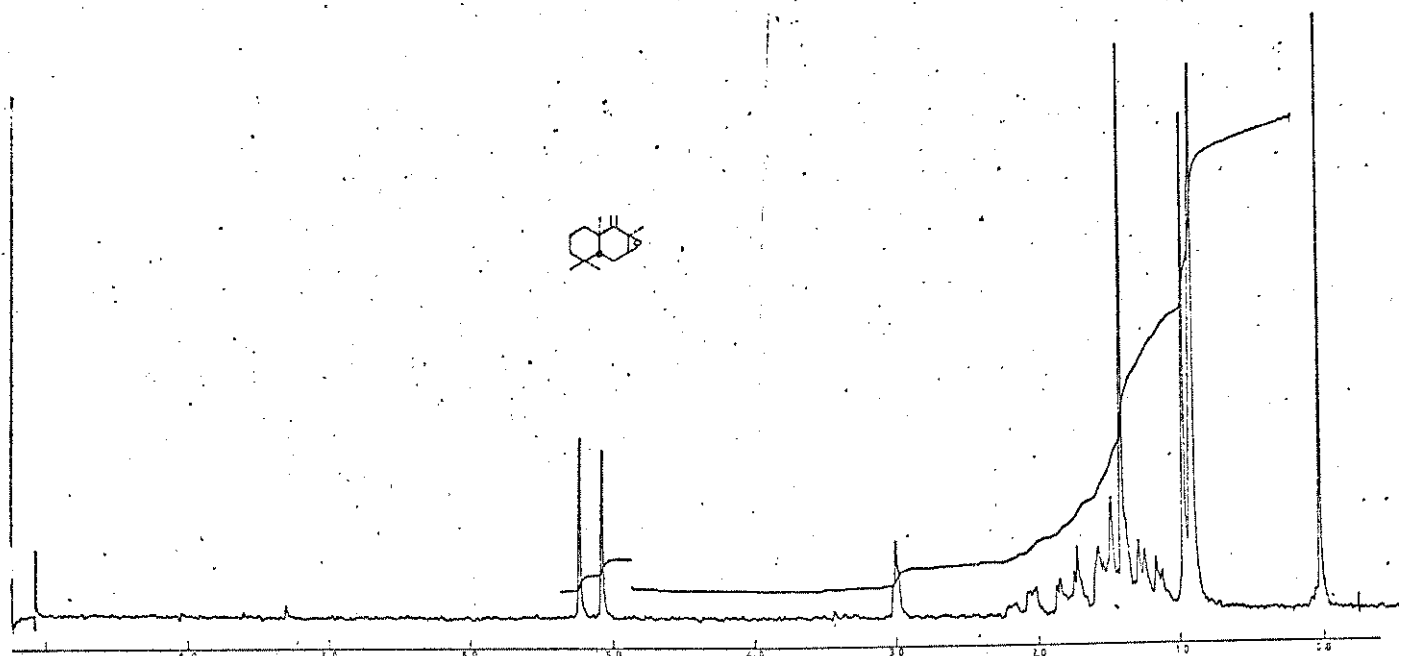
[E-38] — Espectro IV do ent-7(8)-epoxi-14(15)-dinorlabd-13-ona 40



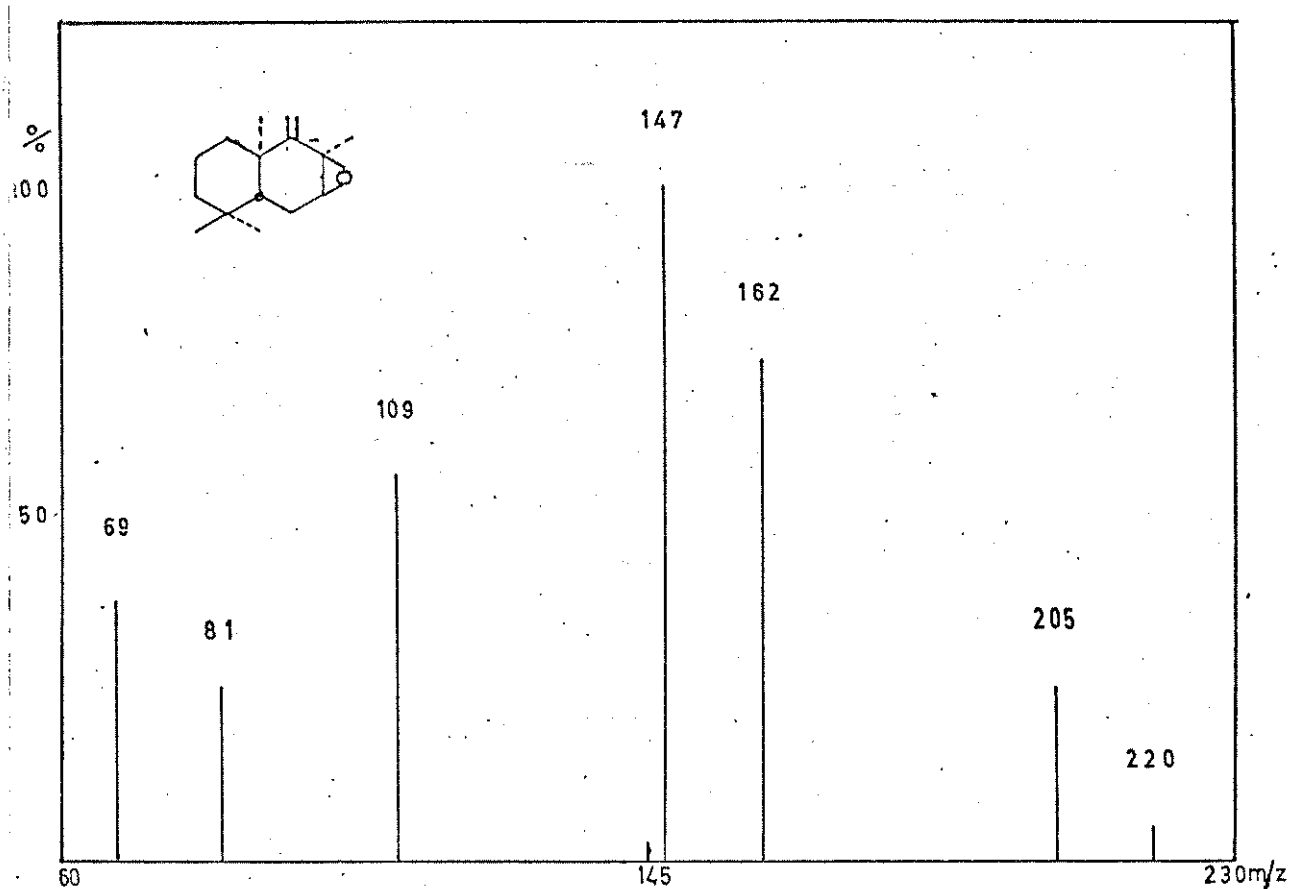
[E-40] — Espectro de IV do (5R,10R)-7(8)-epoxi-9(11)-drimen 41



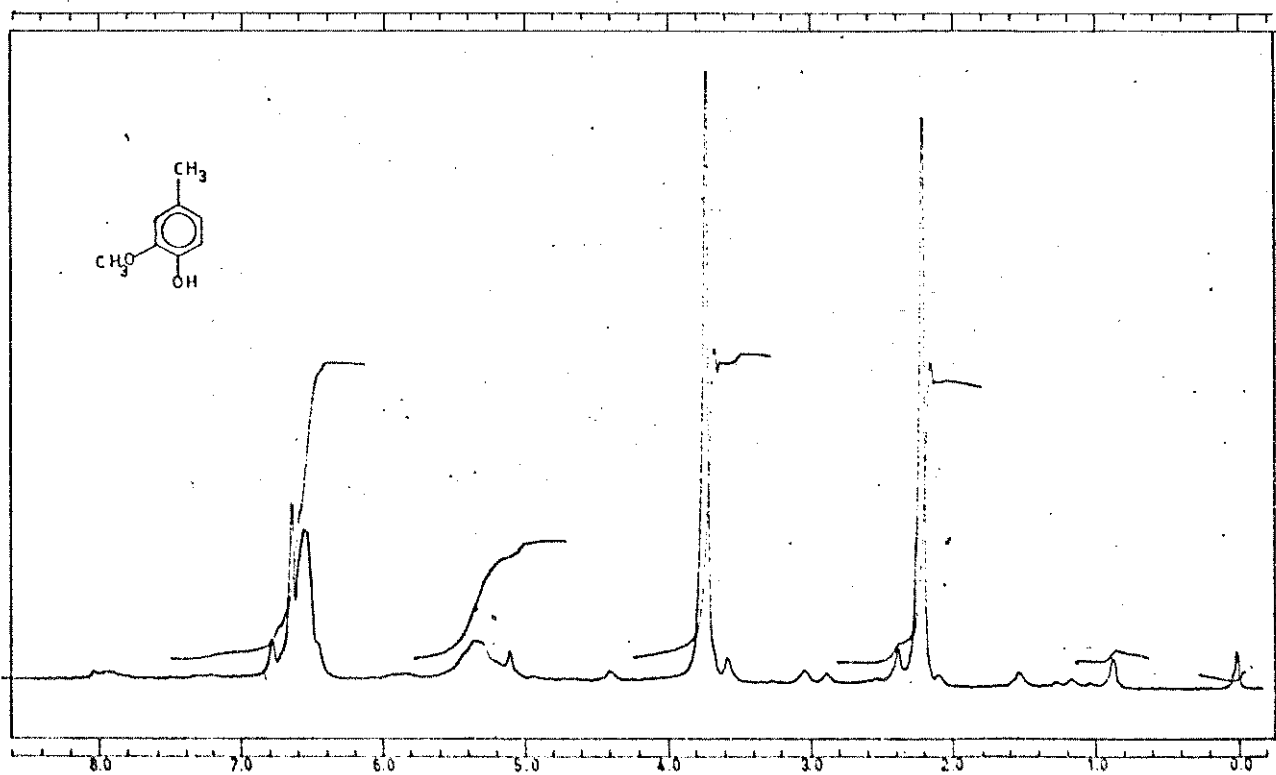
[E-39] - Espectro de RMN ^1H do ent-7(8)-epoxi-14(15)-dinorlabd-13-ona 40



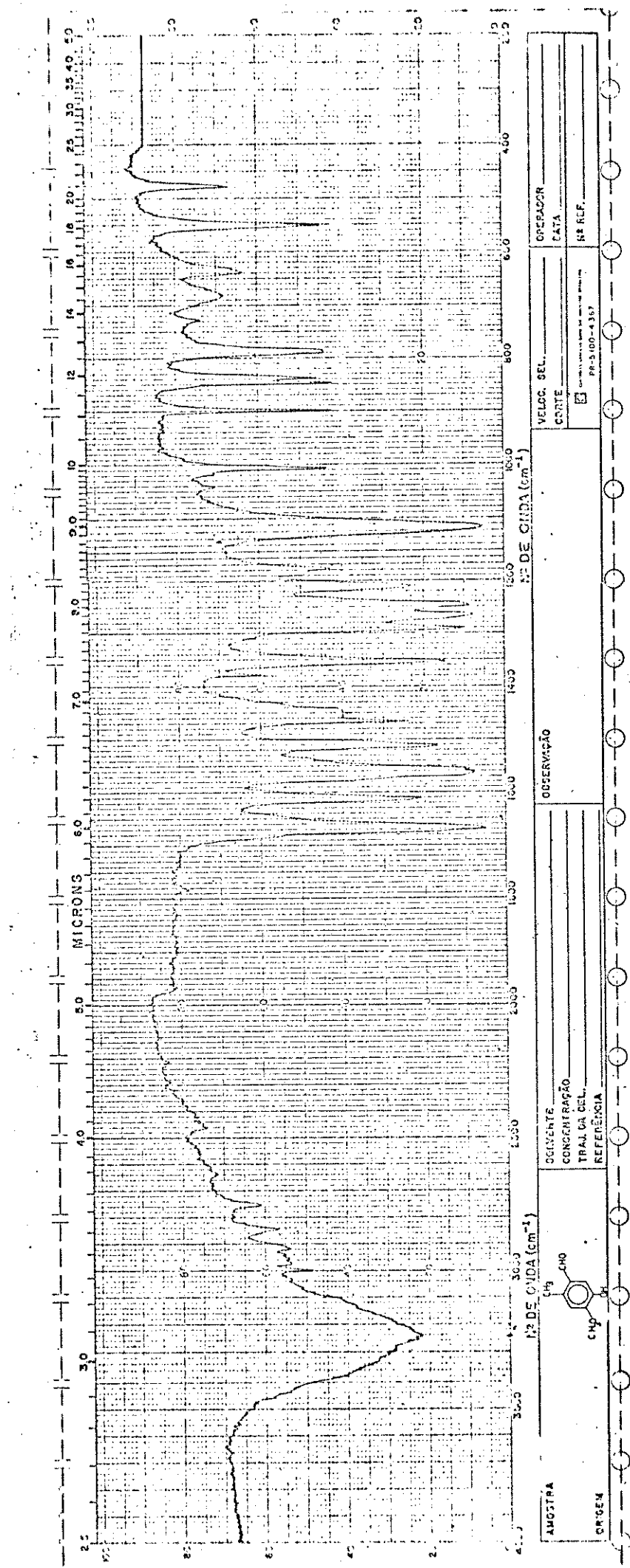
[E-41] - Espectro de RMN ^1H do (5R, 10R)-7(8)-epoxi-9(11)-drimen 41



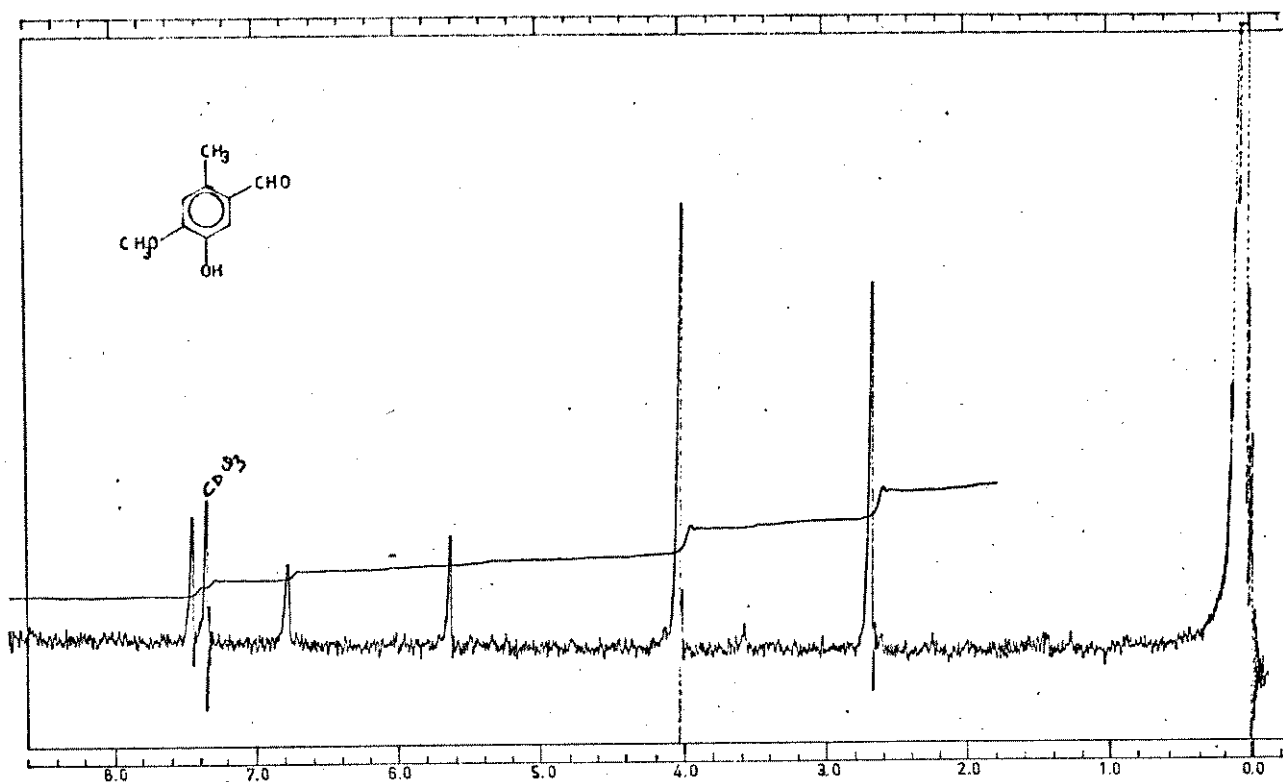
[E-42] - Espectro de massa do enantio-(5R, 10R)-7(8)-epoxi - 9(11)-drimen 41



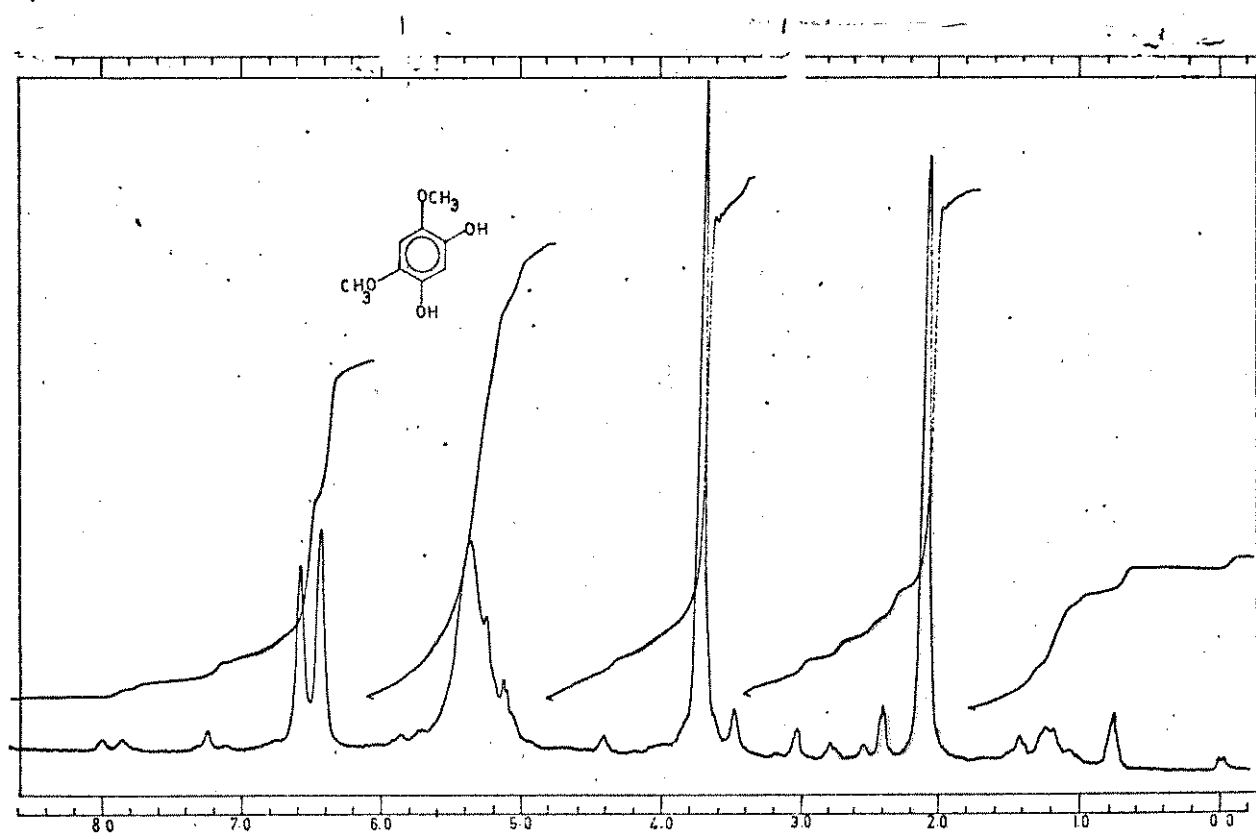
[E-43] - Espectro de RMN ^1H do 4-hidroxi -3 -metoxitolueno 69



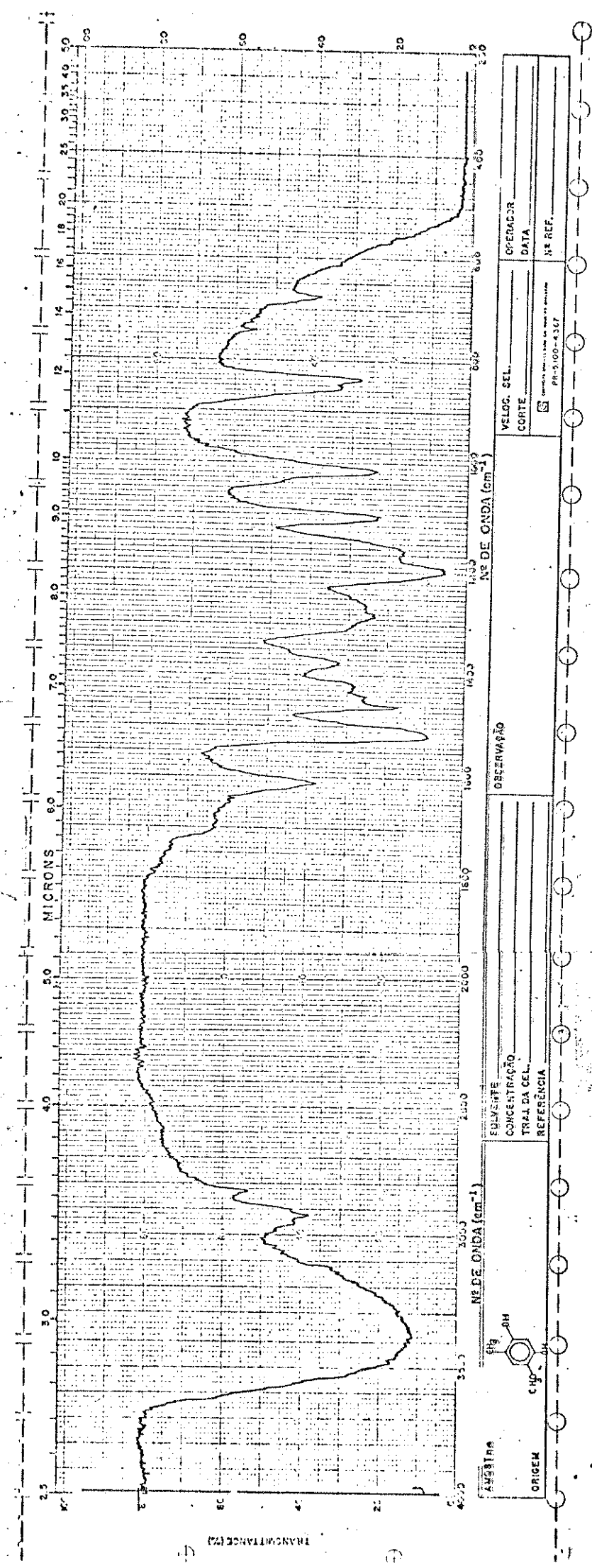
[E-44] - Espectro de IV do 3-hidroxi-4-metoxi-6-metilbenzaldeído 70



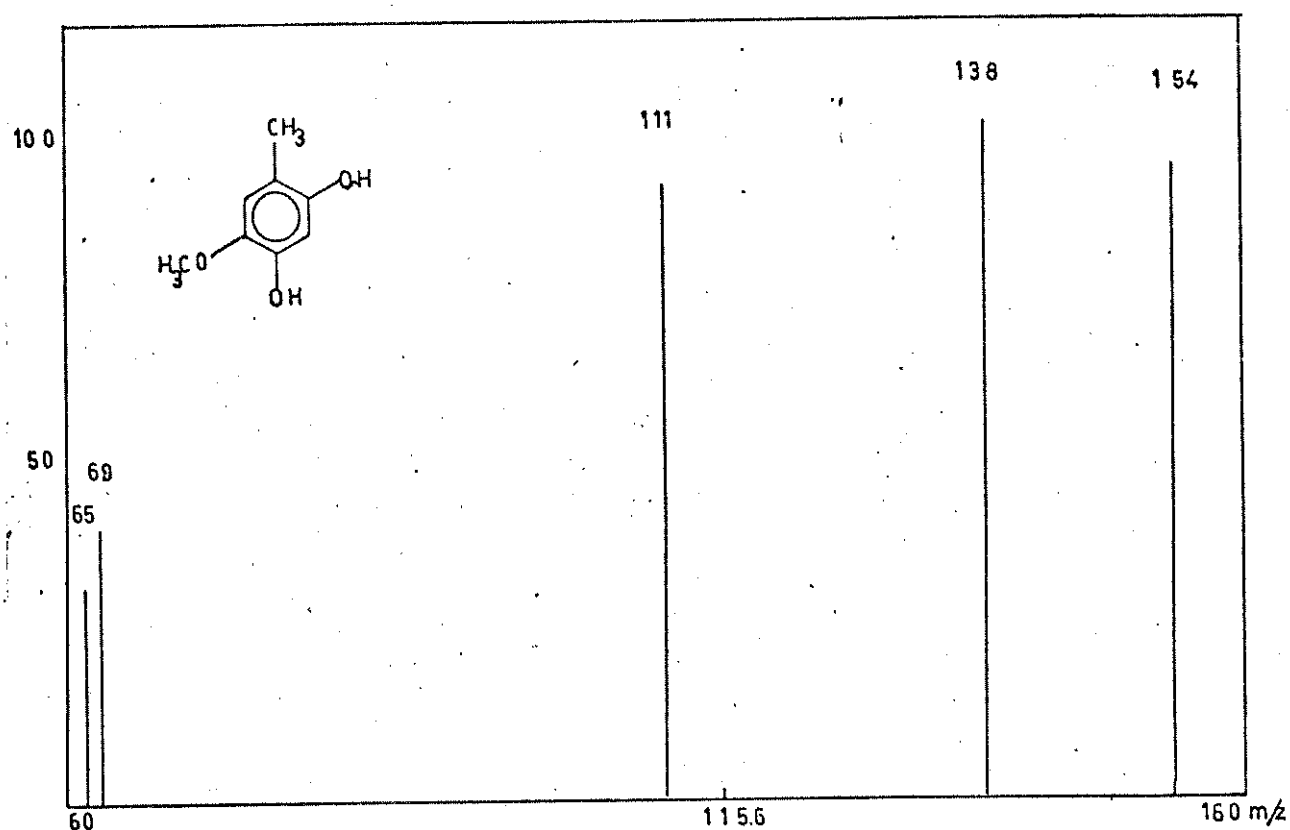
[E-45] - Espectro de RMN¹H do 3-hidroxi-4-metoxi-6-metilbenzaldeido 70



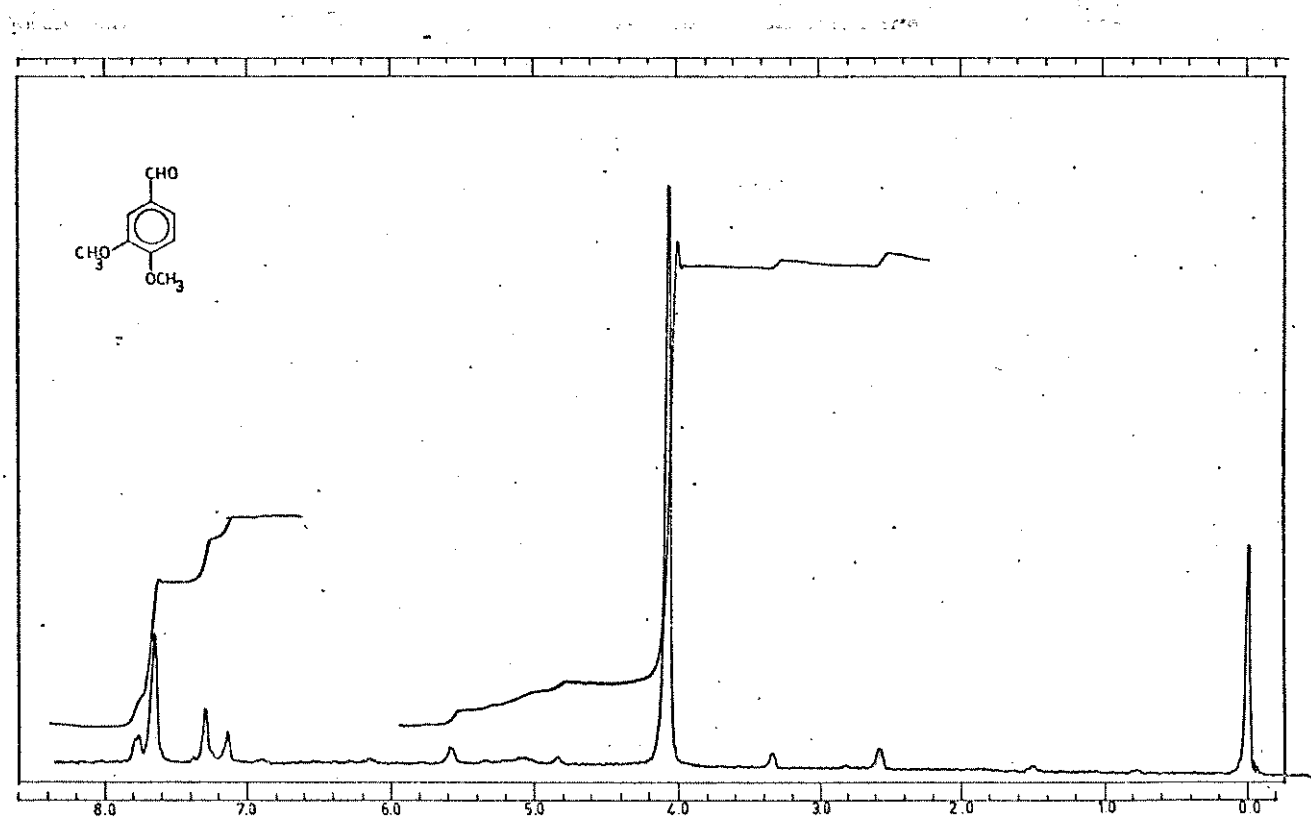
[E-47] - Espectro de RMN¹H do 2,4-dihidroxi-5-metoxitolueno 66



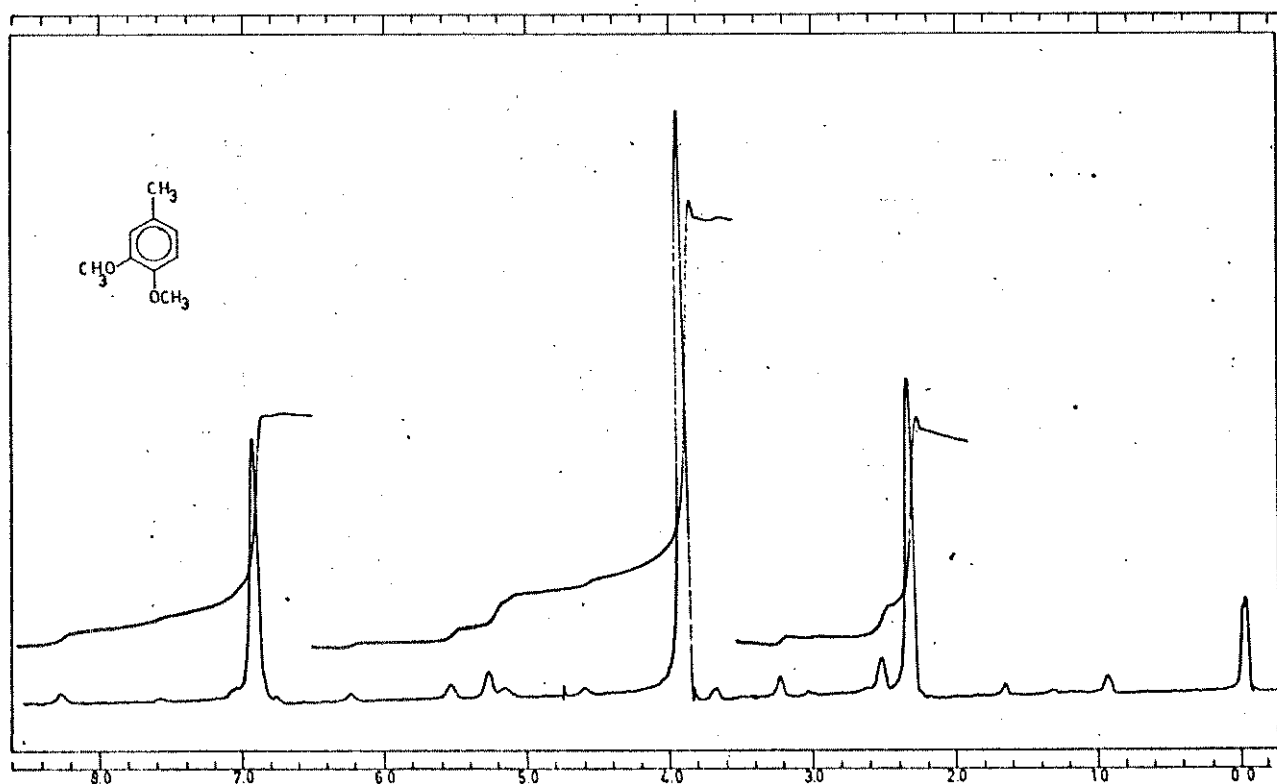
[E-46] -Espectro IV do 2,4-dihidroxi-5-metoxitolueno 66



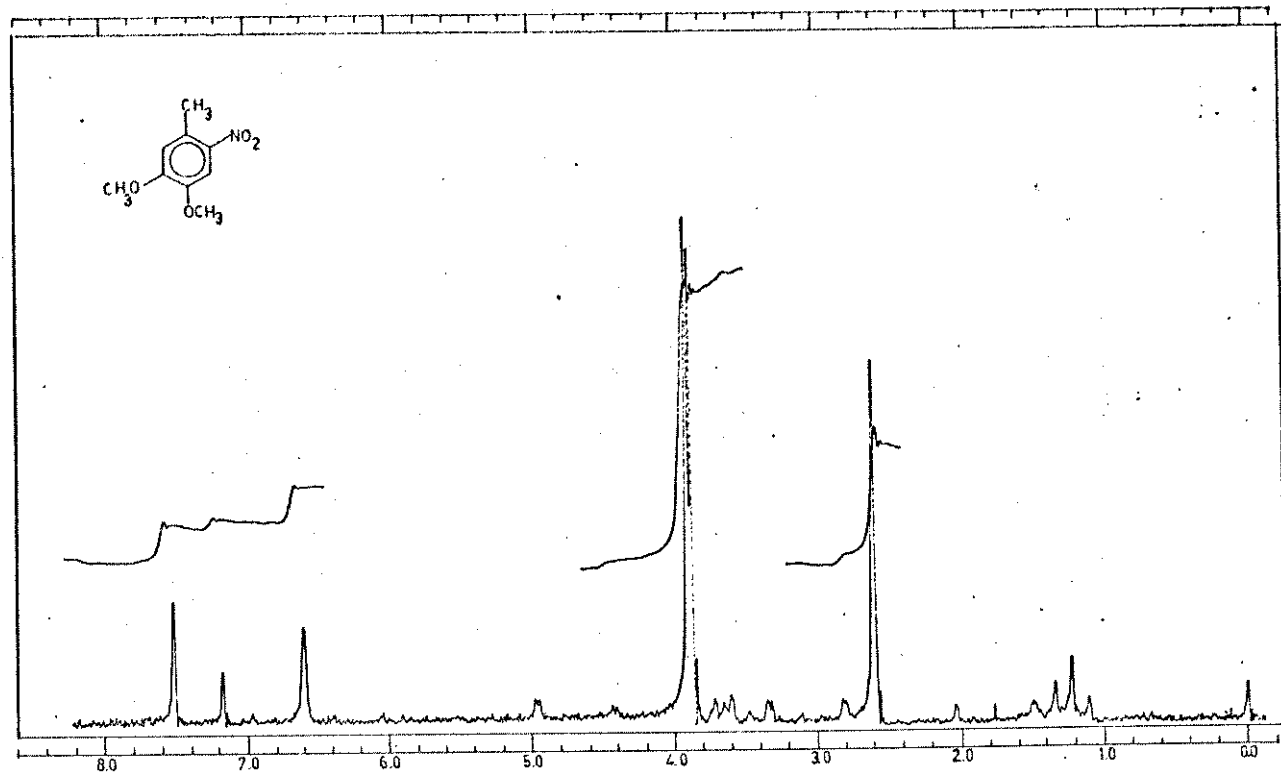
[E-48] - Espectro de massa do 2,4,-dihidroxi- 5-metoxitolueno 66



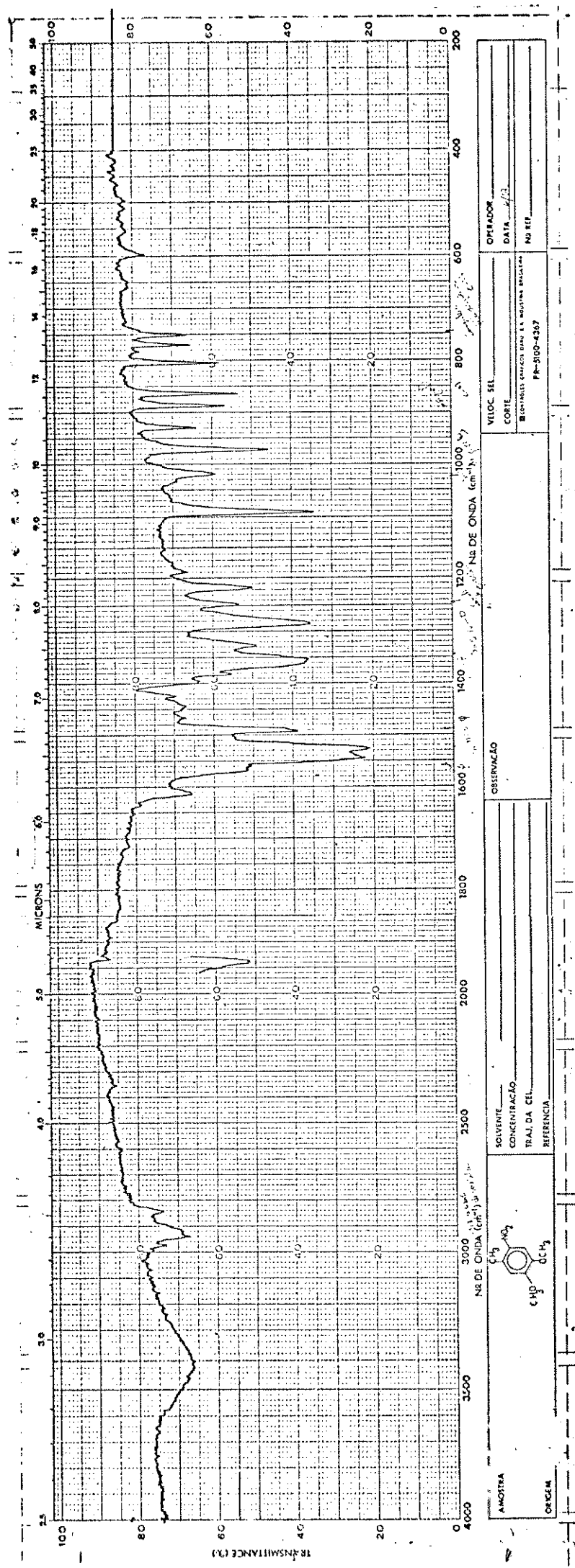
[E-49] - Espectro de RMN¹H do 3,4-dimetoxibenzaldeído 71



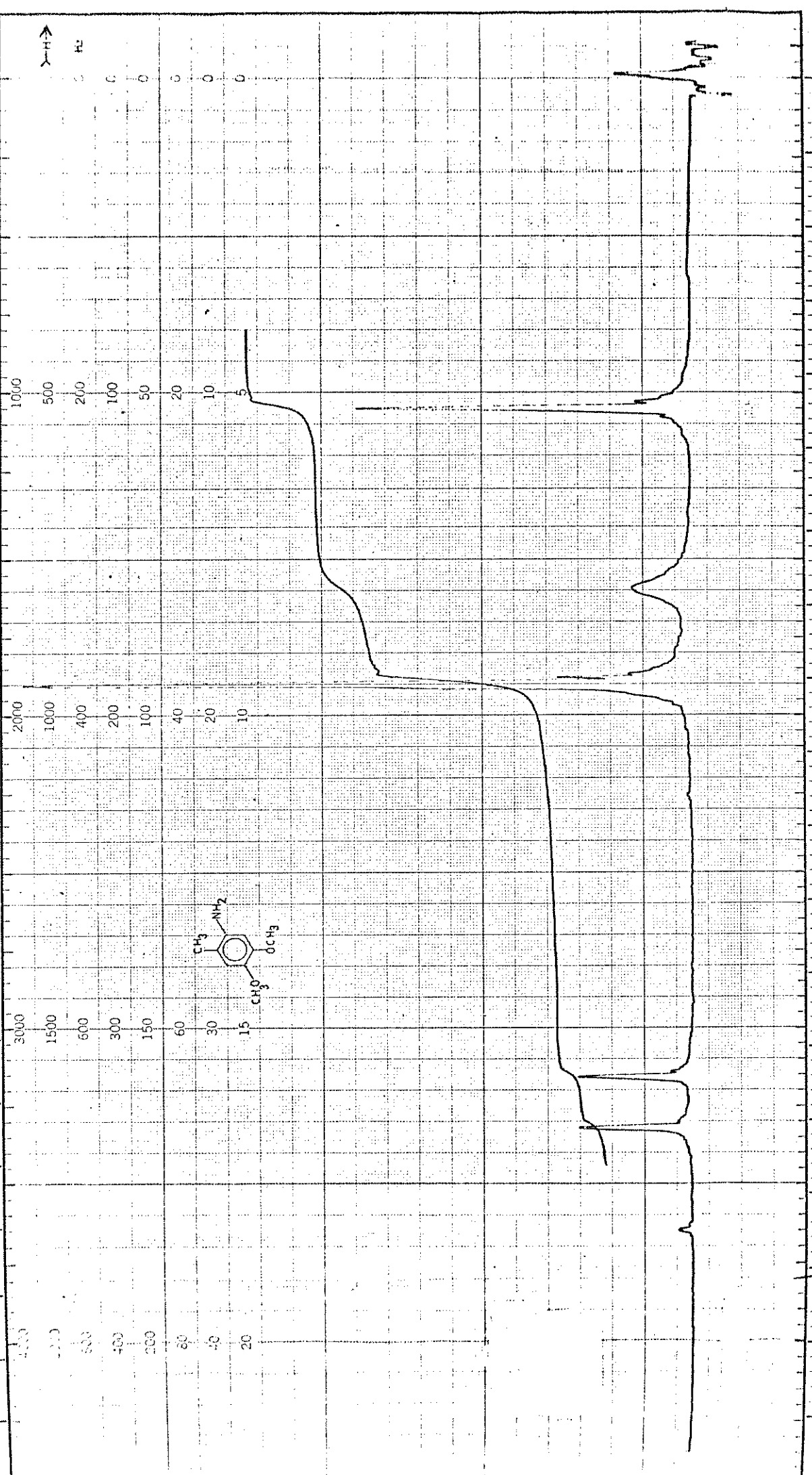
[E-50] - Espectro de RMN¹H do 4,5-dimetoxitolueno 72



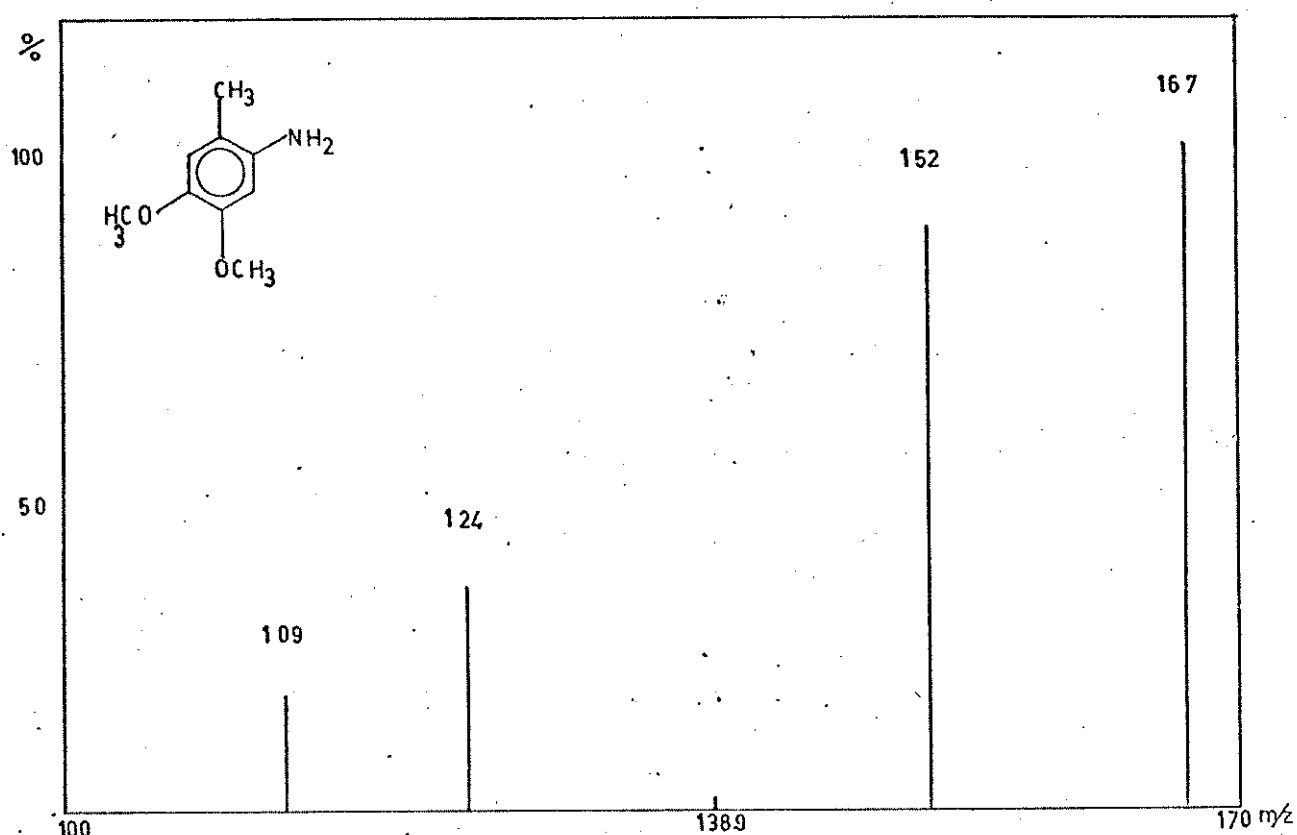
[E-52] - Espectro de RMN¹H do 4,5-dimetoxi-2-nitrotolueno 73



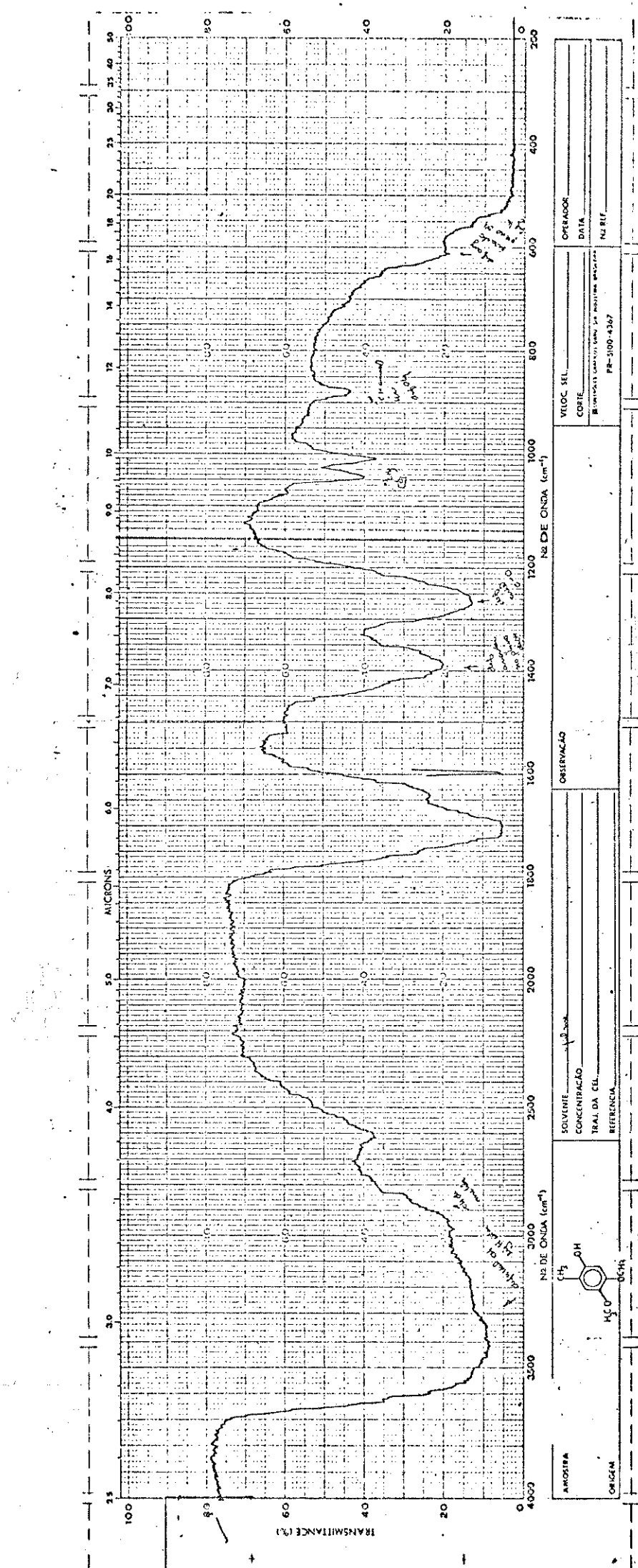
[E-51] - Espectro de IV do 4,5-dimetoxi-2-nitrotolueno 73



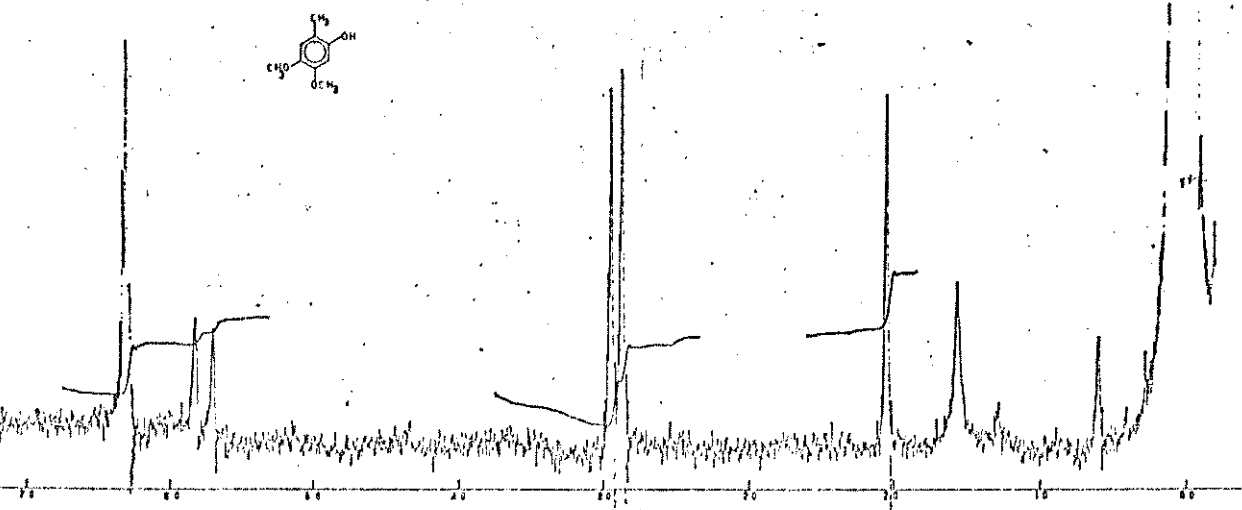
[E-53] - Espectro de RMN ^1H do 4,5-dimetoxi- 2-aminotolueno 74



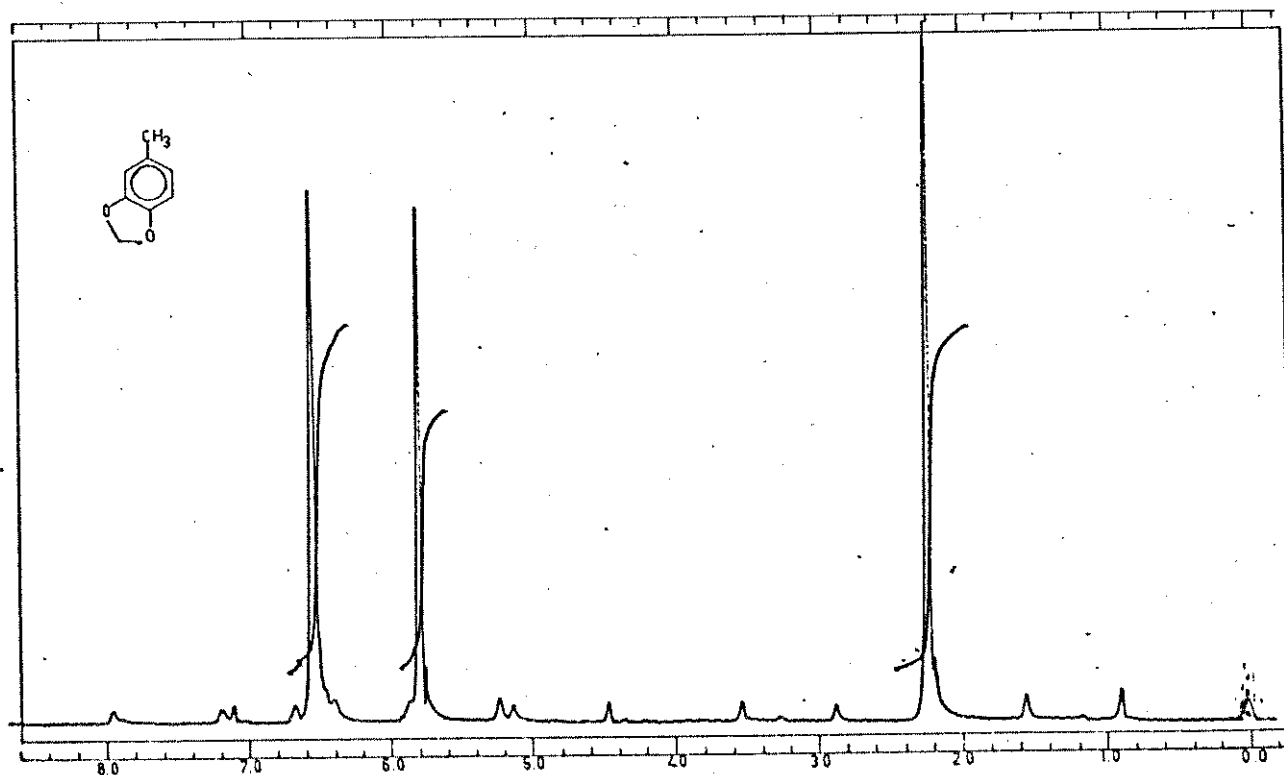
[E-54] -Espectro de massa do 4,5-dimetoxi-2-aminotolueno 74



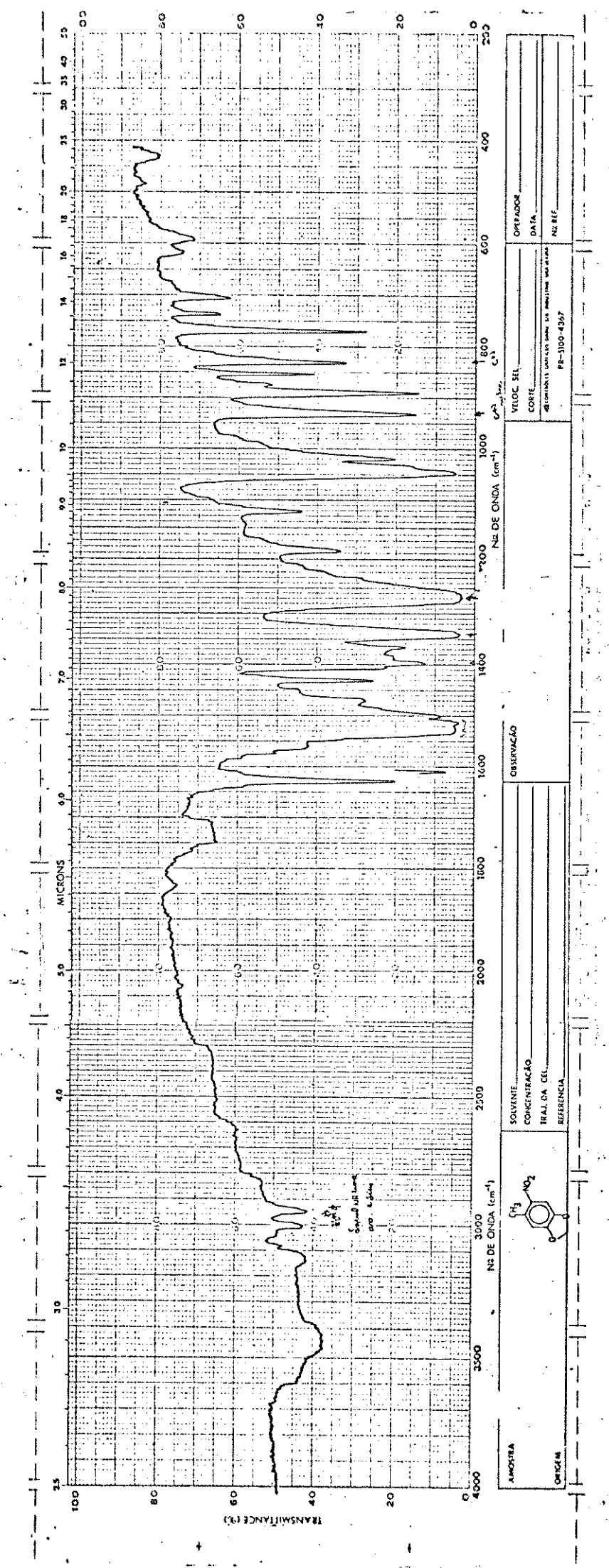
[E-55] - Espectro de IV do 2-hidroxi-4,5-dimetoxitolueno 67



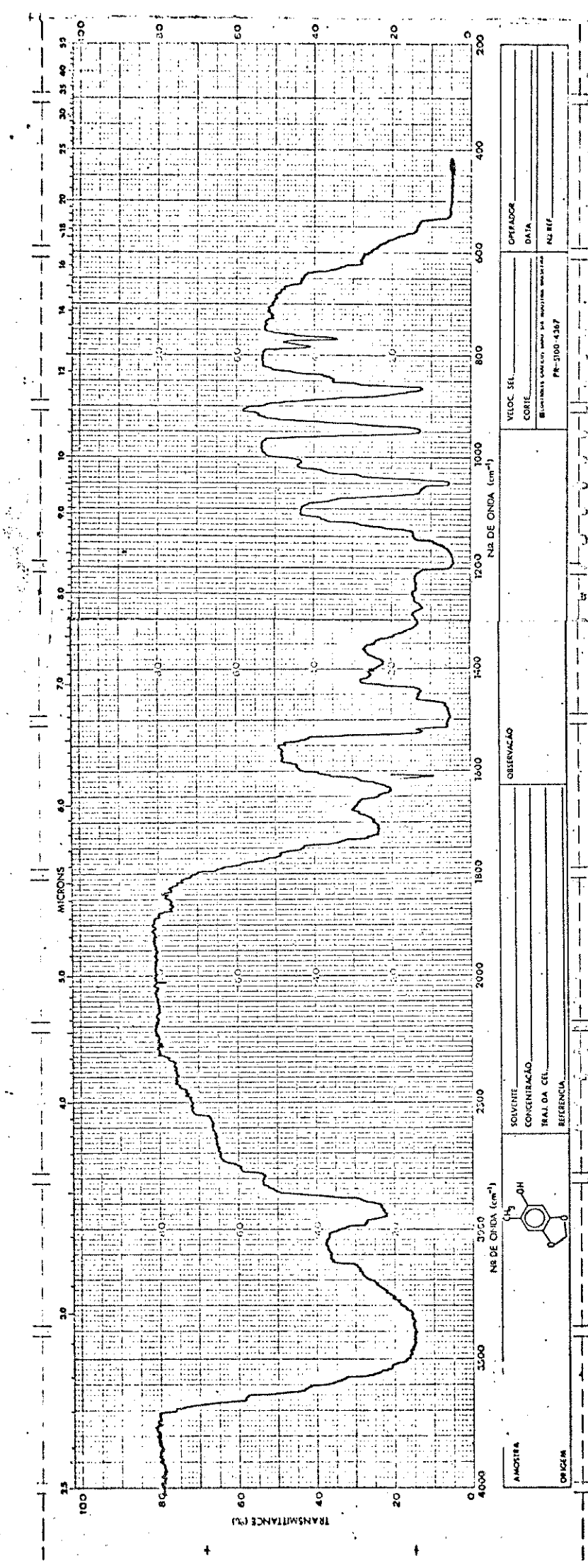
[E-56] - Espectro de RMN¹H do 2-hidroxi-4,5-dimetoxitolueno 67



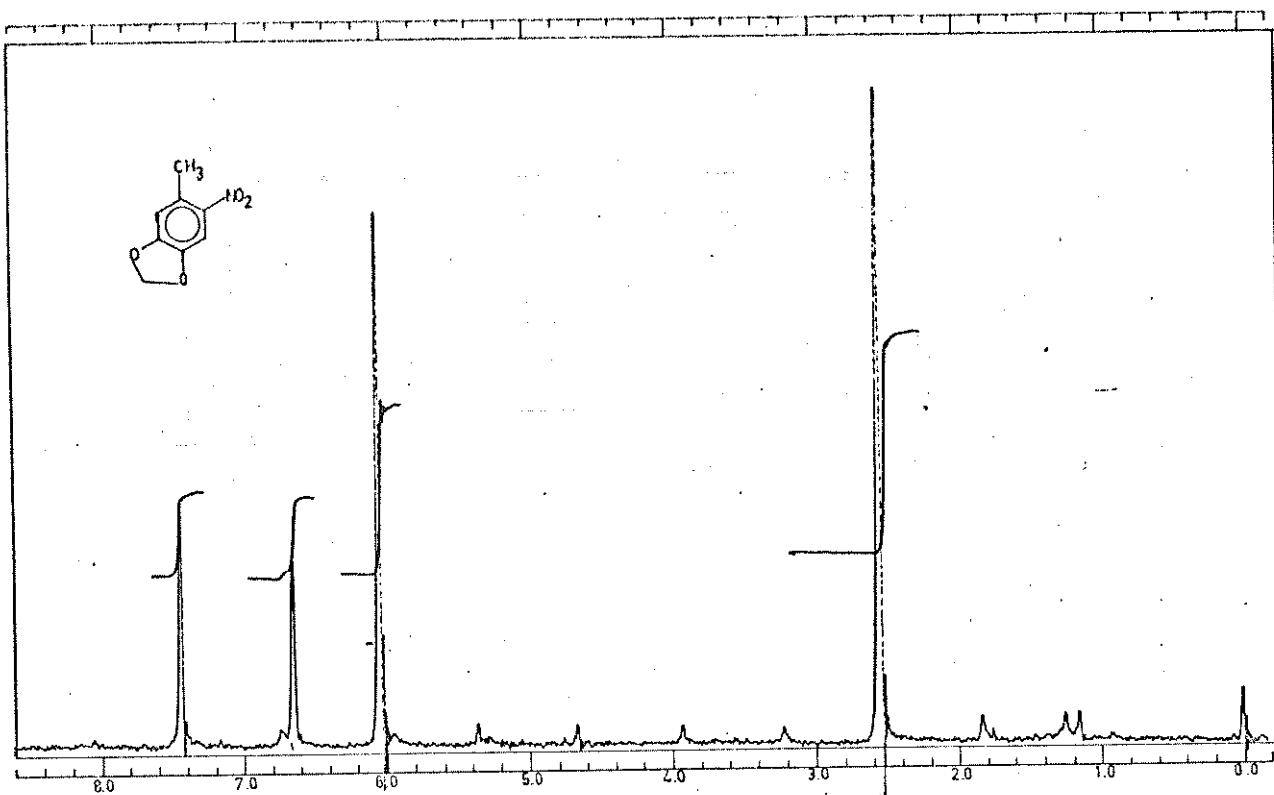
[E-58] - Espectro de RMN¹H do 3,4-dióxido de metileno-tolueno 108



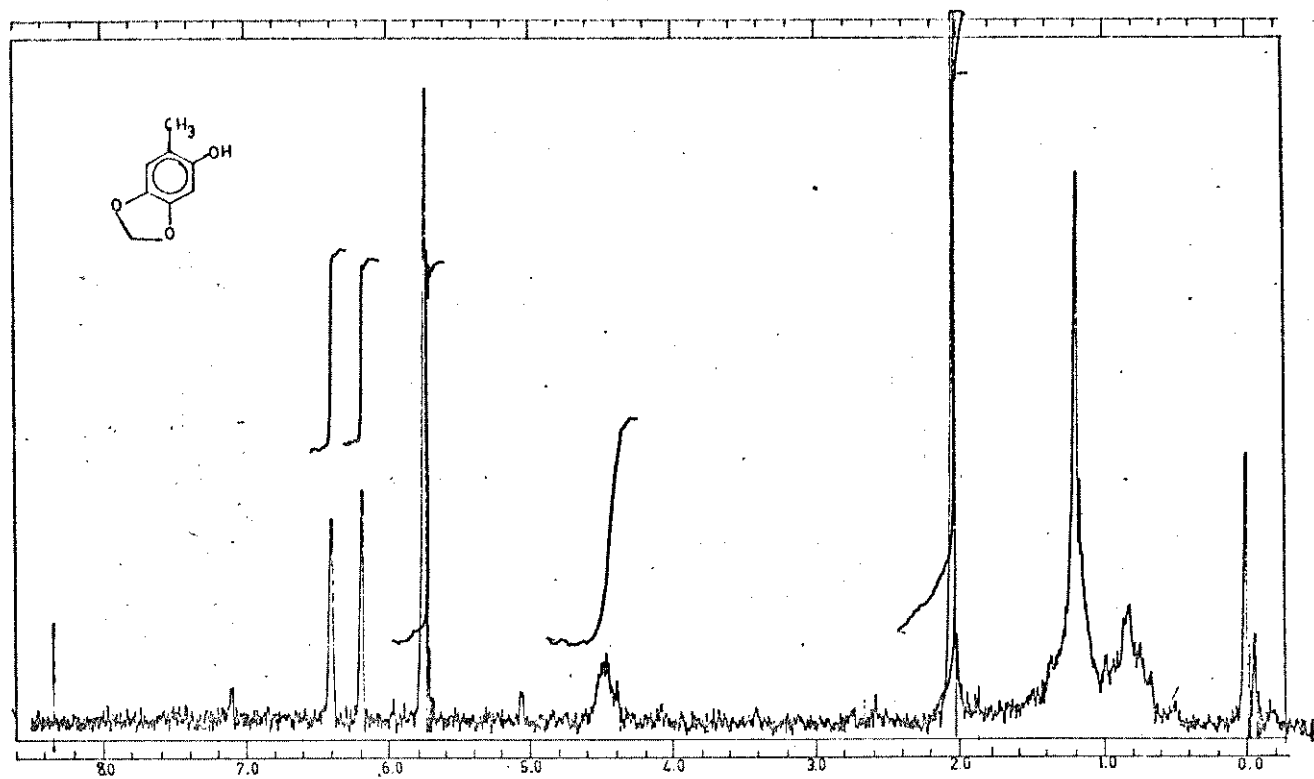
[E-59] - Espectro de IV do 2-nitro-4,5-dióxido de metíleno-tolueno 110



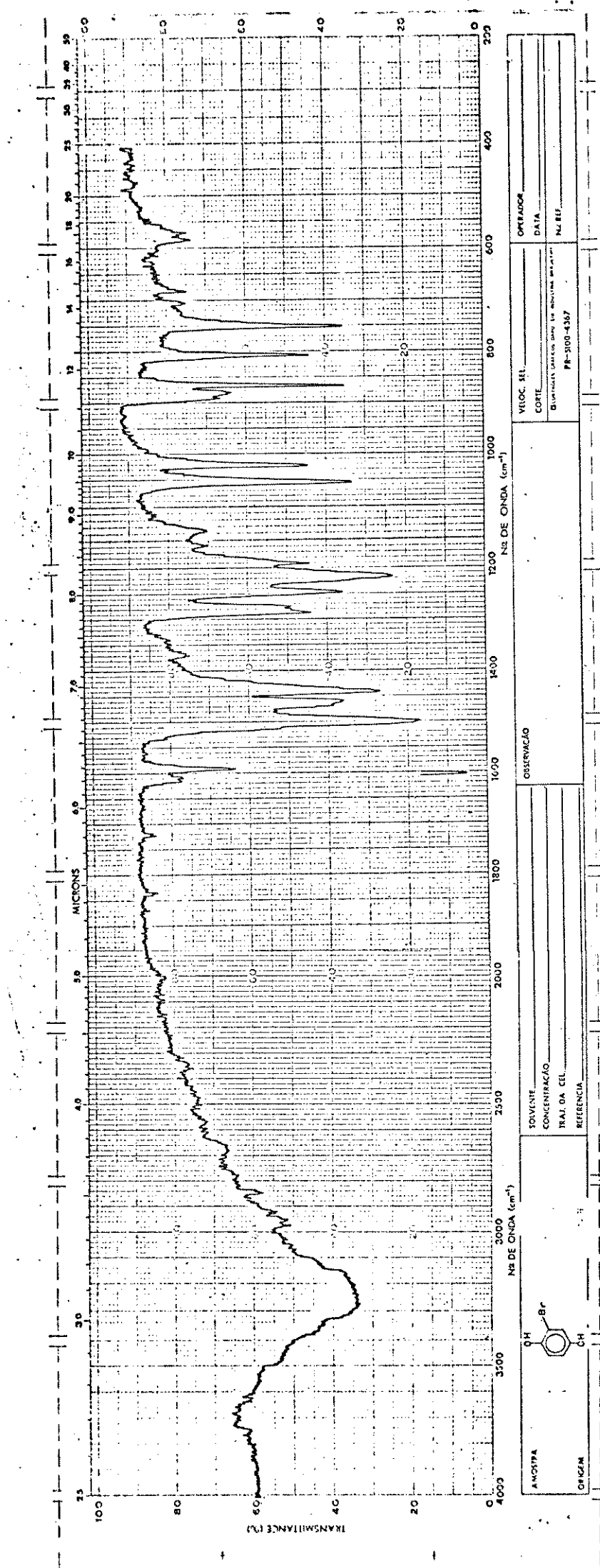
[F-61] - Espectro de IV do 2-hidroxi-4,5-dioxido de metileno-tolueno 107



[E-60] - Espectro de RMN ^1H do 2-nitro- 4,5-dióxido de metileno – tolueno 110



[E-62] - Espectro de RMN ^1H do 2-hidroxi - 4,5-dioxido de metileno – tolueno 107



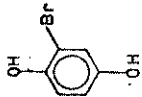
DFC

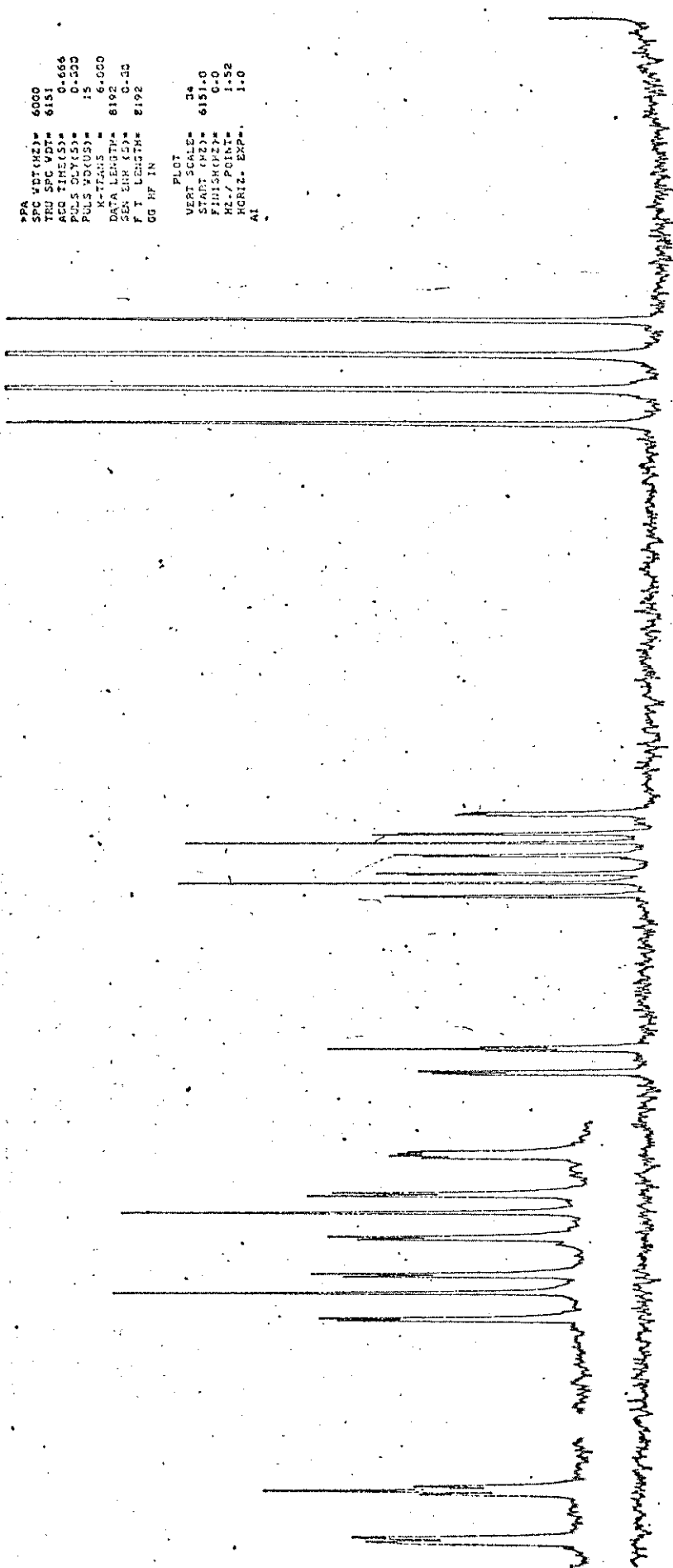
>PA
 SPC VDT(HZ)= 6000
 TRU SPC VDT= 6151
 ACC TIME(S)= 0-666
 PULS ELY(S)= 0-300
 PULS VD(HZ)= 15
 Y-TRANS = 1-639
 DATA LENGTH= 8192
 SEN. EXP. (S)= 0-20
 F T LENGTH= 8192
 HF IN:

PLCT
 VERT. SCALE= 39
 START (HZ)= 6151-0
 FINISH(HZ)= 0-0
 OFFSET(HZ)= 400-0
 HZ.* PCINT= 1-52
 HZ.* EXP= 1-0.
 AI

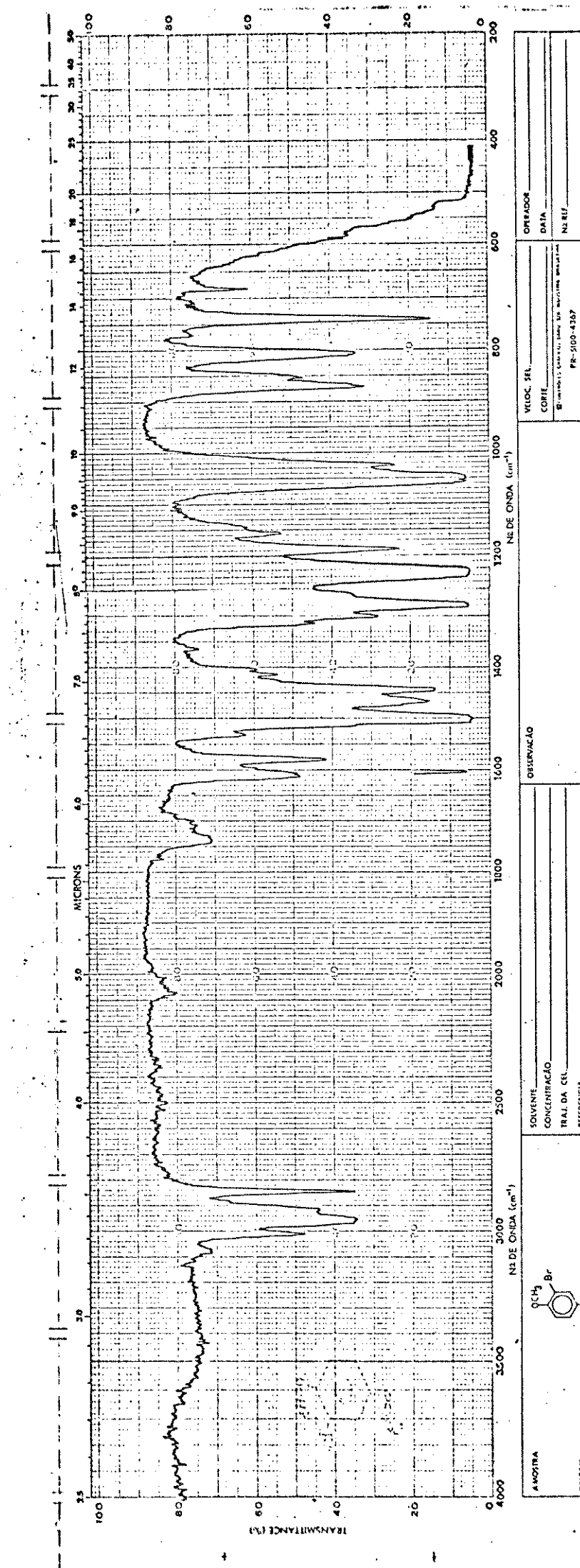
>LS

THRESH(CMH)	5.0		
OFFSET(HZ)	400-0		
RF.FREQ(MHz)	25.2000		
NO.	INT.	OFFSET(HZ)	PPM
1	124	3794.2	150.571
2	130	3696.6	146.697
3	108	3001.5	119.113
4	121	2950.2	117.075
5	101	2913.7	115.629
6	98	2755.0	109.332
7	1517	1020.6	40.501

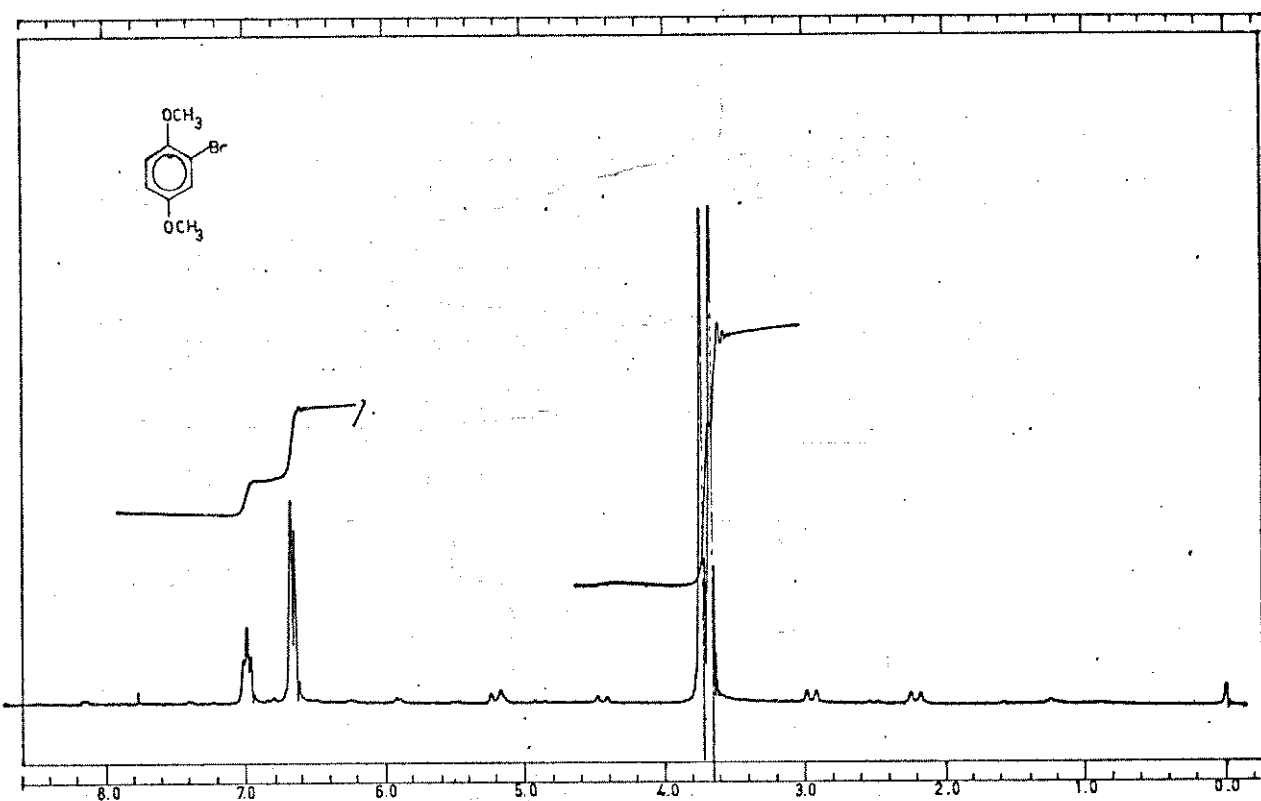




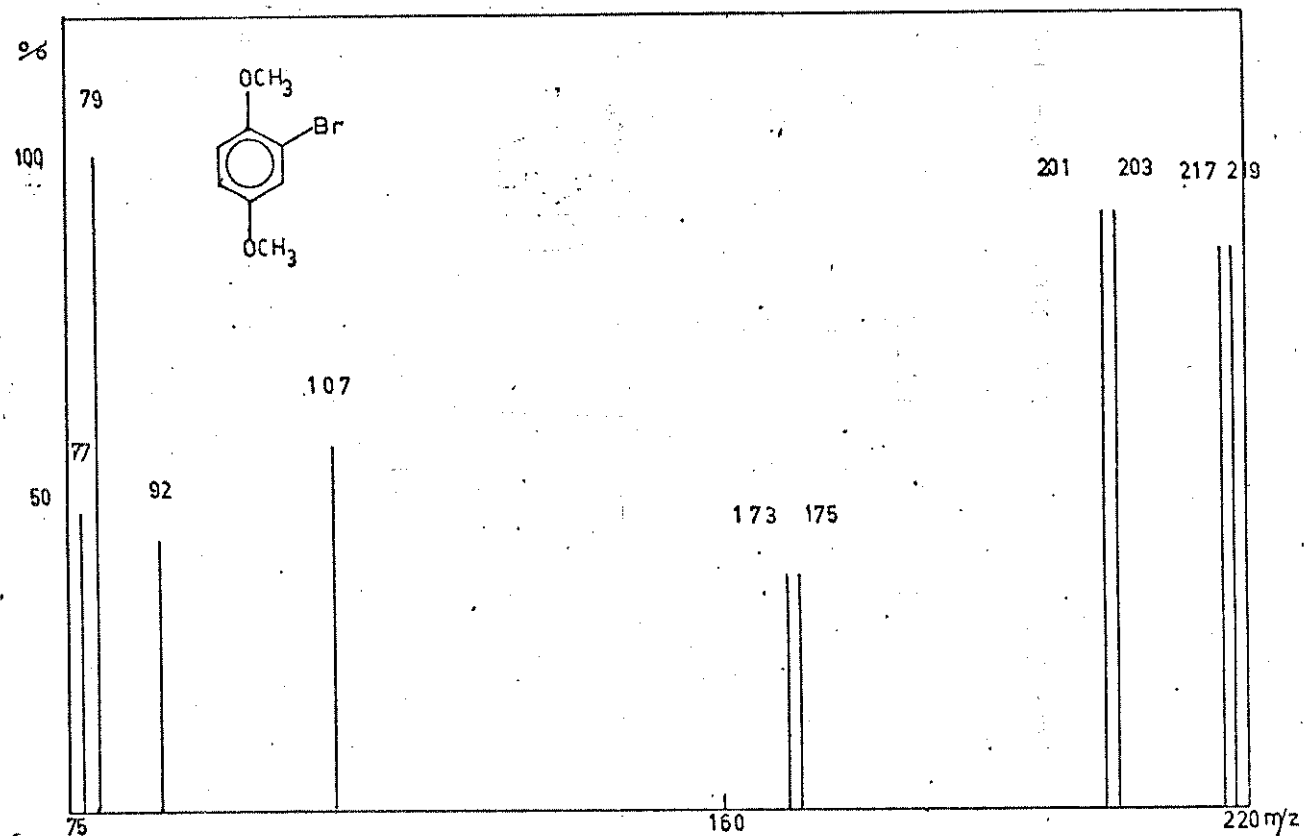
[E-64'] - Espectro de RMN¹³C do 2-bromo-1,4-dihidroxibenzeno 113 (DFE)



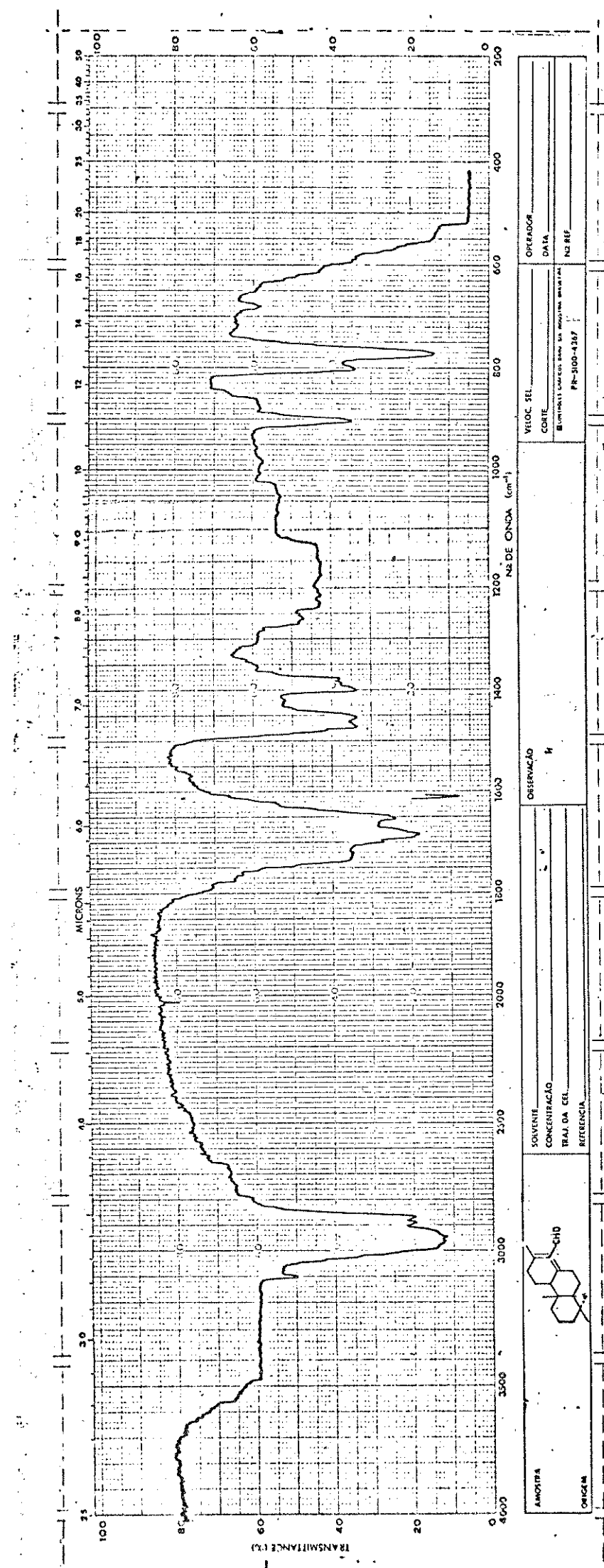
[E-65] - Espectro de IV do 2-bromo-1,4-dimetoxibenzeno 112



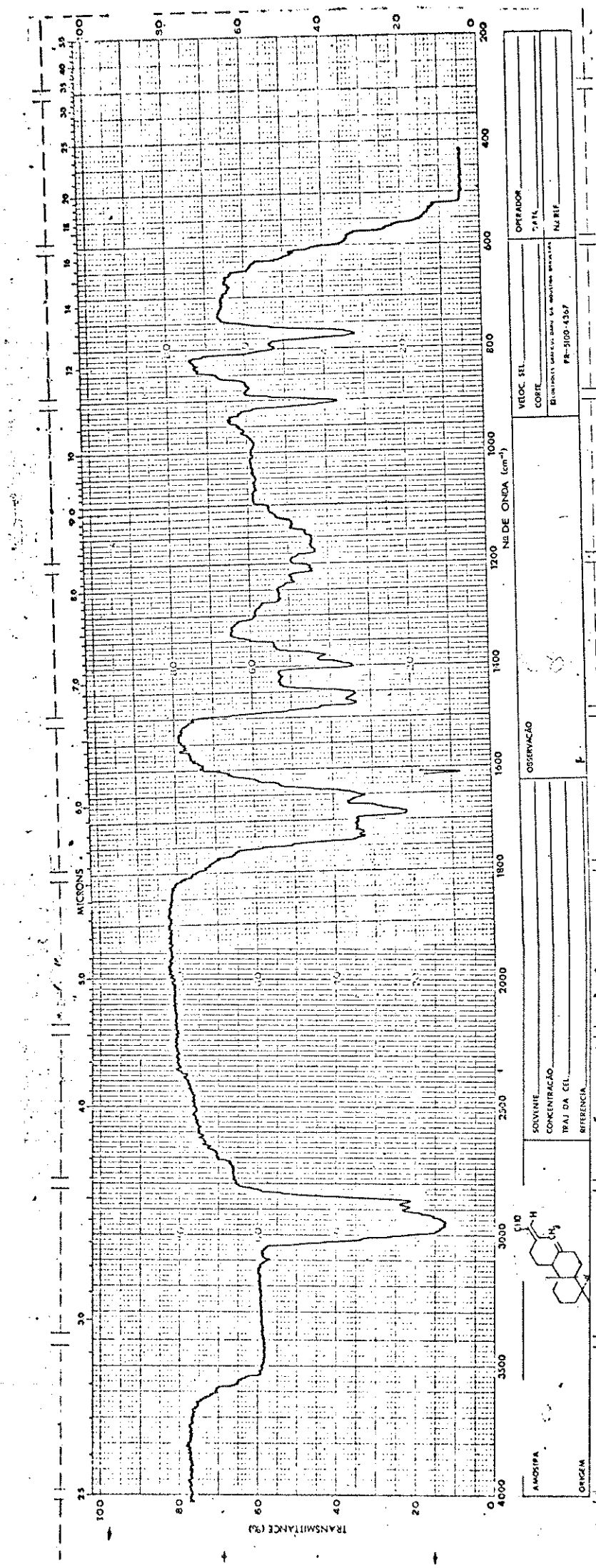
[E-66] - Espectro de RMN ^1H do 2-bromo-1,4-dimetoxibenzeno 112



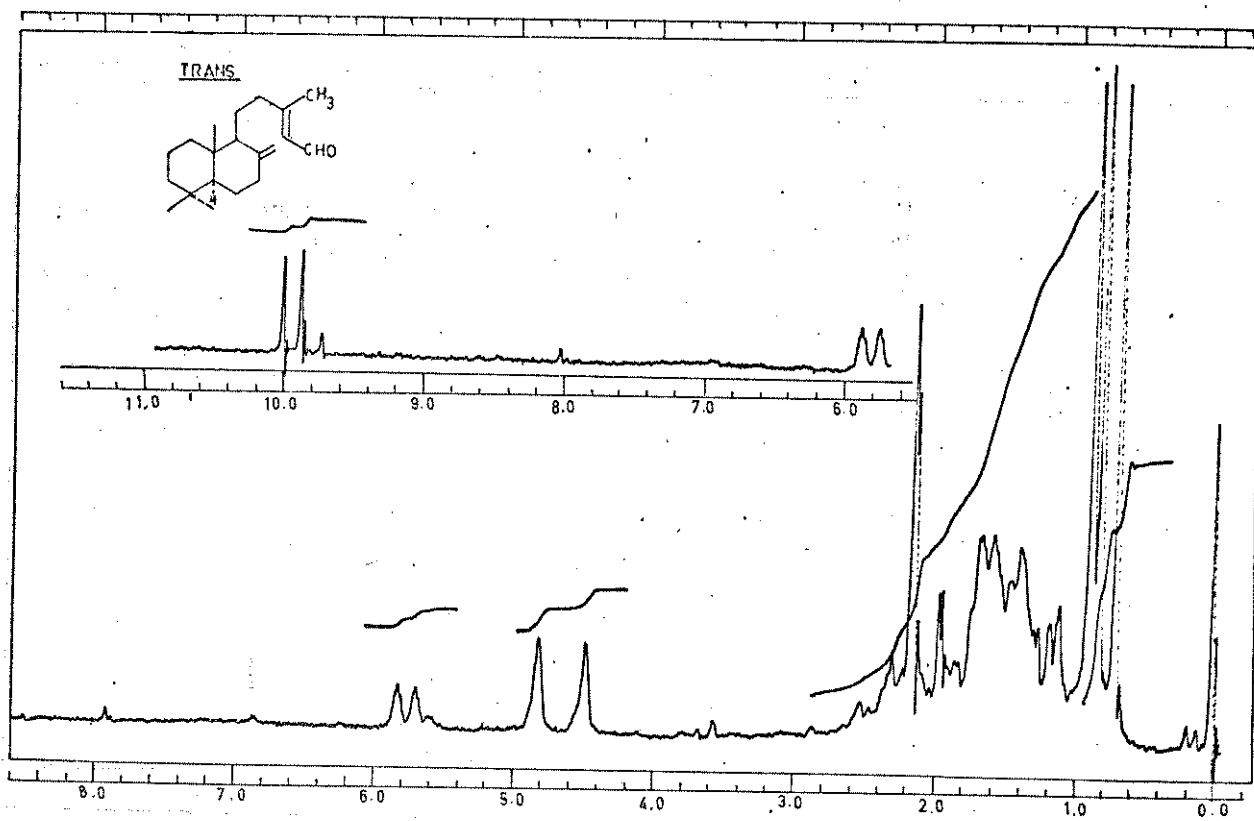
[E-67] - Espectro de massa do 2-bromo-1,4-dimetoxibenzeno 112



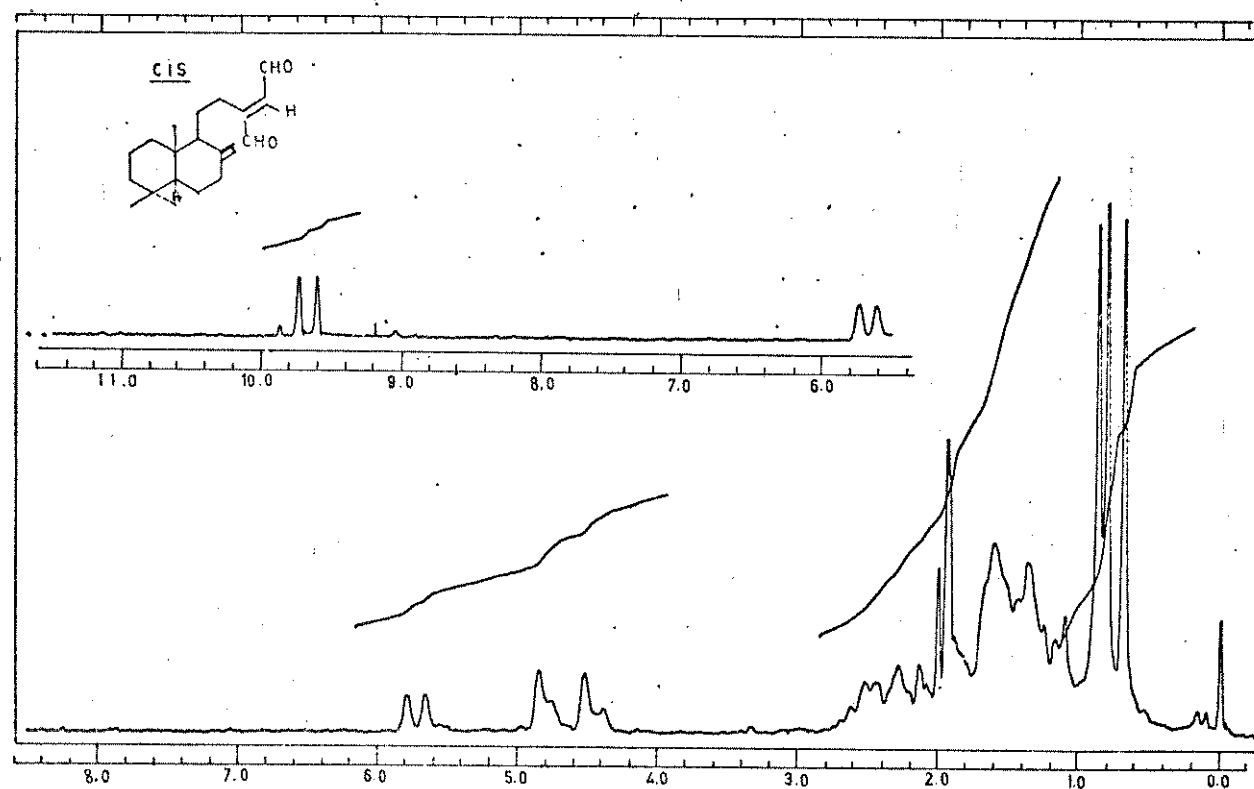
[E-68] - Espectro de IV do 8(17), 13(14)-labdien-15-al 87a



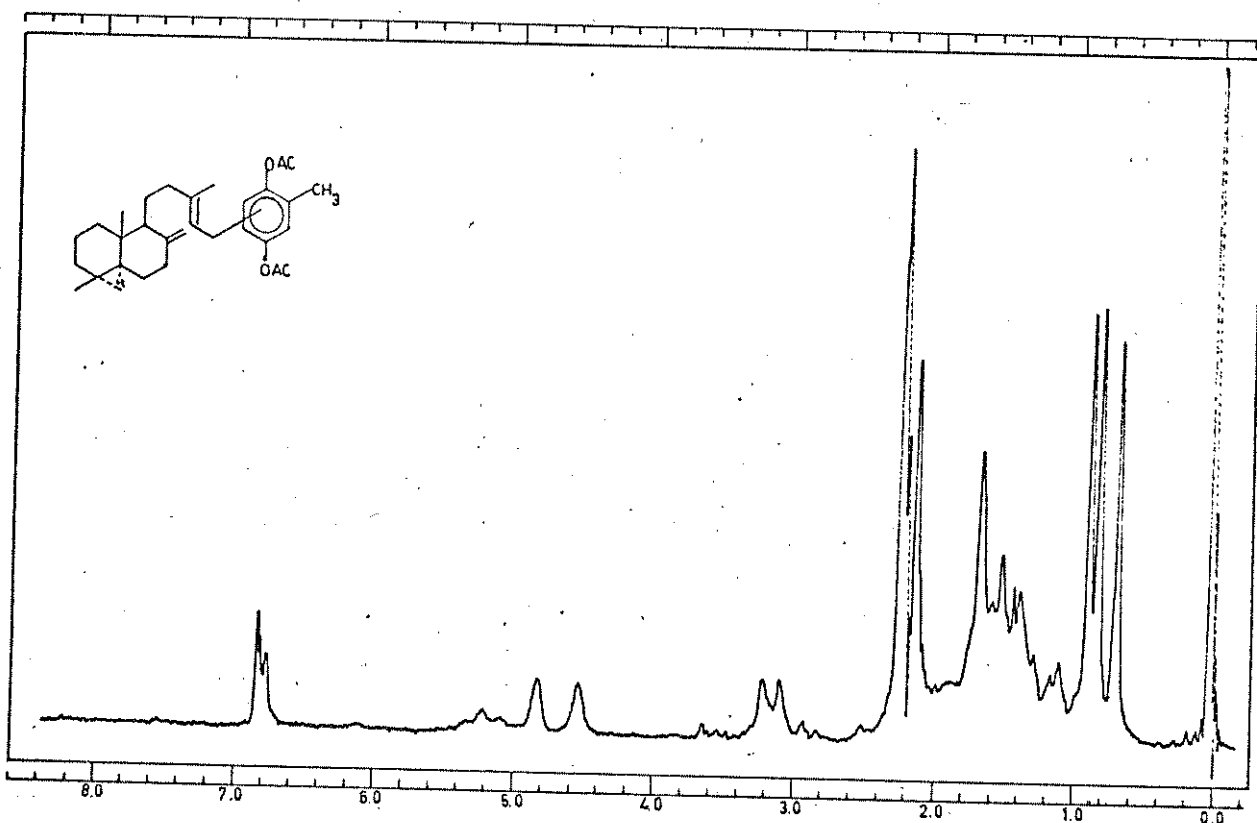
[E-70] - Espectro de IV do 8(17), 13(14)-labdien-15-al 87b



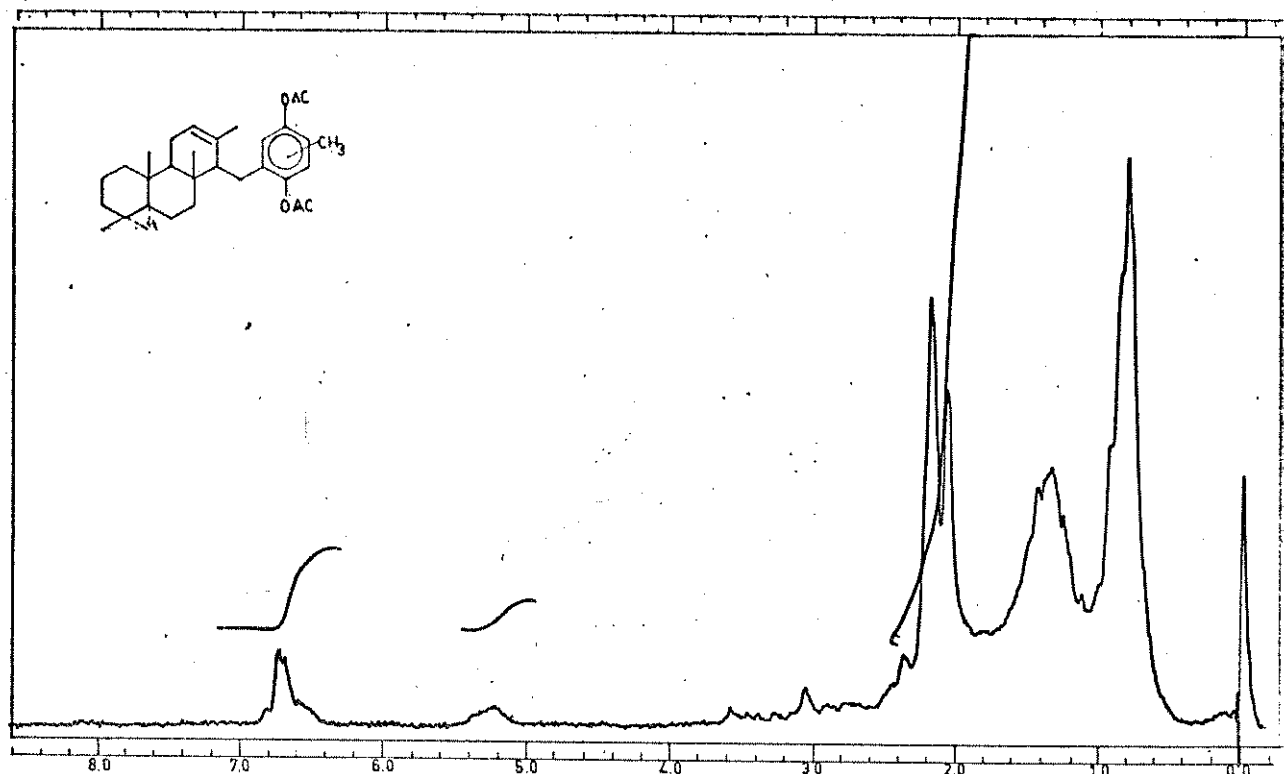
[E-69] - Espectro de RMN¹H do 8(17), 13(14)-labdien-15-al 87a



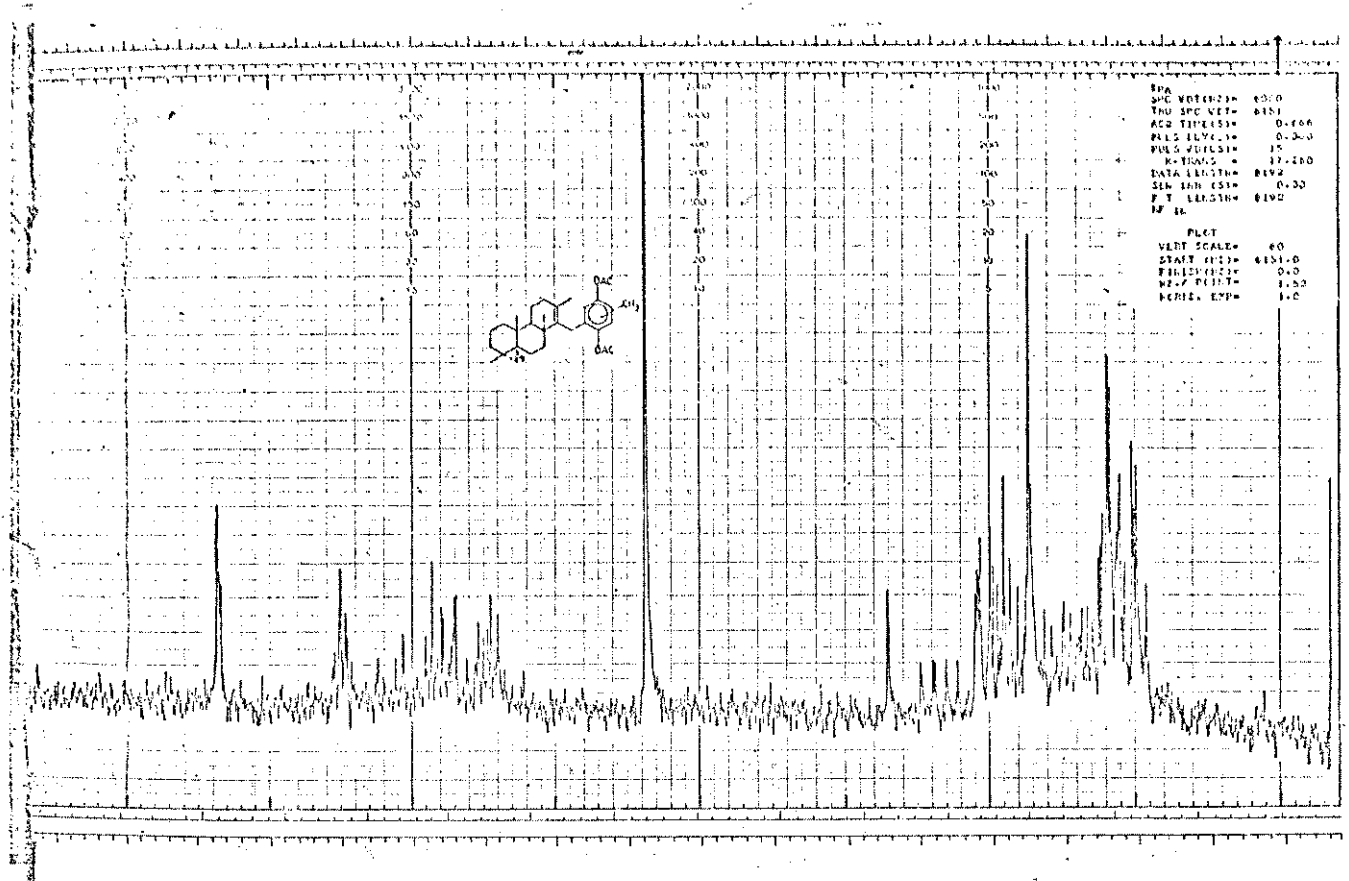
[E-71] - Espectro de RMN¹H do 8(17), 13(14)-labdien-15-al 87b



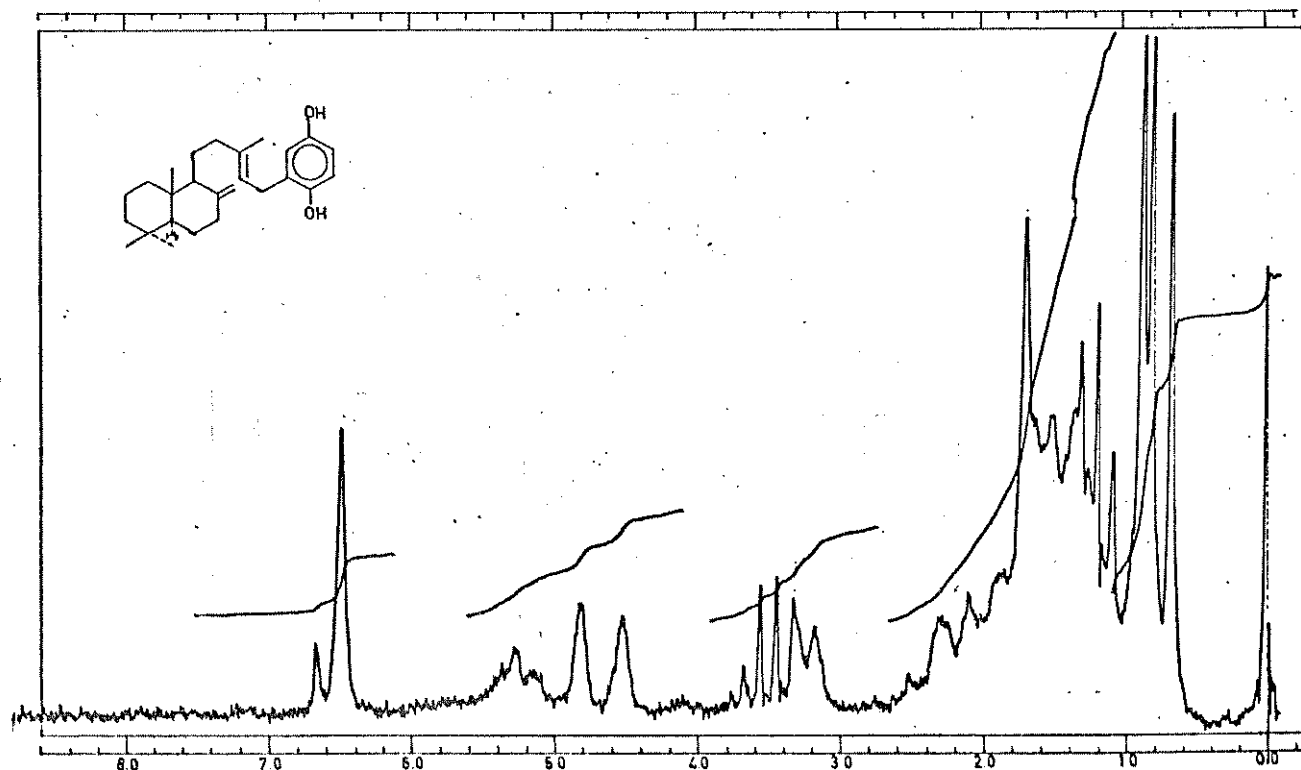
[E-72] - Espectro de RMN ^1H do composto 77



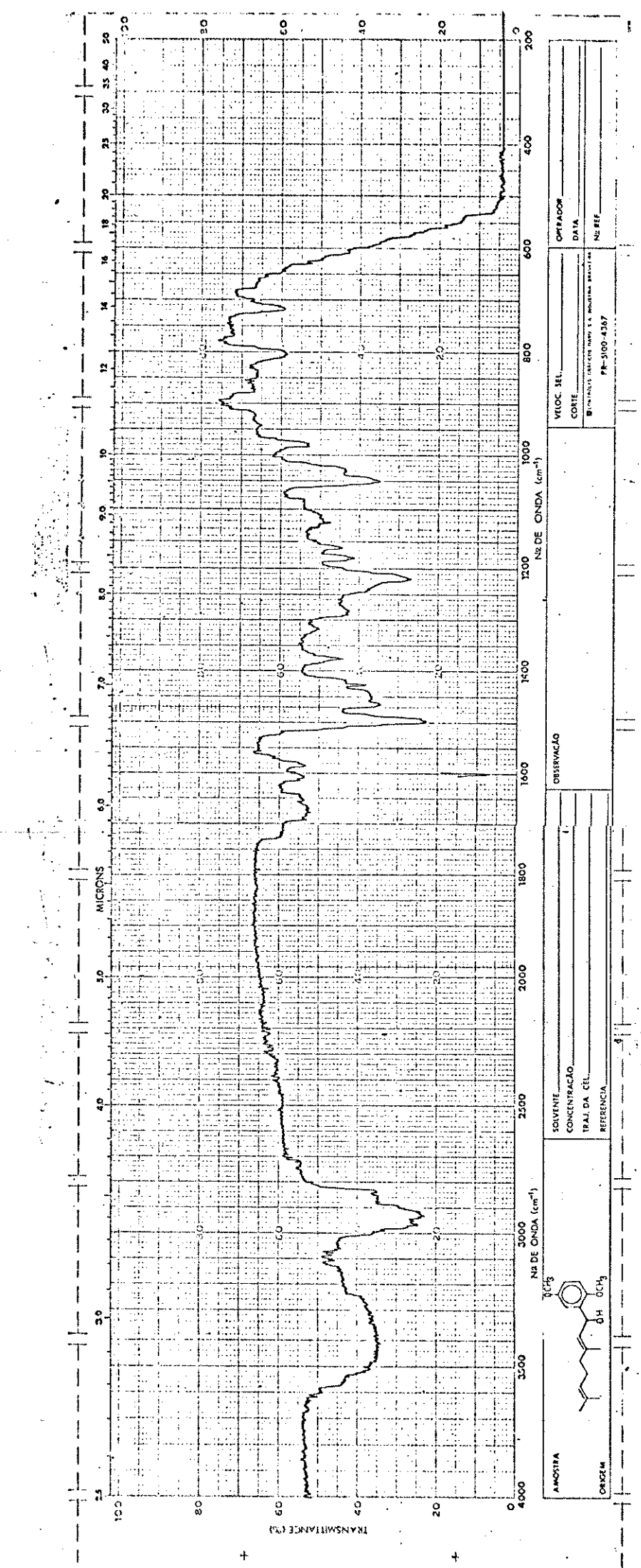
[E-73] - Espectro de RMN ^1H do composto 78

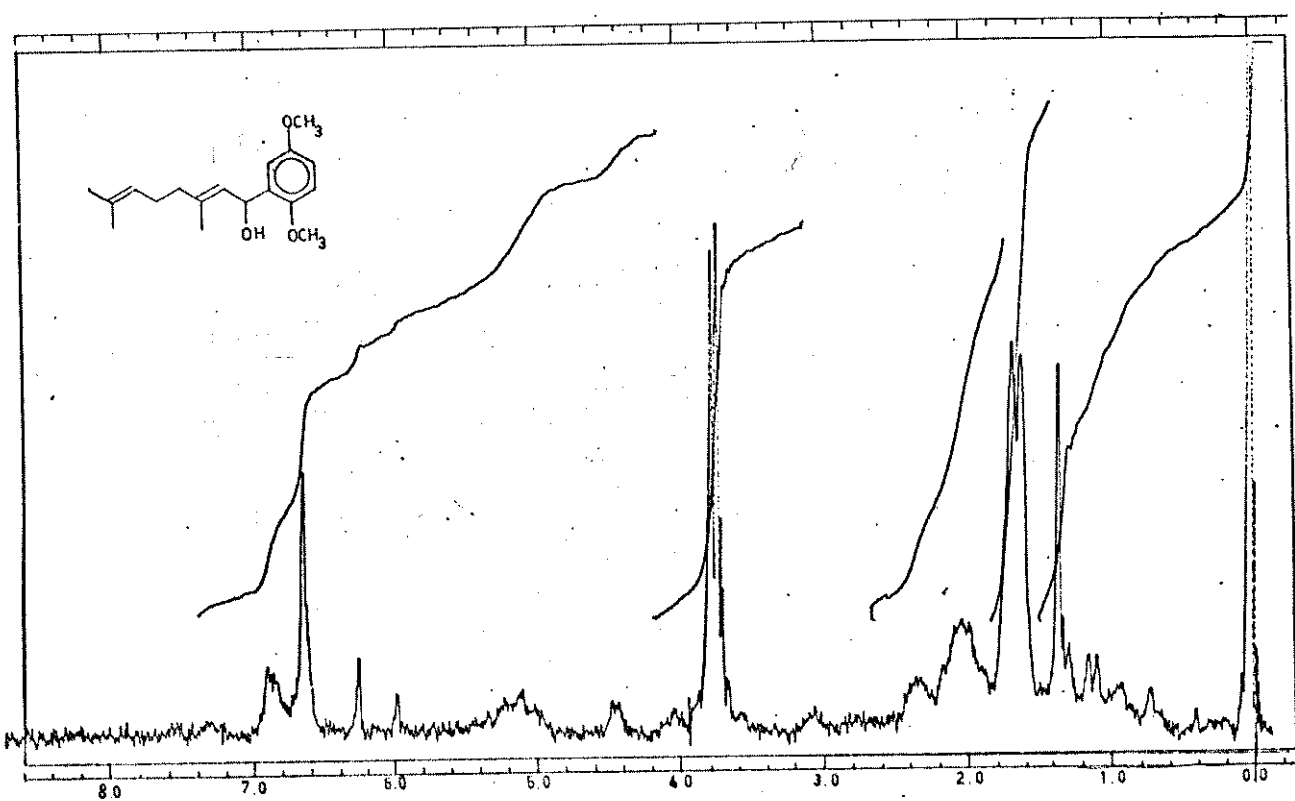


[E-74] - Espectro de RMN¹³C do composto 78

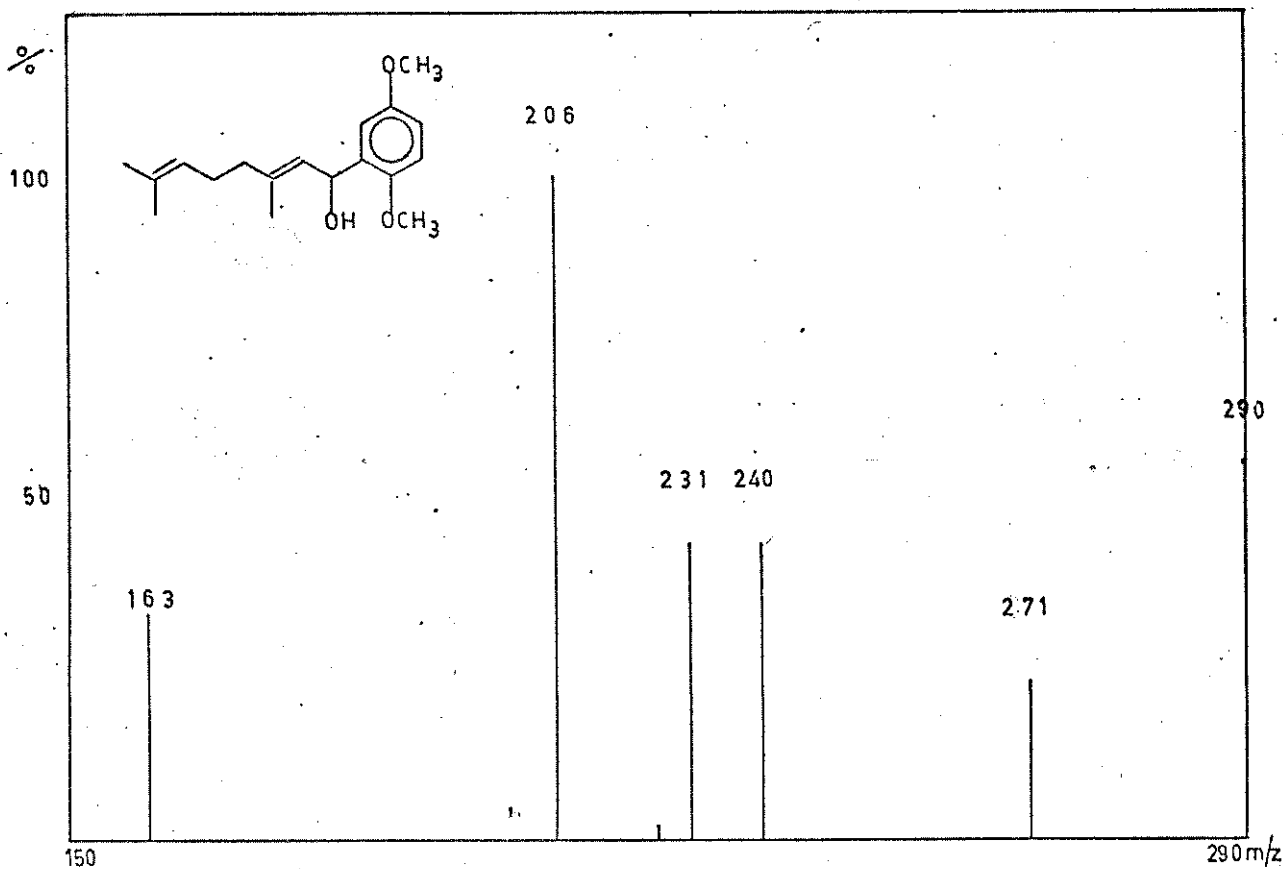


[E-75] - Espectro de RMN ^1H do composto 115

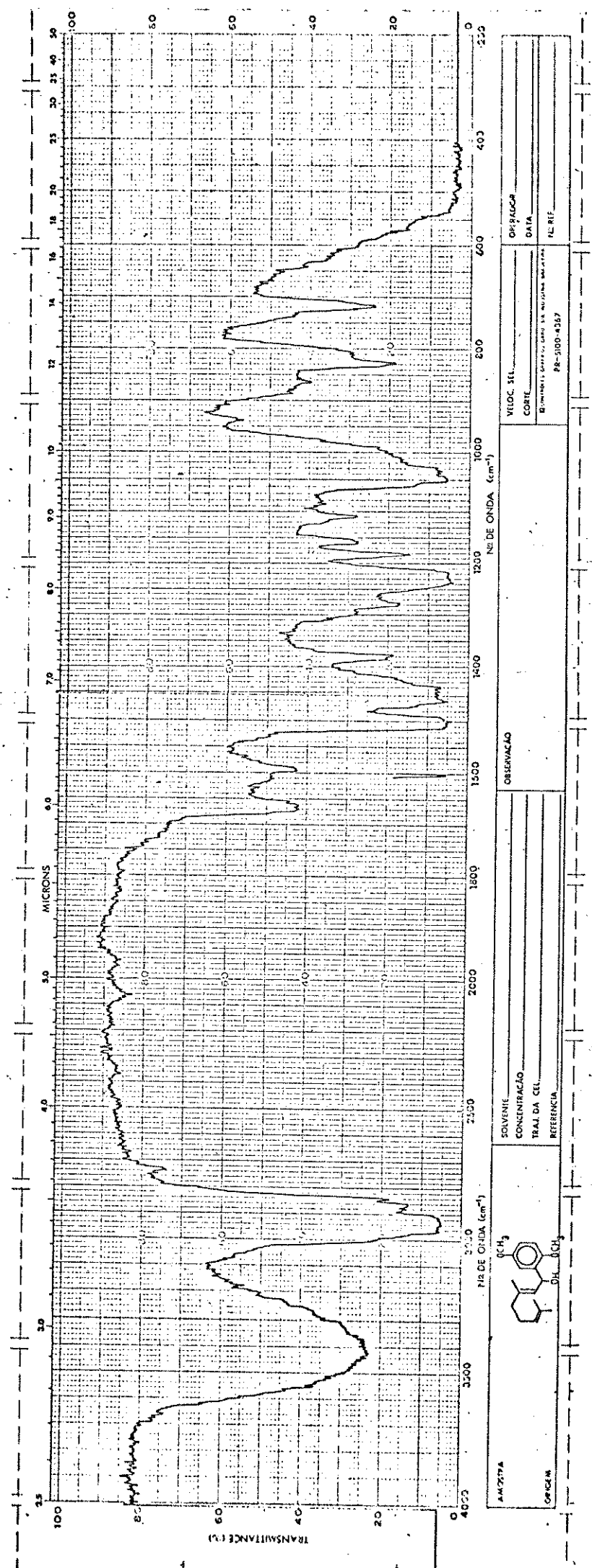




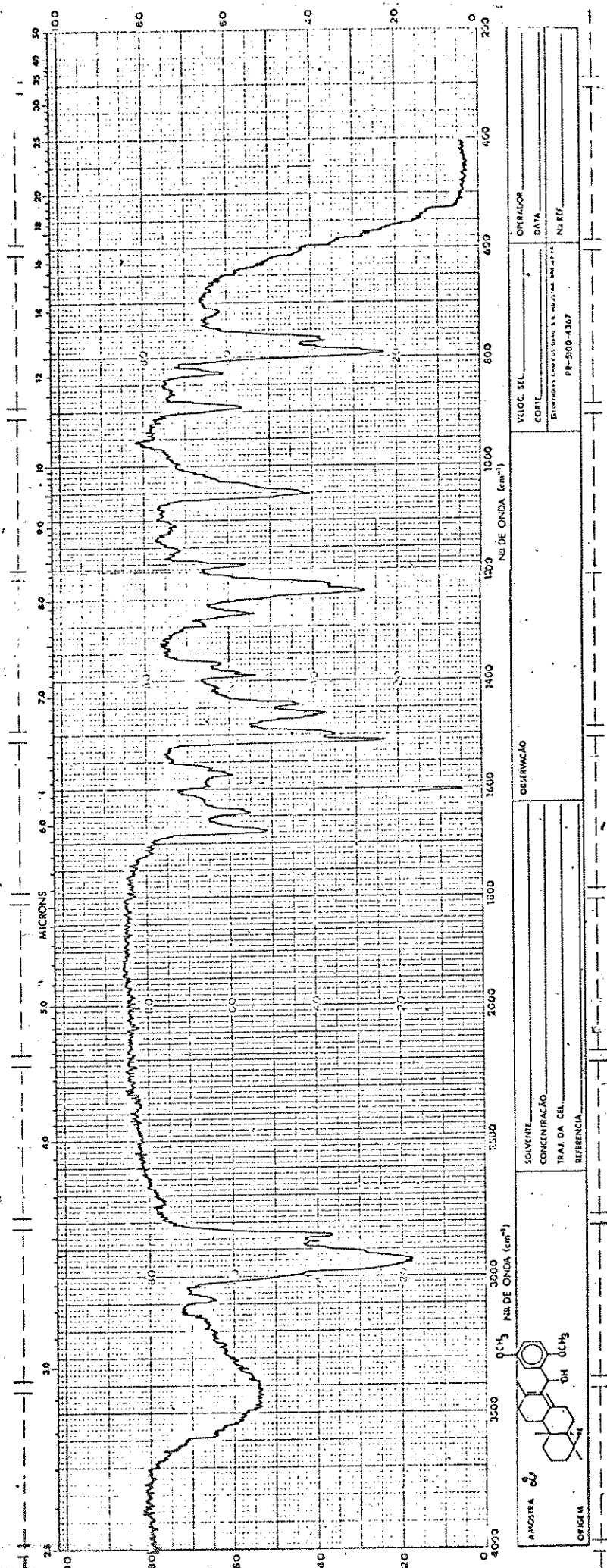
[E-77] - Espectro de RMN¹H do produto 102



[E-78] - Espectro de massa do produto 102



[E-79] - Espectro IV do composto 101



[E-81] - Espectro de IV do composto 89